

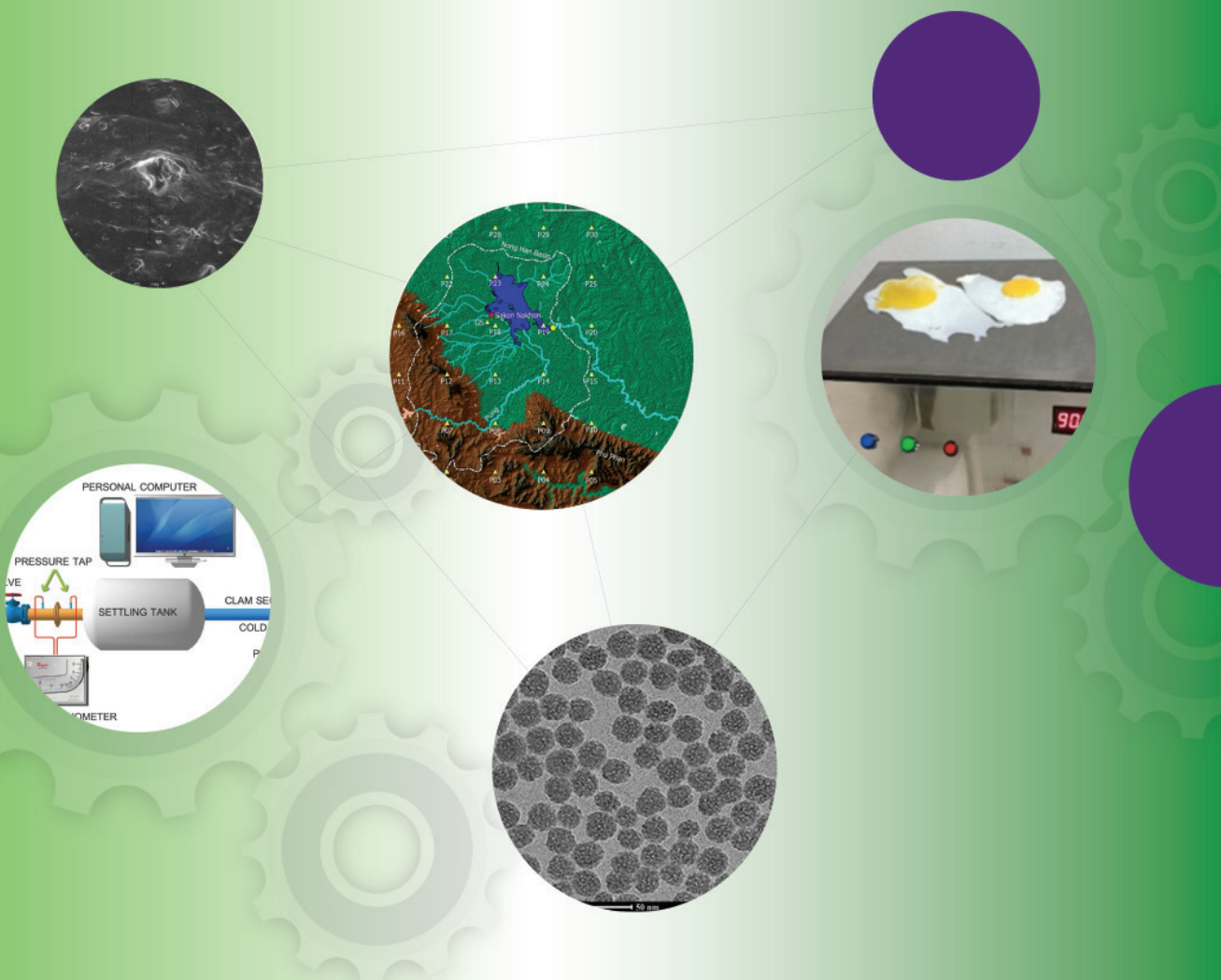


วารสาร มทร.อีสาน

ฉบับวิทยาศาสตร์และเทคโนโลยี

ISSN 2672-9369 (Online)

ปีที่ 12 ฉบับที่ 3 กันยายน - ธันวาคม 2562



วารสาร มทร.อีสาน ได้รับการประเมินคุณภาพให้อยู่ในฐานข้อมูลของ
ศูนย์ดัชนีการอ้างอิงวารสารไทย (TCI) กลุ่มที่ 1

วารสาร มทร.อีสาน

RMUTI JOURNAL

มหาวิทยาลัยเทคโนโลยีราชมงคลอีสาน

Rajamangala University of Technology Isan (RMUTI)

วัตถุประสงค์

1. เพื่อเป็นสื่อกลางในการแลกเปลี่ยนองค์ความรู้ด้านวิชาการ ด้านงานวิจัย และสิ่งประดิษฐ์ระหว่างนักวิชาการ และนักวิจัยกับผู้ที่สนใจทั่วไป

2. เพื่อเผยแพร่องค์ความรู้ทางวิชาการ ผลงานวิจัย และสิ่งประดิษฐ์ของนักวิชาการและนักวิจัยสู่สาธารณะ ทั้งในประเทศและต่างประเทศ

วารสาร มทร.อีสาน เน้นบทความทางด้านวิทยาศาสตร์และเทคโนโลยี ในสาขาวิชาดังต่อไปนี้

- สาขาวิชาวิศวกรรมศาสตร์
- สาขาวิชาเกษตรศาสตร์
- สาขาวิชาสาขาวิทยาการวิทยาศาสตร์และเทคโนโลยี

เป็นสาขาที่ศึกษาแนวความคิด ทฤษฎีและกฎหมายที่ทางวิทยาศาสตร์ ตั้งแต่ระดับอนุภาคนั่นเอง ไม่เลกอกไปจนถึงทั้งจักรวาล ปฏิกริยาทางเคมี ระหว่างอะตอนและไม่เลกูล อันเข้มข้นอย่างลึกซึ้งของลิ่มมีชีวิต และวัฒนาการของลิ่มมีชีวิต รวมถึงแนวความคิดพื้นฐานทางวิทยาศาสตร์และเทคโนโลยีที่มีความสำคัญและมีส่วนเกี่ยวข้องต่อการดำเนินชีวิตในปัจจุบัน ตลอดจนศึกษาถึงประดิษฐ์ของภูมิปัญญา เช่น กัญชา พรุ แคนนabis แห่งความรู้ ระหว่างวิทยาศาสตร์และเทคโนโลยีกับลักษณะ และสิ่งแวดล้อม

เจ้าของ

สถาบันวิจัยและพัฒนา

มหาวิทยาลัยเทคโนโลยีราชมงคลอีสาน

744 ถนนราษฎร์ ต.ในเมือง อ.เมือง จ.นครราชสีมา 30000

โทรศัพท์ 0 - 4423 - 3063 โทรสาร 0 - 4423 - 3064

E-mail : rmuti.journal@gmail.com

พิมพ์เผยแพร่ปีละ 3 ฉบับ

ฉบับที่ 1 ประจำเดือนมกราคม - เดือนเมษายน

ฉบับที่ 2 ประจำเดือนพฤษภาคม - เดือนลิงหาคม

ฉบับที่ 3 ประจำเดือนกันยายน - เดือนธันวาคม

ทั้งนี้ ตั้งแต่ ปีที่ 8 ฉบับที่ 1 ประจำเดือนมกราคม - เดือนเมษายน 2558 เป็นต้นไป

ยกเลิกการตีพิมพ์รูปเล่มตั้งแต่ปีที่ 12 ฉบับที่ 1 ประจำเดือนมกราคม - เดือนเมษายน 2562 เป็นต้นไป
เผยแพร่องค์ความรู้ทางวิทยาศาสตร์และเทคโนโลยี ผ่านช่องทางดิจิทัล

ลิขสิทธิ์

ต้นฉบับที่ได้รับการตีพิมพ์ ถือเป็นลิขสิทธิ์ของ วารสาร มทร.อีสาน และบทความในวารสารเป็นแนวคิดของผู้แต่ง มิใช่เป็นความคิดของคณะกรรมการจัดทำวารสาร และมิใช่เป็นความรับผิดชอบของมหาวิทยาลัยเทคโนโลยีราชมงคลอีสาน

วารสาร มทร.อีสาน
RMUTI JOURNAL

ที่ปรึกษาของบรรณาธิการ

ผู้ช่วยศาสตราจารย์ ดร.วิโรจน์ ลิ้มไขแสง
อธิการบดีมหาวิทยาลัยเทคโนโลยีราชมงคลอีสาน

ดร.อนิวรรต ทาสุข

ผู้อำนวยการสถาบันวิจัยและพัฒนา มหาวิทยาลัยเทคโนโลยีราชมงคลอีสาน

รองศาสตราจารย์ ดร.วีรชัย พุทธวงศ์

ประธานหลักสูตรนิติวิทยาศาสตร์ มหาวิทยาลัยเกษตรศาสตร์

กองบรรณาธิการ

ศาสตราจารย์กิตติคุณอธารง	เปรมปรีดี	จุฬาลงกรณ์มหาวิทยาลัย
ศาสตราจารย์เกียรติคุณ ดร.พีระศักดิ์	ศรีนิเวศน์	มหาวิทยาลัยเกษตรศาสตร์
ศาสตราจารย์ ดร.ณรงค์ฤทธิ์	สมบัติสมภพ	มหาวิทยาลัยเทคโนโลยีพระจอมเกล้าธนบุรี
ศาสตราจารย์ ดร.ทวนทอง	จุฑากेतุ	มหาวิทยาลัยอุบลราชธานี
ศาสตราจารย์ ดร.ปาร์เมค	ชุดima	จุฬาลงกรณ์มหาวิทยาลัย
ศาสตราจารย์ ดร.เบี่ยมศักดิ์	เมนะเควด	จุฬาลงกรณ์มหาวิทยาลัย
ศาสตราจารย์ ดร.พิเชษฐ์	ลิ้มสุวรรณ	มหาวิทยาลัยเทคโนโลยีพระจอมเกล้าธนบุรี
ศาสตราจารย์ ดร.ไฟศาล	เหล่าสุวรรณ	มหาวิทยาลัยหาดใหญ่
ศาสตราจารย์ ดร.เมธा	วรรณพัฒน์	มหาวิทยาลัยขอนแก่น
ศาสตราจารย์ ดร.รัตติกร	ยิ่มนิรัญ	สถาบันวิทยบริเวณ
ศาสตราจารย์ ดร.วินัย	ประلمพกานุจน์	มหาวิทยาลัยวลัยลักษณ์
ศาสตราจารย์ ดร.ศุภชัย	ปทุมนาคุล	มหาวิทยาลัยขอนแก่น
ศาสตราจารย์ ดร.สำเริง	จักรใจ	มหาวิทยาลัยเทคโนโลยีพระจอมเกล้าธนบุรี
ศาสตราจารย์ ดร.สุชาติ	ลิ่มกตัญญู	มหาวิทยาลัยสงขลานครินทร์
ศาสตราจารย์ ดร.สมชาติ	โภกณรรณฤทธิ์	มหาวิทยาลัยเทคโนโลยีพระจอมเกล้าธนบุรี
ศาสตราจารย์ ดร.สุทธิวัฒน์	เบญจกุล	มหาวิทยาลัยสงขลานครินทร์
ศาสตราจารย์ ดร.อรอนงค์	นัยวิกุล	มหาวิทยาลัยเกษตรศาสตร์
รองศาสตราจารย์ ดร.กนกกร	อินทรพิเชฐ	มหาวิทยาลัยเทคโนโลยีสุรนารี
รองศาสตราจารย์ ดร.กนต์ธร	ชำนินประสาลน์	มหาวิทยาลัยเทคโนโลยีสุรนารี
รองศาสตราจารย์ ดร.คงศักดิ์	ราศุทอง	มหาวิทยาลัยขอนแก่น
รองศาสตราจารย์ ดร.เจษฎา	ราีบุญ	มหาวิทยาลัยเทคโนโลยีพระจอมเกล้าพระนครเหนือ
รองศาสตราจารย์ ดร.ตะวัน	สุขน้อย	สถาบันเทคโนโลยีพระจอมเกล้าเจ้าคุณทหารลาดกระบัง
รองศาสตราจารย์ ดร.นิรัช	สุคลลังษ์	มหาวิทยาลัยเกรียง
รองศาสตราจารย์ ดร.บัณฑิต	กฤตาคม	มหาวิทยาลัยเทคโนโลยีราชมงคลอีสาน

กองบรรณาธิการ (ต่อ)

รองศาสตราจารย์ ดร.ปราโมทย์	แพงคำ	มหาวิทยาลัยเทคโนโลยีสุรนารี
รองศาสตราจารย์ ดร.ปรีชา	กอเจริญ	วิทยาลัยเทคโนโลยีจิตรลดา
รองศาสตราจารย์ ดร.มนัส	ชัยจันทร์	มหาวิทยาลัยวัฒลักษณ์
รองศาสตราจารย์ ดร.คุภชัย	ลิงทัยบุศย์	มหาวิทยาลัยมหาสารคาม
รองศาสตราจารย์ ดร.สรายุธ	เดชะปัญญา	มหาวิทยาลัยบูรพา
รองศาสตราจารย์ ดร.สมพงษ์	คุลย์จินดาขำพร	มหาวิทยาลัยขอนแก่น
รองศาสตราจารย์ ดร.สมพร	ไชยะ	94/7 หมู่บ้านวนาแอลน์ ซอย 5 ถนนสุนิหทวงศ์ อำเภอเมือง จังหวัดฉะเชิงเทรา 24000
รองศาสตราจารย์ ดร.สิทธิชัย	แสงอาทิตย์	มหาวิทยาลัยเทคโนโลยีสุรนารี
รองศาสตราจารย์ ดร.อาทิตย์	อัครสุชี	มหาวิทยาลัยเทคโนโลยีราชมงคลลีลาฯ
รองศาสตราจารย์ กัญจนा	ตันสุวรรณรัตน์	มหาวิทยาลัยเทคโนโลยีราชมงคลลีลาฯ
รองศาสตราจารย์ อุดมศักดิ์	สาริกบุตร	สถาบันเทคโนโลยีพระจอมเกล้าเจ้าคุณทหาร ลาดกระบัง
ผู้ช่วยศาสตราจารย์ ดร.ไกรสิทธิ์	วสุเพ็ญ	มหาวิทยาลัยเทคโนโลยีราชมงคลลีลาฯ
ผู้ช่วยศาสตราจารย์ ดร.เกียรติสุชา	สมนา	มหาวิทยาลัยเทคโนโลยีราชมงคลลีลาฯ
ผู้ช่วยศาสตราจารย์ ดร.จักรชดา	รำรุ่งฤทธิ	มหาวิทยาลัยเทคโนโลยีราชมงคลลีลาฯ
ผู้ช่วยศาสตราจารย์ ดร.ณรงค์ศักดิ์	โยรา	มหาวิทยาลัยเทคโนโลยีราชมงคลลีลาฯ
ผู้ช่วยศาสตราจารย์ ดร.รัฐพล	สมนา	มหาวิทยาลัยเทคโนโลยีราชมงคลลีลาฯ
ผู้ช่วยศาสตราจารย์ ดร.ศศิพันธ์	วงศ์สุทธารา瓦ล	มหาวิทยาลัยเทคโนโลยีราชมงคลลีลาฯ
ผู้ช่วยศาสตราจารย์ ดร.สุจิตรา	อุ่นเรือง	มหาวิทยาลัยเทคโนโลยีราชมงคลลีลาฯ
ดร. Jarvis พงษ์	บรรเทา	มหาวิทยาลัยเทคโนโลยีราชมงคลลีลาฯ
ดร.ชาครวิต	นวลจิมพลี	มหาวิทยาลัยเทคโนโลยีราชมงคลลีลาฯ
ดร.ชนิดา	เยรัมย์	มหาวิทยาลัยเทคโนโลยีราชมงคลลีลาฯ
ดร.เยาวพา	ความหมั่น	มหาวิทยาลัยเทคโนโลยีราชมงคลลีลาฯ
ดร.สุกัญญา	คำหล้า	มหาวิทยาลัยเทคโนโลยีราชมงคลลีลาฯ
ดร.เดือนเพ็ญ	วงศ์สอน	มหาวิทยาลัยเทคโนโลยีราชมงคลลีลาฯ

บรรณาธิการ

ผู้ช่วยศาสตราจารย์ ดร.วรรณรีร์ วงศ์ไตรรัตน์ มหาวิทยาลัยเทคโนโลยีราชมงคลลีลาฯ

ฝ่ายจัดการและธุรการ

นางสาวอรุณรักษ์ ดีราชรัมย์ มหาวิทยาลัยเทคโนโลยีราชมงคลลีลาฯ

สารบัญ

บทความวิจัย

High Spectrum Efficiency of MIMO-SC-FDMA for Optical Wireless Communication Systems 1
Kidsanapong Puntsri and Puripong Suttisopapan

Effects of Thai Herb Extracts in Combination with High Pressure Treatment on the Microbial and Physicochemical Quality of Fresh Pork 13
Thananun Yuwang, Kanok-Orn Intarapichet, Kaemwich Jantama, and Ralf Lautenthaler

Adsorption Efficiency, Adsorption Isotherms and Kinetic Study for Methylene Blue Removal in Aqueous Solution of Thiol-Functionalized Mesoporous Silica Nanospheres 34
Romteera Chueachot, Kewalee Khankam, Atcharaphan Lakathok,
Suwatchai Jarusophon, and Ronariddh Nakhowong

ผลของการเปลี่ยนแปลงประชากรต่อความต้องการการดูแลสุขภาพด้วยแบบจำลองมาร์คอฟ
แบบไม่เป็นเนื้อเดียวกัน 48

นวัตกรรม บุราณศรี และพงษ์ชัย จิตตะมัย
สมบัติทางกลของยาธรมชาติที่เสริมแรงด้วยชิลิกาที่ปรับปรุงผิวด้วยเทคนิค
แอคไมเซลลาร์โพลิเมอไรเซชัน 64

ธันม์โชโต ประจักษ์สุตร, คุณกฤษ ปิติฤกษ์ และวราวน พงศ์ประยูร
การศึกษาเชิงทดลองของการถ่ายเทความร้อนในเครื่องแยกเปลี่ยนความร้อนแบบห่อกลม
ที่มีแผ่นบางรูปตัวไข่ 79

ลูกทรัพย์ สุวรรณพันธุ์, เอกวุฒิ แൺคำงษ์ และชาญวิทย์ ชัยอมฤต
การออกแบบและสร้างกระหะเทอร์โมอิเล็กทริกสำหรับทำความร้อนและความเย็น 96
เงนศักดิ์ เอกบูรณ์วัฒน์

การศึกษาอิทธิพลของสังค์ส่วนอาการร้อนไฟలิเวียนกลับที่ส่งผลต่อพฤติกรรมการอบแห้ง
เนื้อป้านิลด้วยเครื่องอบแห้งลมร้อนที่คิดตั้งวัสดุพูนชนิดตาข่ายลูตेनเลส 110

รตินันท์ เทลีอมพล, สังวาลย์ บุญจันทร์, คุณเพ็ชร อินลา และบัณฑิต กฤตตาม
การเบรี่ยนเทียนกำลังรับน้ำหนักบรรทุกจากสูตรการตอกเสาเข็มกับการทดสอบด้วยวิธีพลศาสตร์ 125
รวิทย์ โพธิ์จันทร์, อนุชาติ ลือนันต์ศักดิ์ศิริ และฐิตินันท์ ป้อมนาม

การออกแบบและสร้างรหัสรักษาความปลอดภัยสำหรับกระบวนการตรวจสอบและยืนยันตัวตน
ของระบบเก็บค่าผ่านทางพิเศษอัตโนมัติ 138

ปราชญ์ อัศวนรากุล และอำนวย เรืองวรี
การสำรวจใบเคนบริเวณป่าพรุในพื้นที่ปักปักพันธุกรรมพืชฯ มหาวิทยาลัยราชภัฏรำไพพรรณี 150
ชวัลรัตน์ สมนึก และพิสุทธิ์ การบุญ

การเตือนภัยจากระดับน้ำในทะเลสาบล่วงหน้าด้วยข้อมูลการตรวจวัดฝนทั่วโลก:
กรณีศึกษาทะเลสาบทหนองหาร 160

ประวิทย์ อ่องอารีย์, ชัยณรงค์ เพียรภาณุ แวงทอง และทรงพล ประโยชน์มี

Table of Contents

Research Articles

High Spectrum Efficiency of MIMO-SC-FDMA for Optical Wireless Communication Systems	1
Kidsanapong Puntsri and Puripong Suttisopapan	
Effects of Thai Herb Extracts in Combination with High Pressure Treatment on the Microbial and Physicochemical Quality of Fresh Pork	13
Thananun Yuwang, Kanok-Orn Intarapichet, Kaemwich Jantama, and Ralf Lautenthaler	
Adsorption Efficiency, Adsorption Isotherms and Kinetic Study for Methylene Blue Removal in Aqueous Solution of Thiol-Functionalized Mesoporous Silica Nanospheres	34
Romteera Chueachot, Kewalee Khankam, Atcharaphan Lakathok, Suwatchai Jarussophon, and Ronariddh Nakhowong	
The Impact of Population Changes on Healthcare Demands using Nonhomogeneous Markov Model	48
Nuanpan Buransri and Phongchai Jittamai	
Mechanical Properties of Natural Rubber Reinforced with Modified Silica by Admicellar Polymerization	64
Thamchoto Prajaksood, Komkrit Pitiruek and Thirawudh Pongprayoon	
Experimental Study of Enhanced Heat Transfer in a Circular Tube Heat Exchanger with Sinusoidal Baffles	79
Supattarakchai Suwannapan, Eakkawut Saenkhamvong and Chanwit Chaiamarit	
Design and Development of a Thermoelectric Pan for Heating and Chilling Application	96
Jensak Ekburanawat	
A Study Effect of Hot Air Recirculating Ratio on Drying Behavior of Tilapia by Using a Hot Air Dryer Installed with Stainless Wire Mesh Porous Material	110
Ratinun Luampon, Sungwan Bunchan, Kompet Inla and Bundit Krittakom	
A Comparision of Bearing Capacity of Pile from Pile Driving Formulas and Dynamic Load Test	125
Worawit Phojan, Anuchat Leeansaksiri, and Thitinun Pongnam	
Design and Implementation of Security Code for the Identification and Authentication Process of Electronic Toll Collection System	138
Prach Asavanarakul and Amnoiy Ruengwaree	
Survey of Lichen at Swamp Forest in Plant Genetic Protection Area, Rambhai Barni Rajabhat University	150
Chawanrat Somnuek and Phisut Kanboon	
Early Warning of Lake Level Fluctuations using Global Precipitation Measurement Data: a case study Nong Han Lake	160
Prawit Uang-aree, Chainarong Pianpailoo and Songphon Prayochme	

High Spectrum Efficiency of MIMO-SC-FDMA for Optical Wireless Communication Systems

Kidsanapong Puntsri^{1*} and Puripong Suttisopapan²

Received: May 10, 2019; Revised: July 12, 2019; Accepted: July 24, 2019

Abstract

This work aimed to present high spectrum efficiency of single carrier frequency division multiplexing (SC-FDM) together with multiple-input multiple-output (MIMO) for optical wireless communication (OWC) systems. In order to improve signal to noise ratio (SNR), maximum ratio combining (MRC) with frequency diversity was employed. It was compared with the zero forcing detection in higher order MIMO system. Additionally, at the receiver end, due to small diameter size of the avalanche photodetector (APD), the numbers of receiver up to 100 elements were therefore practically applicable. To analyze the proposed systems over OWC channel, the numerical simulation method was used and multi-path indoor environment was assumed. By applying the proposed diversity method, the results clearly showed that the SNR was significantly improved and the high order M-ary QAM (quadrature amplitude modulation) can also be achieved. Furthermore, for 256-QAM, the error free transmission can be achieved with SNR of only 30 dB with 6 number of antennas. In zero forcing detection, the transmission speed was higher than the MRC system when compared with the same bit per symbol. However, it gave higher BER.

Keywords: Multiple-Input Multiple-Output; Single Carrier Frequency Division Multiplexing; Optical Wireless Communication Systems; Intensity Modulation/Direct Detection

¹ Faculty of Engineering, Rajamangala University of Technology Isan, Khonkaen Campus

² Faculty of Engineering, Khon Kaen University

* Corresponding Author E - mail Address: kidsanapong.pu@rmuti.ac.th

Introduction

Optical wireless communication (OWC) is very attractive to study and develop. OWC has many advantages, such as high bandwidth and no interference from radio frequency (RF) signals [1] - [2], and it is very secure in communication systems. Therefore, many applications including both free space [1] - [2] and underwater [3] are investigated for the possibility to implement it. In wireless systems using RF, diversity techniques are usually used to speed up data rate and/or gain the signal to noise ratio (SNR). There are many diversity techniques proposed in literature, e.g., maximal ratio combining (MRC), equal gain combining (EGC), selected combining (SC) or space-time block coding (STBC) [4]. Due to a promising performance, it is worth mentioning that the combination between diversity techniques and advance modulation format together, such as orthogonal frequency division multiplexing (OFDM) could be an emerging technology in the future [5].

OFDM is a multicarrier communication system which has many advantages when compared to a single carrier. Moreover, the intersymbol interference (ISI) can be solved by adding a cyclic prefix (CP) in the front of each OFDM symbol. Therefore, it can provide very high spectrum efficiency. OFDM also makes communication systems simple to implement in hardware. However, its major disadvantage is a high peak to average power ratio (PAPR) [4], which causes nonlinearity when passing the signal to the amplifier. To reduce the PAPR, the single carrier frequency division multiplexing (SC-FDM) is replaced and at least 3dB lower PAPR can be obtained over conventional OFDM. Therefore, it is very attractive to investigate and it already becomes a standard for Long Term Evolution (LTE) [6]. However, in OWC system, only a few SC-FDM works are investigated.

SC-FDM for OWC has been first experimentally investigated by Puntsri, K. [7]. The experimental results demonstiated that SC-FDM with 128-QAM can be practically implemented to attain a very spectrum efficiency at rate 4.56 b/s/Hz. However, multiple-input multiple-output (MIMO) combined with SC-FDM (MIMO-SC-FDM) for OWC is not yet examined in the literature review. Only MIMO-SC-FDM in wireless systems is shown. MIMO is a multiple transmitter antennas and receiver antennas communication systems and it is one of the best ways to gain up diversity and SNR. Especially, the joint design of large/massive MIMO and advance modulation format will be an emerging technology in the future.

MIMO for OWC has been investigated by only a few researchers. Berenguer, P. W. el al. [8] has presented a field trial of OWC for a robotic manufacturing environment. It has been shown that moderate data rates, high reliability, and low latency can be achieved. The channel measurements and transmission were also done in this work. The MIMO size

of 8×6 was considered and the results showed that the SNR is acceptable if a line-of-sight (LOS) is available. However, when an LOS is obstructed by small movements and rotations, it would lead to sudden fades of 10 - 20 dB power. From the results, it can be concluded that MIMO OWC is suitable for industrial wireless applications.

Ntogari, G. et al. [9] conducted a comparison between STBC systems with two transmitted antennas and single-input single-output (SISO) systems, where the same total optical transmit power was considered, in coherent OWC systems. STBC improves the capacity coverage area and requires less transmitting power. Additionally, MIMO for visible light communication (VLC) application was shown by Chen, C. et al. [10]. The non-Hermitian symmetry (NHS-OFDM) modulation method and an imaging angle diversity receiver were proposed. The results showed that MIMO system is very useful and it has a lot of benefit for high speed communication systems in indoor wireless communications. Navidpour, S. M. et al. [11] has proposed the system design and the performance analysis of MIMO method for coherent OWC. The mitigated atmospheric turbulence effects were considered. The phase noise impairment was compensated in electrical domain. Furthermore, many diversity combining methods were employed and compared, where the gamma-gamma turbulence, K-distributed turbulence, and negative exponential turbulence were adopted for free space channels.

From the literature reviews, in this work, the large MIMO with high spectrum efficiency for SC-FDM is studied and analyzed, where the MRC and frequency diversity for SC-FDM in OWC systems is proposed. In order to conduct numerical simulation, a multi-paths OWC channel is assumed and the number of more than 50 receiver antennas is considered. The system performance is measured in terms of bit error rate (BER) against signal to SNR. Additionally, the Reed-Solomon (RS) code with hard decision is also employed to reduce BER of system performance. The results showed that the system performance is significantly improved and a very large M-ary QAM order can be offered. Moreover, bit error free transmission can be achieved at only a few receiver antennas and SNR for MRC scheme.

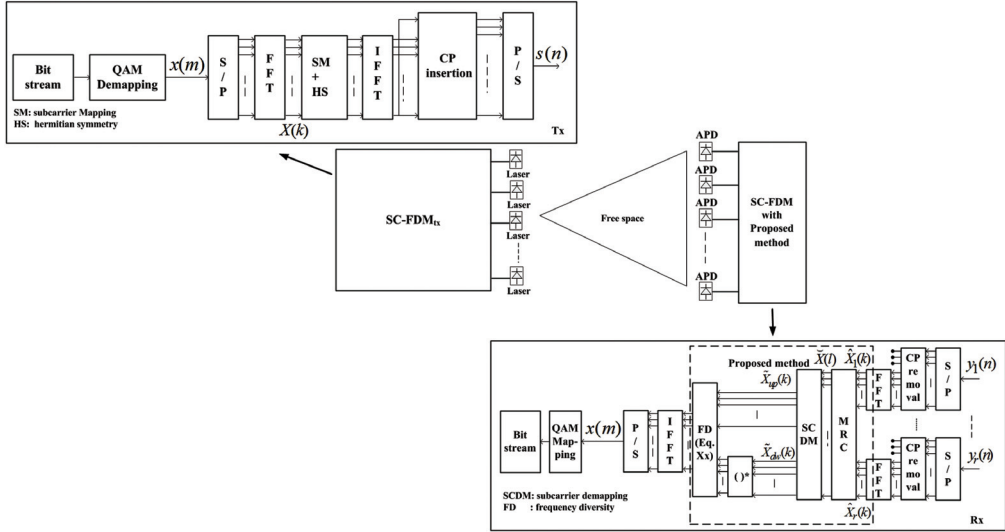


Figure 1 System model used for massive SIMO-SC-FDM in OWC Systems

SC-FDM with MIMO in OWC systems

The detailed of SC-FDM system with MIMO for OWC systems is shown in Figure 1. As can be seen, the SC-FDM system is similar to OFDM, only additional FFT and IFFT computation are required for the transmitter and receiver, respectively. First, the bit streaming is fed in to QAM-mapping unit to group the number of bits into a symbol, which is denoted by $x(m)$. The mapped symbol is converted to frequency domain using fast Furrier transform (FFT) processing, defined by $X(k)$, with the size of N_{sb} and $k = 0 \dots N_{SB} - 1$. N_{SB} as the number of sub band. Next, the subcarrier mapping is followed to setup the input to the invert FFT (IFFT) with the size of N_C . In this work, the interleaved FDM was used, where it gave the lowest PAPR, as reported in [7]. Additionally, for OWC, the intensity modulation/direct detection (IM/DD) was needed. Therefore, the Hermitian symmetry was adapted to obtain the SC-FDM, which only had real (or only imaginary) component. The subcarrier mapping established the Hermitian symmetry input for IFFT, where the mapped subcarrier is given by equation (1)

$$\tilde{X} = [\underbrace{0 \ X(0) \dots X(N_{sb}-1) \ 0}_{\tilde{X}_{up}} \ \underbrace{0 \ X^*(N_{sb}-1) \ 0 \dots X^*(0)}_{\tilde{X}_{dw}}], \quad (1)$$

hence, \tilde{X} is subcarrier mapped vector with length of $l = 0 \dots N_C - 1$. \tilde{X}_{up} is the vector of the first haft and \tilde{X}_{dw} is the vector of the second haft of \tilde{X} , respectively. As can be seen, $\tilde{X}_{dw} = \tilde{X}_{up}^*$, where the index of \tilde{X}_{dw} is reversed order of \tilde{X}_{up} .

Then, a cyclic prefix (CP) is added to prevent the ISI due to the dispersive free space channel. Finally, the transmitted signal, which included CP, is denoted by $s(n)$. For more than one antennas, $s_i(n)$ denoted for the transmitted signal with i element, where $i = 1 \dots nTx$ and nTx is the number transmitted antenna.

At the receiver, the received signal at the r th antennas is denoted by $y_r(n)$, which is expressed by

$$y_r(n) = s_i(n) \otimes h_r(n) + z_r(n), \quad (2)$$

where $r = 1 \dots nRx$ and nRx is the number of received antenna. $h_r(n)$ is free space channel and $z_r(n)$ is the noise component, which is modeled by additive white Gaussian noise (AWGN) with zero mean and the variant is σ_{noise}^2 . \otimes is convolution operator. $r = 1 \dots nRx$ and nRx is the number of receive antennas.

From equation (2), the CP is removed and $y_r(n)$ which are only the useful samples remain and are fed in to the FFT. The signal after taking FFT is given by equation (3):

$$\hat{X}_r(l) = \sum_{i=1}^{nTx} \sum_{r=1}^{nRx} \tilde{X}_i(l) \cdot H_{i,r}(l) + Z_r(l), \quad (3)$$

hence, $H_r(l)$ is the free space channel and $Z_r(l)$ is AWGN noise.

MRC receiver

Now, MRC is detailed, where only one transmitted antenna is employed and the combination receiver of all received branches is expressed by equation (4)

$$\begin{aligned} \bar{X}(l) &= \frac{\tilde{X}(l) \cdot \sum_{r=1}^{nRx} H_r(l) H_r^*(l) + \sum_{r=1}^{nRx} Z_r(l) H_r^*(l)}{\sum_{r=1}^{nRx} H_r(l) H_r^*(l)} \\ &= \bar{X}(l) + \frac{\sum_{r=1}^{nRx} Z_r(l) H_r^*(l)}{\sum_{r=1}^{nRx} H_r(l)^2}. \end{aligned} \quad (4)$$

Next, subcarrier demapping is done in the following, where it strips out all zeros and only the useful information data symbol remains. Here, because of Hermitian symmetry

input setup likes equation (1), the second half conjugated one of the first half, which are denoted by \check{X}_{up} and \check{X}_{dw} for the first and the second, respectively. Therefore, if we conjugate $\check{X}_{dw}(k)$ the, the frequency diversity can be done easily by equation (5):

$$\check{X} = \frac{\check{X}_{up} + \check{X}_{dw}^*}{2}, \quad (5)$$

where \hat{X} is the signal vector after formulating frequency diversity with the length of N_{sb} and the noise component reduced by divided by two. Next, \hat{X} is fed in to IFFT and QAM demapping to map a QAM symbol in to bit streaming in the finally process.

Zero forcing receiver

In this section, the zero forcing receiver is detailed. In this work, the system consisted of two transmitters with two and four receivers. The zero forcing equalization must satisfy condition that $WH = I$, where W is the weight gain equalization and it is given by $W = (H^H H)^{-1} H^H$. Therefore the zero forcing equalization is expressed by (equation (6)) [4]

$$\begin{aligned} X_{ZF}^{\%} &= WY \\ &= (H^H H)^{-1} H^H H X + Z \end{aligned} \quad (6)$$

$X_{ZF}^{\%}$ is the estimated received signal using zero forcing equalization. $Y = FFT(y(n))$ and $y(n)$ is equation (2). Additionally, this is no diversity but, full rate of communication systems can be achieved.

Simulation model

The system considered for this work is shown in Figure 1. There is one nTx SC-FDM transmitter and nRx receivers. The MIMO free space channel impulse response from the transmitter to the receiver r , where $r = 1 \dots nRx$, is modeled by equation (7) [11] - [12]

$$h_r(n) = \eta_r \cdot \frac{6a_r^6}{(n + a_r)^7}, \quad (7)$$

hence, $h_r(n)$ is the OWC channel response. $a_r = 12\sqrt{11/13} \cdot \tau_{rms,r}$ is the normalized factor of the root mean square channel delay spread which is denoted by $\tau_{rms,r}$. η_r is the ling-of-sight links, which is expressed by equation (8):

$$\eta_r = \frac{(m+1)A}{2\pi d_r^2} \cos^m(\alpha_r) \cos(\beta_r). \quad (8)$$

Hence, $-\frac{\pi}{2} \leq \alpha_r \leq \frac{\pi}{2}$ and $-\frac{\pi}{2} \leq \beta_r \leq \frac{\pi}{2}$. Unless, h_r will be equaled zeros. A is the active area of the avalanchephoto detector (APD) and the order of Lambertian emission, denoted by m , is given by equation (9)

$$m = \frac{-\ln(2)}{\ln(\cos(\varphi_{1/2}))}, \quad (9)$$

where $\varphi_{1/2}$ is the semiangle at half-power of transmit power.

In this work, $N_C = 1024$, $N_b = N_C/4 = 256$ and the number for CP is 128 ($= N_C/8$) were assumed. The number of M-QAM and number of receiver antenna were investigated. Additionally, the simulated parameters are as follows: $\varphi_{1/2} = 60^\circ$, then $m = 1$, $A = 15\text{mm}^2$, $d_r = 2m$, $\alpha_r = 90^\circ$ and $\beta_r = 90^\circ$.

Simulation Results

The numerical simulations using Matlab are discussed in this section. The system performance was analyzed in terms of BER and the system design parameters were examined.

Firstly, the single input multiple output (SIMO) with diversity schemes including MRC and frequency diversity was investigated. The number of receive antenna of 50 elements was assumed, ($nRx = 50$). 256-QAM was used and the BER result is shown in Figure 2. As can be seen, the proposed MRC with frequency diversity gave the lowest BER and the SNR gained a lot when compared with the case of no diversity. It can clearly be seen that the system performance was significantly improved.

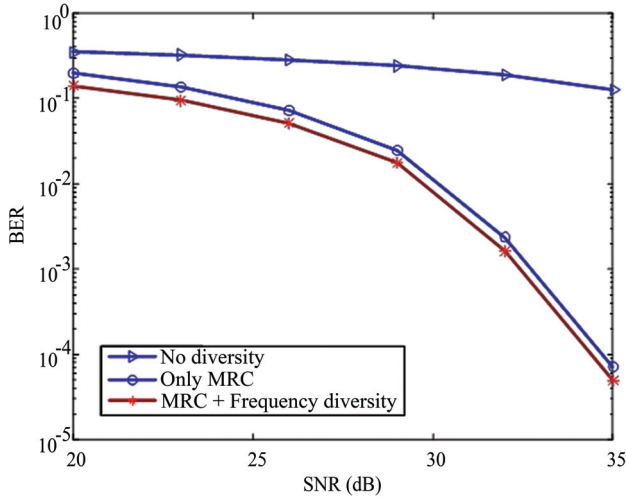


Figure 2 BER performance versus SNR for 256-QAM with various diversity schemes

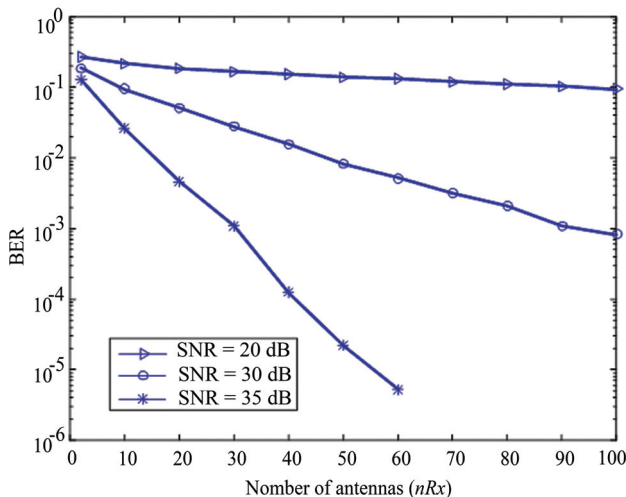


Figure 3 BER performance against the number of antennas (n_{Rx}) for 256-QAM with the SNR of 20 dB, 30 dB, and 35 dB

Figure 3 plots the BER against the number of antennas in which this value was varied from 2 to 100 elements and 256-QAM was adopted. The BER for the SNR of 20 dB, 30 dB, and 35 dB were compared. The results showed that when the number of antenna was increased, the BER reduced. This is because the SNR gain was enhanced. Especially, for the SNR of 35 dB at 60 elements of antennas, the BER free can be achieved.

Figure 4 depicts the comparison of BER performance with SNR for various modulation orders of M ary QAM. The number of antennas for 60 elements was assumed. As can be seen, if the SNR increased, the BER reduced for all M -QAM. To achieve error free, the SNR of

more than 21 dB, 27 dB and 33 dB were required for 16-QAM, 64-QAM and 256-QAM, respectively. Additionally, to reduce the number of antennas, a coding method would be required. For this work, the Reed–Solomon (RS) error correction code with hard decision decoding was adopted. In this test, 256-QAM with SNR=30 dB was assumed.

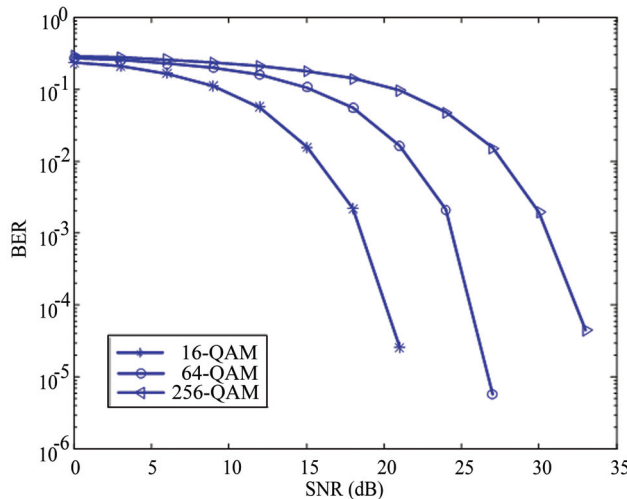


Figure 4 BER performance versus M-QAM with $nRx = 60$

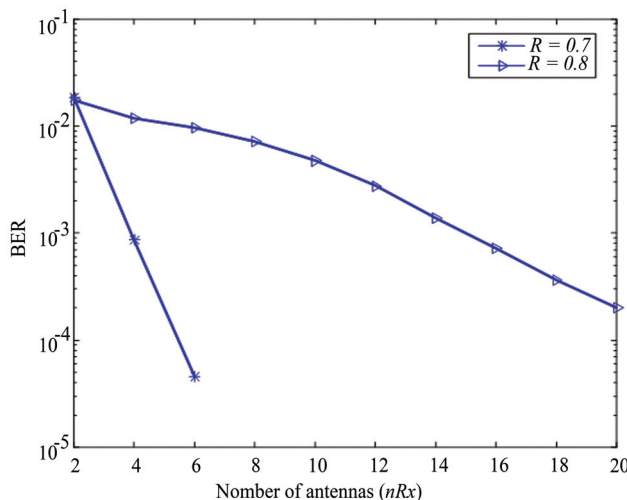
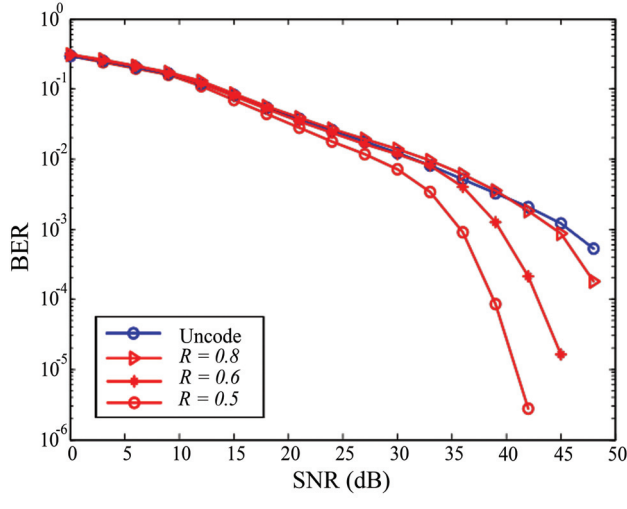


Figure 5 BER performance against SNR for 256-QAM with various coding gain (R)

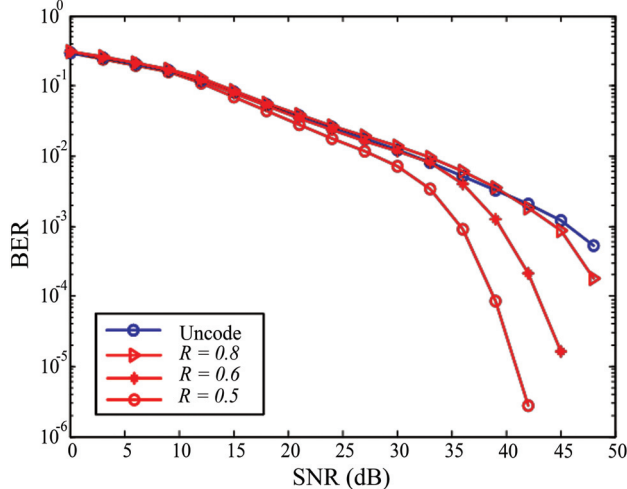
From figure 5, by using the RS code of rate 0.7 and 0.8 and as can be seen, when the coding gain is reduced, the BER decreased. Additionally, by referring to Figure 3, the nRx could be reduced more by using less coding gain; however, the complexity processing would be high when compared with only the MRC and frequency diversity were used. The other

way around, if the nRx could be decreased, the receiver size would be more compact. It is a trade-off and it depends on the design needed.

Second, MIMO scenario with zero forcing detection was investigated. The 2×2 MIMO and 4×4 MIMO were presented and the result is shown in Figure 6(a) and 6(b), respectively. 16-QAM was used in this case.



(a) 2×2 MIMO with various coding gain (R)



(b) 4×4 MIMO with coding gain of 0.5

Figure 6 BER performance versus SNR for 16-QAM

From Figure 6, it can be seen that the BER reduced when the SNR increased for both 2×2 and 4×4 MIMO. Additionally, for uncoded, the BER was higher than the coded.

Especially, 4×4 MIMO had very strong BER sensitivity. Moreover, the higher code rate, the lower BER. However, when comparison were made between the zero forcing method with the MRC systems from Figure 3, 5 and 6, the BER of zero forcing was higher than MRC. However, the zero forcing receivers gave higher communication speed.

Conclusions

An enhancement of system performance for OWC using MIMO SC-FDM was proposed in this work. MRC together with frequency diversity was employed to recover the information data and can be used to gain up the SNR. A huge M-QAM and large antennas order were also considered. To verify the system performance, the numerical simulation method was used. The results showed that the BER decreased when the number of antenna was increased. Additionally, at a higher SNR, the number of antenna requirement to get error free was reduced. Especially, when the RS-code was applied, the SNR was exponentially gained. For the coding gain of 0.7, the antennas of only 6 elements were required to obtain error free for 256-QAM. For zero forcing detection, it gave higher BER; however, the transmission rate was more than the MRC system, when compared at the same bit per symbol.

Acknowledgements

The authors would like to thank the anonymous reviewers for their valuable comments and suggestions to improve the quality of the paper. Additionally, we gratefully acknowledge everyone from my department for the support provided. This research project is supported by Rajamangala University of Technology Isan, Contract No. ENG 17/62.

References

- [1] Mesleh, R. and AL-Olaimat, A. (2018). Acousto-Optical Modulators for Free Space Optical Wireless Communication Systems. **Journal of Optical Communications and Networking**. Vol. 10, Issue 5, pp. 515-522. DOI: 10.1364/JOCN.10.000515
- [2] Liu, X., Gong, C., and Xu, Z. (2017). Sequential Detection for Optical Wireless Scattering Communication. **Journal of Optical Communications and Networking**. Vol. 9, Issue 9, pp. D86-D95. DOI: 10.1364/JOCN.9.000D86
- [3] Zeng, Z., Fu, S., Zhang, H., Dong, Y., and Cheng, J. (2017). A Survey of Underwater Optical Wireless Communications. **IEEE Communications Surveys & Tutorials**. Vol. 19, No. 1, pp. 204-238

- [4] Cho, Y. S., Kim, J., Yang, W. Y., and Kang, C. G. (2010). **MIMO-OFDM Wireless Communications with MATLAB®**. John Wiley and Sons. DOI: 10.1002/9780470825631
- [5] Azhar, A. H., Tran, T., and O'Brien, D. (2013). A Gigabit/s Indoor Wireless Transmission Using MIMO-OFDM Visible-Light Communications. **IEEE Photonics Technology Letters**. Vol. 25, Issue 2, DOI: 10.1109/lpt.2012.2231857
- [6] Abu-Ali, N., Taha, A. M., Salah, M., and Hassanein, H. (2014). Uplink Scheduling in LTE and LTE-Advanced: Tutorial, Survey and Evaluation Framework. **IEEE Communications Surveys & Tutorials**. Vol. 16, No. 3, pp. 1239-1265. DOI: 10.1109/SURV.2013.1127.00161
- [7] Puntsri, K. (2018). Experimental Demonstration of High Spectral Efficiency SC-FDMA with Soft Clipping for Optical Wireless Communication Systems. **IET Optoelectronics**. Vol. 12, Issue 2, pp. 80-85. DOI: 10.1049/iet-opt.2017.0073
- [8] Berenguer, P. W., Schulz, D., Hilt, J., Hellwig, P., Kleinpeter, G., Fischer, J. K., and Jungnickel, V. (2018). Optical Wireless MIMO Experiments in an Industrial Environment. **IEEE Journal on Selected Areas in Communications**. Vol. 36, Issue 1, pp. 185-193. DOI: 10.1109/JSAC.2017.2774618
- [9] Ntogiari, G., Kamalakis, T., and Sphicopoulos, T. (2012). Analysis of Indoor Multiple-Input Multiple-Output Coherent Optical Wireless Systems. **Journal of Lightwave Technology**. Vol. 30, No. 3, pp. 317-324. DOI: 10.1109/JLT.2011.2176553
- [10] Chen, C., Zhong, W., and Wu, D. (2017). On the Coverage of Multiple-Input Multiple-Output Visible Light Communications [Invited]. **IEEE/OSA Journal of Optical Communications and Networking**. Vol. 9, Issue 9, pp. D31-D41. DOI: 10.1364/JOCN.9.000D31
- [11] Navidpour, S. M., Uysal, M., and Kavehrad, M. (2007). BER Performance of Free-Space Optical Transmission with Spatial Diversity. **IEEE Transactions on Wireless Communications**. Vol. 6, Issue 8, pp. 2813-2819. DOI: 10.1109/TWC.2007.06109
- [12] Wu, L., Zhang, Z., and Liu, H. (2013). MIMO-OFDM Visible Light Communications System with Low Complexity. **2013 IEEE International Conference on Communications (ICC)**. 9-13 June 2013, Budapest, Hungary, pp. 3933-3937. DOI: 10.1109/ICC.2013.6655172

Effects of Thai Herb Extracts in Combination with High Pressure Treatment on the Microbial and Physicochemical Quality of Fresh Pork

Thananun Yuwang^{1*} Kanok-Orn Intarapichet¹ Kaemwich Jantama¹ and Ralf Lautenthaler²

Received: June 11, 2019; Revised: August 8, 2019; Accepted: August 23, 2019

Abstract

The objective of this study was to investigate the antibacterial activity of ethanolic extracts of 15 local Thai herbs against twelve different species of bacteria. The ethanolic extracts of *Schinus terebinthifolius*, *Spondias pinnata* (L.f.) Kurz and *Garcinia mangostana* Linn had a greater potential as antimicrobial agents against Gram positive and Gram negative bacteria and *Spondias pinnata* (L.f.) Kurz showed the most effective activity against all dominant floras. This study also evaluated the impact of high hydrostatic pressure processing (HHP at 200 and 300 MPa) in combination with crude bacteriocins (B), *Spondias pinnata* (L.f., Kurz (E1) or *Schinus terebinthifolius* (E3) on the microbial, physicochemical quality and shelf life of vacuum packed pork loins, stored at 4 °C for 9 days. At 200 MPa, total plate count (TPCs) of samples from all treatments in day 0, 6 and 9 were not different. However, the HHP samples had a different count from the others on day 3. At 200 MPa, the TPCs of HHP + E1 sample was higher ($p < 0.05$) than those of HHP + E3 and HHP + B. Increasing pressure for HHP had no impact on the pH, a_w and weight loss (%) of the pork samples for all treatments. L^* and a^* values of all treated samples increased while the b^* value decreased slightly and then remained constant. Pork samples from all treatments became tender ($p < 0.05$)

¹ Institute of Agricultural Technology, Suranaree University of Technology

² Max Rubner-Institute Kulmbach, E.-C.-Baumann -Straße 20, 95326 Kulmbach, Germany

* Corresponding Author E - mail Address: thananunyuwang@gmail.com

as storage time progressed each day. This finding suggested that HHP in combination with herb extracts could improve the microbiological quality and tenderness of fresh pork during storage and had a minimal effect on the color of the fresh pork.

Keywords: Thai Herb Extracts; High Hydrostatic Pressure (HHP); Microbial and Physicochemical Quality; Fresh Pork

Introduction

Pork is currently the most widely consumed meat in the world followed by poultry, beef, and mutton [1] and the global demand for pork meat continues to rise [2]. Pork meat offers a rich nutrient matrix that provides a suitable environment for the proliferation of pork meat spoilage microorganisms and common foodborne pathogens. Therefore, adequate preservation technologies must be applied in order to preserve its safety and quality. Food safety is the top priority for authorities and consumers worldwide. Consumers demand high quality, convenient, innovative, regular and safe pork meat products with natural flavors and tastes and an extended shelf life.

High pressure processing (HPP), a non - thermal technology, is being increasingly used in the meat industry to extend the shelf life of its products and to improve its quality characteristics [3] - [5]. High hydrostatic pressure (HHP) processing is carried out with intense pressure in the range of 100 - 1000 MPa, with or without heat, allowing most foods to be preserved with minimal effect on taste, texture or nutritional characteristics. The main advantage of HHP processing, compared with thermal sterilization and pasteurization, is the maintenance of the sensory and nutritional characteristics of the treated food products [6]. HHP technology has been successfully applied to the processing of cured meat products - cooked or dried and cooked ready to - eat meats [7]. However, it has been reported that HHP can impact structural, physicochemical, morphological and textural characteristics of the meat, and can cause partial discoloration of fresh red meat [8] - [9]. Thus, the physicochemical properties of HHP treated meat should be evaluated. High pressure processing may be combined with other preservation methods to increase its efficacy and commercial feasibility. Current and potential food additives, such as bacteriocins, have been tested in combination with high pressure processing. Combining phenolic compounds, which are hydrophobic, with high pressure may be useful in controlling pathogens, particularly in fat - rich food such as salad dressings and sausage [10]. To further increase the shelf life and safety of pressurized products, HHP has been investigated in combination with other technologies such as bacteriocins or other natural antimicrobials [11].

For a long time, plants have been an important source of natural products for human health. The antimicrobial properties of plants have been investigated by a number of studies worldwide and many of them have been used as therapeutic alternatives because of their antimicrobial properties [12]. Some herb extracts have been reported as antimicrobial such as *Momordica charantia* L. [13], *Sauvagesia androgynus* (L.) Merr. [14], *Schinus terebinthifolius* [15], *Anacardium occidentale* [16], *Centella asiatica* [17], *Spondias pinnata* (Linn. F.) kurz [18], *Garcinia mangostana* Linn [19], *Senna siamea* Lam. [20], and *Barringtonia acutangula* (L.) Gaertn [21]. Thai plants have been used as medicines for many centuries because they contain active phytochemicals including phenolic compounds. These components function as antibiotics, help to make cell walls impermeable to gas and water, act as structural materials to give plants stability and provide protection against ultraviolet (UV) light. Hence, plants in the tropical zone including Thailand contain a high concentration of phenolic compounds formed as secondary metabolites in plants [22].

Therefore, the objectives of this study were to evaluate and screen antimicrobial efficiency of 15 local Thai herbs ethanolic extracts with 12 pathogenic and dominant spoilage bacteria isolated from fresh pork by the paper disc diffusion technique. The objectives also included an investigation of the effectiveness of HHP in combination with the most active antibacterial herb extract or bacteriocins on inhibition growth of normal bacterial flora on fresh pork, and to evaluate physicochemical properties of treated pork packed under vacuum conditions and stored at 4 °C.

Materials and Methods

1. Preparation of Herb Extracts

The fifteen indigenous herbs used for this study as shown in Table 1 were purchased from local markets in Sakon Nakhon Province and the Thai herbs collection division of the Sakon Nakhon Campus of Rajamangala University of Technology Isan in July 2010. The herbs were cut into small pieces, freeze dried (Heto FD8 Thermo Electron Corporation, USA) and finely ground (IKA-Werke GmbH & Co., Germany) and stored at -20 °C for further application. For the ethanolic extracts, the dried herbs were mixed at 50 g each of dried herbs with 400 ml of 95 % (v/v) ethanol and constantly shaken at 100 rpm for 12 h (New Brunswick Scientific, UK). The mixture was filtered through a Whatman No. 1. The residue was re-extracted with 200 ml of 95 % ethanol, the filtrates combined and concentrated on a rotary evaporator (Rotary evaporator rotavapor R-114, Buchi, Switzerland) at 40 °C. The extract was freeze dried (Heto FD8, Thermo Electron Corporation, USA), stored in a sealed bottle and kept at -20 °C until use. The dried herb powder was

solubilized with 1 % Dimethyl sulfoxide to prepare a herb solution at concentrations of 20, 60 and 100 ppm for testing antimicrobial activity against the indicator bacteria.

Table 1 List of collected Thai indigenous herbs used for the study

Common name/Thai name	Scientific name	Parts of herbs used
1. Bitter cucumber/ma ra khee nok	<i>Momordica charantia</i>	Leaves / branches
2. Horse tamarind/gra tin	<i>Leucaena leucocephala</i> (Lamk.) de Wit	Leaves / branches
3. Cassod tree/khee lek	<i>Senna siamea</i> Lam	Leaves / branches
4. Sweet vegetable/phuk-wan	<i>Sauvopis androgynus</i>	Leaves / branches
5. Brazillian pepper tree/ma toom khaek	<i>Schinus terebinthifolius</i>	Leaves / branches
6. Horse radish tree/ma room	<i>Moringa oleifera</i> Lam	Leaves / branches
7. Cashew nut tree/ma maung himmapaan	<i>Anacardium occidentale</i>	Leaves / branches
8. Asiatic pennywort/bua bok	<i>Centella asiatica</i>	Leaves / branches
9. Wood apple/ma sung	<i>Feroniella lucida</i> (Scheff.)	Leaves / branches
10. Hog plum/ma gok paa	<i>Spondias pinnata</i> (L.f.) Kurz	Leaves / branches
11. Mangosteen/mungkoot	<i>Garcinia mangostana</i> Linn	Peel or pericarp
12. Tummy-wood, Patana oak	<i>Careya sphaerica</i> Roxb.	Leaves / branches
13. Sea holly/ngeak pla mhoo	<i>Acanthus ebracteatus</i> Vahl	Leaves / branches
14. Phuk mek	<i>Syzygium gratum</i> (Wight) S.N.Mitra var. <i>gratum</i>	Leaves / branches
15. Sesban/khae baan	<i>Sesban sesbania</i>	Leaves / branches

2. Determination of Antimicrobial Activity: Paper Disk Diffusion Assay

The selected indicator bacteria obtained from the Thailand Institute of Scientific and Technological Research (TISTR) were used for testing antibacterial activity of herb extracts. Twelve bacterial strains, namely *Pseudomonas fluorescens* TISTR 358, *Staphylococcus aureus* TISTR 029, *Escherichia coli* TISTR 887, *Acinetobacter calcoaceticus* TISTR 1264, *Enterobacter aerogenes* TISTR 1540, *Enterococcus faecalis* TISTR 379, *Micrococcus luteus* TISTR745, *Listeria monocytogenes* TISTR17303 and dominant spoilage bacteria isolated from fresh pork; PM20 (96.0 % similar to *Serratia liquefaciens*), MT35 (74 % similar to *Klebsiella oxytoca*), PM23 (99.0 % similar to *Enterobacter* sp.) and MT4 (99.9 % similar to *Hafnia alvei*) were used for antibacterial testing. Stock bacterial cultures were maintained at 4 °C on agar slant. The cultivation/assay medium for *L. monocytogenes* and *S. aureus* was tryptone soy broth or agar (TSB, TSA, Oxoid, Hampshire, UK), for other strains nutrient broth or agar (Muller Hilton) were used. Active culture for the experiment

was prepared by streaking a loop full of bacterial culture on agar petri dishes and then incubating them at 30 or 37 °C for 24 h. The antibacterial action of the extract was tested on different bacterial strains using the paper disk diffusion method [23]. For the cultivation/assay, the medium used was the same as above. The bacterial cultures for antimicrobial testing were prepared by picking a colony from 24-h-old TSA/NA plates and suspended in an appropriate medium. The cultures were grown aerobically for 18 - 20 h and continuously centrifuged at 9,000 rpm at 4 °C. The bacterial suspension was adjusted by diluting the inoculated bacteria with sterile 0.85 % NaCl until it reached the desirable level of about 10^6 - 10^8 CFU/ml. The cultures were subsequently transferred into a flask containing 25 ml of sterile nutrient agar at 43 - 45 °C, and poured into a Petri dish plate (8 cm diameter). Ten sterile paper disks (6 mm in diameter; Becton, Dickinson & Co.) were impregnated with known amounts of the test substances. Then, the disks containing the test materials were placed onto the surface of each plate uniformly seeded with the test microorganisms. The plates were incubated at 37 °C for 24 h. The paper disks impregnated with 1 % DMSO were used as a negative control and a disk with 200 ppm of nisin served as a positive control. Experiments were performed in triplicate. The inhibition zone diameter was measured (including the filter paper disk, 6 mm in diameter) using vernier caliper and expressed a clear zone in millimetres.

3. Preparation of Herb Extracts and Bacteriocins for High Pressure Processing

Two Thai herbs; *Spondias pinnata* (L.f.) Kurz (E1) and *Schinus terebinthifolius* (E3) were screened and selected from 15 local Thai herbs according to their ability to inhibit growth of indicator bacteria and predominant bacteria obtained from fresh pork samples. The herb extract powder was resolubilized in 1 % DMSO at concentration of 1 % w/v. Then, the extract solution was shaken at 150 rpm, 20 min, 40 °C, centrifuged at 9,000 rpm, at 4 °C for 15 min then filtered through a Whatman No 1 filter paper. The filtrate was again filtered through a sterile cellulose acetate filter (0.45 micron) and the final filtrate was kept at 4 °C before use. The freeze-dried powder of crude bacteriocins (B) was prepared from the fermentation of *Lactococcus lactis* TISTR 1401 according the method of Intarapichet, K. and Gosaarak, S. [24].

4. Sample Preparation and High Pressure Processing

Fresh postmortem pork loins (*Longissimus dorsi*) were obtained from the Max Rubner-Institute, Kulmbach, Germany. Visible fat was trimmed off the loin and then they were transversally cut at about 2.54 cm thick per slice. The pork slices were randomly dipped in 0.2 % crude bacteriocins or 1.0 % of each extract solution, then vacuum packaged in plastic bags (PA/PE:O₂ 30 cm³ per m² and CO₂ 150 cm³) and kept in a freezing room before being pressurized at 200 or 300 MPa at 10 °C for 10 min. The HHP treatment

was carried out in an industrial hydrostatic pressurization unit (EPSI N.V. Belgium). The treated pork samples were stored at 4 ± 1 °C for 9 days and sampled for aerobic plate counts, weight loss, tenderness, pH, a_w and color measurement every 3 days.

4.1 Microbial Enumeration

At each selected time, a piece of meat was extracted aseptically using a sterilized template and placed in a sterile plastic bag with 1 ml of sterile 0.85 % NaCl solution and finally diluted with 9 ml of 0.85 % NaCl solution. After homogenization for 90 s in a Stomacher blender dilutions were made to determine the microbial count using the CFU (colony forming unit) method. All counts were evaluated by pour plate technique with 1 ml of appropriate dilutions. Aerobic mesophilic counts were determined on plate count agar (PCA, Biokar) incubated at 30 °C for 72 h. The plates were prepared in duplicate for each dilution. The detection limit was 5 CFU/g for meat, and the results are expressed in log CFU/cm². Microbial enumeration was performed every 3 days during storage at 4 °C (9 days total).

4.2 Physical Quality

The weight loss percentage was determined by calculating the weight difference of the pork sample before and after cooking to an internal temperature of 72 °C.

The color of sample was measured in terms of CIE L*, a*, b* values using a colorimeter with the Minolta Chromameter CR 300 (Konica Minolta, Munich, Germany).

The texture of the sample was measured in Hardness, the Warner-Bratzler shear force value was determined using a texture analyzer (3369 Instron, Pfungstadt, Germany).

The pH values were determined by Knick Portamess 912 pH; Electrode SE 104 C (Knick Elektronische Messgeräte GmbH & Co. KG, Berlin, Germany).

Water activity was measured using the following device: A Type SE a_w Lab (company: SE-Schulz Electronic, Höhenkirchen, Germany). A high pressure food processor EPSI N.V. (Belgium): Meat temp = 0 °C, Temperature medium = -5 - -10 °C, Pressure medium : H₂O : Glycol 50 : 50, Finish temp = 10 °C

5. Statistical analysis

A statistical analysis was evaluated by a randomized complete block design. The variance was analyzed and a comparison of means was done using Duncan's Multiple Range Test. The significant difference was defined at p < 0.05.

Results and Discussion

1. Inhibition of Selected Herbs Extracts against Indicator Bacteria

Preliminary screening of the antimicrobial activity of the fifteen local Thai herbs against 12 pathogens microorganisms using the filter paper disk agar diffusion technique is shown in Table 2. The testing capability of the antimicrobial efficacy for the selected Thai herb extracts tested against indicators are shown in Table 2. The results from the clear zone showed that only *Spondias pinnata* (L.f.) Kurz extract could inhibit all of 12 indicator bacteria while *Momordica charantia*, *Leucaena leucocephala* (Lamk.) de Wit, *Sauvagesia androgynus*, *Moringa oleifera* Lam, *Centella asiatica*, *Feroniella lucida* (Scheff.), *Acanthus ebracteatus* Vahl and *Sesban sesbania* showed no inhibition. Four ethanolic extracts from *Senna siamea* Lam, *Schinus terebinthifolius*, *Anacardium occidentale* and *Garcinia mangostana* Linn could inhibit the same species of bacteria both Gram - positive and Gram - negative. At a high concentration of ethanolic extract from *Careya sphaerica* Roxb. and *Syzygium gratum* (Wight) S.N.Mitra var. *gratum*, the extract could inhibit the same species of bacteria and the same gram strain too. The ethanolic extracts of *Schinus terebinthifolius*, *Spondias pinnata* (L.f.) Kurz and *Garcinia mangostana* Linn had a greater potential as an antimicrobial agent against Gram positive and Gram negative bacterias. The results in antibacterial activity of some Thai local herbs are in agreement with the results of some earlier studies. Bukar, A. et al. reported the ethanolic extract of *Senna siamea* Lam against *Pseudomonas aeruginosa* at high concentration levels of 500 µg/disk and 1,000 µg/disk had zones of inhibition of 10 mm and 16 mm, respectively [20]. Torrungruang, K. et al. reported the antibacterial activity of mangosteen pericarp extract against cariogenic *Streptococcus mutans* [25]. The studies of De Lima, M. R. F. et al. using extracts of *Schinus terebinthifolius* showed activity against *S. aureus* but were not active against *Escherichia coli* [26]. These activities may be attributed to the presence of m-cymene, 1- β -pinene, α -pinene, α -terpinene, γ -terpinene and camphene found in *S. terebinthifolius* essential oil. It has been demonstrated that α -pinene and β -pinene are able to destroy cellular integrity and thereby inhibit the respiration and ion transport processes. They also increase the membrane permeability in yeast cells and in isolated mitochondria [27]. Our results are in agreement with the findings of Mayachiew, P. and Devahastin, S. [28] who reported good antimicrobial activity for local Thai herbs and spices (*Phyllanthus emblica* Linn (Makham Pom) and *Alpinia galangal* (Kha)). The main reason for the differences in bacterial susceptibility could be the outer membrane surrounding the cell wall in gram - negative bacteria, which restricts the diffusion of compounds through its lipopolysaccharide covering [29]. In addition, the periplasmatic space contains enzymes which are capable of breaking

down foreign molecules introduced from the outside [29]. Our results showed remarkable antimicrobial activity for the ethanol extract of *Spondias pinnata* (L.f.) Kurz against all microorganisms tested, both Gram positive and Gram negative bacteria, followed by *Schinus terebinthifolius*. Therefore, the ethanol extract of these two Thai herb extracts were selected to study the effectiveness of HHP in combination with these two Thai herb extracts on the growth inhibition for normal bacterial flora on fresh pork.

Table 2 Antimicrobial activity of local Thai herbs extracts by paper disc diffusion test

Local Thai herbs	Ethanolic Extract (ppm)	Zone of inhibitions (mm)											
		<i>E. aerogenes</i>	<i>S. aureus</i>	<i>P. fluorescens</i>	<i>E. faecalis</i>	<i>M. luteus</i>	<i>L. monocytogenes</i>	<i>E. coli</i>	<i>S. liquefaciens</i> (PM20)	<i>K. oxytoca</i> (MT35)	<i>Enterobacter sp.</i> (PM23)	<i>A. calcoaceticus</i>	<i>H. alvei</i> (MT4)
<i>Momordica charantia</i>	20	-	-	-	-	-	-	-	-	-	-	-	
	60	-	-	-	-	-	-	-	-	-	-	-	
	100	-	-	-	-	-	-	-	-	-	-	-	
Nisin	200	-	+	-	-	+	-	-	-	+	+	-	++
<i>Leucaena leucocephala</i> (Lamk.) de Wit	20	-	-	-	-	-	-	-	-	-	-	-	
	60	-	-	-	-	-	-	-	-	-	-	-	
	100	-	-	-	-	-	-	-	-	-	-	-	
Nisin	200	-	+	-	-	+	-	-	-	+	+	-	++
<i>Senna siamea</i> Lam	20	-	-	-	-	-	-	-	-	-	-	-	
	60	-	-	-	-	-	-	-	-	-	-	-	
	100	+	-	-	+	++	-	-	-	-	-	-	
Nisin	200	-	+	-	-	+	-	-	-	+	+	-	

Table 2 Antimicrobial activity of local Thai herbs extracts by paper disc diffusion test (Cont.)

Local Thai herbs	Ethanolic Extract (ppm)	Zone of inhibitions (mm)										
		<i>E.aerogenes</i>	<i>S.aureus</i>	<i>P.fluorescens</i>	<i>E.faecalis</i>	<i>M.luteus</i>	<i>L.monocytogenes</i>	<i>E.coli</i>	<i>S.liquefaciens</i> (PM20)	<i>K.oxytoca</i> (MT35) (PM23)	<i>Enterobacter sp.</i> (PM23)	
<i>Sauvopas androgynus</i>	20	-	-	-	-	-	-	-	-	-	-	
	60	-	-	-	-	-	-	-	-	-	-	
	100	-	-	-	-	-	-	-	-	-	-	
Nisin	200	-	+	-	-	+	-	-	+	+	-	++
<i>Schinus terebinthifolius</i>	20	-	-	-	-	-	-	-	-	-	-	
	60	-	+	-	-	-	-	-	-	-	-	
	100	-	++	++	++	++	+	-	-	-	-	
Nisin	200	-	+	-	-	+	-	-	+	+	-	++
<i>Moringa oleifera Lam</i>	20	-	-	-	-	-	-	-	-	-	-	
	60	-	-	-	-	-	-	-	-	-	-	
	100	-	-	-	-	-	-	-	-	-	-	
Nisin	200	-	+	-	-	+	-	-	+	+	-	++
<i>Anacardium occidentale</i>	20	-	-	-	-	-	-	-	-	-	-	
	60	-	+	-	-	-	-	-	-	-	-	
	100	-	+	-	+	+	+	-	-	-	-	
Nisin	200	-	+	-	-	+	-	-	+	+	-	++
<i>Centella asiatica</i>	20	-	-	-	-	-	-	-	-	-	-	
	60	-	-	-	-	-	-	-	-	-	-	
	100	-	-	-	-	-	-	-	-	-	-	
Nisin	200	-	+	-	-	+	-	-	+	+	-	++

Table 2 Antimicrobial activity of local Thai herbs extracts by paper disc diffusion test (Cont.)

Local Thai herbs	Ethanolic Extract (ppm)	Zone of inhibitions (mm)											
		<i>E.aerogenes</i>	<i>S.aureus</i>	<i>P.fluorescens</i>	<i>E.faecalis</i>	<i>M.luteus</i>	<i>L.monocytogenes</i>	<i>E.coli</i>	<i>S.liquefaciens</i> (PM20)	<i>K.oxytoca</i> (MT35)	<i>Enterobacter sp.</i> (PM23)	<i>A.calcoaceticus</i>	<i>H.alvei</i> (MT4)
<i>Feroniella lucida</i> (Schef.)	20	-	-	-	-	-	-	-	-	-	-	-	
	60	-	-	-	-	-	-	-	-	-	-	-	
	100	-	-	-	-	-	-	-	-	-	-	-	
Nisin	200	-	+	-	-	+	-	-	-	+	+	-	++
<i>Spondias pinnata</i> (L.f.) Kurz	20	-	++	-	+	+++	-	-	-	-	+	-	-
	60	+	++	++	++	+++	-	++	++	+	++	++	-
	100	++	+++	+++	++	+++	+	++	++	++	+++	+++	++
Nisin	200	-	+	-	-	+	-	-	-	+	+	-	++
<i>Garcinia mangostana</i> Linn.	20	-	+	-	+	++	-	-	-	-	-	-	-
	60	-	++	-	++	++	-	-	-	-	-	-	-
	100	-	++	-	++	+++	+	-	-	-	-	-	-
Nisin	200	-	+	-	-	+	-	-	-	+	+	-	++
<i>Careya sphaerica</i> Roxb.	20	-	-	-	-	-	-	-	-	-	-	-	-
	60	+	-	-	-	-	-	-	-	-	-	-	-
	100	-	+	-	-	++	-	-	-	-	-	-	-
Nisin	200	-	+	-	-	+	-	-	-	+	+	-	++

Table 2 Antimicrobial activity of local Thai herbs extracts by paper disc diffusion test (Cont.)

Local Thai herbs	Ethanolic Extract (ppm)	Zone of inhibitions (mm)											
		<i>E.aerogenes</i>	<i>S.aureus</i>	<i>P.fluorescens</i>	<i>E.faecalis</i>	<i>M.luteus</i>	<i>L.monocytogenes</i>	<i>E.coli</i>	<i>S.liquefaciens</i> (PM20)	<i>K.oxytoca</i> (MT35)	<i>Enterobacter sp.</i> (PM23)	<i>A.calcoaceticus</i>	<i>H.alvei</i> (MT4)
<i>Acanthus ebracteatus Vahl</i>	20	-	-	-	-	-	-	-	-	-	-	-	
	60	-	-	-	-	-	-	-	-	-	-	-	
	100	-	-	-	-	-	-	-	-	-	-	-	
Nisin	200	-	+	-	-	+	-	-	-	+	+	-	++
<i>Syzygium gratum</i> (Wight) S.N.Mitra var. <i>gratum</i>	20	-	-	-	-	-	-	-	-	-	-	-	
	60	-	-	-	-	-	-	-	-	-	-	-	
	100	-	-	-	-	+++	-	-	-	-	-	-	
Nisin	200	-	+	-	-	+	-	-	-	+	+	-	++

Note; -, No inhibition; +, <10 mm.; ++, 10-15 mm.; +++, >15 mm.; Nisin 200 ppm for positive control; DMSO 1 % for negative control

2. Total Plate Counts of Vacuum Packed Pork

Total plate counts of pork chops in vacuum packed treated by HHP at 200 MPa and in combination with herb extracts and crude bacteriocins and control samples (without HHP) are shown in Figure 1. Compared with a control without high pressure at the beginning, it was observed that only HHP could reduce total counts of 0.74 log CFU/cm² which is better than all combined treatments. From day 3 to 6, HHP combined with B and with E1 and E3 gave the same results for a total count reduction (0.37 - 0.95 log CFU/cm²). For the last day of storage, HHP, HHP combined with E1 and E3 gave no difference in TPCs (1.53, 1.39, 1.26 log CFU/cm², respectively) and a better reduction in TPC than the treatment of HHP combined with B (0.5 log CFU/cm²). When compared with the combined treatments at day 0, 6 and 9, there was no significant difference ($p > 0.05$) of TPCs except for day 3 when the treatment of HHP and HHP combined with E1 showed higher TPCs ($p < 0.05$)

than the HHP combined with E3 and HHP combined with B. These results indicate that HHP, HHP in combination with herb extract and bacteriocins can inhibit the growth of normal bacterial flora on fresh pork.

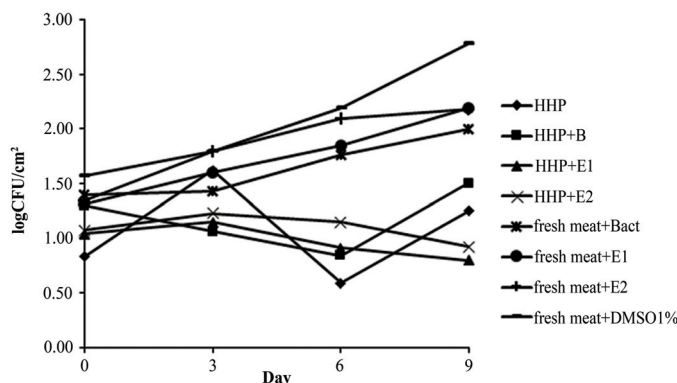


Figure 1 Total plate count of vacuum packed pork chops treated by HHP at 200 MPa and in combination with herb extracts (E1, E3), and crude bacteriocins (B) ($n = 4$).

3. Physical Quality of Vacuum Packed Pork

3.1 Color

Color is one of the most important factors that can influence consumers' purchase preferences of fresh meat [30] - [31]. Regarding chromatic parameters (Table 3), for samples treated at 200 MPa HHP, it could be seen that L^* increased significantly ($p < 0.05$) in HHP sample compared with other treated samples. On applying pressure at 300 MPa for all samples, it could be seen that L^* increased in comparison with a lower pressure. The increment of the L^* value could be associated with globin denaturation and/or with heme displacement at pressures above 300 MPa [32]. These results are in agreement with those of Cheftel, J. C., and Culoli, J. [33] who reported an increase in L^* values or "whitening/brightening" effect of pressure which can be attributed to globin denaturation, heme displacement or release, and ferrous ion oxidation. The increase in L^* values started from 200 MPa and become stabilized for pressures around 300 - 400 MPa, as shown by Carlez, A. et al. in beef mince [32] and Shigehisa, T. et al. in pork slurries [34]. It was reported that there was an increase in L^* value between treatments at 200 and 300 MPa, but no significant difference between 300 and 400 MPa [35]. In addition, Sun, S. et al. found that 600 MPa HPP treated steaks were lighter than non-HPP treated steaks [31]. Additionally, Ledward reported that protein precipitation that could lead to loss of solubility is the main reason for higher L^* value of meat color [36].

For the pressurization of pork at 200 MPa, the HHP and HHP+B treated samples had a* value with significantly lower values ($p < 0.05$) than HHP+E1 and HHP+E3 treated ones throughout the storage time (Table 4). When the pressure at 300 MPa was used, a*values of all treated samples remained almost constant but slightly higher than all samples treated at 200 MPa. An increase in the redness of the pork samples correlated with a lower accumulation of metmyoglobin during pressurized sample storage [37]. At pressures up to 300 MPa, with a liquid pressurization of 10 °C, the production of metmyoglobin was decreased leading to an increase in a* value [38]. An increase in the a* value is likely due to mechanism - alteration of the redox chemistry of myoglobin [31].

For modification of b* parameter (Table 5), pressurized at 200 and 300 MPa of HHP, HHP+E3 and HHP+E1 tended to stay constant while the HHP+B gradually decreased with storage time. It could be seen that the application of higher pressures led to a slight increase in b*. The increase in b* values could be due to metmyoglobin formation initiated by HHP [32].

Table 3 The color L* of pork chops in vacuum packed treated by combined HHP (200 and 300 MPa) with extracts (E1, E3), crude bacteriocins (B) (Mean ± SD).

Pressure	Day of storage	L* value			
		HHP	HHP+B	HHP+E1	HHP+E3
200 MPa	0	69.11±0.7 ^A	68.30±1.9 ^{bca}	68.57±2.0 ^{aA}	66.12±0.2 ^{aB}
	3	67.39±1.2 ^B	71.70±4.0 ^{aA}	67.64±4.2 ^{aB}	62.34±6.8 ^{aB}
	6	67.39±2.7 ^A	69.68±0.7 ^{bA}	64.87±1.8 ^{bbB}	56.70±4.1 ^{bC}
	9	70.36±6.4 ^A	66.68±2.0 ^{cB}	66.705±1.8 ^{abbB}	67.15±2.8 ^{aB}
300 MPa	0	71.49±3.1 ^{aB}	74.76±2.5 ^{aA}	73.36±0.3 ^{aAB}	72.01±4.7 ^{aB}
	3	68.51±1.2 ^{bbB}	69.30±2.7 ^{bbB}	68.94±5.6 ^{bbB}	71.80±1.2 ^{aA}
	6	68.14±1.4 ^{bbB}	70.43±2.3 ^{bA}	66.13±1.0 ^{cC}	64.73±1.7 ^{cC}
	9	71.61±5.1 ^{aA}	71.23±5.4 ^{bA}	63.29±3.4 ^{cB}	67.79±2.1 ^{bbB}

Upper case letters are significantly different in the same row ($p < 0.05$).

Lower case letters are significantly different in the same column ($p < 0.05$) ($n = 20$).

Table 4 The color a* of vacuum packed pork chops treated by HHP (200 and 300 MPa) and in combination with herb extracts (E1, E3), and crude bacteriocins (B) (Mean \pm SD).

Pressure	Day of storage	a* value			
		HHP	HHP+B	HHP+E1	HHP+E3
200 MPa	0	7.80 \pm 0.7 ^C	9.97 \pm 0.9 ^{aA}	8.63 \pm 1.3 ^{cBC}	9.49 \pm 0.3 ^{bAB}
	3	8.48 \pm 0.3 ^B	9.92 \pm 0.9 ^{aA}	9.52 \pm 1.2 ^{bA}	9.23 \pm 1.6 ^{abA}
	6	9.01 \pm 1.5 ^{BC}	9.55 \pm 0.4 ^{aB}	11.60 \pm 0.5 ^{aA}	8.50 \pm 0.8 ^{cC}
	9	7.93 \pm 1.3 ^C	8.08 \pm 0.7 ^{bC}	10.83 \pm 0.1 ^{aA}	9.86 \pm 0.7 ^{aB}
300 MPa	0	10.55 \pm 0.1 ^{bA}	8.35 \pm 0.3 ^{bC}	9.56 \pm 1.1 ^{cB}	9.87 \pm 0.8 ^B
	3	12.62 \pm 1.5 ^{aA}	11.08 \pm 0.5 ^B	11.39 \pm 0.9 ^{bbB}	11.10 \pm 0.7 ^B
	6	10.39 \pm 1.4 ^b	11.47 \pm 1.2 ^a	11.51 \pm 0.7 ^b	11.11 \pm 0.7
	9	10.82 \pm 0.2 ^b	10.74 \pm 0.1 ^a	12.55 \pm 0.7 ^a	12.70 \pm 1.7

Upper case letters are significantly different in the same row ($p < 0.05$).

Lower case letters are significantly different in the same column ($p < 0.05$) ($n = 20$).

Table 5 The color b* of vacuum packed pork chops treated by HHP (200 and 300 MPa) and in combination with herb extracts (E1, E3), and crude bacteriocins (B) (Mean \pm SD).

Pressure	Day of storage	b* value			
		HHP	HHP+B	HHP+E1	HHP+E3
200 MPa	0	6.50 \pm 0.5 ^{aB}	7.43 \pm 0.7 ^{aA}	7.22 \pm 1.2 ^A	5.63 \pm 0.7 ^{aC}
	3	5.44 \pm 0.9 ^{bC}	6.65 \pm 0.4 ^{bAB}	7.06 \pm 0.3 ^A	4.50 \pm 2.2 ^{aC}
	6	5.30 \pm 1.2 ^{bB}	5.88 \pm 0.5 ^{cB}	7.28 \pm 0.5 ^A	3.17 \pm 1.1 ^{bC}
	9	6.07 \pm 2.0 ^{abB}	5.36 \pm 0.4 ^{dC}	7.49 \pm 1.0 ^A	6.29 \pm 0.6 ^{aB}
300 MPa	0	7.39 \pm 1.0 ^{aB}	7.15 \pm 0.9 ^{aBC}	8.14 \pm 0.3 ^{aA}	6.55 \pm 1.4 ^{aC}
	3	6.19 \pm 0.9 ^{bB}	6.56 \pm 0.1 ^{bB}	7.48 \pm 2.1 ^{aA}	7.26 \pm 0.3 ^{aA}
	6	4.61 \pm 0.5 ^{cC}	6.22 \pm 0.5 ^{bA}	6.17 \pm 0.9 ^{bA}	5.54 \pm 0.5 ^{bB}
	9	6.53 \pm 1.6 ^{bBC}	6.15 \pm 1.0 ^{bC}	7.44 \pm 2.0 ^{aA}	7.21 \pm 1.7 ^{aAB}

Upper case letters are significantly different in the same row ($p < 0.05$).

Lower case letters are significantly different in the same column ($p < 0.05$) ($n = 20$).

3.2 Hardness, Weight Loss (%), Aw and pH

Consumer perception of hardness is considered the most important texture attribute and dictates the commercial value of meat [39]. The hardness of pork samples for all treatments pressurized at 200 MPa, HHP tended to be reduced except HHP+E1 during storage (Table 6). In addition when compared among treatments on the same day of storage, the hardness of HHP only was much higher than for the other treatments but not different from HHP+B and HHP+E3 for day 0 of storage, and HHP+E1 for day 6 of storage. These results suggest that HHP (at 200 MPa) in combination with two Thai herbs extracts could improve the tenderness of meat. The application of pressure at 300 MPa HHP, HHP+B and HHP+E3 led to an increase in the hardness of the pork samples at 3 days of storage but was not significantly different at the end of storage while the hardness of HHP+E1 was continuously reduced. This indicates that HHP (at 300 MPa) in combination with E1 could improve the tenderness of meat during storage. Normally, for pressures ranging from 100 to 300 MPa, changes are normally reversible, whereas at higher pressures they are normally non-reversible [11]. In addition, hardness increased at a relatively constant rate with a high-pressure processing treatment between 0 and 400 MPa [40]. The hardness increased as a result of high pressure processing at 200 and 400 MPa and during storage only minor changes in the hardness occurred. Even the non-pressurised sample showed only a small increase in the hardness during storage [41].

A combination of treatments of HHP with herb extracts and crude bacteriocins did not make any significant differences ($p > 0.05$) in weight loss (%) except at the pressure at 300 MPa which differed for the last day of storage (Table 7).

High pressure treatment of sliced pork loins at these medium pressure levels of 200 and 300 MPas and with a combination of crude bacteriocins and both herb extracts did not make any significant differences ($p > 0.05$) in a_w (95.9 ± 0.1 - 97.4 ± 0.5 %) and pH (5.6 ± 0.0 - 6.0 ± 0.0) (data not shown).

Table 6 The hardness of vacuum packed pork chops treated by HHP (200 and 300 MPa) and in combination with herb extracts (E1, E3), and crude bacteriocins (B) (Mean \pm SD).

Pressure	Day of storage	Hardness (N)			
		HHP	HHP+B	HHP+E1	HHP+E3
200 MPa	0	53.29 \pm 3.1 ^{aA}	50.12 \pm 3.6 ^{aA}	39.89 \pm 2.8 ^B	50.91 \pm 2.0 ^{aA}
	3	52.68 \pm 5.6 ^{aA}	42.67 \pm 4.2 ^{aB}	37.01 \pm 3.7 ^C	41.93 \pm 4.2 ^{bBC}
	6	40.22 \pm 5.2 ^{bA}	35.25 \pm 3.4 ^{bB}	39.03 \pm 5.5 ^A	32.26 \pm 4.6 ^{cB}
	9	42.27 \pm 4.5 ^{bA}	37.59 \pm 3.8 ^{bB}	36.97 \pm 3.4 ^B	31.86 \pm 4.3 ^{cC}
300 MPa	0	36.88 \pm 1.2 ^{bBC}	34.08 \pm 2.6 ^{bcC}	51.70 \pm 4.2 ^{aA}	38.99 \pm 4.6 ^{bb}
	3	48.81 \pm 5.5 ^a	46.21 \pm 3.7 ^a	45.06 \pm 2.2 ^b	43.17 \pm 3.0 ^a
	6	40.43 \pm 2.3 ^{bA}	31.48 \pm 5.2 ^{cB}	40.25 \pm 3.1 ^{cA}	33.39 \pm 2.9 ^{cB}
	9	41.19 \pm 6.5 ^{bA}	36.25 \pm 2.7 ^{bB}	37.57 \pm 4.2 ^{cAB}	35.35 \pm 3.4 ^{bcB}

Upper case letters are significantly different in the same row ($p < 0.05$).

Lower case letters are significantly different in the same column ($p < 0.05$) ($n = 20$).

Table 7 Weight Loss (%) of vacuum packed pork chops treated by HHP (200 and 300 MPa) in combination with herb extracts (E1, E3), and crude bacteriocins (B) (Mean \pm SD) ($n=4$).

Pressure	Day of storage	Weight loss (%)			
		HHP	HHP+B	HHP+E1	HHP+E3
200 MPa	0	27.1 \pm 1.8	32.1 \pm 3.1	29.3 \pm 2.8	31.1 \pm 0.2
	3	28.7 \pm 2.5	27.3 \pm 4.8	25.1 \pm 4.3	30.8 \pm 0.5
	6	24.9 \pm 4.2	28.2 \pm 0.9	25.4 \pm 8.0	26.2 \pm 1.1
	9	25.9 \pm 2.0	25.2 \pm 0.4	22.7 \pm 3.8	27.7 \pm 1.3
300 MPa	0	30.02 \pm 1.4 ^a	31.09 \pm 1.7	28.35 \pm 4.1	30.65 \pm 3.2
	3	27.92 \pm 0.4 ^a	30.05 \pm 2.1	29.65 \pm 1.6	29.77 \pm 2.9
	6	29.70 \pm 0.2 ^a	29.36 \pm 3.9	25.29 \pm 2.3	25.67 \pm 3.3
	9	22.94 \pm 1.8 ^b	25.25 \pm 0.5	26.84 \pm 4.4	24.18 \pm 4.0

Lower case letters are significantly different in the same column ($p < 0.05$).

Conclusion

The ethanolic extracts of *Schinus terebinthifolius*, *Spondias pinnata* (L.f.) Kurz and *Garcinia mangostana* Linn had greater potential as antimicrobial agent against Gram positive and Gram negative bacteria and *Spondias pinnata* (L.f.) Kurz had the most effective activity against all dominant floras. The moderate pressure of 200 MPa in combination with herb extracts or bacteriocins did not ensure complete inactivation of bacteria growth. However, it was obvious that it could allow for an improvement in the microbiological quality and extended shelf life of sliced pork in the stage dependent on the level of initial contamination of the raw material. HHP could affect the physicochemical qualities of fresh pork meat, particularly depending on the pressure level applied, and thus the typical characteristics associated with fresh meat, particularly texture and color, could be remarkably modified. The HHP treatment caused a lighter color for pork meat products. In addition, the tenderness of fresh pork was improved. This finding suggests that HHP (200 MPa) in combination with herb extracts might be an effective technology in reducing microbial spoilage and extending shelf-life of fresh pork meat. However, HHP may have a negative impact on sensory characteristics. Further work should be conducted to evaluate sensory properties of fresh pork treated by HHP.

Acknowledgement

This work was supported by Rajamangala University of Technology Isan and Suranaree University of Technology and by the Office of the Higher Education Commission under NRU Project of Thailand. We would like to thank Max Rubner-Institute Kulmbach, Germany, for assistant and support.

References

- [1] Worldwatch Institute (2018). **Globalmeat Production and Consumption Continue Rise.** Access (10 May 2018). Available (<http://www.worldwatch.org/global-meatproduction-and-consumption-continue-rise>)
- [2] Bord Bia Irish Food Board. (2018). **Factsheet on the Irish Agriculture and Food & Drink Sector.** Access (10 May 2018). Available (<https://www.bordbia.ie/industry/buyers/industryinfo/agri/pages/default.aspx>)

- [3] Grossi, A., Bolumar, T., Søltoft-Jensen, J., and Orlien, V. (2014). High Pressure Treatment of Brine Enhanced Pork Semitendinosus: Effect on Microbial Stability, Drip loss, Lipid and Protein Oxidation, and Sensory Properties. **Innovative Food Science & Emerging Technologies**. Vol. 22, pp. 11-21. DOI: 10.1016/j.ifset.2013.09.011
- [4] Marcos, B., Kerry, J. P., and Mullen, A. M. (2010). High Pressure Induced Changes on Sarcoplasmic Protein Fraction and Quality Indicators. **Meat Science**. Vol. 85, Issue 1, pp. 115-120. DOI: 10.1016/j.meatsci.2009.12.014
- [5] Wang, Q., Zhao, X., Ren, Y., Fan, E., Chang, H., and Wu, H. (2013). Effects of High Pressure Treatment and Temperature on Lipid Oxidation and Fatty Acid Composition of Yak (*Poephagus grunniens*) Body Fat. **Meat Science**. Vol. 94, Issue 4, pp. 489-494. DOI: 10.1016/j.meatsci.2013.03.006
- [6] Balasubramaniam, V. M., Farkas, D., and Turek, E. J. (2008). Preserving Foods through High-pressure Processing. **Food Technology**. Vol. 62, No. 11, pp. 32-38
- [7] Campus, M. (2010). High Pressure Processing of Meat, Meat Products and Seafood. **Food Engineering Reviews**. Vol. 2, Issue 4, pp. 256-273. DOI: 10.1007/s12393-010-9028-y
- [8] Cheftel, J. C. (1995). Review: High-pressure Microbial Inactivation and Food Preservation. **Food Science and Technology International**. Vol. 1, Issue 2-3, pp. 75-90. DOI: 10.1177/108201329500100203
- [9] Kim, Y. I., Lee, E. J., Lee, N. H., Kim, Y. H., and Yamamoto, K. (2007). Effects of Hydrostatic Pressure Treatment on the Phsiocochemical, Morphological, and Textural Properties of Bovine Semitendinosus Muscle. **Food Science and Biotechnology**. Vol. 16, Issue 1, pp. 49-54.
- [10] Vurma, M., Chung, Shellhammer, T. H., Turek, E. J., and Yousef, A. E. (2006). Use of Phenolic Compounds for Sensitizing *Listeria monocytogenes* to High-pressure Processing. **International Journal of Food Microbiology**. Vol. 106, Issue 3, pp. 269-275. DOI: 10.1016/j.ijfoodmicro.2005.06.025
- [11] Rastogi, N. K., Raghavarao, K. S., Balasubramaniam, V. M., Nirajan, K., and Knorr, D. (2007). Opportunities and Challenges in High Pressure Processing of Foods. **Critical Review in Food Science and Nutrition**. Vo. 47, Issue 1, pp. 69-112. DOI: 10.1080/10408390600626420
- [12] Bugno, A., Nicoletti, M. A., Almodóvar, A. A. B., Pereira, T. C., and Auricchio, M. T. (2007). Antibacterial Efficacy of *Curcuma zedoaria* Extract as Assessed by Linear Regression Compared with Commercial Mouthrinse. **Brazilian Journal of Microbiology**. Vol. 38, No. 3, pp. 440-445. DOI: 10.1590/S1517-83822007000300011
- [13] Costa, J. G. M., Nascimento, E. M. M., Campos, A. R., and Rodrigues, F. F. G. (2011). Antibacterial Activity of *Momordica charantia* (Cucurbitaceae) Extracts and Fractions. **Journal of Basic and Clinical Pharmacy**. Vol. 2, Issue 1, pp. 45-51
- [14] Paul, M. and Beenaanto, K. (2011). Antibacterial Activity of *Sauvopus androgynus* (L.) Merr. **International Journal of Plant Sciences**. Vol. 6, Issue 1, pp. 189-192

- [15] Molina-Salinas, G. M., Pérez-López, A., Becerril-Montes, P., Salazar-Aranda, R., Said-Fernández, S., and de Torres, N. W. (2006). Evaluation of the Flora of Northern Mexico for In Vitro Antimicrobial and Antituberculosis Activity. **Journal of Ethnopharmacology**. Vol. 109, Issue 3, pp. 435-441. DOI: 10.1016/j.jep.2006.08.014
- [16] Omojasola, P. F. and Awe, S. (2004). The Antibacterial Activity of the Leaf Extracts of *Anacardium occidentale* and *Gossypium hirsutum* Against Some Selected Microorganisms. **Bioscience Research Communications**. Vol. 60, No. 1, pp. 25-58
- [17] Nasution, M. Y., Restuati, M., Pulungan, A. S. S., Pratiwi, N., and Diningrat, D. S. (2018). Antimicrobial Activities of *Centella asiatica* Leaf and Root Extracts on Selected Pathogenic Micro-organisms. **Journal of Medical Sciences**. Vol. 18, Issue 4, pp. 198-204. DOI: 10.3923/jms.2018.198.204
- [18] Muhammad, A., Shafiu Rahman, M., Hamidul Kabir, A. N. M., and Kabir, S. (2011). Antibacterial and Cytotoxic Activities of *Spondias pinnata* (Linn. F.) Kurz Fruit Extract. **Indian Journal of Natural Products and Resources**. Vol. 2, No. 2, pp. 265-267
- [19] Ragasa, C. Y., Crisostomo, C. J. J., Garcia, K. D. C., and Shen, C. C. (2010). Antimicrobial Xanthones from *Garcinia mangostana* L. **The Philippine Scientist**. Vol. 47, pp. 63-75
- [20] Bukar, A., Mukhtar, M., and Hassan, A. (2009). Phytochemical Screening and Antibacterial Activity of Leaf Extracts of *Senna siamea* (LAM) on *Pseudomonas aeruginosa*. **Bayero Journal of Pure and Applied Sciences**. Vol. 2, No. 1, pp. 139-142. DOI: 10.4314/bajopas.v2i1.58528
- [21] Sahoo, S., Panda, P. K., Mishra, S. R., Parida, R. K., Ellaiah, P., and Dash, S. K. (2008). Antibacterial Activity of *Barringtonia acutangula* Against Selected Urinary Tract Pathogens. **Indian Journal of Pharmaceutical Sciences**. Vol. 70, Issue 5, pp. 677-679. DOI: 10.4103/0250-474X.45417
- [22] Shahidi, F. and Naczk, M. (2003). **Phenolics in Food and Nutraceuticals**. Boca Raton, FL, USA: CRC Pres
- [23] NARMS. (2002). **National Antimicrobial Resistance Monitoring System**. Enteric Bacteria. CDC, USA
- [24] Intarapichet, K. and Gosaarak, S. (2008). The Use of Crude Bacteriocins from *Lactococcus lactis* TISTR 1401 as Biopreservative to Extend Shelf Life of Aerobically Packed Pork Meatballs. In **proceedings 45th International Congress of Meat Science and technology** (General speakers, Session 2,2A.5, CD ROM), 10-15 August 2008, Cape Town, South Africa.
- [25] Torrungruang, K., Vichienroj, P., and Chutimaworapan, S. (2007). Antibacterial Activity of Mangosteen Pericarp Extract against Cariogenic *Streptococcus mutans*. **Chulalongkorn University Dental Journal**. Vol. 30, pp. 1-10 (in Thai)
- [26] Lima, M. R. F. de, Luna, J. de S., Santos, A. F. dos, Andrade, M. C. C. de, Sant'Ana, A. E. G., Genet, J. P., Marquez, B., Neuville, L., and Moreau, N. (2006). Anti-bacterial Activity of some Brazilian Medicinal Plants. **Journal of Ethnopharmacology**. Vol. 105, No. (1-2), pp. 137-147. DOI: 10.1016/j.jep.2005.10.026

- [27] Andrews, R. E., Parks, L. W., and Spence, K. D. (1980). Some Effects of Douglas Fir Terpenes on Certain Microorganisms. **Applied and Environmental Microbiology**. Vol. 40, No. 2, pp. 301-304
- [28] Mayachiew, P. and Devahastin, S. (2008). Antimicrobial and Antioxidant activities of Indian Gooseberry and Galangal Extracts. **LWT- Food Science and Technology**. Vol. 41, Issue 7, pp. 1153-1159. DOI: 10.1016/j.lwt.2007.07.019
- [29] Vaara, M. (1992). Agents that Increase the Permeability of the Outer Membrane. **Microbiological Reviews**. Vol. 56, No. 3, pp. 395-411
- [30] Souza, C. M., Boler, D. D., Clark, D. L., Kutzler, L. W., Holmer, S. F., and Summerfield, J. W. (2011). The Effects of High Pressure Processing on Pork Quality, Palatability, and Further Processed Products. **Meat Science**. Vol. 87, Issue 4, pp. 419-427. DOI: 10.1016/j.meatsci.2010.11.023
- [31] Sun, S., Rasmussen, F. D., Cavender, G. A., and Sullivan, G. A. (2019). Texture, Color and Sensory Evaluation of Sous-vide Cooked Beef Steaks Processed using High Pressure Processing as Method of Microbial Control. **LWT- Food Science and Technology**. Vol. 103, pp. 169-177. DOI: 10.1016/j.lwt.2018.12.072
- [32] Carlez, A., Veciana-Nogues, T., and Cheftel, J. (1995). Changes in Colour and Myoglobin of Minced Beef Meat due to High Pressure Processing. **LWT- Food Science and Technology**. Vol. 28, Issue 5, pp. 528-538. DOI: 10.1006/fstl.1995.0088
- [33] Cheftel, J. C., and Culoli, J. (1997). Effect of High Pressure on Meat: A Review. **Meat Science**. Vol. 46, Issue 3, pp. 211-234. DOI: 10.1016/s0309-1740(97)00017-x
- [34] Shigehisa, T., Ohmori, T., Saito, A., Taji, S., and Hayashi, R. (1991). Effects of High Hydrostatic Pressure on Characteristics of Pork Slurries and Inactivation of Microorganisms Associated with Meat and Meat Products. **International Journal of Food Microbiology**. Vol. 12, Issue 2-3, pp. 207-216. DOI: 10.1016/0168-1605(91)90071-v
- [35] McArdle, R., Marcos, B., Kerry, J. P., and Mullen, A. (2010). Monitoring the Effects of High Pressure Processing and Temperature on Selected Beef Quality Attributes. **Meat Science**. Vol. 86, Issue 3, pp. 629-634. DOI: 10.1016/j.meatsci.2010.05.001
- [36] Ledward, D. A. (1992). **Colour of Raw and Cooked Meat**. In DA Ledward, DE Johnston, MK Knight, Eds., *The Chemistry of Muscle-Based Foods* Cambridge: Royal Society of Chemistry. pp. 128-144
- [37] Cheah, P. B. and Ledward, D. A. (1996). High Pressure Effects on Lipid Oxidation in Minced Pork. **Meat Science**. Vol. 43, Issue 2, pp. 123-134. DOI: 10.1016/0309-1740(96)84584-0
- [38] Jung, S., Ghoul, M., and de Lamballerie-Anton, M. (2003). Influence of High Pressure on the Color and Microbial Quality of Beef Meat. **LWT- Food Science and Technology**. Vol. 36, Issue 6, pp. 625-631. DOI: 10.1016/S0023-6438(03)00082-3
- [39] Chambers, E., and Bowers, J. R. (1993). Consumer Perception of Sensory Qualities in Muscle Foods. **Food Technology**. Vol. 47, Issue 11, pp. 116-120

- [40] Zhang, H., Pan, J., and Wu, Z. (2018). Investigation of the Effects of High Pressure Processing on the Process of Rigor in Pork. **Meat Science**. Vol. 145, pp. 455-460. DOI: 10.1016/j.meatsci.2018.07.013
- [41] Master, A. M., Stegeman, D., Kals, J., and Bartels, P. V. (2000). Effects of High Pressure on Colour and Texture of Fish. **High Pressure Research**. Vol. 19, Issue 1-6. pp. 109-115. DOI: 10.1080/08957950008202543

Adsorption Efficiency, Adsorption Isotherms and Kinetic Study for Methylene Blue Removal in Aqueous Solution of Thiol-Functionalized Mesoporous Silica Nanospheres

Romteera Chueachot^{1*} Kewalee Khankam¹ Atcharaphan Lakathok¹ Suwatchai Jarussophon² and Ronariddh Nakhowong¹

Received: May 25, 2019; Revised: July 10, 2019; Accepted: July 24, 2019

Abstract

Thiol-functionalized mesoporous silica nanospheres material was synthesized by co-condensation method under biphasic system. Structural characterization confirmed the mesoporous structure and the content of adsorbents by transmission electron microscopy, N₂ adsorption-desorption and Fourier transform infrared spectroscopy. The adsorbent were nanosphere with particle diameter lower than 50 nm. A batch adsorption study was carried out with variable pH, adsorption time, adsorbent dose, shaking rate, temperature and adsorbate concentration. Methylene blue could be removed by 0.05 g of MSN and MSN-SH at pH 10 and 30 min of adsorption time. The adsorption process followed pseudo-second-order kinetics. The experimental adsorption isotherm was found to be best fitted with the Langmuir model, which implied that the adsorption of MB as a monolayer.

Keywords: Adsorption; Thiol-Functionalized Mesoporous Silica; Methylene Blue; Adsorption Isotherm; Kinetic Adsorption

¹ Faculty of Science, Ubon Ratchathani Rajabhat University, Ubon Ratchathani

² National Nanotechnology Center, National Science and Technology Development Agency
111 Thailand Science Park, Pathum Thani

* Corresponding Author E - mail Address: romteera.c@ubru.ac.th

Introduction

Organic and inorganic substances in wastewater are a main source of environmental pollution. Organic dyes are major pollutants of wastewater [1]. Many dyes and pigments have toxic as well as carcinogenic, mutagenic and teratogenic effects on aquatic life and also on humans. Dyes and pigments are widely used in textile, leather, paper, plastic and other industries [2]. One of the highly consumed materials in the dye industry is methylene blue which is used for cotton and silk painting [3]. Methylene blue has been studied as dye pollution not only because of its toxicity but also because of its color. Methylene blue has very wide applications which makes it one of the most common pollutants or constituent of color effluents [4]. Different methods have been developed to remove colored pollutants from wastewater such as coagulation, adsorption, chemical oxidation, biological treatment and flotation. Adsorption has been found to be superior to other techniques for water treatment in terms of initial cost, simplicity of design, ease of operation and insensitivity of toxic substances. Adsorption technology is rapidly gaining prominence as a technique for removing organic and inorganic micropollutants from aqueous effluent [5]. For analytical purposes, functionalized silica particles with organic functional groups are commonly used since the material silica provides many advantages such as good adsorption, easy to prepare with chemical compound and particular impregnate medium to create several modified silica surfaces, high mechanic and thermal stability [6]. Thiol-functionalized mesoporous silica appears to be particularly promising due to large adsorption capacities and high uptake rates for dyes. In this research, we reported an easy and simple method for fabrication of silica in nanometer range via surfactant template assisted and functionalized with thiol groups. In present study, the synthesis of thiol-functionalized mesoporous silica nanospheres (MSN-SH) is demonstrated by co-condensation of precursor solution in biphasic system. The MSN-SH was applied as a adsorbent for methylene blue removal from aqueous solution under various conditions. The adsorption isotherm and kinetic studies were conducted to evaluate the adsorption behaviors of MSN-SH

Materials and method

1. Materials

All chemicals were analytical grade. Tetraethyl orthosilicate (TEOS), 3-mercaptopropyl trimethoxsilane (MPTES) and l-arginine were supplied by Sigma Aldrich. Cetyltrimethylammonium bromide (CTAB) was purchased from Unilab. Cyclohexane (CHX) and ethanol were provided by Qrec. Methylene blue (MB) and glycerol were purchased from Carlo Erba.

2. Preparation of MSN and MSN-SH

0.25 g of CTAB and 0.18 g of l-arginine were dissolved in 110 mL of deionized water. Subsequently CHX phase was formed afloat on the aqueous phase by adding drop-wise of CHX. The bi-phase layer was then heated to 60 °C for 30 min. A mixture 9.2 mL of TEOS and 4.4 mL MPTES was added drop-wise into CHX phase to start the reaction which was allowed to proceed for 20 h. The reaction was terminated by quenching the reaction vial in cooled water. CHX phase was decanted using a syringe prior to centrifugation of the aqueous phase at 6,000 rpm to collect MSH-SH particles. The MSN-SH particles were washed with water then dried in an oven. Finally, the extracted MSN-SH particles were dried overnight at 60 °C. Mesoporous silica nanosphere (MSN) without functionalization with thiol was also synthesized using the same method described above except MPTES.

3. Characterization

The morphology and particle sizes of the synthesized particles were examined with transmission electron microscopy (TEM) technique from FEI Tecnai G2 operated at an accelerating voltage of 200 kV. Pore characteristic of the synthesized MSN and MSN-SH was examined by Nitrogen adsorption-desorption method performed on Autosorb-1, Quantachrome Instrument. Pore volume and specific surface area were determined according to the standard Brunauer Emmett Teller (BET) method. Functionalization of MSN and MSN-SH was confirmed by Fourier transform infrared spectroscopy (FT-IR) using Bruker FT-IR Spectrometer, Tensor II.

4. Adsorption studies

Batch adsorption experiments were performed in a set of Erlenmeyer flask (125 mL) each one containing 25 mL of different initial concentrations of MB (1 - 40 mgL⁻¹) together with adsorbent (0.01 - 0.2 g). A magnetic stirrer was used at desired temperature (30, 45 and 60 °C) and pH (2 - 11). The different contact times (5 - 120 min) and shaking rate (0 - 200 rpm) were studied. The mixture was centrifuged at 6,000 rpm for 10 min and finally separated into liquid and solid. The solution was measured by the UV-Vis spectrophotometer (T92 + PG instrument) with wavelength 665 nm to determine the concentration of MB. The adsorbed amount of MB at equilibrium was calculated by the following equation (1) [7]:

$$q_e = \frac{C_o - C_e}{W} \times V \quad (1)$$

where q_e is the adsorbed amount of MB at equilibrium (mgg⁻¹), C_o and C_e are the initial and equilibrium MB concentrations (mgL⁻¹) respectively, V is the volume of the used solution containing the MB (L) and W is the weight of the used adsorbent (g).

5. Adsorption isotherm

An adsorption isotherm describes the relationship between the amount of adsorbate taken up by the adsorbent and the adsorbate concentration remaining in solution. Langmuir isotherm determines the adsorption of MB on the surface of the adsorbent on the monolayer and equivalent sites on the surface. The Langmuir adsorption is given below equation (2) [8]:

$$\frac{C_e}{q_e} = \frac{1}{(K_L q_m)} + \frac{C_e}{q_m} \quad (2)$$

where q_m represents the maximum adsorption capacity (mgg^{-1}) and K_L is the Langmuir constant (Lmg^{-1})

Freundlich isotherm is based on the multilayer adsorption with heterogeneous surface and can be define as below equation (3) [9]:

$$\log q_e = \log K_F + \frac{1}{n} \log C_e \quad (3)$$

where n represents the Freundlich exponent which is related to the adsorption intensity and K_F is the Freundlich constant ($(\text{mgg}^{-1})(\text{Lmg}^{-1})^{1/n}$)

6. Adsorption kinetics

Two simplified kinetic models were adopted to examine the mechanism of the adsorption process. First, the kinetics of adsorption were analyzed by the pseudo first order equation given by [10] as equation (4) :

$$\log(q_e - q_t) = \log q_e - \frac{k_1}{2.303} t \quad (4)$$

On the other hand, the pseudo second order equation based on equilibrium adsorption [10] is expressed as equation (5) :

$$\frac{t}{q_t} = \frac{1}{k_2 q_e^2} + \frac{1}{q_e} t \quad (5)$$

where q_e is the amount of adsorbate adsorbed at equilibrium (mgg^{-1}), q_t is the amount of adsorbate adsorbed at time (mgg^{-1}), t is the time (min), k_1 is the rate constant of pseudo first order equation (min^{-1}) and k_2 is the rate constant of pseudo second order equation (g(mgmin)^{-1}).

Results and Discussion

1. Characterization of MSN and MSN-SH

The morphologies and structural features of the supported material MSN and MSN-SH can be observed directly through TEM in Figure 1. As can be noticed, both TEM image revealed the porous structure with the pore size in meso range. MSN-SH possessed spherical particles with an average 42.67 nm however some particle showed irregular shapes due to particle agglutinate during the synthesis.

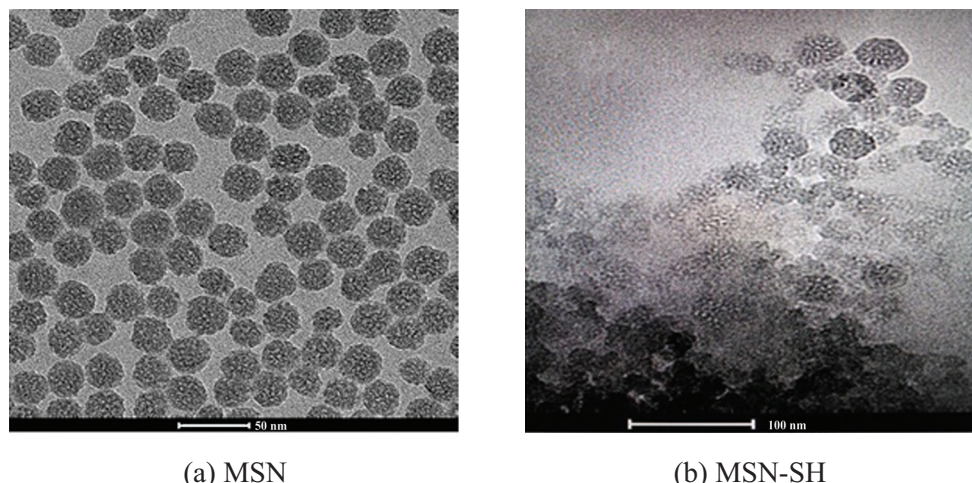


Figure 1 TEM image of MSN and MSN-SH

In order to obtain the structure information about the MSN-SH on a nanoscopic scale, N_2 adsorption-desorption was used to characterize the particles. The MSN-SH had a specific surface area of $404.75\text{ m}^2\text{g}^{-1}$, pore volume of $0.99\text{ cm}^3\text{g}^{-1}$ and mean pore diameter of 1.69 nm. Calculated results obtained from the adsorption-desorption isotherms are summarized in Table 1.

Table 1 Textural properties of MSN and MSN-SH particles.

Adsorbent	Average particle diameter from TEM (nm)	Specific surface area (m^2g^{-1})	Pore volume (cm^3g^{-1})	Mean pore diameter (nm)
MSN	33.93	509.80	1.40	2.10
MSN-SH	42.67	404.75	0.99	1.69

Figure 2 Shows the FT-IR spectra of the synthesized MSN and MSN-SH samples. Characteristic peaks of silica were observed for MSN at $1,063.59\text{ cm}^{-1}$ and 801.43 cm^{-1} belonging to asymmetric vibrations and symmetric stretching of Si-O-Si. Surface modification was verified by FT-IR spectroscopy as characteristic S-H functional group frequencies were readily detected. The peak at around $2,500\text{ cm}^{-1}$ corresponded to the thiol group. This confirmed the presence of thiol functional group in MSN-SH particles.

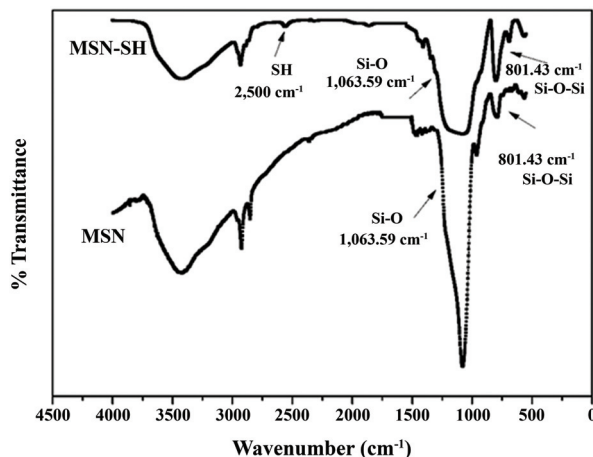


Figure 2 FT-IR spectra of MSN and MSN-SH

2. Effect of variables on MSN and MSN-SH adsorption performance

2.1 Effect of solution pH on MB uptake

The effect of initial pH of the MB solution on the adsorbed amount at equilibrium was studied by varying the initial pH in the range of 2 - 11 under constant parameter (3 mgL^{-1} initial MB concentration, 0.05 g adsorbent dose and 30 min adsorption time). The results are shown in Figure 3. The low adsorption efficient of MB on MSN and MSN-SH observed in acidic solution was due, probably, to the positive charge of the surface, causing ions (H^+) to compete effectively with dye cation causing a decrease in the adsorbed amount. The increasing pH, the positive charge on the interface of the solution decreased and the adsorbing surface appeared to be negatively charged [10] - [11]. Thus, more adsorption site was exposed at higher pH value.

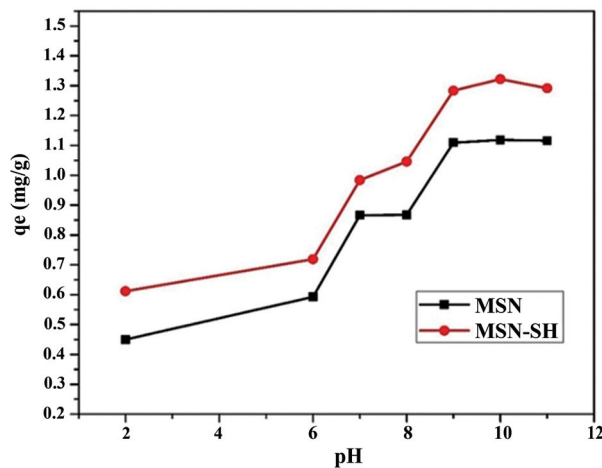


Figure 3 Effect of pH on adsorbed amount of MB at equilibrium for MSN and MSN-SH

2.2 Effect of adsorption time

The equilibrium time is an important factor in an economical adsorption system. Effect of contact time on adsorption of methylene blue by MSN and MSN-SH was investigated by varying contact time from 5 to 120 min. Figure 4 shows the effects of contact time on adsorption efficiency of methylene blue. The adsorption rate was observed to increase the adsorption efficiency of MB. The rates of MB removal for both adsorbents were instant initially and became slower with a longer contact time until equilibrium was reached within 30 min. At the early stage of adsorption, the driving force of diffusion is large due to high concentration gradient of MB between the bulk phase and the absorption site on absorbent surface resulting in an initial fast absorption. As longer contact time, adsorption sites are highly occupied from binding with MB thus slowing down the adsorption rate.

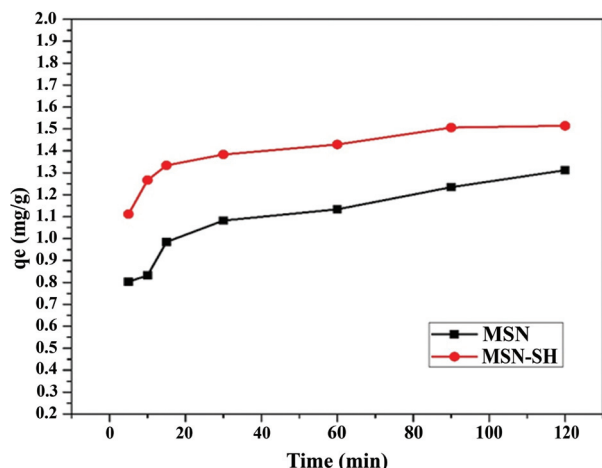


Figure 4 Effect of pH on adsorbed amount of MB at equilibrium for MSN and MSN-SH

2.3 Effect of adsorbent dose

To study the effect of MSN and MSN-SH dose on MB uptake, the amount of adsorbent added was varied. Figure 5 shows the effect of adsorbent dose on the removal efficiency of MB. It was observed that the removal efficiency of MB increased with the increase in adsorbent dose up to 0.05 g then increased slowly with further increase in adsorbent dose up to 0.20 g. Thus, the optimum adsorbent dose was used 0.05 g in the following experiments.

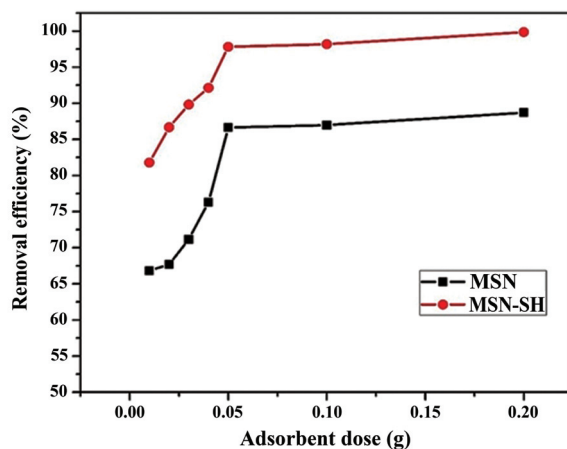


Figure 5 Effect of adsorbent dosage on adsorbed amount of MB at equilibrium for MSN and MSN-SH

2.4 Effect of shaking rate

The increase in adsorption capacity at a higher shaking rate could be explained in terms of the reduction of boundary layer thickness around the adsorbent particles [12]. The effect of shaking rate on MB adsorption is shown in Figure 6. As the shaking rate increased from 0 to 200 rpm, the absorption capacity remained constant.

2.5 Effect of temperature

Temperature had a pronounced effect on the process of adsorption. The adsorption capacity of MB was studied as a function of temperature in the range of 30 to 60 °C. The results obtained are shown in Figure 7. The adsorption of MB by the MSN and MSN-SH decreased with an increase in the temperature. Thus, the sorption reaction of the system was exothermic [10].

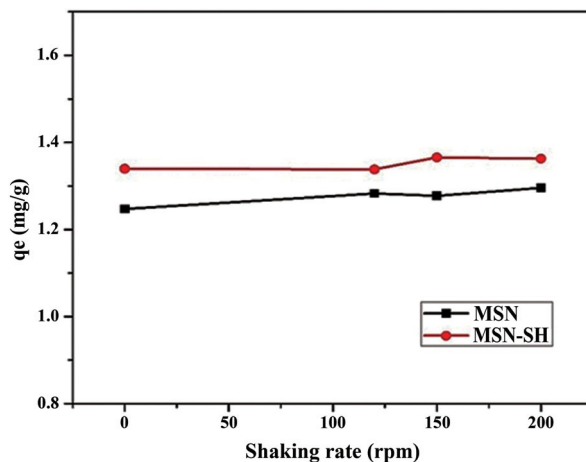


Figure 6 Effect of shaking rate on adsorbed amount of MB at equilibrium for MSN and MSN-SH

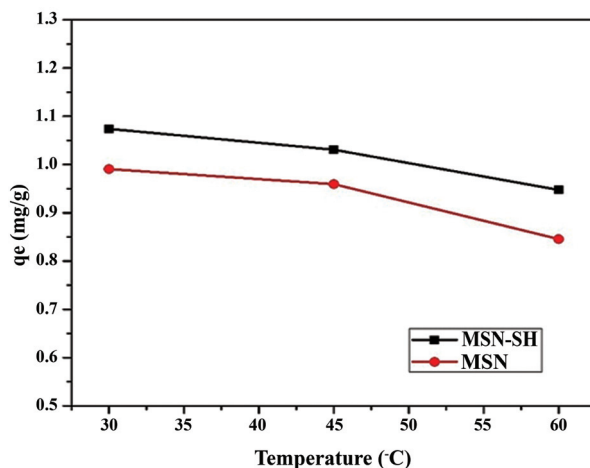


Figure 7 Effect of temperature on adsorbed amount of MB at equilibrium for MSN and MSN-SH

2.6 Effect of initial concentration solution

The rate of adsorption is a function of the initial concentration of the adsorbate, which makes it an important factor to be considered for effective adsorption. Effect of initial MB concentration on adsorption by MSN and MSN-SH was investigated by varying NB concentration from 1 to 40 mgL⁻¹. The results obtained are shown in Figure 8. The adsorption capacity increased with the increase of initial concentration of MB due to the surface of the adsorbent and MB solution increasing.

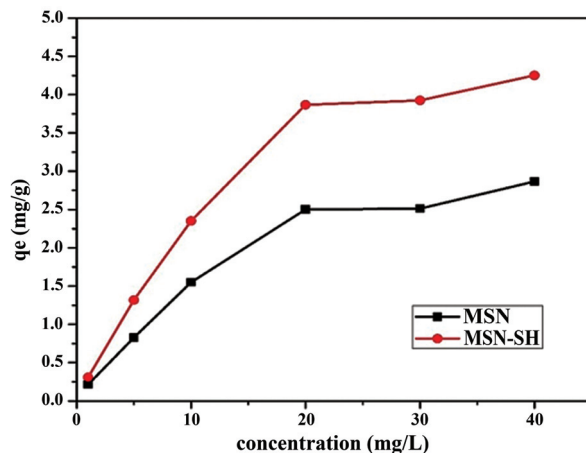
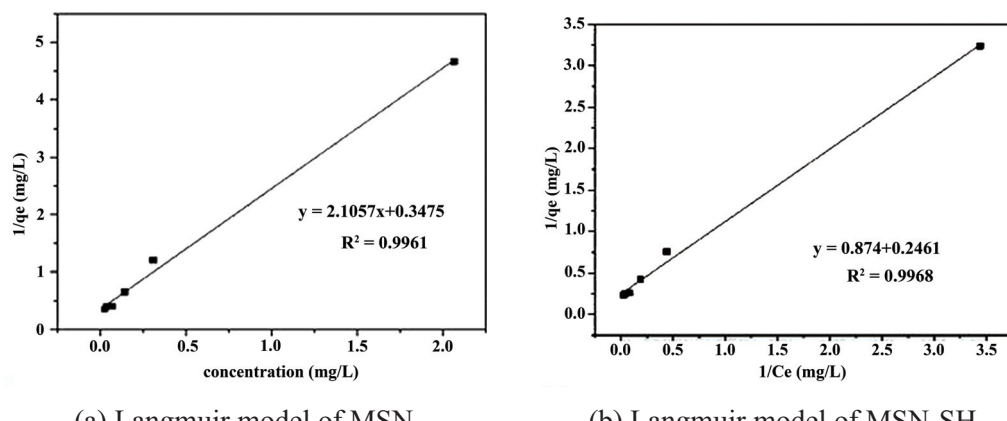


Figure 8 Effect of MB concentration on absorption capacity for MSN and MSN-SH

3. Adsorption isotherms

Adsorption isotherm is important for determining the adsorption behavior of the adsorbent. Therefore, MB was selected as models to determine the adsorption isotherm model of MSN and MSN-SH. Figure 9 shows the adsorption isotherm for MSN and MSN-SH adsorbent.



(a) Langmuir model of MSN

(b) Langmuir model of MSN-SH

Figure 9 Adsorption isotherm model

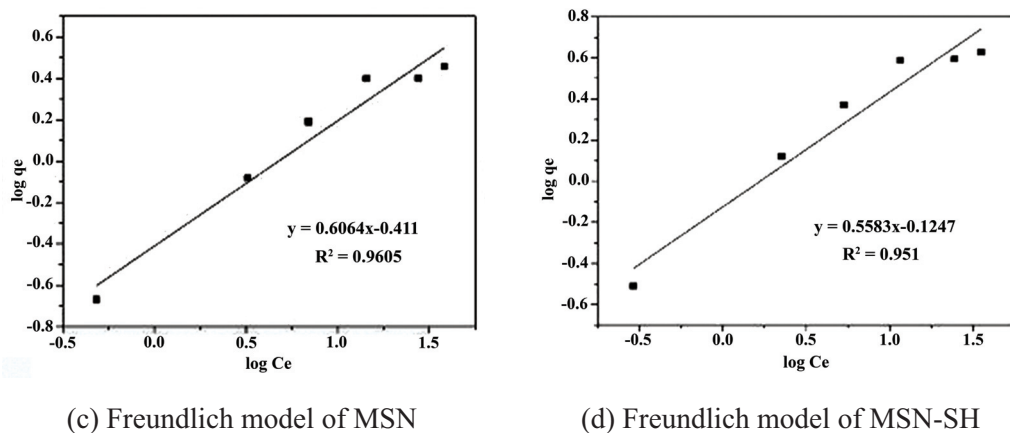


Figure 9 Adsorption isotherm model (Cont.)

The isotherm curves demonstrate the adsorption as a function of the equilibrium concentration of MB in solution. Both Langmuir and Freundlich adsorption isotherms were used to normalize the adsorption data. The results are summarized in Table 2.

Table 2 Isotherm parameters for various adsorption isotherms for the adsorption of MB onto MSN and MSN-SH

Adsorbent	Langmuir isotherm model			Freundlich isotherm model		
	q_m (mg g ⁻¹)	K_L (L mg ⁻¹)	R^2	$1/n$	K_F ((mg g ⁻¹)(L mg ⁻¹)) ^{1/n}	R^2
MSN	2.878	0.165	0.9961	0.388	1.65	0.9605
MSN-SH	4.063	0.282	0.9968	0.750	1.79	0.9510

The results show that Langmuir model fitted better than the Freundlich model, demonstrating that the adsorption of MB onto MSN and MSN-SH adsorbent can be considered to be a monolayer adsorption process.

4. Adsorption kinetics

The adsorption mechanism depended on the mass transport as well as the physical or chemical characteristics of the adsorbent. The pseudo second order equation assumes the adsorption of one MB molecule onto one active site on the adsorbent surface, while in the pseudo second order model one MB molecule is adsorbed onto two active site [4]. Figure 10 shows the linear regression curves of the pseudo first order model and pseudo second order model for the adsorption of MB onto MSN and MSN-SH. The results are summarized in Table 3. Results showed that the pseudo second order kinetic model fitted better with

adsorption experiment data of the MB adsorption by MSN and MSN-SH than the pseudo first order kinetic model.

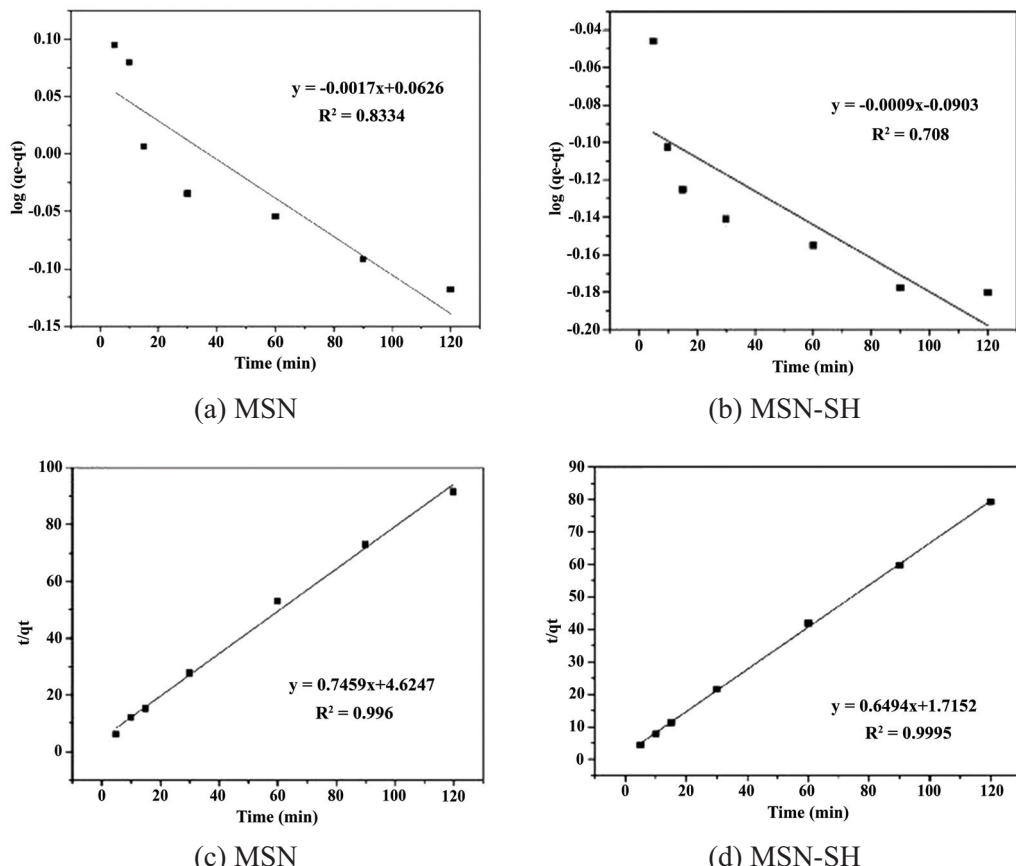


Figure 10 Kinetic model by pseudo first order model and pseudo second order model

Table 3 Comparison of the pseudo first order model and pseudo second order model for the adsorption of MB onto MSN and MSN-SH

Adsorbent	pseudo first order model			pseudo second order model		
	K_1 (min ⁻¹)	q_e (mgg ⁻¹)	R^2	K_2 (min ⁻¹)	q_e (mgg ⁻¹)	R^2
MSN	-0.00390	1.155	0.8334	0.388	1.341	0.9960
MSN-SH	-0.00207	0.812	0.7080	1.382	1.539	0.9995

Conclusion

Mesoporous silica nanospheres (MSN) and thiol-functionalized MSN (MSN-SH) were synthesized by employing the biphasic system under weak basic condition of l-arginine and using CTAB as a template. Then surface modification was done by thiol functionalization. This approach to synthesize the thiol-functionalized nanostructures is attractive because thiol-functionalized have high dye loading capacity due to the density immobilized thiol groups on the surface of them. The rate of adsorption followed pseudo second order rate equation and Freundlich isotherms were found to be applicable for the adsorption equilibrium data.

Acknowledgement

This work was financially supported by Ubonratchathani Rajabhat University. The partial research was supported by National Science and Technology Development Agency (NSTDA) under Young Scientist and Technologist Program (YSTP) grant no. SP-59-NN-01.

References

- [1] Maradni, H. R., Forouzani, M., Ziari, M., and Biparva, P. (2015). Visible Light Photo-Degradation of Methylene Blue Over Fe and Cu Promoted ZnO Nanoparticles. **Spectrochimica Acta Part A Molecular and Biomolecular Spectroscopy**. Vol. 141, pp. 27-33. DOI: 10.1016/j.saa.2015.01.034
- [2] Bhattacharyya, K. G. and Sharma, A. (2005). Kinetic and Thermodynamics of Methylene Blue Adsorption on Neem (*Azadirachta indica*) Leaf Powder. **Dyes and Pigments**. Vol. 65, Issue 1, pp. 51-59. DOI: 10.1016/j.dyepig.2004.06.016
- [3] Derakhshan, Z., Baghnapour, M. A., and Ranjbar, M. M. (2013). Faramarzian, Adsorption of Methylene Blue Dye from Aqueous Solutions by Modified Pumice Stone: Kinetics and Equilibrium Studies. **Health Scope**. Vol. 2, Issue 3, pp. 136-144. DOI: 10.17795/jhealthscope-12492
- [4] Han, X., Chu, L., Liu, S., Chen, T., Ding, C., Yan, J., Cui, L., and Quan, G. (2015). Removal of Methylene Blue from Aqueous Solution Using Porous Biochar Obtained by KOH Activation of Peanut Shell Biochar. **Bio Resources**. Vol. 10, No. 2, pp. 2836-2849. DOI: 10.15376/biores.10.2.2836-2849
- [5] El Qada, E. N., Allen, S. J., and Walker, G. M. (2006). Adsorption of Methylene Blue Onto Activated Carbon Produced from Steam Activated Bituminous Coal: A Study of Equilibrium Adsorption Isotherm. **Chemical Engineering Journal**. Vol. 124, Issue 1-3, pp. 103-10. DOI: 10.1016/j.cej.2006.08.015

- [6] Rostamian, R., Najafi, M., and Rafati, A. A. (2011). Synthesis and Characterization of Thiol-Functionalized Silica Nano Hollow Sphere as a Novel Adsorbent for Removal of Poisonous Heavy Metal Ions from Water Kinetics, Isotherms and Error Analysis. **Chemical Engineering Journal**. Vol. 171, Issue 3, pp. 1004-1011.
- [7] Castillo, X., Pizarro, J., Ortiz, C., Cid, H., Flores, M., Canck, E. D., and Voot, P. V. D. (2018). A Cheap Mesoporous Silica from Fly Ash as an Outstanding Adsorbent for Sulfate in Water. **Microporous and Mesoporous Materials**. Vol. 272, pp. 184-192. DOI: 10.1016/j.micromeso.2018.06.014
- [8] Yang, H., Xu, R., Xue, X., Li, F., and Li, G. (2008). Hybrid Surfactant-Templated Mesoporous Silica Formed in Ethanol and Its Application for Heavy Metal Removal. **Journal of Hazardous Materials**. Vol. 152, Issue 2, pp. 690-698. DOI: 10.1016/j.jhazmat.2007.07.060
- [9] Li, G., Zhao, Z., Liu, J., and Jiang, G. (2011). Effective Heavy Metal Removal from Aqueous Systems by Thiol Functionalized Magnetic Mesoporous Silica. **Journal of Hazardous Materials**. Vol. 192, Issue 1, pp. 277-283. DOI: 10.1016/j.jhazmat.2011.05.015
- [10] Li, G., Zhao, Z., Liu, J., and Jiang, G. (2013). Kinetic Studies on the Adsorption of Methylene Blue Onto Vegetal Fiber Activated Carbons. **Applied Surface Science**. Vol. 282, pp. 52-59. DOI: 10.1016/j.apsusc.2013.05.031
- [11] Dong, C., Zhang, F., Pang, Z., and Yang, G. (2016). Efficient and Selective Adsorption of Multi-Metal Ions Using Sulfonated Cellulose as Adsorbent. **Carbohydrate Polymers**. Vol. 151, pp. 230-236. DOI: 10.1016/j.carbpol.2016.05.066
- [12] Das, B., Mondal, N. K., Roy, P., and Chattaraj, S. (2013). Equilibrium, Kinetic and Thermodynamic Study on Chromium (VI) Removal from Aqueous Solution Using *Pistia stratiotes* Biomass. **Chemical Science Transactions**. Vol. 2, Issue 1, pp. 85-104. DOI: 10.7598/cst2013.318

ผลของการเปลี่ยนแปลงประชากรต่อความต้องการการคุ้มครองสุขภาพด้วยแบบจำลองมาร์คอฟแบบไม่เป็นเนื้อเดียวกัน

The Impact of Population Changes on Healthcare Demands using Nonhomogeneous Markov Model

นวลพรรณ บุราณศรี¹ และพงษ์ชัย จิตตะมัย^{1*}

Nuanpan Buransri¹ and Phongchai Jittamai^{1*}

Received: October 8, 2018; Revised: May 15, 2019; Accepted: May 16, 2019

บทคัดย่อ

การศึกษาเกี่ยวกับการเปลี่ยนแปลงโครงสร้างประชากรมีความสำคัญเนื่องจากผู้สูงอายุมีการเพิ่มขึ้นอย่างต่อเนื่องทั้งในระดับประเทศและนานาชาติ งานวิจัยนี้มีวัตถุประสงค์เพื่อศึกษาเปลี่ยนแปลงประชากรต่อความต้องการการคุ้มครองสุขภาพด้วยแบบจำลองมาร์คอฟแบบไม่เป็นเนื้อเดียวกันเพื่อคาดการณ์จำนวนประชากรและผู้ป่วยใน ในช่วงเวลา 10 ปี โดยพิจารณาตามเพศ และกลุ่มอายุ ผลจากการศึกษาพบว่า ในปี พ.ศ. 2568 ประชากรมีแนวโน้มเข้าสู่สังคมผู้สูงอายุ โดยสัดส่วนผู้สูงอายุอยู่ที่ 22 % ทำให้จำนวนผู้ป่วยในทุกประเภทมีแนวโน้มที่เพิ่มขึ้น และผลของจำนวนผู้สูงอายุที่เพิ่มขึ้นนี้ล้วงผลต่อความต้องการการคุ้มครองสุขภาพของบุคลากรทางสาธารณสุขที่เพิ่มขึ้นเช่นกัน ข้อมูลความต้องการที่เพิ่มขึ้นนี้สามารถนำมาใช้ในการเตรียมงบประมาณ เพื่อศึกษาการเปลี่ยนแปลงในการจัดทำทรัพยากรทางด้านกำลังคนให้สอดคล้องกับความต้องการที่เปลี่ยนแปลง เพื่อรับรับปัญหาในการคุ้มครองผู้สูงอายุในระยะยาวต่อไป

คำสำคัญ : ตัวแบบมาร์คอฟ; ผู้สูงอายุ; สังคมผู้สูงอายุ; โลจิสติกส์ของการคุ้มครองสุขภาพ; รูปแบบที่ไม่เป็นเนื้อเดียวกัน

¹ สำนักวิชาศิวกรรมศาสตร์ มหาวิทยาลัยเทคโนโลยีสุรนารี นครราชสีมา

¹ School of Industrial Engineering, Suranaree University of Technology, Nakhon Ratchasima

* Corresponding Author E - mail Address: jittamai@sut.ac.th

Abstract

The study of the change of population structure is vital because there is continuous growth of number of elderly both in the national and the international. The purpose of this research is to study the effect of population change on the healthcare demand using nonhomogeneous Markov models to estimate the number of population and inpatients in the next ten years based on genders and age groups. The results show that 22 % of the population are likely to become the elderly in 2025 and the number of inpatients are increasing. This leads to the growing demand of long-term care and healthcare staff. This demand data can be used to prepare budgets for managing the change of resource requirement for long-term care management.

Keywords: Markov Model; Elderly; Population Aging; Healthcare Logistics; Nonhomogeneous Model

บทนำ

การเปลี่ยนแปลงประชากรเกี่ยวข้องกับปัจจัยต่าง ๆ ที่มีความไม่แน่นอน ได้แก่ การเกิด การตาย และการย้ายถิ่น นอกจากนี้ปัจจัยอายุคาด測ลี่ย์ที่เพิ่มขึ้น และการเกิดการตายที่ลดลง ทำให้ประชากรวัยเด็ก และวัยทำงานมีแนวโน้มลดลง ขณะที่ประชากรวัยสูงอายุมีแนวโน้มเพิ่มขึ้น ซึ่งส่งผลต่อภาวะทางเศรษฐกิจ สังคม สุขภาพ [1] และความต้องการใช้บริการในโรงพยาบาล โดยประชากรในกลุ่มวัยเด็กและวัยสูงอายุ เป็นกลุ่มที่มีความต้องการใช้บริการในโรงพยาบาลมากกว่ากลุ่มอื่น ๆ การรักษาในโรงพยาบาลโดยทั่วไป แบ่งเป็น 2 กลุ่มโรคใหญ่ ๆ ได้แก่ โรคเรื้อรังและไม่เรื้อรัง นอกจากนี้ยังมีกลุ่มโรค Ambulatory Care Sensitive Conditions (ACSC) ที่สามารถป้องกันได้ด้วยการดูแลแบบผู้ป่วยนอก ซึ่งจะช่วยลดทรัพยากร และค่าใช้จ่ายหากมีระบบการจัดการที่ดีและมีประสิทธิภาพ ผู้ป่วย ACSC สามารถรักษาได้โดยการดูแล ทันทีทันใด [2] และภาวะ ACSC ยังเป็นหนึ่งในตัวชี้วัดทางอ้อมด้านคุณภาพและประสิทธิภาพของการบริการ สุขภาพปฐมภูมิ [3] การที่ประชากรผู้สูงอายุเพิ่มขึ้นและประชากรวัยทำงานมีแนวโน้มลดลงยังส่งผลต่อภาวะ พัฒนาการของผู้สูงอายุ นอกจากนี้รูปแบบการอยู่อาศัยที่เป็นสังคมเดี่ยวมากขึ้น ทำให้ผู้สูงอายุมีแนวโน้ม ที่จะต้องอยู่อาศัยตามลำพังเพิ่มขึ้น ทำให้มีความต้องการการดูแลระยะยาว (Long Term Care - LTC) จากครอบครัว บุตรหลานและเจ้าหน้าที่ทางสาธารณสุขเพิ่มขึ้นอย่างต่อเนื่อง การบริการดูแลที่บ้านเป็นกิจกรรม ที่สนับสนุนการดูแลผู้สูงอายุในระยะยาวเพื่อลดจำนวนการดูแลที่สถาบัน การเปลี่ยนแปลงโครงสร้างประชากร ในแต่ละกลุ่มอายุโดยเฉพาะผู้สูงอายุซึ่งมีผลต่อความต้องการในการให้บริการของโรงพยาบาล และ ความต้องการในการดูแลระยะยาวโดยเฉพาะผู้ป่วยโรคเรื้อรังที่ต้องได้รับการดูแลอย่างต่อเนื่อง

การเปลี่ยนแปลงทางด้านประชากรมีความเกี่ยวข้องกับปัจจัยที่ไม่แน่นอน จึงพนักงานนำวิธีการ ทางสโตคัสติกส์ (Stochastics) หลาย ๆ วิธีมาใช้ในการแก้ปัญหา และพบว่ามีการนำห่วงโซ่มาร์คوف (Markov Chain) ใช้เป็นเครื่องมือในการทำนายการเปลี่ยนแปลงสถานะสุขภาพและความต้องการของ ทรัพยากรของปัญหาต่าง ๆ ดังเช่น [4] และ [5] ขณะที่ [6] นำเสนองานวิจัยของวิธีมาร์คoff

แบบไม่เป็นเนื้อเดียวกัน สำหรับใช้ในการแก้ปัญหาในการจัดทำทรัพยากร อย่างไรก็ตามนี่องจากข้อจำกัดของข้อมูล ซึ่งข้อมูลส่วนใหญ่ในงานวิจัยนี้อยู่ในรูปแบบข้อมูลรวม (Aggregate Data) จากงานวิจัยที่ผ่านมาพบว่า [7] และ [8] ที่ใช้วิธีกำลังสองน้อยที่สุดแบบมีเงื่อนไข แก้ปัญหาการหาค่าพารามิเตอร์ของ Time-Homogeneous Markov Model และ [9] - [11] โดยใช้ข้อมูลรวมเพื่อจัดทำ Time-Homogeneous Markov Models ซึ่งช่วงเวลา มีการเปลี่ยนแปลงแบบคงที่ ต่างจากวิธีมาร์คอฟแบบไม่เป็นเนื้อเดียวกัน ที่ช่วงเวลา มีการเปลี่ยนแปลงแบบไม่คงที่ และใช้วิธีกำลังสองน้อยที่สุด 3 วิธี ในการประมาณค่าพารามิเตอร์ของแบบจำลอง หลังจากนั้น [12] ใช้ข้อมูลรวม สร้างแบบจำลองมาร์คอฟและประมาณค่าพารามิเตอร์โดยวิธีกำลังสองน้อยที่สุดถ่วงน้ำหนัก

จากการศึกษาที่ผ่านมาพบว่า ยังมีการศึกษาเกี่ยวกับการเปลี่ยนแปลงประชากรที่มีผลกระทบต่อความต้องการด้านสุขภาพไม่มากนัก ใน การวิจัยนี้จึงสนใจศึกษาการเปลี่ยนแปลงจำนวนประชากร และความสัมพันธ์กับความต้องการผู้ป่วยในรายปีในแต่ละกลุ่มอายุและเพศ เนื่องจากประชากรมีการเปลี่ยนแปลงไปหลาย ๆ สถานะ ซึ่งมีความไม่แน่นอนและเป็นแบบไม่คงที่ จึงประยุกต์ใช้แบบจำลองมาร์คอฟแบบไม่เป็นเนื้อเดียวกัน (Nonhomogeneous Markov Model) ในการแก้ปัญหา โดยข้อจำกัดของข้อมูลที่เป็นแบบข้อมูลรวม และจากการสำรวจงานวิจัยจึงใช้วิธีกำลังสองน้อยที่สุดถ่วงน้ำหนัก (WLS) สำหรับหาค่าพารามิเตอร์ของแบบจำลองเพื่อคาดการณ์จำนวนประชากรและความต้องการใช้บริการแบบผู้ป่วยใน ในโรงพยาบาลทั้งหมดในจังหวัดนครราชสีมาโดยไม่แยกรายโรงพยาบาล โดยกลุ่มประเภทของประชากรและผู้ป่วยในแบ่งตามกลุ่มอายุ เพศ และผู้ป่วยในแบ่งเป็นกลุ่มผู้ป่วยโรคเรื้อรัง โรคไม่เรื้อรัง และกลุ่มผู้ป่วย ACSC ผลจากแบบจำลองประชากรมาร์คอฟประกอบด้วย จำนวนประชากรและความต้องการผู้ป่วยในระหว่างปี พ.ศ. 2550 - 2558 เทียบกับข้อมูลในอดีต และคาดการณ์ในช่วงปี พ.ศ. 2559 - 2568 โดยที่ผู้สูงอายุรายปีทั้งหมดคำนวณมาใช้ในการประเมินความต้องการบุคลากรในการดูแลระยะยาว โดยพิจารณาปัจจัยระดับการพึ่งพิง และรูปแบบการอาศัยของผู้สูงอายุ และศึกษาผลของรูปแบบการอาศัยของผู้สูงอายุ เมื่ออัตราของผู้สูงอายุต้องอยู่ลำพังเพิ่มขึ้น ต่อความต้องการการดูแลที่บ้าน

วิธีดำเนินการ

การพัฒนาแบบจำลองมาร์คอฟแบบไม่เป็นเนื้อเดียวกันหรือ Nonhomogeneous Markov Model เพื่อคาดการณ์จำนวนประชากรและจำนวนผู้ป่วยในแยกประเภทรายปีในโรงพยาบาลทั้งหมด ในพื้นที่ศึกษา จังหวัดนครราชสีมา วัตถุประสงค์ของการวิจัยครั้นี้เพื่อคาดการณ์แนวโน้มจำนวนประชากร และความต้องการของผู้ป่วยใน โดยแบ่งประเภทเป็น i) ผู้ป่วยที่เป็นโรคเรื้อรัง ii) ผู้ป่วยที่ไม่เป็นโรคเรื้อรัง และ iii) กลุ่มผู้ป่วยในที่สามารถดูแลได้ด้วยการรักษาแบบผู้ป่วยนอกเมื่อระบบการดูแลสุขภาพพื้นฐานมีประสิทธิภาพเพียงพอ (ACSC) เมื่อโครงสร้างประชากรเปลี่ยนแปลงไปสู่ผู้สูงอายุ การศึกษาพิจารณาการเปลี่ยนแปลงของประชากรอายุและเพศ รวมถึงปัจจัยการเกิด ความตายและการย้ายถิ่นสุทธิ ที่มาของข้อมูลและส่วนประกอบของแบบจำลองแสดงดังรายละเอียดต่อไปนี้

ข้อมูล

จำนวนการเกิดและจำนวนประชากรรายปี (ที่มา: สำนักบริหารการทะเบียน กระทรวงมหาดไทย)

จำนวนการตายรายปี (ที่มา: สำนักงานสถิติแห่งชาติ) จำนวนการตายแยกกลุ่มอายุ เพศ

(ที่มา: สำนักงานสาธารณสุขนครราชสีมา และสำนักงานพัฒนาระบบท้มูลข่าวสารสุขภาพ) จำนวนผู้ป่วยในรายปีจากปี พ.ศ. 2547 - 2557 และจำนวนการตายในโรงพยาบาลทั้งหมด รายปี (ที่มา: สำนักนโยบายและยุทธศาสตร์ - กระทรวงสาธารณสุข)

เขต

A - เขตของกลุ่มอายุ; A = {1 = [0,15], 2 = [16-59], 3 = [60-69], 4 = [70-79], 5 = [80+]}
T - เขตของปี IP - เขตของกลุ่มผู้ป่วย; IP = {1 = Chronic, 2 = Non-Chronic, 3 = ACSC}, S - เขตของสถานะประชากร; S = {1 = Pop_(a), 2 = Pop_(a+1), 3 = [Inp_(k,a)], 4 = Inp_(k,a+1), 5 = Death} G - เขตของเพศ; G = {1 = Male, 2 = Female} เมื่อ $Pop_{ga}(t)$ แทนประชากรเพศ g ในกลุ่มอายุ a ณ ปีที่ t และ $Inp_{gak}(t)$ แทนผู้ป่วยในเพศ g , กลุ่มอายุ a , กลุ่มโรค k ปีที่ t

ดัชนี

i, j : สถานะลำดับที่ i และสถานะลำดับที่ j สำหรับ เขต S ; $i, j \in S$, t : ปีที่ t ในเขต T ; $t \in T$, g : เพศ g ในเขต G ; $g \in G$, a : กลุ่มอายุ a จากเขต A ; $a \in A$ และ k : ผู้ป่วยในกลุ่มที่ k จากเขต IP; $k \in IP$

1. การคำนวณการเปลี่ยนแปลงประชากร

1) อัตราการเกิด (Birth Rate) รายปี t เพศ g คำนวณจากจำนวนการเกิดใหม่ ($Newborn_g(t)$) ต่อประชากรในปีก่อนหน้า $Pop_g(t-1)$ หลังจากนั้นคำนวณฟังก์ชันของอัตราการเกิดต่อตัวแปรเวลาที่เปลี่ยนไป

2) ปริมาณการย้ายถิ่นสุทธิ (Net Migration) คำนวณปริมาณการย้ายถิ่นสุทธิจากข้อมูลในอดีตตัวอย่างลิลล์วัตช์ส่วนประกอบตามรุ่น (Cohort Component Method) [13] และวิธีสถิติเชิง (Vital Statistic) [14] ตามกลุ่มอายุและเพศ โดยสมการที่ (1) และ (2) เมื่อ $NM_{ga}(t)$ แทนปริมาณการย้ายถิ่นสุทธิเพศ g อายุ (a) ในปีที่ t , $NB_g(t)$ แทนจำนวนการเกิดใหม่เพศ g ในปีที่ t และ $Pop_g(t-1)$ แทนจำนวนประชากรเพศ g ทั้งหมด ณ ปีที่ $t-1$, นำ $NM_{ga}(t)$ มาคำนวณอัตราการย้ายถิ่นในแต่ละปีเมื่อตัวแปรจำนวนประชากรเปลี่ยนแปลงไป จะได้อัตราการย้ายถิ่นสุทธิ (Net Migration Rate) ในประชากรแต่ละกลุ่มอายุ, เพศ และคำนวณทางฟังก์ชันของอัตราการย้ายถิ่นสุทธิในรายปี

$$NM_{ga}(t) = NB_g(t) + Pop_{ga}(t-1) - Pop_{g,a \rightarrow a+1}(t-1,t) - Death_{ga}(t) - Pop_{ga}(t); \quad (1)$$

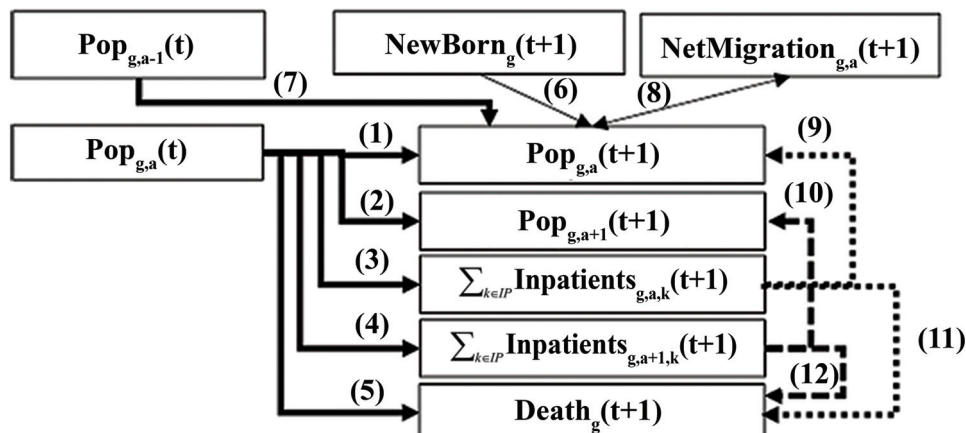
$$\text{เมื่อ } a = 1$$

$$NM_{ga}(t) = Pop_{ga}(t-1) - Pop_{g,a \rightarrow a+1}(t-1,t) + Pop_{g,a-1 \rightarrow a}(t-1,t) - Death_{ga}(t) - Pop_{ga}(t); \quad (2)$$

$$\text{เมื่อ } a > 1$$

การเปลี่ยนแปลงประชากรในแต่ละสถานะ ในแต่ละเพศ g และดับเบิลรูปที่ 1 โดยการเปลี่ยนแปลงระหว่างสถานะมีรายละเอียดดังนี้ เริ่มต้นในปีที่ t (1) ประชากรกลุ่มอายุ a ยังคงอยู่ในกลุ่มอายุ a และไม่เป็นผู้ป่วยในในปี $t+1$; ($a = 1..5$), (2) ประชากรกลุ่มอายุ a เปลี่ยนเป็นกลุ่มอายุ $a+1$ และไม่ได้เป็น

ผู้ป่วยในในปี $t+1$; ($a = 1..4$), (3) ประชากรกลุ่มอายุ a เปลี่ยนเป็นผู้ป่วยในกลุ่มโรค k กลุ่มอายุ a ในปี $t+1$; ($a = 1..5, k = 1..3$), (4) ประชากรกลุ่มอายุ a เปลี่ยนเป็นผู้ป่วยในกลุ่มโรค k กลุ่มอายุ $a+1$ ในปี $t+1$; ($a = 1..4, k = 1..3$), (5) ประชากรกลุ่มอายุ a เข้าสู่สถานะตายในโรงพยาบาล ในปี $t+1$; ($a = 1..5$), (6) ประชากรเกิดใหม่ ในปี $t+1$ เพิ่มมาในกลุ่มประชากรกลุ่มอายุ a ในปีที่ $t+1$; ($a = 1$), (7) ประชากรกลุ่มอายุ $a-1$ เปลี่ยนเป็นประชากรกลุ่มอายุ a ในปีที่ $t+1$; ($a = 2..5$), (8) ประชากรย้ายถิ่นสุทธิ กลุ่มอายุ a ในปี $t+1$ เพิ่มหรือลดลงในกลุ่มประชากรกลุ่มอายุ a ในปีที่ $t+1$; ($a = 1..5$), (9) ผู้ป่วยในกลุ่มอายุ a และกลุ่มโรค k ในปีที่ $t+1$ ยังมีชีวิตอยู่ยังเป็นประชากรกลุ่มอายุ a ในปี $t+1$; ($a = 1..5, k = 1..3$), (10) ผู้ป่วยในกลุ่มอายุ $a+1$ และกลุ่มโรค k ในปีที่ $t+1$ ยังมีชีวิตอยู่ยังเป็นประชากรกลุ่ม $a+1$ ในปี $t+1$; ($a = 1..5, a = 1..3$), (11) ผู้ป่วยในกลุ่มอายุ a และกลุ่มโรค a ในปีที่ $t+1$ เข้าสู่สถานะการตายในโรงพยาบาล ในปี $t+1$; ($a = 1..5, k = 1..3$) และ (12) ผู้ป่วยในกลุ่มอายุ $a+1$ และกลุ่มโรค k ในปีที่ $t+1$ เข้าสู่สถานะการตายในโรงพยาบาล ในปี $t+1$; ($a = 1..5, k = 1..3$) โดยสามารถคำนวณ จำนวนประชากรเพศ g กลุ่มอายุ a ในเวลา $t+1$, ดังสมการที่ (3) - (5)



รูปที่ 1 การเปลี่ยนแปลงประชากรในแต่ละสถานะ

$$pop_{ga}(t+1) = pop_{ga}(t) - pop_{ga \rightarrow a+1}(t, t+1) + NB_g(t+1) \pm NM_{ga}(t+1) \\ - dOH_{ga}(t+1) - (pop_{ga}(t) \rightarrow \sum_{k \in IP} Inp_{gak}(t+1)) - (pop_{ga}(t) \rightarrow \sum_{k \in IP} Inp_{ga+1k}(t+1)) + \\ \sum_{k \in IP} Inp_{gak}(t+1) - dIH_{ga}(t+1) \quad (3)$$

เมื่อ $g, = 1, 2, a = 1$

$$pop_{ga}(t+1) = pop_{ga}(t) - pop_{ga \rightarrow a+1}(t, t+1) + pop_{g(a-1) \rightarrow a}(t, t+1) \pm NM_{ga}(t+1) \\ - dOH_{ga}(t+1) - (pop_{ga}(t) \rightarrow \sum_{k \in IP} Inp_{gak}(t+1)) - (pop_{ga}(t) \rightarrow \sum_{k \in IP} Inp_{ga+1k}(t+1)) + \\ \sum_{k \in IP} Inp_{gak}(t+1) - dIH_{ga}(t+1) \quad (4)$$

เมื่อ $g, = 1, 2, a = 2..4$

$$\begin{aligned} pop_{ga}(t+1) &= pop_{ga}(t) + pop_{g(a-1) \rightarrow a}(t, t+1) \pm NM_{ga}(t+1) - dOH_{ga}(t+1) \\ &\quad - (pop_{ga}(t) \rightarrow \sum_{k \in IP} Inp_{gak}(t+1)) + \sum_{k \in IP} Inp_{gak}(t+1) - dIH_{ga}(t+1) \end{aligned} \quad (5)$$

เมื่อ $g = 1, 2, a = 5$

2. Markov Model

การเปลี่ยนแปลงในแต่ละสถานะในรูปที่ 1 ประกอบด้วย การเปลี่ยนแปลง 2 ขั้นตอน ขั้นตอนที่ 1 การเปลี่ยนแปลงที่เกี่ยวข้องกับการเปลี่ยนกลุ่มอายุประกอบด้วย การเปลี่ยนแปลงสถานะจากประชากรในปีที่ t เป็นประชากรในปีที่ $t+1$ ในแต่ละสถานะต่าง ๆ ได้แก่ ประชากรในกลุ่มอายุเดิม ประชากรในกลุ่มอายุใหม่ ประชากรที่เป็นผู้ป่วยในกลุ่มอายุเดิม ประชากรที่เป็นผู้ป่วยในกลุ่มอายุใหม่ และเข้าสู่ภาวะการตายนอกโรงพยาบาล ขั้นตอนที่ 2 สถานะการเปลี่ยนแปลงที่ไม่เกี่ยวข้องกับการเปลี่ยนกลุ่มอายุ ได้แก่ ผู้ป่วยในกลุ่มอายุ a ในปีที่ t เข้าสู่สถานะตายในโรงพยาบาลในปีที่ t และเข้าสู่สถานะมีชีวิตในปีที่ t สถานะต่าง ๆ ที่กล่าวมานี้น่าจะมีความน่าจะเป็น (Transition Probabilities) ของแต่ละสถานะที่มีการเปลี่ยนแปลงตามเวลาในรูปแบบ Non-Homogeneous Discrete Time Markov Model โดยที่การกระจายตัวแต่ละสถานะแสดงได้ในรูปแบบการกำหนดมัลติโนเมียลลอจิต [15] จากรากฐานของห่วงโซ่มาร์คอฟแบบไม่เป็นเนื้อเดียวกันแสดงได้ดังสมการ $p_{gaij}(t) = P(X_{ga}(t) = j | X_{ga}(t-1) = i)$ เมื่อ $i, j = 1, 2, \dots, m, a = 1..5, g = 1, 2, t = 0, 1..T$ เมื่อ $p_{gaij}(t)$ แทนความน่าจะเป็นของการเปลี่ยนแปลงประชากรเพศ g กลุ่มอายุ a จากสถานะ i จากเวลา $t-1$ ไปสถานะ j ที่เวลา t จากการศึกษาที่ผ่านมาพบว่า [16] ได้นำเสนอตัวแบบมาร์คอฟ จำกจำนวนนับที่สามารถถูกประยุกต์ใช้ในการกระจายแบบพหุกลุ่ม (Multinomial) โดยที่ $n_{g,a,i}(t-1) = \sum_{j=1}^m n_{g,a,i,j}(t)$ และ $\sum_{j=1}^m p_{g,a,i,j}(t) = 1$ และ $n_{gaij}(t)$ แทน จำนวนประชากรเพศ g กลุ่มอายุ a จากสถานะ i จากเวลา $t-1$ ไปสถานะ j ที่เวลา t จำนวนตัวประมาณค่าของ $p_{gaij}(t)$ ได้แก่ $\hat{p}_{gaij}(t) = n_{gaij}(t) / n_{gai}(t-1)$

การหาค่าพารามิเตอร์สำหรับห่วงโซ่มาร์คอฟแบบไม่เป็นเนื้อเดียวกัน (Non-Homogeneous Markov Chains) ในงานวิจัยนี้ทำการแปลงการกระจายแบบพหุกลุ่ม (Multinomial) ไปอยู่ในรูปสมการเส้นตรง (Linear Function) โดยแปลงให้อยู่ในรูปแบบฟังก์ชันมัลติโนเมียลลอจิต ซึ่งฟังก์ชันนี้แสดงความสัมพันธ์ระหว่างความน่าจะเป็นของการเปลี่ยนแปลง (Transition Probability) และตัวแปรต่าง ๆ ที่เปลี่ยนไปตามเวลา เนื่องจากข้อจำกัดทางด้านข้อมูล ตัวแปรตันที่พิจารณาในงานวิจัยนี้ ได้แก่ ปีที่ (Time Calendar) และจำนวนประชากรทั้งหมดในแต่ละเพศและกลุ่มอายุในปีก่อนหน้า ($t-1$)

ความน่าจะเป็นของการเปลี่ยนแปลงในรูปของ Odds Functions หรือ $\pi_{gaij}(t) = p_{gaij}(t) / p_{gaj}(t)$ ซึ่งแสดงความสัมพันธ์ของ $p_{gaij}(t)$ จาก i ไป j โดยที่มี $p_{gaj}(t)$ เป็นสถานะอ้างอิง (Reference State) และฟังก์ชันลอจิต (Logit Function) คำนวนได้จาก $\ln(\pi_{gaij}(t)) = \theta_{gaij}(p(t)) = f(\bar{\beta}; \bar{x})$, เมื่อ $i, j = 1, 2, \dots, m, j \neq i, a = 1..5, g = 1, 2, t = 0, 1..T$ เมื่อ $\bar{\beta}$ แทนเวคเตอร์ของพารามิเตอร์ และ \bar{x} แทนเวคเตอร์ของตัวแปรตัน (Covariates or Variable) ของ Logit Function จาก Logit Function เชียนความสัมพันธ์ของความน่าจะเป็นของการเปลี่ยนแปลง (Transition Probability) ได้ใหม่ในรูปของฟังก์ชันของพารามิเตอร์และตัวแปรตัน ดังสมการที่ (6) และ (7)

$$p_{gaij}(t) = \exp(\theta_{gaij}(p(t)))/\left(1 + \sum_{j \neq i} \theta_{gaij}(p(t))\right) \quad (6)$$

เมื่อ $i, j = 1, 2, \dots, m, a = 1..5, g = 1, 2, t = 0, 1..T$

$$p_{gai}(t) = 1/\left(1 + \sum_{j \neq i} \theta_{gaij}(p(t))\right) \quad (7)$$

เมื่อ $i, j = 1, 2, \dots, m, a = 1..5, g = 1, 2, t = 0, 1..T$

3. วิธีกำลังสองน้อยที่สุดที่ถูกถ่วงน้ำหนัก (Weighted Least Square Estimation)

เมื่อนำข้อมูลในอดีตมาหาค่า Transition Probability ในแต่ละสถานะ และแสดงในรูป Logit Function ที่มีการเปลี่ยนแปลงตามเวลา หลังจากนั้นทำการประมาณค่าพารามิเตอร์ของ Logit Function และในงานวิจัยนี้ใช้วิธีการประมาณค่าพารามิเตอร์แบบ Weighted Least Squares (WLS) ซึ่งเป็นวิธีที่พัฒนามาจากวิธี Ordinary Least Square โดย [17] กล่าวว่าวิธี WLS อยู่ในรูปแบบที่ง่าย ต่อการทำความเข้าใจและสามารถนำไปใช้ได้โดยง่าย ซึ่งเป็นส่วนหนึ่งของ Maximum Likelihood Estimation Technique by Using Iterative WLS และเมื่อ WLS and ML Estimators เทียบเท่า Asymptotically วิธีประมาณค่าพารามิเตอร์ทั้งสองวิธีจะอยู่ในกลุ่มของตัวประมาณค่าแบบ Best Asymptotically Normal (BAN)

Asymptotic Covariance เมื่อ Logit Response Function เข้าสู่การกระจายแบบปกติ (Normal Distribution) หรือ cdf ของ $\sqrt{n}(\tilde{\theta}_{gai}(p_n(t)) - \bar{\theta}_{gai}(p)(t)) \rightarrow N(0, \phi V_{gai}\phi')$ cdf. เมื่อ $\tilde{\theta}_{gai}(p_n(t))$ เป็นเวคเตอร์ของ Logit Response Function จากตัวอย่างขนาด n จากสถานะ i สำหรับกลุ่มตัวอย่างขนาดใหญ่

เมื่อ $n_{gai}(0)$ แทนจำนวนประชากรเพศ g กลุ่มอายุ a ที่สถานะ i ในเวลา $t=0$ และคำนวณ Mean Variance Covariance สำหรับ Multinomial Distribution โดยคำนวณค่าเฉลี่ย (Mean) จาก $E(n_{gaij}(t)) = n_{gai}(0) \times p_{gaij}(t)$ คำนวณ Variance จาก $Var(n_{gaij}(t)) = n_{gai}(0) \times (p_{gaij}(t) \times (1 - p_{gaij}(t)))$ เมื่อ $i = j$ และคำนวณ Covariance จาก เมื่อ $i \neq j$ ดังนั้นจากการสมการ $\hat{p}_{gaij}(t) = n_{gaij}(t) / n_{gai}(t-1)$ จะได้ เมทริกซ์ Variance-Covariance ของ $p_i = (p_{i1}, p_{i2}, \dots, p_{im})$ หรือ $V_{gai}(p(t)) = \frac{1}{n_{gai}(t-1)} \times [Var_{ii} \ COV_{ij}]_{ga}(t)$

จากวิธี Delta Method ของ [17] เมื่อ Logit Function $\theta_{agij}(p(t)) = \ln(p_{agij}(t)) - \ln(p_{agii}(t))$ คำนวณ Jacobian ϕ_i ของเมทริกซ์ $(m-1) \times m$ จะได้ $\phi_i = 1/p_{ij}(t) - 1/p_{ii}(t)$ เมื่อ $i, j = 1..m$ และ $i \neq j$ ดังนั้นคำนวณ Asymptotic Covariance Matrix $(V_F(t))$ จาก Log Odds จาก $V_F(t) = \phi_i \times V_{gai}(t) \times \phi_i'$ เมื่อ $V_{gai}(t)$ เป็นเมทริกซ์ Variance-Covariance ของ p_i

Minimizes the Quadratic Loss Function ของ WLS ดังสมการที่ (8) คำนวณพารามิเตอร์ของ Logit เมื่อ \bar{b}_i คือเวคเตอร์ของพารามิเตอร์ β_{ij} ดังสมการที่ (9)

$$\left[\bar{\theta}_{gai}(p(t)) - f(\beta; x)(t) \right]' \times V_F^{-1} \times \left[\bar{\theta}_{gai}(p(t)) - f(\beta; x)(t) \right] \quad (8)$$

โดยที่ $f(\beta; x) = \beta x$ เมื่อ β - Set of parameters และ X - Set of covariates

$$\bar{b}_i = \left(\bar{x}' V_F^{-1} \bar{x} \right)_i^{-1} \times \left(\bar{x}' V_F^{-1} f(\beta; x) \right)_i \quad (9)$$

Goodness of Fit Test ทดสอบ Hypothesis ของ Loss Function $\bar{\theta}_{gai}(p(t)) - f(\beta; x)(t) = 0$ เมื่อ Null Hypothesis $H_0: \beta = 0$ ตัวแปร Covariates (X) ในงานวิจัยนี้สนใจจำนวนประชากรและปีที่เปลี่ยนไปใช้การกระจายแบบ F สำหรับทดสอบสมมติฐาน ดังสมการ $F_{q,v} = ((SSR_r - SSR_u / q) / (SSR_u / v))$ มี (q, v) เป็น Degree of Freedom เพื่อรับนุյปัจจัยที่เหมาะสมสำหรับแต่ละ Transition Probabilities ที่ระดับความเชื่อมั่น 95 % เมื่อ SSR_r แทน Residual of Loss Function สำหรับ Null Hypothesis (H_0) มี q Degree of Freedom และ SSR_u แทน Residual of Loss Function สำหรับ Other Hypothesis มี v Degree of Freedom

การคำนวนหาพารามิเตอร์สำหรับ Logit Function ของแต่ละสถานะโดยใช้โปรแกรม Matlab หลังจากนั้นนำไปคำนวน Transition Probabilities ของแต่ละสถานะ โดยสมการที่ (6) และ (7) ต่อจากนั้นคำนวนจำนวนประชากร และผู้ป่วยในแต่ละกลุ่ม ตามกลุ่มอายุ เพศ เป็นแบบรายปี ตามสมการที่ (3) - (5)

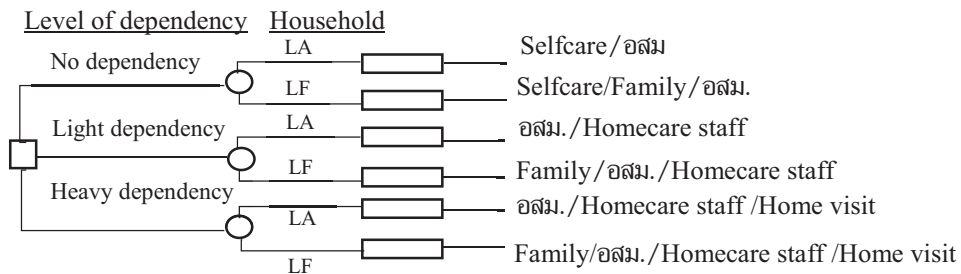
4. รูปแบบการดูแลระยะยาว (Long-Term Care Model) และความต้องการทรัพยากร

เมื่อได้จำนวนประชากรรายปีในแต่ละกลุ่มอายุและเพศ นำมาประเมินการดูแลระยะยาว โดยพิจารณาปัจจัยระดับการพึ่งพิง (Level of Dependency) และปัจจัยสถานการณ์ในครัวเรือน (Household Situation) รายละเอียดดังต่อไปนี้

1) ปัจจัยระดับการพึ่งพิงของการปฏิบัติภาระประจำวันด้วยตัวเอง (Activities of Daily Living - ADL) แบ่งตามกลุ่มอายุใน 3 ระดับ ได้แก่ (1) LV1-ไม่ต้องการพึ่งพา (No Dependency) หมายถึงผู้สูงอายุที่สามารถทำกิจกรรมต่าง ๆ ได้ทุกวันโดยไม่ต้องการความช่วยเหลือ (2) LV2-การพึ่งพิงเล็กน้อย (Light Dependency) หมายถึงผู้สูงอายุที่ต้องการความช่วยเหลือในการทำกิจกรรมในชีวิตประจำวัน สำหรับหนึ่งกิจกรรม และ (3) LV3-การพึ่งพิงมาก (Heavy Dependency) หมายถึงผู้สูงอายุที่ต้องการความช่วยเหลือในการทำกิจกรรมในชีวิตประจำวันมากกว่าหนึ่งกิจกรรม

2) ปัจจัยสถานการณ์ในครัวเรือน (Household Situation) เกี่ยวกับผู้สูงอายุที่อาศัยอยู่一人 (Live Alone - LA) หรืออาศัยอยู่กับครอบครัว (Live with Family - LF)

การวิเคราะห์จำนวนความต้องการการดูแลระยะยาวจะใช้การจำลองแบบมอนติคาร์โล ตามการกระจายแบบ Uniform เนื่องจากการขาดข้อมูลเกี่ยวกับความเป็นไปได้ร่วมกันขององค์ประกอบของครัวเรือนและระดับการพึ่งพา จึงใช้ข้อมูลระดับการพึ่งพิงในอดีต จากการสำรวจข้อมูลในอดีตจาก Health Information System ในปี พ.ศ. 2552 เป็นขอบเขตล่าง และข้อมูลในปี พ.ศ. 2557 เป็นขอบเขตบน และข้อมูลองค์ประกอบของครัวเรือนจาก Health Information System ใช้ข้อมูลปี พ.ศ. 2537 เป็นขอบเขตล่าง และข้อมูลปี พ.ศ. 2557 เป็นขอบเขตบน เพื่อหาสัดส่วนของปัจจัยการดูแลระยะยาว ระดับของการดูแลระยะยาวจากปัจจัยที่กล่าวมาและความต้องการบุคลากรแสดงดังรูปที่ 2



รูปที่ 2 ระดับของการดูแลระยะยาวและความต้องการบุคลากร

จากรูปที่ 2 ระดับการดูแลระยะยาวในงานวิจัยนี้อ้างอิงจากรดับมาตรฐานการดูแลผู้สูงอายุ กำหนดได้จากการสำรวจสาธารณสุขดังนี้ (1) อัตราการดูแลผู้สูงอายุทั้งหมดต่อเจ้าหน้าที่อาสาสมัคร สาธารณสุข (อสม.) คือผู้สูงอายุ 7 คนต่อเจ้าหน้าที่ 1 คน (2) อัตราการดูแลผู้สูงอายุความพึ่งพิงเล็กน้อย ระดับ 2 และพึ่งพิงมากระดับ 3 และอาศัยลำพังต้องการเจ้าหน้าที่ Home Care Staff 1 คน ต่อผู้สูงอายุ 7 คน (3) อัตราการดูแลผู้สูงอายุความพึ่งพิงมากระดับ 3 และอาศัยลำพังต้องการเจ้าหน้าที่ทางการแพทย์ Home Visit Staff 1 คน ต่อผู้สูงอายุ 200 คน

หลังจากนั้นพิจารณา Sensitivity Analysis ของความต้องการ Home Care หรือการดูแลที่บ้าน เมื่อระดับของสถานการณ์ในครัวเรือนที่ผู้สูงอายุต้องอยู่ลำพังมีแนวโน้มเพิ่มขึ้น 1 และ 3 % ต่อปี

ผลการศึกษา

1. ความน่าจะเป็นของการเปลี่ยนแปลง (Markov Transition Probability)

สรุปพารามิเตอร์ของ Logit Function ของ Markov Transition Probability ในรูปแบบพหุนามโดยมีตัวแปร ได้แก่ จำนวนประชากรและปีคั้กราช ทดสอบตัวแปรที่เหมาะสมด้วยวิธี F-Distribution Test ของแต่ละกลุ่มอายุและแต่ละสถานะที่เปลี่ยนแปลงดังตารางที่ 1 และคำนวณ Transition Probability ด้วยสมการที่ (6) และ (7)

2. การตรวจสอบความน่าเชื่อถือ (Model Validation)

เพื่อเปรียบเทียบประสิทธิภาพของผลการคาดการณ์จึงจำเป็นต้องตรวจสอบความน่าเชื่อถือของการคำนวณด้วยการเปรียบเทียบระหว่างข้อมูลจริงและการคาดการณ์โดยใช้ Mean Absolute Percent Error (MAPE) ข้อมูลย้อนหลังที่ใช้ในการคำนวณแบบจำลองของมาร์คอฟอยู่ระหว่าง พ.ศ. 2550 - 2557 ดังนั้นการตรวจสอบความถูกต้องของแบบจำลองจะเปรียบเทียบข้อมูลทั้งหมดระหว่าง พ.ศ. 2550 - 2559 ผลจากการเปรียบเทียบ MAPE พบว่าการคาดการณ์ของประชากรมีความแตกต่างน้อยมากเมื่อเทียบกับข้อมูลจริง

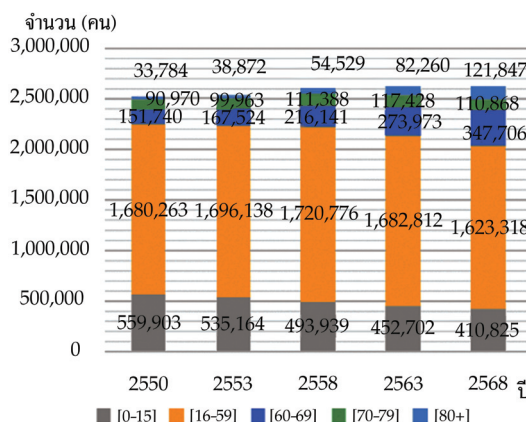
ตารางที่ 1 พารามิเตอร์ของ Logit Function สำหรับเพศชายในแต่ละสถานะในแต่ละช่วงอายุ

States	Gender	[0-15]			[16-59]			[60-69]			[70-79]			[80+]		
		Constant	pop	year	Constant	pop	year	Constant	pop	year	Constant	pop	year	Constant	pop	year
$S_{1 \rightarrow 2}$	Male	-457.58	5E-05	0.220	-15.23	1E-05	0	102.84	0	-0.05	-3.07	0	0	0	0	0
	Female	-443.26	5E-05	0.213	-119.91	0	0.0574	94.41	0	-0.05	-146.64	0	0.071	0	0	0
$S_{1 \rightarrow 5}$	Male	-203.84	0	0.098	-15.71	1E-05	0	-2.95	-2E-05	0	-0.11	-8E-05	0	580.16	0	-0.290
	Female	-186.79	0	0.089	-7.32	0	0	90.68	0	-0.05	127.12	0	-0.065	0.41	-1E-04	0
$S_{1 \rightarrow 33}$	Male	-1.38	-1E-05	0	-68.48	0	0.032	-2.81	0	0	-1.82	0	0	307.12	0	-0.153
	Female	-2.51	-1E-05	0	-4.97	0	0	-2.84	0	0	-2.17	0	0	203.91	0	-0.102
$S_{1 \rightarrow 31}$	Male	-1.77	-1E-05	0	-72.38	0	0.034	-2.72	0	0	-1.79	0	0	266.39	0	-0.133
	Female	-2.49	-1E-05	0	-4.31	0	0	-2.70	0	0	-1.91	0	0	204.98	0	-0.103
$S_{1 \rightarrow 32}$	Male	1.08	-9E-06	0	-2.82	0	0	-0.79	-1E-05	0	-0.82	0	0	310.55	0	-0.154
	Female	-51.18	0	0.025	-2.32	0	0	-0.36	-1E-05	0	70.67	0	-0.04	251.97	0	-0.125
$S_{1 \rightarrow 43}$	Male	-268.16	0	0.130	-161.30	0	0.077	-4.53	0	0	-300.03	0	0.15	0	0	0
	Female	-4.96	-1E-05	0	-7.26	0	0	-3.77	-0	0	-4.53	0	0	0	0	0
$S_{1 \rightarrow 41}$	Male	-3.25	-1E-05	0	-7.26	0	0	-4.55	0	0	-4.12	0	0	0	0	0
	Female	-4.29	-1E-05	0	-7.13	0	0	-3.51	-0	0	-4.10	0	0	0	0	0
$S_{1 \rightarrow 42}$	Male	-68.75	0	0.032	-6.20	0	0	-2.42	-0	0	-3.03	0	0	0	0	0
	Female	-4.83	0	0	-6.04	0	0	-1.94	-0	0	106.19	0	-0.054	0	0	0

* $S = \{1 = \text{Pop}(a), 2 = \text{Pop}(a+1), 3 = \text{Inp}(k, a), 4 = \text{Inp}(k, a+1), 5 = \text{Death}\}$ $si \rightarrow j$ for $S = \{1, 2, 5\}$, $Si \rightarrow jk$ for $S = \{3, 4\}$, $k \in IP$

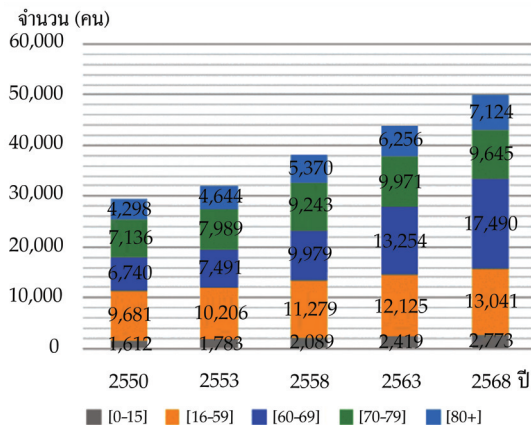
3. จำนวนประชากร (Number of Population)

อัตราการเปลี่ยนแปลงความน่าจะเป็นของ Markov Population ถูกนำมาใช้ในการคำนวณท่าจำนวนประชากรและจำนวนผู้ป่วยในในแต่ละกลุ่มและแต่ละช่วงอายุเป็นรายปีในระหว่างปี พ.ศ. 2550 - 2568 ผลการศึกษาแสดงจำนวนประชากรและจำนวนผู้ป่วยในตาม 5 กลุ่มอายุและแต่ละเพศ โดยสรุปผลประชากรรวมเพศ แยกกลุ่มอายุ ดังรูปที่ 3

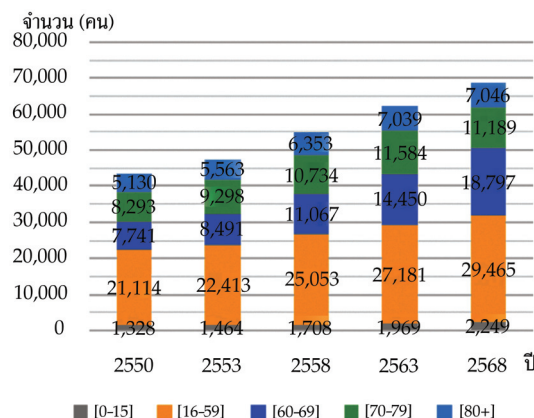


(ก) Total number of population

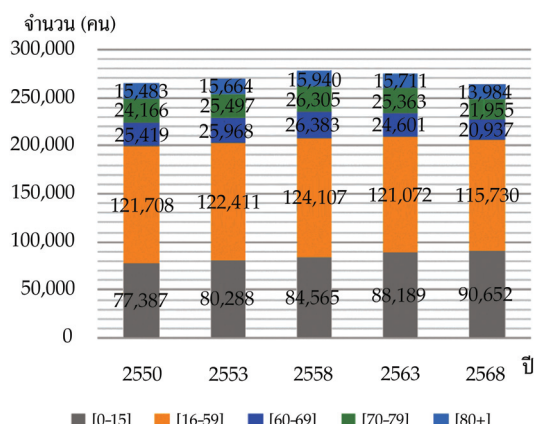
รูปที่ 3 จำนวนประชากรและจำนวนผู้ป่วยโดยรวมแยกกลุ่มอายุระหว่างปี พ.ศ. 2550 - 2568



(ช) ACSC inpatients



(ค) Chronic inpatients



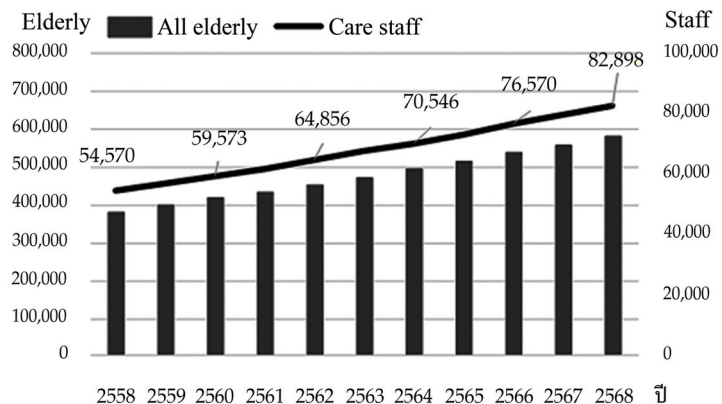
(ง) Non-chronic inpatients

รูปที่ 3 จำนวนประชากรและจำนวนผู้ป่วยในโดยรวมแยกกลุ่มอายุระหว่างปี พ.ศ. 2550 - 2568 (ต่อ)

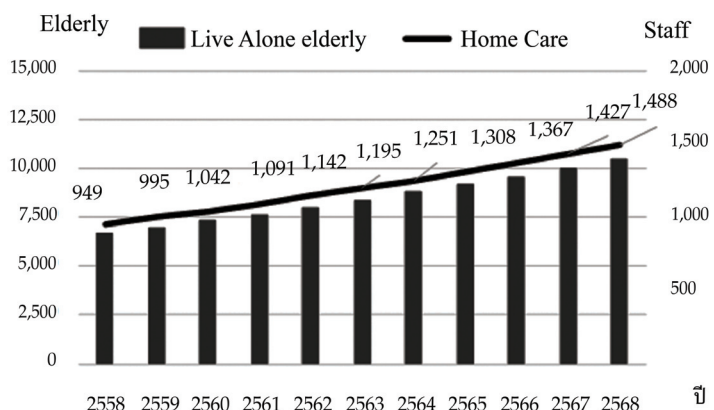
จำนวนประชากรในกลุ่มเด็กลดลงจาก 559,903 คน ในปี พ.ศ. 2550 เป็น 410,825 คน ในปี พ.ศ. 2568 หรือลดลงร้อยละ 26.6 และจำนวนประชากรในกลุ่มวัยทำงานลดลงจาก 1,680,263 คน ในปี พ.ศ. 2550 เป็น 1,623,318 คน ในปี พ.ศ. 2568 หรือลดลง 3.39 % อย่างไรก็ตามการเปลี่ยนแปลงของประชากรทั้งหมดในกลุ่มผู้สูงอายุทั้งหมดเพิ่มขึ้นจาก 276,494 คน ในปี พ.ศ. 2550 เป็น 580,421 คน ในปี พ.ศ. 2568 หรือเพิ่มขึ้น 52.36 % การลดลงของประชากรในวัยทำงานทำให้อัตราส่วนการพึ่งพิง มีแนวโน้มเพิ่มขึ้นจาก 49.77 % ในปี พ.ศ. 2550 เป็น 61.06 % ในปี พ.ศ. 2568 หมายความว่าประชากรที่ต้องการการดูแลมีจำนวนเพิ่มขึ้น และอัตราส่วนของผู้สูงอายุเพิ่มขึ้นจาก 10.98 % ในปี พ.ศ. 2550 เป็น 22.20 % ในปี พ.ศ. 2568 ซึ่งเข้าสู่กลุ่มผู้สูงอายุแล้วนั่นเอง ผู้ป่วยทั้งหมดในกลุ่ม ACSC มีแนวโน้มเพิ่มขึ้น จากปี พ.ศ. 2550 - 2568 จำนวนผู้ป่วยในกลุ่มผู้สูงอายุกลุ่มโรค ACSC เพิ่มขึ้นจาก 18,174 คน ในปี พ.ศ. 2550 เป็น 34,259 คน ในปี พ.ศ. 2568 หรือเพิ่มขึ้น 46.95 % จำนวนผู้ป่วยโรคเรื้อรังผู้สูงอายุเพิ่มขึ้นจาก 21,164 คน ในปี พ.ศ. 2550 เป็น 37,033 คน ในปี พ.ศ. 2568 หรือเพิ่มขึ้น 42.85 % จำนวนผู้ป่วยสูงอายุประเภทไม่เรื้อรังทุกรายลดลงจาก 65,068 คน ในปี พ.ศ. 2550 เป็น 56,876 คน ในปี พ.ศ. 2568 หรือลดลง 14.40 % เนื่องจากจำนวนผู้ป่วยกลุ่มโรคไม่เรื้อรังทั้งหมดมีแนวโน้มลดลง

4. จำนวนความต้องการบุคลากรการดูแลระยะยาว

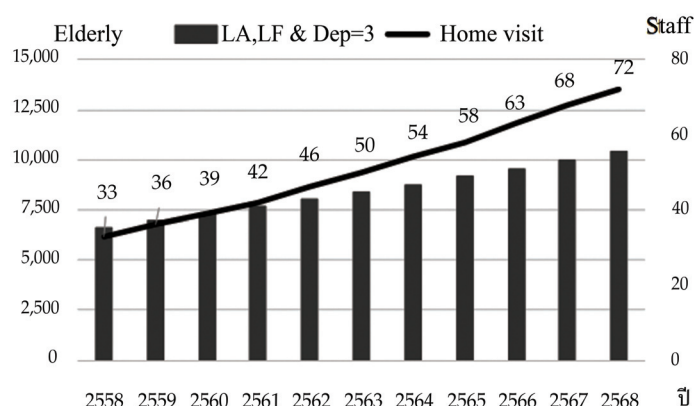
เจ้าหน้าที่ดูแลผู้สูงอายุหรืออาสาสมัครสาธารณสุข (อสม.) คำนวณโดยประมาณมาตรฐานของการดูแลชุมชนตามมาตรฐาน օsm. 1 คน ดูแลผู้สูงอายุได้ 7 คน ดังแสดงในรูปที่ 4(ก) แนวโน้มของผู้สูงอายุที่อาศัยอยู่ตามลำพังเดินโถเข็นอย่างต่อเนื่องตั้งแต่ปี พ.ศ. 2558 - 2568 แนวโน้มเข่นเดียวกัน สำหรับความต้องการของเจ้าหน้าที่ดูแลชุมชน จำนวนผู้สูงอายุที่อาศัยอยู่ตามลำพังและต้องการการพึ่งพิง ดังรูปที่ 4(ข) กลุ่มนี้เป็นผู้สูงอายุที่อาศัยอยู่ตามลำพังและต้องการความช่วยเหลือในการทำกิจกรรมในชีวิตประจำวัน (ADL) หากกว่าหนึ่งกิจกรรม มาตรฐานของการดูแลชุมชนตามมาตรฐาน օsm. หรืออาสาสมัครผู้สูงอายุ (อส.) ในชุด Home Care ลักษณะ 1 คน ดูแลผู้สูงอายุ 7 คน การเยี่ยมบ้านโดยเจ้าหน้าที่ทำการแพทย์หรือ Home Visit ให้การดูแลผู้ป่วยปฐมภูมิแก่ผู้สูงอายุที่อาศัยอยู่ตามลำพัง และต้องการความช่วยเหลือในการทำกิจกรรมในชีวิตประจำวัน (ADL) หากกว่าสองกิจกรรม โดยทั่วไปตามมาตรฐานความเมี้ยดหยาดเจ้าหน้าที่ Home Visit ที่เป็นเจ้าหน้าที่ทำการแพทย์อย่างน้อย 1 คนต่อผู้สูงอายุ 200 คน แนวโน้มของความต้องการเข้ารับการตรวจที่บ้านโดยเจ้าหน้าที่ทำการแพทย์เพิ่มขึ้นดังแสดงในรูปที่ 4(ค)



(ก) เจ้าหน้าที่ อพส. หรือ อสม. สำหรับผู้สูงอายุทั้งหมด

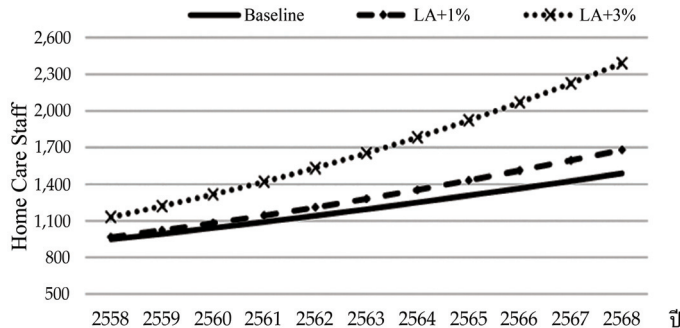


(ข) เจ้าหน้าที่ อพส. สำหรับผู้สูงอายุที่มีภาวะพึ่งพิงและอาศัยอยู่ลำพัง



(ค) บริการการเยี่ยมบ้านโดยแพทย์, พยาบาลสำหรับผู้สูงอายุที่มีภาวะพึ่งพิงระดับสูง
รูปที่ 4 ความต้องการบุคลากรการดูแลระยะยาวสำหรับผู้สูงอายุ

5. Sensitivity Analysis ของความต้องการ Home Care



รูปที่ 5 ความต้องการบุคลากรการดูแลที่บ้าน (Home Care) เมื่ออัตรา Live Alone ของผู้สูงอายุเพิ่มขึ้น 1 และ 3 %

เมื่ออัตราผู้สูงอายุที่อาศัยอยู่ลำพัง (Live Alone - LA) มีแนวโน้มเพิ่มขึ้นต่อปี 1 และ 3 % จะพบว่า ความต้องการการดูแลที่บ้าน (Home Care) ของอาสาสมัครและเจ้าหน้าที่สาธารณสุขมีแนวโน้มเพิ่มขึ้นแสดงดังรูปที่ 5 โดยจะเพิ่มขึ้นอย่างมากเมื่อผู้สูงอายุที่อาศัยอยู่ลำพังเพิ่มขึ้นต่อปี 3 %

การอภิปรายผล

งานวิจัยนี้ศึกษาผลของการเปลี่ยนแปลงประชากรต่อจำนวนผู้ป่วยในโรงพยาบาลในจังหวัดนครราชสีมา และผลต่อประชากรผู้สูงอายุที่เปลี่ยนไปต่อความต้องการการดูแลระยะยาวในช่วงเวลาห่างปี พ.ศ. 2550 - 2568 โดยพิจารณาตามเพศ ตามกลุ่มอายุ 5 กลุ่มอายุ ได้แก่ กลุ่มเด็ก (0 - 15) กลุ่มวัยทำงาน (16 - 59) กลุ่มผู้สูงอายุขันตัน (60 - 69) กลุ่มผู้สูงอายุขันกลาง (70 - 79) กลุ่มผู้สูงอายุขันปลาย (80 หรือมากกว่า) โดยผู้ป่วยในโรงพยาบาลพิจารณาแยกตามกลุ่มโรค 3 ประเภท ได้แก่ กลุ่มโรคเรื้อรัง กลุ่มโรคไม่เรื้อรัง และกลุ่มโรคที่รักษาได้ด้วยสภาวะการดูแลแบบปฐมภูมิหรือผู้ป่วยนอก (ACSCs) แนวโน้มประชากรวัยเด็ก ทั้งเพศชายและหญิงมีจำนวนลดลง แต่จำนวนผู้ป่วยในทุกประเภทมีแนวโน้มเพิ่มเล็กน้อย การเปลี่ยนแปลงจำนวนประชากรเพศชายในวัยทำงานมีจำนวนไม่เปลี่ยนแปลงมากนัก ส่วนประชากรเพศหญิงในวัยทำงาน มีแนวโน้มลดลงทำให้ประชากรวัยทำงานโดยรวมมีแนวโน้มลดลง และพบว่าจำนวนผู้ป่วยในประเทศไทยไม่เรื้อรัง มีแนวโน้มที่ลดลงซึ่งเป็นไปตามแนวโน้มที่เกิดขึ้นจากข้อมูลในอดีต แต่ผู้ป่วยในกลุ่มโรคเรื้อรังและ ACSCs ยังเพิ่มขึ้นเล็กน้อย เนื่องจากกลุ่มวัยทำงานอยู่ในช่วงอายุที่กว้างซึ่งแนวโน้มประชากรในกลุ่มอายุนี้ เมื่อเปลี่ยนไปมีอายุเฉลี่ยเพิ่มขึ้นล่วงผลให้แนวโน้มการป่วยเป็นโรคเรื้อรังเพิ่มขึ้น ในขณะที่ประชากรผู้สูงอายุ มีแนวโน้มเพิ่มขึ้นทั้งกลุ่มผู้สูงอายุขันตัน ขันกลาง และขันปลาย ทั้งเพศชายและเพศหญิงล่วงผลทำให้ลักษณะ ประชากรผู้สูงอายุโดยรวมเพิ่มขึ้นมากจากร้อยละ 11 ในปี พ.ศ. 2550 เป็นร้อยละ 22.1 ในปี พ.ศ. 2568 ล่วงผลต่อจำนวนผู้ป่วยในทุกประเภทมีแนวโน้มที่เพิ่มขึ้น ประชากรวัยทำงานที่ลดลงและประชากรสูงอายุ ที่สูงขึ้นล่วงผลต่ออัตราการพึงพิงของผู้สูงอายุที่สูงขึ้น และเมื่อพิจารณาความต้องการการดูแลระยะยาว ของประชากรผู้สูงอายุจากปัจจัยระดับความสามารถในการพึงพิงจากข้อมูลในอดีต และสภาวะการอยู่อาศัย

แบบอยู่อาศัยตามลำพังหรืออยู่กับครอบครัว พบร่วมกันในมีความต้องการอาสาสมัครสาธารณสุขและอาสาสมัครผู้สูงอายุมีแนวโน้มที่เพิ่มขึ้น สำหรับผู้สูงอายุทุกกลุ่มและทุกประเภท เมื่อพิจารณากลุ่มผู้สูงอายุประเภทที่ช่วยเหลือตัวเองได้น้อยและช่วยเหลือตัวเองไม่ได้เลยก็มีแนวโน้มที่เพิ่มขึ้นส่งผลต่อความต้องการการบริการการดูแลที่บ้านก็มีแนวโน้มเพิ่มขึ้นเช่นกัน และเมื่อทดสอบความต้องการการดูแลที่บ้านกรณีที่ผู้สูงอายุที่อาศัยอยู่คนเดียวเพิ่มขึ้นปีละ 1 และ 3 % ก็พบว่าบุคลากร Home Care Staff มีความต้องการเพิ่มขึ้นอย่างมาก

สรุปผล

ข้อมูลความต้องการบุคลากรที่เพิ่มขึ้นนี้สามารถนำมาใช้ในการเตรียมงบประมาณ เพื่อจัดทำทรัพยากรทางด้านกำลังคนให้สอดคล้องกับความต้องการที่เปลี่ยนแปลงในอนาคตเพื่อรับรับปัญหาในการดูแลผู้สูงอายุในระยะยาวต่อไป นอกจากนี้ข้อมูลผู้ป่วยในที่ได้สามารถนำไปประเมินความต้องการการใช้เตียงในโรงพยาบาลในการศึกษาต่อไป

ในงานวิจัยนี้ยังมีข้อจำกัดทางด้านข้อมูลเนื่องจากในงานวิจัยนี้พิจารณาเพียงปัจจัยการเปลี่ยนสถานะของประชากรจากข้อมูลจำนวนประชากรในอดีตและช่วงเวลาที่เปลี่ยนไปเท่านั้น ในงานวิจัยต่อไปควรพิจารณาปัจจัยทางด้านสุขภาพที่ส่งผลต่อสุขภาพประชากรในแต่ละกลุ่มอายุด้วย เช่น ระดับ BMI ระดับคอเรสเตอรอล เป็นต้น รวมไปถึงปัจจัยทางด้านสังคมอื่น ๆ เช่น รายได้เพื่อใช้เป็นข้อมูลในการจัดทำหลักประกันสุขภาพของผู้สูงอายุที่เหมาะสม นอกจากนี้การศึกษาต่อไปสามารถนำข้อมูลความต้องการผู้ป่วยในเป็นข้อมูลในการประเมินจำนวนเตียงและค่าใช้จ่ายที่ใช้ในโรงพยาบาลต่อไปโดยวิเคราะห์ผลกระบวนการเปลี่ยนปัจจัยทางประชากรที่ส่งผลต่อจำนวนเตียงและค่าใช้จ่าย รวมถึงวิเคราะห์ผลการเปลี่ยนแปลงเมื่อผู้ป่วยประเภท ACSC ลดลงหรือเพิ่มขึ้นต่อจำนวนเตียงและค่าใช้จ่ายด้วยเช่นกัน

References

- [1] Vipan Prachuabmoh ed. (2013). **Situation of the Thai elderly 2011**. With support from the Fund of the Elderly, National Commission on the Elderly [Press release]
- [2] Sanmartin, C. and Khan, S. (2011). Hospitalizations for Ambulatory Care Sensitive Conditions (ACSC): The Factors That Matter. **Health Research Working Paper Series** (Catalogue 82-622-X, No. 007) Ottawa: Statistics Canada.
- [3] Lugo-Palacios, D. G., and Cairns, J. (2015). Using Ambulatory Care Sensitive Hospitalisations to Analyse the Effectiveness of Primary Care Services in Mexico. **Social Science & Medicine**. Vol. 144, pp. 59-68. DOI: 10.1016/j.socscimed.2015.09.010
- [4] Craig, B. A. and Newton, M. A. (1997). Modeling the History of Diabetic Retinopathy. **Case Studies in Bayesian Statistics**. Springer. pp. 305-323. DOI: 10.1007/978-1-4612-2290-3_7
- [5] Pérez-Ocón, R., Ruiz-Castro, J. E., and Gámiz-Pérez, M. L. (2000). Markov Models with Lognormal Transition Rates in the Analysis of Survival Times. **Test**. Vol. 9, Issue 2, pp. 353-370. DOI: 10.1007/BF02595740

- [6] Vassiliou, P. C. (1997). The Evolution of the Theory of Non-Homogeneous Markov Systems. **Applied Stochastic Models and Data Analysis.** Vol. 13, Issue 3-4, pp. 159-176
- [7] Kalbfleisch, J. D., Lawless, J. F., and Vollmer, W. M. (1983). Estimation in Markov Models from Aggregate Data. **Biometrics.** Vol. 39, No. 4, pp. 907-919. DOI: 10.2307/2531326
- [8] Van Der Plas, A. P. (1983). On the Estimation of the Parameters of Markov Probability Models Using Macro Data. **The Annals of Statistics.** Vol. 11, No. 1, pp. 78-85
- [9] Kalbfleisch, J. D. and Lawless, J. F. (1984). Least-Squares Estimation of Transition Probabilities from Aggregate Data. **The Canadian Journal of Statistics / La Revue Canadienne de Statistique.** Vol. 12, No. 3, pp. 169-182. DOI: 10.2307/3314745
- [10] Lawless, J. and McLeish, D. (1984). The Information in Aggregate Data from Markov Chains. **Biometrika.** Vol. 71, No. 3, pp. 419-430. DOI: 10.2307/2336552
- [11] McLeish, D. L. (1984). Estimation for Aggregate Models: The Aggregate Markov Chain. **The Canadian Journal of Statistics / La Revue Canadienne de Statistique.** Vol. 12, No. 4, pp. 265-282. DOI: 10.2307/3314810
- [12] Davis, B. A., Heathcote, C. R., and O'Neill, T.J. (2002). Estimating and Interpolating a Markov Chain from Aggregate Data. **Biometrika.** Vol. 89, Issue 1, pp. 95-110. DOI: 10.1093/biomet/89.1.95
- [13] Smith, S. K., Tayman, J., and Swanson, D. A. (2006). **State and Local Population Projections.** Methodology and Analysis. Springer Netherlands. DOI: 10.1007/0-306-47372-0
- [14] VI, M. (1970). **Methods of Measuring Internal Migration.** United Nations Publication, New York.
- [15] MacRae, E. C. (1977). Estimation of Time-Varying Markov Processes with Aggregate Data. **Econometrica.** Vol. 45, No. 1, pp. 183-198. DOI: 10.2307/1913295
- [16] Anderson, T. W. and Goodman, L. A. (1957). Statistical Inference About Markov Chains. **The Annals of Mathematical Statistics.** Vol. 28, Number 1, pp. 89-110.
- [17] Agresti, A. and Kateri, M. (2011). **Categorical Data Analysis.** Springer, Berlin. DOI: 10.1007/978-3-642-04898-2_161

สมบัติทางกลของยางธรรมชาติที่เสริมแรงด้วยชิลิกาที่ปรับปรุงผิวด้วยเทคนิคแอดไนเมชั่ลาร์พอลิเมอไรเซชัน

Mechanical Properties of Natural Rubber Reinforced with Modified Silica by Admicellar Polymerization

ธัมม์โพธิ ประจักษ์สูตร^{1*} คอมกรุ๊ป ปิติฤกษ์¹ และถิราวดุ พงศ์ประยูร²

Thamchoto Prajaksood^{1*} Komkrit Pitiruek¹ and Thirawudh Pongprayoon²

Received: March 19, 2019; Revised: May 14, 2019; Accepted: May 15, 2019

บทคัดย่อ

ผงเชม่าดำ (Carbon Black) ชิลิกาที่ไม่ปรับปรุงผิว (Unmodified Silica) และชิลิกาปรับปรุงผิวด้วยเทคนิคแอดไนเมชั่ลาร์พอลิเมอไรเซชัน (Modified Silica) จะถูกใช้เป็นสารเติมแต่งเพื่อเสริมแรงของยางหลังจากนั้นจะทำการทดสอบสมบัติทางกลในแต่ละสูตรการผสม ผลการทดสอบพบว่าค่าสมบัติทางกลของยางที่เสริมแรงด้วยชิลิกาปรับปรุงผิวด้วยเทคนิคแอดไนเมชั่ลาร์พอลิเมอไรเซชันตีกว่าในทุกค่า เมื่อเทียบกับผงเชม่าดำหรือชิลิกาที่ไม่ปรับปรุงผิว สำหรับยางธรรมชาติที่เสริมแรงด้วยชิลิกาปรับปรุงผิวด้วยเทคนิคแอดไนเมชั่ลาร์พอลิเมอไรเซชันที่อัตราส่วน 40 phr (Parts Per Hundred of Rubber) โดยผ่านการอัดขึ้นรูปที่ 160 กิโลกรัมต่อตารางเซนติเมตร ที่อุณหภูมิ 145 องศาเซลเซียส เป็นเวลา 4 นาที จะให้ประสิทธิภาพทางกลที่ดีและเป็นสภาวะที่เหมาะสมที่สุดสำหรับนำไปใช้เป็นสูตรเคมีสำหรับการผลิตผลิตภัณฑ์ล้อยางใน

คำสำคัญ : ยาง; ชิลิกา; แอดไนเมชั่ลาร์พอลิเมอไรเซชัน; ยางใน

¹ คณะวิศวกรรมศาสตร์ มหาวิทยาลัยขอนแก่น ขอนแก่น

² คณะวิศวกรรมศาสตร์ มหาวิทยาลัยเทคโนโลยีพระจอมเกล้าพระนครเหนือ กรุงเทพมหานคร

¹ Faculty of Engineering, Khon Kaen University, Khon Kaen

² Faculty of Engineering, King Mongkut's University of Technology North Bangkok, Bangkok

* Corresponding Author E - mail Address: thamchoto.p@gmail.com

Abstract

Carbon Black (CB), Unmodified Silica (Si) and silica modified by admicellar polymerization (MS) were applied as rubber reinforcement. Mechanical properties of these different rubber formulae were subsequently tested. The results revealed that the mechanical properties of rubber reinforced with silica modified by admicellar polymerization were superior to those reinforced with carbon black or unmodified silica. As for the rubber reinforcement with silica modified by admicellar polymerization at the 40 phr (Parts Per Hundred of Rubber) mixture ratio with a compression mold at 160 kg/cm² at a 145 °C cure temperature for 4 minutes proved to be the best mechanical properties effective and the most optimal conditions to be used as a rubber chemical formulae for production of inner rubber tube products.

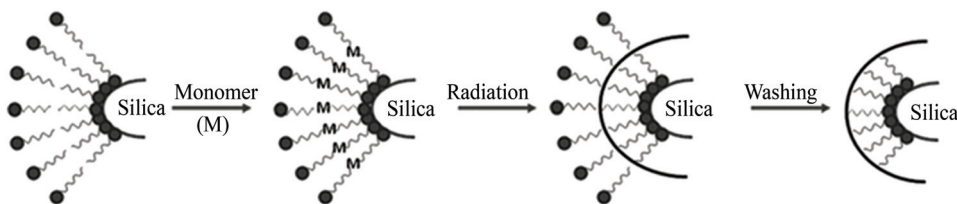
Keywords: Rubber; Silica; Admicellar Polymerization; Inner Rubber Tube

บทนำ

ในปัจจุบันความต้องการใช้ผลิตภัณฑ์ประเทกยางมีปริมาณมากขึ้นอย่างต่อเนื่องโดยเฉพาะอุตสาหกรรมการผลิตยางล้อรถยนต์และรถจักรยานยนต์ ในปี พ.ศ. 2557 พนวิ่งยางล้อรถยนต์และรถจักรยานยนต์ มีปริมาณการใช้สูงที่สุด คือ 352,862 ตัน คิดเป็นอัตราส่วนประมาณ 65 เปอร์เซ็นต์ ของปริมาณการใช้ยางธรรมชาติของประเทศไทย [1] ส่งผลให้มีการพัฒนา กันอย่างกว้างขวางเพื่อตอบสนองวัตถุประสงค์การใช้งานที่หลากหลายตามความต้องการ โดยยกเห็นจากการพัฒนาให้มีสมบัติเป็นไปตามมาตรฐานได้แก่ ความต้านทานแรงดึง (Tensile Strength) ความต้านทานการฉีกขาด (Tear Strength) ความยืดหยุ่น (Elongation) ความต้านทานต่อการขัดลี (Abrasion Resistance) ค่าการซึมผ่านของก๊าซ (Gas Permeability) และค่าความทนทานต่อรังสีโอโซน (Ozone Aging Resistance) ของยางที่ดีที่สุดแล้ว ยังมีเป้าประสงค์ที่ต้องการพัฒนาเพื่อให้ได้ผลิตภัณฑ์ที่มีคุณภาพดีขึ้น โดยการเติมสารเติมแต่ง (Fillers) ในยางเพื่อเป็นการปรับปรุงสมบัติของยางให้เหมาะสมด้วยการนำไบโพลีชัน ซึ่งในอุตสาหกรรมยางล้อรถยนต์และรถจักรยานยนต์ส่วนใหญ่นิยมใช้สารเติมแต่ง เช่น ��黑 (Carbon Black) เพื่อช่วยเพิ่มคุณสมบัติในการเสริมแรง แต่ผงเช่นนี้ไม่สามารถทำให้ได้สมบัติบางประการตามที่ต้องการ เช่น ความยืดหยุ่น และยังถูกจำกัดอยู่ในผลิตภัณฑ์ที่ต้องเป็นสีดำเท่านั้น ไม่สามารถพัฒนาผลิตภัณฑ์ที่มีสีสันอื่น ๆ ได้ การใช้สารตัวเติมอื่น ๆ ที่ไม่มีสีหรือมีสีอ่อน จึงมีบทบาทสำคัญในการพัฒนาผลิตภัณฑ์ประเทกนี้

ซิลิกา (Silica) ถือเป็นสารเติมแต่งอีกชนิดหนึ่งที่นิยมใช้กันมากในอุตสาหกรรมยาง เพราะนอกจากจะทำให้ยางมีสมบัติเชิงกลที่ดีขึ้นแล้ว ยังมีข้อดีด้านการเพิ่มความยืดหยุ่นและยังสามารถพัฒนาผลิตภัณฑ์ให้มีสีได้อีกด้วย แต่ซิลิกามีข้อด้อยคือความเป็นรูพรุนสูงทำให้เกิดการคุกคักตัวเร่งปฏิกิริยาเคมี และที่พิเศษของซิลิกายังประกอบไปด้วยทอนซูอิจานอล (Silanol) ซึ่งส่งผลให้ซิลิกาดัดแปลงกลุ่มที่ชอบน้ำ (Hydrophilic) ทำให้มีการละลายน้ำกันเป็นกลุ่มก้อนขนาดใหญ่ (Agglomerate) ในขณะที่พิเศษของยางเป็นแบบไม่ชอบน้ำ (Hydrophobic) ด้วยเหตุนี้ทำให้การยึดเกาะระหว่างพื้นผิวของซิลิกาและยางค่อนข้างไม่ดี การยึดเกาะ

ที่ไม่ดีนี้ส่งผลให้อนุภาคของชิลิกาและยางแยกออกจากกัน ที่ผ่านมาได้มีงานวิจัยจำนวนหนึ่งได้ปรับปรุงผิวของชิลิกาโดยใช้เทคนิคที่เรียกว่าแอดไมเนชลาร์พอลิเมอไรเซชัน ทำให้เกิดฟิล์มบางบนผิวของชิลิกาเพื่อเพิ่มประสิทธิภาพการยึดเกาะระหว่างผิวของชิลิกาและยาง [2] - [5] เทคนิคที่เรียกว่าแอดไมเนชลาร์พอลิเมอไรเซชันนี้ถูกแนะนำครั้งแรกโดย Wu, J. H. et al. [2] ในปี ค.ศ. 1987 เทคนิคนี้ประกอบไปด้วย 4 ขั้นตอน ได้แก่ ขั้นตอนการดูดซับของแอดไมเนชล์บนผิวชิลิกา ขั้นตอนการละลายของไอโซพรีนมองเอมอร์ในแอดไมเนชล์ ขั้นตอนการเกิดฟิล์มพอลิไอโซพรีนภายในขั้นแอดไมเนชล์ และการล้างเพื่อกำจัดสารลดแรงตึงผิวขั้นนอกของแอดไมเนชล์ออก ทำให้ขั้นฟิล์มพอลิเมอร์ปรากฏขึ้น ดังแสดงในรูปที่ 1

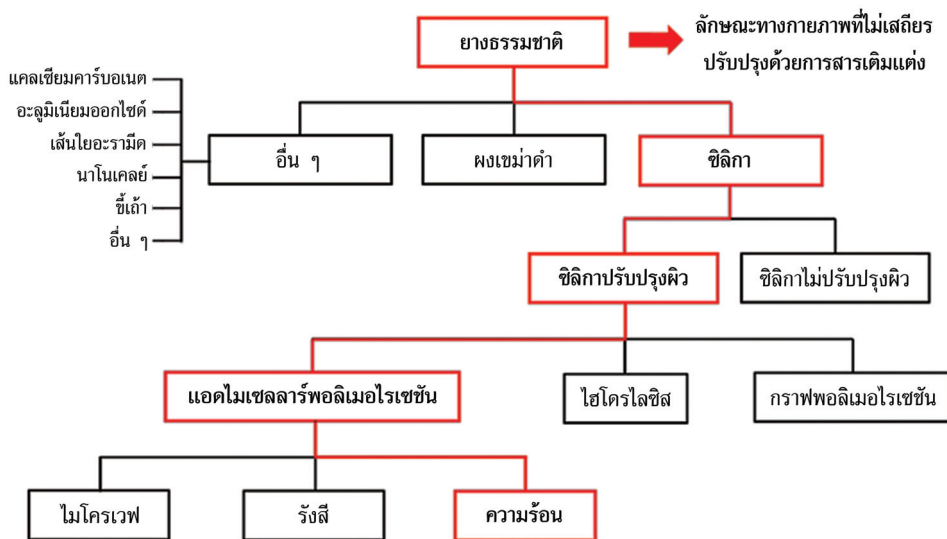


รูปที่ 1 การปรับเปลี่ยนผิวของชิลิกาด้วยกระบวนการแอดไมเนชลาร์พอลิเมอไรเซชัน

ในปี ค.ศ. 1996 Thammathadanukul, V. et al. [3] ได้ใช้เทคนิคแอดไมเนชลาร์พอลิเมอไรเซชันเพื่อปรับปรุงผิวชิลิกาพร้อมกับวิเคราะห์สมบัติทางกลของยางที่เสริมแรงด้วยชิลิกาที่ผ่านการปรับปรุงผิวโดยการเปรียบเทียบยางเสริมแรงด้วยชิลิกาปรับปรุงผิวที่ใช้ Organosilane Coupling Agent ต่างชนิดกันคือ Styrene-Butadiene และ Styrene-Isoprene Copolymers ผลการศึกษาพบว่ากระบวนการปรับปรุงผิวของชิลิกาทั้ง 2 ชนิด ให้อัตราการคงรูปของยาง สมบัติการทานต่อแรงดึง ค่าความต้านทานต่อการฉีกขาด ค่าความต้านทานการลีกหรอ และการกดอัดที่ดีขึ้น ต่อมาในปี ค.ศ. 2005 Nontasorn, P. et al. [4] ได้พัฒนาถังทำปฏิริยาแบบกวนต่อเนื่อง Continuous Stirred Tank Reactor (CSTR) สำหรับการปรับปรุง Amorphous Silica ด้วยเทคนิคแอดไมเนชลาร์พอลิเมอไรเซชันสำหรับการใช้กันยาง ซึ่งจากการเปรียบเทียบระบบกวนแบบต่อเนื่องนี้ สามารถผลิตชิลิกาที่ผ่านการปรับปรุงผิวและทำให้ยางมีประสิทธิภาพที่ดีขึ้น เมื่อเทียบกับกระบวนการแบบแบบทช. (Batch) เมื่อจากชิลิกาที่ผ่านการปรับปรุงผิวจากการ CSTR มีคุณสมบัติที่เลี่ยงกว่า ในภายหลังได้มีกลุ่มนักวิจัยทำการศึกษาการใช้รังสีเป็นตัวหนียานนำกระบวนการได้เป็นผลสำเร็จ ซึ่งเป็นทางเลือกที่เพิ่มขึ้นจากการใช้ความร้อนแบบเดิม โดยการเหนี่ยวนำให้เกิดปฏิริยาพอลิเมอไรเซชันกับพอลิเมอร์ชนิดต่าง ๆ ตั้งแต่ Poly (Diethyl Fumarate) to Poly (Methyl Methacrylate) [6] - [11] ในปี ค.ศ. 2010 Yooprasert, N. et al. [12] ทำการเปรียบเทียบการยึดเกาะไอโซพรีนบนผิวของชิลิกาที่ปรับปรุงผิวด้วยเทคนิคแอดไมเนชลาร์พอลิเมอไรเซชันที่เหนี่ยวนำด้วยรังสีกับระบบความร้อน จากผลการศึกษาพบว่าเทคนิคแอดไมเนชลาร์พอลิเมอไรเซชันที่เหนี่ยวนำด้วยรังสีที่ลัดล่วงค่าความเข้มข้นที่เหมาะสมจะทำให้เกิดขั้นฟิล์มบนผิวชิลิกาที่ดีกว่า เมื่อเทียบกับระบบความร้อน ในปี ค.ศ. 2012 Pongprayoon, T. et al. [11] ทำการศึกษาการใช้ชิลิกาปรับปรุงผิวด้วยเทคนิคแอดไมเนชลาร์พอลิเมอไรเซชันที่เหนี่ยวนำด้วยรังสีเป็นสารเติมแต่งสำหรับยางธรรมชาติ และเปรียบเทียบผลของสมบัติทางกลของยางธรรมชาติที่เสริมแรงกับยางธรรมชาติที่เสริมแรงด้วยชิลิกาที่ไม่ปรับปรุงผิว และชิลิกาที่ปรับปรุงผิวด้วย Si69 จากผลการศึกษาพบว่าค่าสมบัติทางกลของยางที่เสริมแรงด้วยชิลิกา

ปรับปรุงผิวด้วยเทคนิคแอดไมเซลลาร์พอลิเมอไรเซชันดีกว่าในทุกค่า เมื่อเทียบกับชิลิกาที่ไม่ปรับปรุงผิว หรือชิลิกาที่ปรับปรุงผิวด้วย Si69 สำหรับชิลิกาปรับปรุงผิวด้วยเทคนิคแอดไมเซลลาร์พอลิเมอไรเซชัน ที่ใช้สารลดแรงตึงผิว Cetyltrimethyl Ammonium Bromide (CTAB) จะให้ประสิทธิภาพดีที่สุด เมื่อเทียบกับ Dodecyltrimethyl Ammonium Bromide (DTAB) และ Tetradecyltrimethyl Ammonium Bromide (TTAB) ต่อมาในปี ค.ศ. 2016 Faklek, A. [13] ทำการศึกษาและปรับปรุงพื้นผิวชิลิกาด้วยเทคนิคแอดไมเซลลาร์พอลิเมอไรเซชัน เพื่อใช้สมเป็นตัวเติมเสริมแรงในสูตรการผลิตผลิตภัณฑ์ล้อยางในรถจักรยานและรถจักรยานยนต์ จากผลการทดสอบพบว่า ยางที่เสริมแรงด้วยชิลิกา ปรับปรุงผิวด้วยเทคนิคแอดไมเซลลาร์พอลิเมอไรเซชันที่อัตราส่วน 30 phr ให้ค่าสมบัติเชิงกลของยางดีกว่า เมื่อเทียบกับยางที่เสริมแรงด้วยชิลิกาที่ไม่ปรับปรุงผิว และ pengema คำ

เทคนิคแอดไมเซลลาร์พอลิเมอไรเซชันถูกใช้เพื่อปรับปรุงผิวชิลิกาสำหรับใช้เป็นสารเสริมแรงในยางกันอย่างกว้างขวาง ซึ่งนับว่าเป็นเทคนิคการปรับปรุงผิวชิลิกาที่มีประสิทธิภาพ โดยพบว่า ค่าสมบัติเชิงกลของยางธรรมชาติเสริมแรงด้วยชิลิกาที่ปรับปรุงผิวด้วยเทคนิคแอดไมเซลลาร์พอลิเมอไรเซชัน ดีขึ้นในทุกค่า หากพิจารณาในวัสดุการของ การปรับปรุงคุณภาพยางธรรมชาติและประเด็นที่ศึกษาในงานวิจัยนี้ สามารถแสดงการจัดแบ่งประเภทปัญหา (Classification Problem Diagram) ดังแสดงในรูปที่ 2



รูปที่ 2 แผนภาพแสดงการจัดแบ่งประเภทปัญหา

ดังนั้นงานวิจัยนี้จึงเป็นการศึกษาเพื่อขยายผลจากงานวิจัยที่กล่าวมาข้างต้น โดยการใช้ชิลิกาปรับปรุงผิวด้วยเทคนิคแอดไมเซลลาร์พอลิเมอไรเซชันโดยใช้ความร้อนเป็นสารเติมแต่งสำหรับยางธรรมชาติ และทำการศึกษาสมบัติทางกลของยางธรรมชาติที่เสริมแรง โดยผลของสมบัติทางกลในยางธรรมชาติที่เสริมแรงด้วยชิลิกาที่ปรับปรุงผิวด้วยเทคนิคแอดไมเซลลาร์พอลิเมอไรเซชัน จะถูกเปรียบเทียบกับยางธรรมชาติที่เสริมแรงด้วยชิลิกาที่ไม่ปรับปรุงผิว เพื่อหาลักษณะที่เหมาะสมที่สุดสำหรับนำไปใช้เป็นสูตรเครื่องสำอางการผลิตภัณฑ์ล้อยางใน

วิธีดำเนินการวิจัย

1. สารเคมีและอุปกรณ์

ยางธรรมชาติ (STR10-CV50) จาก Bangkok Rubber Co., Ltd. ประเทศไทย ผงเข้ม่าดำ (Carbon Black; N660) จาก Behn Meyer Specialty Chemical ประเทศไทย เอเชีย ชิลิกา (Hi-Sil®255) จาก Tokuyama Siam Silica Co., Ltd. ประเทศไทย สารลดแรงตึงผิวที่ใช้ในงานวิจัยนี้คือ เชกทิลไตรเมทิลแอมโมเนียมบอร์มายด์ (Cetyltrimethyl Ammonium Bromide) [CH₃(CH₂)₁₅N(CH₃)₃Br หรือ CTAB (98 %) จาก Fluka สหพันธ์สาธารณรัฐเยอรมนี

2. แอดไมเนชัน

นำสารลดแรงตึงผิวเชกทิลไตรเมทิลแอมโมเนียมบอร์มายด์ (Cetyltrimethyl Ammonium Bromide; CTAB) ปริมาณ 72.91 กรัม ละลายในน้ำกลั่น 8 ลิตร และปรับค่าความเป็นกรด-ด่างของสารละลายด้วยโซเดียมไฮดรอกไซด์จนสารละลายมีค่าความเป็นกรด-ด่างเท่ากับ 8 กวนสารละลายต่อเนื่องเป็นเวลา 1 ชั่วโมง และเติมซิลิกอนไดออกไซด์ลงในสารละลาย 400 กรัม กวนสารละลายต่อเนื่องเป็นเวลา 2 ชั่วโมง จากนั้นเติมเออกรานอล 500.99 มิลลิลิตร โพแทสเซียมเบอร์ชลเฟต 10.80 กรัม และไอโซพรีน 40 มิลลิลิตร โดยปริมาณของสารที่ใช้นี้เป็นค่าที่เหมาะสม จากการวิจัยการศึกษาผลของลักษณะในการเหนี่ยวนำให้เกิดพิล์มด้วยเทคนิคแอดไมเนชันโดยใช้ความร้อน รายละเอียดของการศึกษาการเกิดพิล์มอยู่ในงานวิจัยของคณพญวิจัย Yooprasert, N. et al. [12] ดังนั้นจะไม่ขออธิบายช้า กวนสารละลายต่อเนื่องเป็นเวลา 2 ชั่วโมง จากนั้นนำสารละลายที่ได้ไปให้ความร้อนที่อุณหภูมิ 70 องศาเซลเซียส เป็นเวลา 2 ชั่วโมง เพื่อเหนี่ยวนำให้เกิดปฏิกิริยาพอลิเมอไรเซชัน เมื่อครบกำหนดเวลานำตัวอย่างซิลิกาไปกรองและล้างด้วยน้ำกลั่นหลาย ๆ ครั้ง เพื่อกำจัดสารลดแรงตึงผิวที่เหลือและไอโซพรีนที่ไม่ได้ทำปฏิกิริยาออกจนหมด หลังจากนั้นนำตัวอย่างซิลิกาที่ได้ไปอบในตู้อบไฟฟ้าที่อุณหภูมิ 40 องศาเซลเซียส เป็นเวลา 3 วัน ก่อนทำการศึกษาคุณลักษณะ

3. การเตรียมยาง การผสมและการทำให้ยางคงรูป

เตรียมยางธรรมชาติ (Natural Rubber; STR10-CV50) 300 กรัม ทำการนวดโดยไส้เข้าเครื่องผสมยางแบบ 2 ลูกกลิ้ง (Two-Roll Mill) จากบริษัท Yi Tzung Co., Ltd., ประเทศไทยได้ทั่ว เป็นเวลา 10 นาที นวดยางจนนิ่มแล้วใส่ส่วนผสมที่จะผสมตามสูตรยางที่กำหนดตามตารางที่ 1 อย่างช้า ๆ โดยรีมจากการสเตียริก (Stearic Acid) Bemox-L และสารตัวเติมเสริมแรง (Reinforcing Filler) ตามปริมาณที่กำหนดตามการออกแบบการทดลอง ตามลำดับ นวดยางต่อประมาณ 24 นาที จากนั้นเติม PEG4000 Okerrin CaCO₃ และ PVI ตามปริมาณที่กำหนด จากนั้นเติมตัวกระตุ้นการทำปฏิกิริยา ขิงค์ออกไซด์ ZnO₂ และตัวเร่งปฏิกิริยา Mercapto Benzothiazyl Disulfide (MBTS) ตามลำดับ นวดยางต่อประมาณ 7 นาที จากนั้นเติม Sulfur ซึ่งเป็นสารช่วยเร่งเวลาในการคงรูปของยางแล้วทำการนวดยางต่อให้ส่วนผสมเข้ากันประมาณ 2 นาที จึงนำไปทดสอบการคงรูปของยางโดยใช้เครื่องรีโอมิเตอร์ แบบจานแก้ว Moving Die Rheometer; MDR รุ่น M-3000A จากบริษัท Gotech Testing Machines inc. ประเทศไทยได้ทั่ว เพื่อหาระยะเวลาในการขึ้นรูปจากนั้นนำยางไปอัดขึ้นรูปด้วย Compression Molding รุ่น Wabach Genesis Press, Model G30H15GX ประเทศไทยรัฐอิมริกาที่ 160 กิโลกรัมต่อตารางเซนติเมตร ที่อุณหภูมิ 160 องศาเซลเซียส (ผงเข้ม่าดำ) และที่อุณหภูมิ 145 องศาเซลเซียส (ซิลิกาและซิลิกาปรับปรุงผิว) ทึ้งยางให้พักตัวเป็นเวลา 24 ชั่วโมง ก่อนทำการทดสอบสมบัติทางกล

ตารางที่ 1 สูตรปริมาณสารในการเตรียมผลิตภัณฑ์ยาง

ส่วนประกอบ (phr)	Natural Rubber	Stearic Acid	Bemox-L	Carbon black	Silica	Modified silica	Okerrin	CaCO ₃	PVI	PEG4000	ZnO ₂	MBTS	Sulphur
Carbon Black	100	2	1	20-50	-	-	1	25	0.25	1.5	5	0.75	1.8
Silica	100	2	1	-	20-50	-	1	25	0.25	1.5	5	0.75	1.8
Modified silica	100	2	1	-	-	20-50	1	25	0.25	1.5	5	0.75	1.8

4. ทดสอบสมบัติยาง

ความหนาของตัวอย่างจะถูกวัดโดยใช้เวอร์เนียร์คลิปเปอร์ยีห้อ Mittutoyo รุ่น HFW960 ประเทศญี่ปุ่น การเตรียมตัวอย่างจะใช้ Cutting Board และ Machine ยีห้อ PVI รุ่น PS-01 Flexo Meter ประเทศหรรษฐ์เมริกา ทดสอบค่าความหนืดมูนนี่ยางใช้ Mooney Viscometer; MV รุ่น MV-3000 จากบริษัท Gotech Testing Machines inc. ประเทศใต้หวัน การทดสอบสมบัติทางกลของยางจะใช้เครื่อง Universal Testing Machine รุ่น AI-7000S จากบริษัท Gotech Testing Machines inc. ประเทศใต้หวันที่ความเร็วทดสอบ 500 มิลลิเมตรต่อนาที การทดสอบความแข็งของยางจะใช้เครื่อง Durometer แบบ Shore A จากบริษัท Taclock ประเทศญี่ปุ่น และการศึกษาการยึดเกาะระหว่างชิลิก้ากับยางธรรมชาติ จะใช้กล้องจุลทรรศน์อิเล็กตรอนแบบส่องการดูแบบ Field Emission Scanning Electron Microscopy (FESEM) และระบบ Focus Ion Beam (Focus Ion Beam: FIB) จาก FEI (Model Helios Nanolab G3 CX)

ผลการศึกษาและอภิปรายผล

1. ผลการทดสอบความไม่ชอบน้ำของชิลิก้าที่ผ่านการปรับปรุงผิว

ชิลิก้าที่ผ่านการปรับปรุงผิวด้วยเทคนิคแอดไมเซลลาร์พอลิเมอไรเซชัน จะแสดงคุณสมบัติที่ไม่ชอบน้ำ (Hydrophobicity) จะทำการทดสอบโดยการนำผงชิลิก้าและผงชิลิก้าที่ผ่านการปรับปรุงผิวอย่างละ 1 กรัม ใส่ลงในบีกเกอร์ (Beaker) ที่บรรจุน้ำสะอาด 200 มิลลิลิตร เป็นเวลา 5 นาที ผลการทดสอบพบว่า ผงชิลิก้าที่ผ่านการปรับปรุงผิวจะลอยอยู่เหนือผิวน้ำตลอดระยะเวลา 5 นาที ส่วนชิลิก้าที่ไม่ผ่านการปรับปรุงผิวจะจมลงสู่ก้นบีกเกอร์ทั้งหมดทันทีดังแสดงในรูปที่ 3



(ก) ชิลิก้าที่ผ่านการปรับปรุงผิว
ด้วยเทคนิค

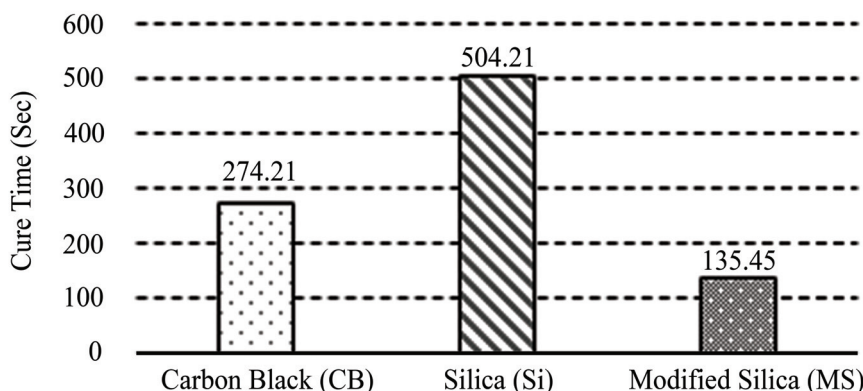


(ข) ชิลิก้าที่ไม่ผ่านการปรับปรุงผิว
แอดไมเซลลาร์พอลิเมอไรเซชัน

รูปที่ 3 ผลการทดสอบความไม่ชอบน้ำของชิลิก้า

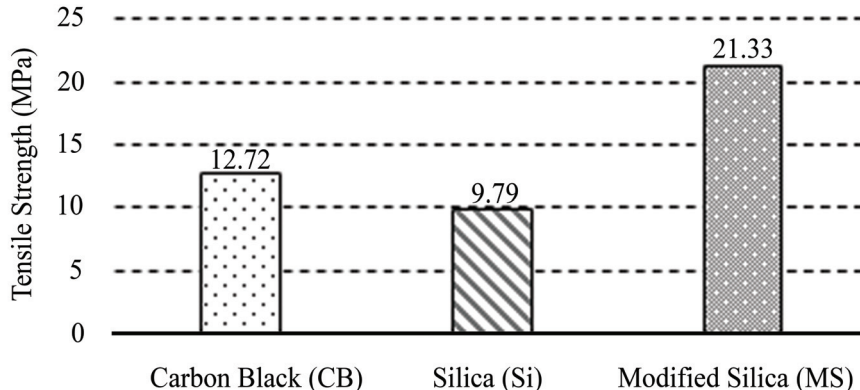
2. ผลทดสอบสมบัติทางกลของยางธรรมชาติเสริมแรงด้วยสารเสริมแรงชนิดต่าง ๆ

ยางธรรมชาติที่เสริมแรงด้วยผงเข้ม่าดำ ชิลิกาที่ไม่ปรับปรุงผิว และชิลิกาปรับปรุงผิวด้วยเทคนิคแอดไมเนชันลาร์พอลิเมอไรเซชันที่อัตราส่วนผสมสารเสริมแรง 30 phr จะถูกทดสอบสมบัติทางกล จากการวิจัยที่ทำการศึกษาที่ผ่านมาของ Faklek, A. [13] ในปี ค.ศ. 2016 ที่ทำการศึกษาและปรับปรุงพื้นผิวชิลิกาด้วยเทคนิคแอดไมเนชันลาร์พอลิเมอไรเซชัน เพื่อใช้ผสมเป็นตัวเติมเสริมแรงในสูตรการผลิตผลิตภัณฑ์ล้อยางในรถจักรยานและรถจักรยานยนต์ จากผลการทดสอบพบว่ายางที่เสริมแรงด้วยชิลิกาปรับปรุงผิวด้วยเทคนิคแอดไมเนชันลาร์พอลิเมอไรเซชันที่อัตราส่วน 30 phr ให้ค่าสมบัติเชิงกลของยางดีกว่าผลการทดสอบสมบัติทางกลดังแสดงในรูปที่ 4 - 8



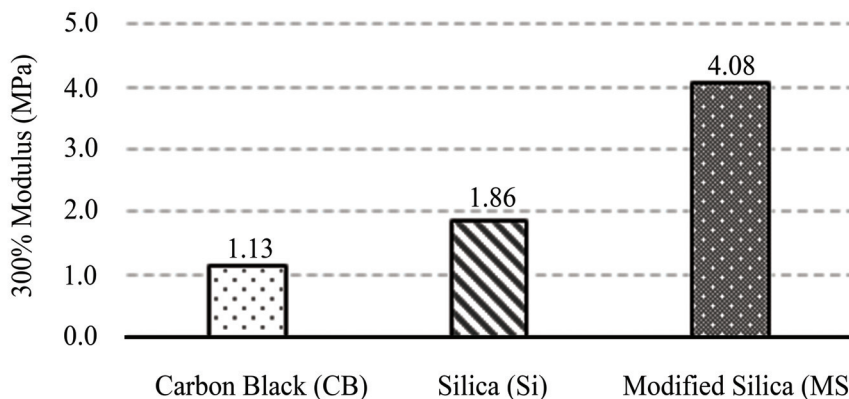
รูปที่ 4 ผลของเวลาการคงรูปของยางธรรมชาติผสมสารเสริมแรงชนิดต่าง ๆ

ยางธรรมชาติที่เสริมแรงด้วยชิลิกาที่ผ่านการปรับปรุงผิวด้วยเทคนิคแอดไมเนชันลาร์พอลิเมอไรเซชัน ผลที่ได้คือ ระยะเวลาการคงรูปของยางที่ล้นกว่าเมื่อเทียบกับยางธรรมชาติที่เสริมแรงด้วยผงเข้ม่าดำ และชิลิกาที่ไม่ปรับปรุงผิว และดังรูปที่ 4 จากผลนี้แสดงให้เห็นว่าคุณสมบัตินางล่อนของยางธรรมชาติที่เสริมแรงด้วยชิลิกาปรับปรุงผิวด้วยเทคนิคแอดไมเนชันลาร์พอลิเมอไรเซชันดีขึ้น เนื่องจาก การปรับปรุงผิวชิลิกาโดยการเคลือบด้วยพิล์มพอลิไอโซพรีนซึ่งไปลดความเป็นกรดบนผิวชิลิกาได้ ทำให้เกิดการยับยังการรัศมีแสงและทำให้ใช้เวลาการคงรูปน้อยลงเข่นกัน จากการวิจัยที่ทำการศึกษาที่ผ่านมาของ Yooprasert, N. et al. [12] ในปี ค.ศ. 2010 ผลการวิจัยพบว่า ชิลิกาปรับปรุงผิวมีพื้นผิวที่ไม่ชอบน้ำ (Hydrophobic) มากกว่าชิลิกาที่ไม่ปรับปรุงผิว ซึ่งพื้นผิวที่ไม่ชอบน้ำจะทำให้เพิ่มความสามารถในการยึดเกาะระหว่างผิวของยางธรรมชาติและชิลิกาปรับปรุงผิวได้ดีกว่าชิลิกาที่ไม่ปรับปรุงผิว นอกจากนี้การวิเคราะห์ลักษณะทางลักษณะทางวิทยาศาสตร์ที่ผลที่สอดคล้องกัน กล่าวคือ จากภาพ SEM จะเห็นได้ชัดว่าชิลิกาไม่ปรับปรุงผิว มีการกระจายตัวในเนื้อยางธรรมชาติที่ไม่ดี แต่ทว่าชิลิกาปรับปรุงผิวจะมีการกระจายตัวในเนื้อยางธรรมชาติได้ดีกว่า



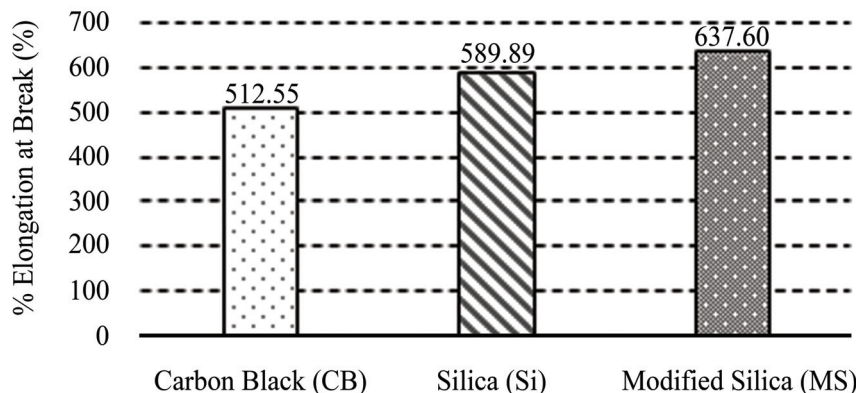
รูปที่ 5 ผลของค่าความต้านทานต่อการดึงของยางธรรมชาติผสมสารเสริมแรงชนิดต่าง ๆ

จากรูปที่ 5 จะเห็นได้ชัดเจนว่ายางธรรมชาติเสริมแรงด้วยซิลิกาปรับปรุงผิวด้วยเทคนิคแอคไมเซลลาร์พอลิเมอไรเซนต์มีค่าความต้านทานต่อการดึงที่สูงกว่ายางธรรมชาติเสริมแรงด้วยผงเขม่าดำและซิลิกาไม่ปรับปรุงผิว เนื่องจากซิลิกาที่ปรับปรุงผิวจะถูกเคลือบผิวด้วยฟิล์มพอลิโซพรีนส์ผลให้การยึดเกาะกับเนื้อยางธรรมชาติที่ดีกว่า ดังนั้นการเสริมแรงด้วยซิลิกาที่ปรับปรุงผิวจึงสามารถทำให้ค่าความต้านทานต่อการดึงของยางธรรมชาติเพิ่มขึ้นได้



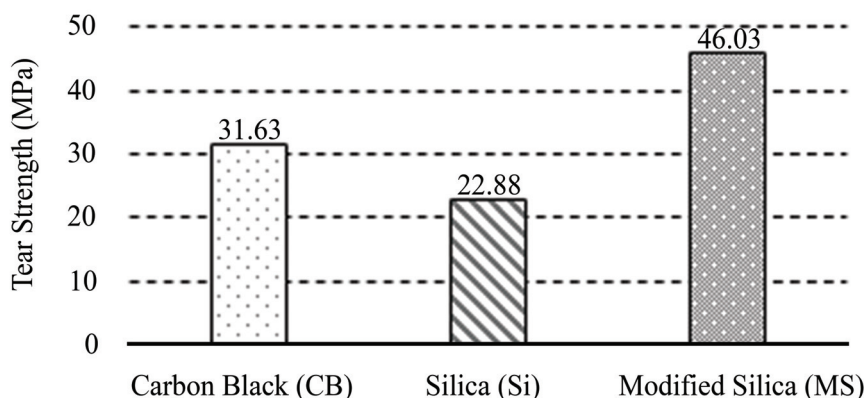
รูปที่ 6 ผลของค่า 300 % Modulus ของยางธรรมชาติผสมสารเสริมแรงชนิดต่าง ๆ

จากรูปที่ 6 บ่งชี้ว่าจะต้องใช้แรงดึงยางธรรมชาติที่เสริมแรงด้วยซิลิกาปรับปรุงผิวที่สูงกว่าเมื่อเทียบกับยางธรรมชาติเสริมแรงด้วยผงเขม่าดำและซิลิกาไม่ปรับปรุงผิว ซึ่งจะต้องใช้แรงที่สูงกว่าเพื่อดึงตัวอย่างให้ยืดมากขึ้นที่ 300 % จากความยาวเดิม ซึ่งเป็นการยืนยันอีกครั้งถึงการปรับปรุงสมบัติทางกลของยางธรรมชาติให้มีความแข็งแรงขึ้นด้วยซิลิกาปรับปรุงผิว



รูปที่ 7 ผลของค่าระยะยืดจนแตกของยางธรรมชาติผสมสารเสริมแรงชนิดต่าง ๆ

ผลของการทดสอบระยะยืดจนแตกของยางธรรมชาติที่เสริมแรงด้วยชิลิกาปรับปรุงผิว ยังมีค่าที่สูงกว่ายางธรรมชาติเสริมแรงด้วยชิลิกาไม่ปรับปรุงผิว ซึ่งมีสาเหตุมาจากการยึดเกาะพื้นผิวระหว่างชิลิกาที่ปรับปรุงผิวและยางธรรมชาติที่ดีกว่า และความสามารถรวมเป็นเนื้อเดียวกับยางธรรมชาติค่อนข้างดีของชิลิกาที่ไม่ปรับปรุงผิวนี้ ทำให้มีโอกาสที่จะแยกตัวจากเนื้อยางได้ การเกิดช่องว่างระหว่างพื้นผิวของการยึดเกาะนี้ เป็นผลให้ระยะยืดจนแตกของยางไม่ดี



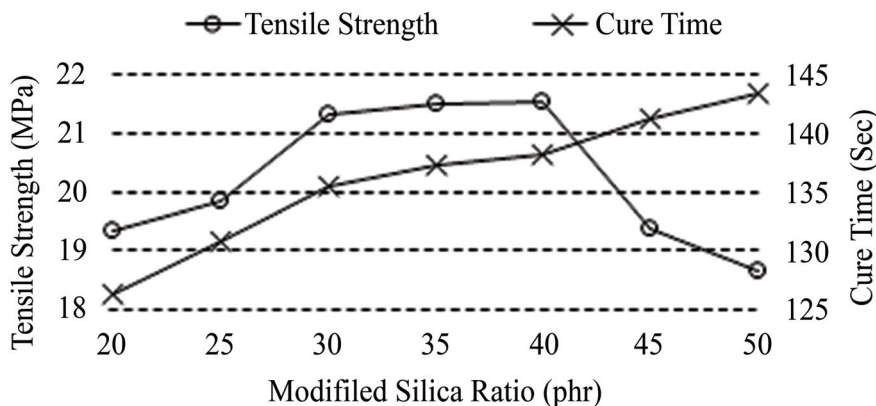
รูปที่ 8 ผลของค่าความต้านทานต่อการฉีกขาดของยางธรรมชาติผสมสารเสริมแรงชนิดต่าง ๆ

ผลของการทดสอบค่าความต้านทานต่อการฉีกขาด แสดงดังรูปที่ 8 พบว่ายางธรรมชาติที่เสริมแรงด้วยชิลิกาปรับปรุงผิวมีค่าความต้านทานต่อการฉีกขาดที่สูงกว่ายางธรรมชาติเสริมแรงด้วยพงเขม่าคำและชิลิกาไม่ปรับปรุงผิว จากผลการทดสอบค่าความต้านทานต่อการฉีกขาดเป็นการยืนยันถึงการปรับปรุงสมบัติทางกลของยางธรรมชาติที่เสริมแรงด้วยชิลิกาปรับปรุงผิวที่ดีขึ้น

3. ผลทดสอบสมบัติทางกลของยางธรรมชาติเสริมแรงด้วยชิลิกาปรับปรุงผิวที่อัตราส่วนต่าง ๆ

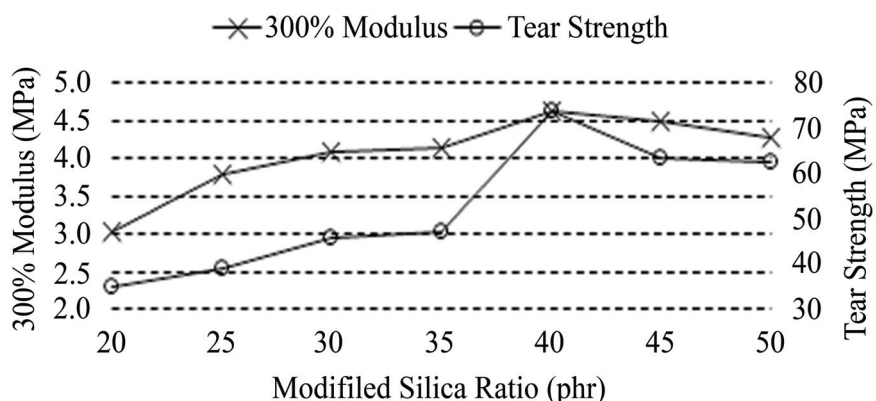
การวิเคราะห์สมบัติทางกลของยางธรรมชาติที่เสริมแรงด้วยชิลิกาปรับปรุงผิวที่อัตราส่วนต่าง ๆ (20 - 50 phr) ดังผลที่ได้ในรูปที่ 9 - 11 จากรูปที่ 9 แสดงความสัมพันธ์ระหว่างระยะเวลาการคงรูป Thamchoto Prajaksood, Komkrit Pitiruek and Thirawudh Pongprayoon
ISSN 2672-9369 (Online)

ของยางที่เพิ่มขึ้นกับปริมาณซิลิกา ค่าจากการพิมพ์จากความจริงที่ว่าผิวของซิลิกาประกอบไปด้วย กลุ่มของซิลานอล (Silanol) ซึ่งสามารถดูดซับสารตั้งต้นทำปฏิกิริยา ด้วยเหตุนี้ทำให้การคงรูปของยางธรรมชาติใช้เวลานานขึ้น ดังแสดงในรูปที่ 9



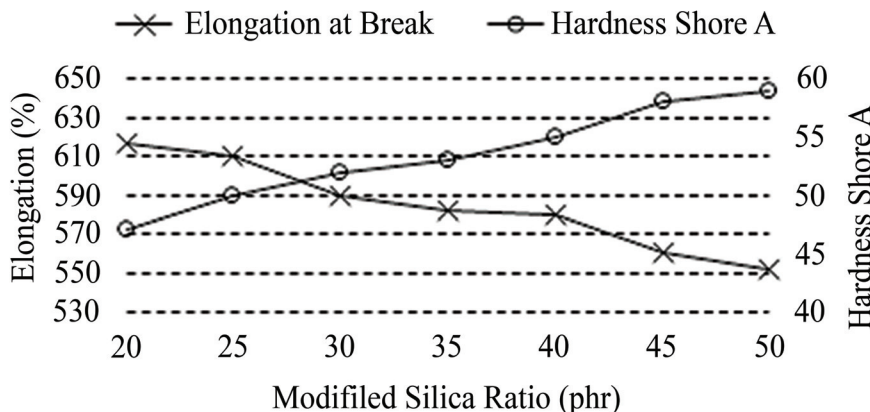
รูปที่ 9 ผลของเวลาการคงรูปของยางและค่าความต้านทานต่อการดึงของยางธรรมชาติที่เสริมแรงด้วยซิลิกาปรับปรุงผิวที่อัตราส่วนซิลิกาต่าง ๆ

ในช่วงแรกสมบัติการทนต่อแรงดึงจะเพิ่มขึ้นเป็นสัดส่วนกับปริมาณซิลิกา เนื่องจากซิลิกาที่ปรับปรุงผิวจะถูกเคลือบผิวด้วยฟิล์มพอลิไอโซพรีนส่งผลให้การยึดเกาะกับเนื้อยางธรรมชาติที่ดีขึ้น แต่หลังจากที่ 40 phr ของสัดส่วนซิลิกาค่าจะค่อย ๆ ลดลง สามารถอธิบายได้ว่าการยึดเกาะระหว่างซิลิกาปรับปรุงผิวกับพื้นผิวของยางไม่เมื่อยปริมาณซิลิกาเพิ่มขึ้น ซึ่งมีความเป็นไปได้ที่ซิลิกาปรับปรุงผิวจะแยกออกจากพื้นผิวของยางได้โดยง่าย



รูปที่ 10 ผลของค่า 300 % Modulus และความต้านทานต่อการฉีกขาดของยางธรรมชาติที่เสริมแรงด้วยซิลิกาปรับปรุงผิวที่อัตราส่วนซิลิกาต่าง ๆ

จากรูปที่ 10 แสดงผลของค่า 300 % Modulus และความต้านทานต่อการฉีกขาดจะเพิ่มขึ้น เมื่อปริมาณชิลิกาเพิ่มขึ้นด้วยเหมือนกัน แต่หลังจากที่ 40 phr ของสัดส่วนชิลิกา ค่าจะค่อย ๆ ลดลง ซึ่งเป็นไปในทิศทางเดียวกันกับค่าความต้านทานต่อการดึง



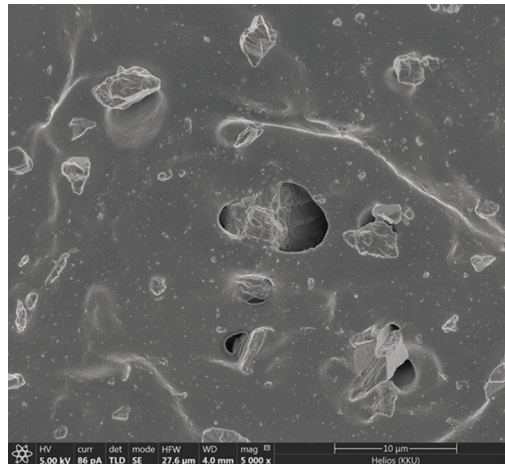
รูปที่ 11 ผลของระยะยืดจนกระแทกและค่าความแข็ง (Hardness Shore A) ของยางธรรมชาติที่เสริมแรงด้วยชิลิกาปรับปรุงผิวที่สัดส่วนชิลิกาต่าง ๆ

ในทางตรงกันข้ามรูปที่ 11 แสดงให้เห็นผลของระยะยืดจนกระแทก (Elongation at Break) ที่ลดลงตามอัตราส่วนชิลิกาที่เพิ่มขึ้นเนื่องจากการยึดเกาะระหว่างชิลิกาปรับปรุงผิว กับพื้นผิวของยางไม่ได้ เมื่อปริมาณชิลิกาเพิ่มขึ้นและค่าความแข็ง (Hardness Shore A) ที่เพิ่มขึ้นเป็นสัดส่วนกับชิลิกาที่เพิ่มขึ้น เช่นกัน ผลการศึกษานี้ยังมีความสอดคล้องกับงานวิจัยที่ผ่านมาของ Pongprayoon, T. et al. [11] ในปี ค.ศ. 2012 ที่ทำการศึกษาการใช้ชิลิกาปรับปรุงผิวด้วยเทคนิคแอดไมเซลลาร์พอลิเมอไรเซนที่เห็นว่า ด้วยรังสีเป็นสารเติมแต่งสำหรับยางธรรมชาติพบว่า ค่าสมบัติทางกลของยางที่เสริมแรงด้วยชิลิกา ไม่ปรับปรุงผิวที่อัตราส่วน 40 phr ดีกว่าในทุกค่า ดังนั้นในงานวิจัยนี้จะกำหนดสัดส่วนชิลิกาที่ 40 phr ซึ่งถือว่าเป็นสภาวะที่ดีที่สุดสำหรับยางธรรมชาติที่เสริมแรงด้วยชิลิกาที่ไม่ปรับปรุงผิว

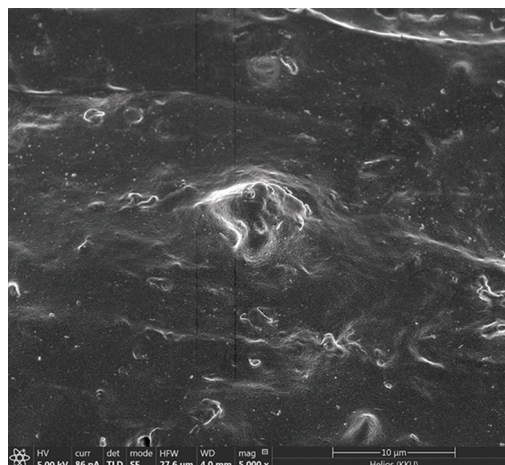
ดังนั้นจากงานวิจัยนี้อัตราส่วนชิลิกาปรับปรุงผิวที่ 40 phr จึงถือว่าเป็นอัตราส่วนผสมที่ดีที่สุดสำหรับยางธรรมชาติที่เสริมแรงด้วยชิลิกาปรับปรุงผิวสำหรับนำไปใช้เป็นสูตรเคมีสำหรับการผลิตผลิตภัณฑ์ล้อยางใน

4. การศึกษาการเกาะติดระหว่างชิลิกากับยางธรรมชาติด้วยกล้องจุลทรรศน์อิเล็กตรอนแบบล่องกราด

การวิเคราะห์การยึดเกาะระหว่างพื้นผิวของยางธรรมชาติและชิลิกาปรับปรุงผิวด้วยเทคนิคแอดไมเซลลาร์พอลิเมอไรเซน จะวิเคราะห์ด้วยกล้องจุลทรรศน์อิเล็กตรอนแบบล่องกราด ซึ่งจะแสดงภาพระดับจุลภาคของยางธรรมชาติเสริมแรงด้วยชิลิกาไม่ปรับปรุงผิว และชิลิกาปรับปรุงผิวด้วยเทคนิคแอดไมเซลลาร์พอลิเมอไรเซน ก่อนและหลังทดสอบสมบัติทางกลที่อัตราส่วนชิลิกา 40 phr และที่กำลังขยาย 5,000 เท่า แสดงดังรูปที่ 12 และ 13



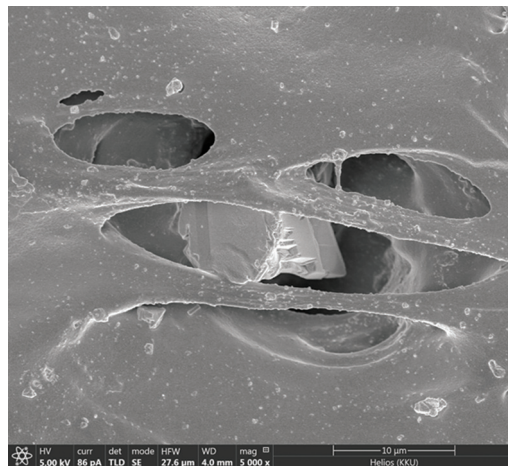
(ก) ชิลิกาไม่ปรับปรุงผิว



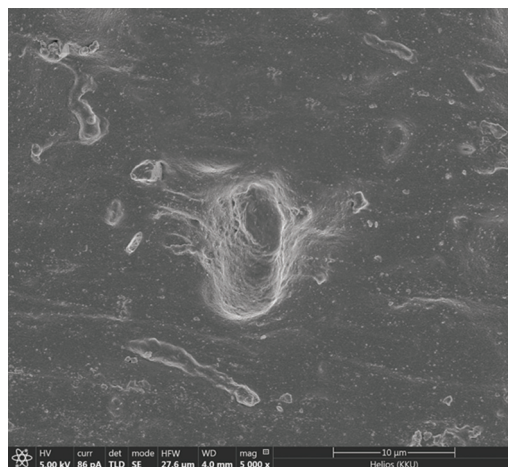
(ข) ชิลิกาปรับปรุงผิวด้วยเทคนิคแอดไมเซลลาร์พอลิเมอไรเซชัน

รูปที่ 12 ภาพระดับจุลภาคของยางธรรมชาติ (ก่อนทดสอบสมบัติทางกล) เสริมแรงด้วย

จากรูปที่ 12(ก) แสดงให้เห็นถึงช่องว่างที่เกิดขึ้นระหว่างพื้นผิวของยางธรรมชาติและชิลิกาไม่ปรับปรุงผิว สามารถอธิบายได้จากพื้นผิวของชิลิกาไม่ปรับปรุงผิวมีความเป็นข้าว หรือเป็นแบบขอบน้ำ ขณะที่พื้นผิวของยางธรรมชาติไม่มีความเป็นข้าวหรือเป็นแบบไม่ขอบน้ำ ด้วยเหตุนี้จึงล่งผลให้การยึดเกาะระหว่างกันไม่ดี ในทางตรงกันข้ามยางธรรมชาติที่เสริมแรงด้วยชิลิกาปรับปรุงผิวด้วยเทคนิคแอดไมเซลลาร์พอลิเมอไรเซชันรูปที่ 12(ข) ไม่ปรากฏช่องว่างระหว่างพื้นผิวของยางธรรมชาติและชิลิกาปรับปรุงผิว อันเนื่องมาจากการซึลิกาจะถูกเคลือบผิวด้วยฟิล์มพอลิไอโซพรีน ดังนั้นการยึดเกาะของชิลิกาปรับปรุงผิวกับยางธรรมชาติจึงมากกว่ากันได้ดีกว่าชิลิกาไม่ปรับปรุงผิว



(ก) ชิลิกาไม่ปรับปรุงผิว



(ข) ชิลิกาปรับปรุงผิวด้วยเทคนิคแอดไมเซลลาร์พอลิเมอไรเซ็น

รูปที่ 13 ภาพระดับจุลภาคของยางธรรมชาติ (หลังทดสอบสมบัติทางกล) เสริมแรงด้วย

หลังการทดสอบสมบัติทางกลจะใช้กล้องจุลทรรศน์อิเล็กtrononแบบล่องกราฟ ซึ่งจะแสดงภาพระดับจุลภาคของตัวอย่างหลังทดสอบเพื่อวิเคราะห์พื้นผิวหลังถูกแรงกระทำแล้วดังรูปที่ 13 รูปที่ 13(ก) เห็นได้ชัดเจนว่าเกิดการแยกออกจากกันของชิลิกากับเนื้อยาง แต่ทว่ารูปที่ 13(ข) ยังคงยึดเกาะกันระหว่างอนุภาคชิลิกากับเนื้อยางภายหลังการทดสอบสมบัติทางกล จากภาพนี้จึงเป็นการยืนยันผลที่ชัดเจนว่าการยึดเกาะระหว่างยางธรรมชาติและชิลิกาปรับปรุงผิวถูกปรับปรุงให้ดีขึ้นได้จากการปรับปรุงผิวของชิลิกาด้วยเทคนิคแอดไมเซลลาร์พอลิเมอไรเซ็น

สรุปผล

ชิลิกาที่ปรับปรุงผิวด้วยเทคนิคแอดไมเซลาร์พอลิเมอไรเซชันถูกใช้เป็นสารเติมแต่งในยางธรรมชาติ ซึ่งจะถูกวิเคราะห์สมบัติทางกลของยางธรรมชาติที่เสริมแรงด้วยชิลิกาปรับปรุงผิวด้วยเทคนิคแอดไมเซลาร์พอลิเมอไรเซชันและเปรียบเทียบกับยางธรรมชาติเสริมแรงด้วยผงเขม่าดำและชิลิกาไม่ปรับปรุงผิว จากผลการทดสอบพบว่าค่าสมบัติทางกลของยางที่เสริมแรงด้วยชิลิกาปรับปรุงผิวด้วยเทคนิคแอดไมเซลาร์พอลิเมอไรเซชันดีกว่าในทุกค่า เมื่อเทียบกับผงเขม่าดำหรือชิลิกาที่ไม่ปรับปรุงผิว สำหรับยางธรรมชาติที่เสริมแรงด้วยชิลิกาปรับปรุงผิวด้วยเทคนิคแอดไมเซลาร์พอลิเมอไรเซชันที่อัตราส่วนผสม 40 phr (Parts Per Hundred of Rubber) โดยผ่านการอัดขึ้นรูปที่ 160 กิโลกรัมต่อตารางเซนติเมตร ที่อุณหภูมิ 145 องศาเซลเซียส เป็นเวลา 4 นาที จะให้ประสิทธิภาพทางกลที่ดีและเป็นสภาวะที่เหมาะสมที่สุดสำหรับนำไปใช้เป็นสูตรเคลือบสำหรับการผลิตผลิตภัณฑ์ล้อยางใน

กิตติกรรมประกาศ

คณาจารย์วิจัยขอขอบพระคุณการสนับสนุนทางการเงินจากกลุ่มวิจัยระบบโซ่อุปทานและโลจิสติกส์ มหาวิทยาลัยขอนแก่น ประเทศไทย และได้รับความอนุเคราะห์สารเคมี และอุปกรณ์รวมถึงเครื่องทดสอบยางจากบริษัท บางกอกพัฒนามอเตอร์ จำกัด

References

- [1] Rubber Research Institute Department of Agriculture. (2016). **Statistical of the Thai Rubber Association Database**. Access (2 February 2017). Available (<http://www.thainr.com/uploadfile/20160215163746.pdf>)
- [2] Wu, J. H., Harwell, J. H., and O'Rear, E. A. (1987). Two-Dimensional Solvents: Kinetics of Styrene Polymerization in Admicelles at or Near Saturation. **The Journal of Physical Chemical**. Vol. 91, No. 3, pp. 623-634. DOI: 10.1021/j100287a027
- [3] Thammathadanukul, V., O'Haver, J. H., Harwell, J. H., Osuwan, S., Na-Ranong, N., and Waddell, W. H. (1996). Comparison of Rubber Reinforcement Using Various Surface Modified Silica. **Journal of Applied Polymer Science**. Vol. 59, No. 11, pp. 1741-1750
- [4] Nontasorn, P., Chavadej, S., Rangsuvigit, P., O'Haver, J. H., Chaisirimahoramakot, S., and Na-Ranong, N. (2005). Admicellar Polymerization Modified Silica Via a Continuous Stirred Tank Reactor System: Comparative Properties of Rubber Compounding. **Chemical Engineering Journal**. Vol. 108, pp. 213-218. DOI: 10.1016/j.cej.2005.02.016
- [5] Kitayanan, B., O'Haver, J. H., Harwell, J. H., and Osuwan, S. (1996). Adsolubilization of Styrene and Isoprene Into Cetyltrimethyl Ammonium Bromide Admicelle on Precipitated Silica. **Langmuir**. Vol. 12, pp. 2162-2168

- [6] Alkassiri, H. (2005). Radiation Polymerization of Diethyl Fumarate. **Radiation Physics and Chemistry**. Vol. 73, Issue 1, pp. 61-63
- [7] Cataldo, F., Ursini, O., and Lilla, E. J. (2008a). Radiation Induced Polymerization of Isoprene: A Spectroscopic Study. **Journal of Radioanalytical and Nuclear Chemistry**. Vol. 275, Issue 1, pp. 9-16. DOI: 10.1007/s10967-006-6981-2
- [8] Cataldo, F., Ursini, O., Lillb, E., and Angelinib, G. (2008b). Radiation Induced Polymerization and Grafting of β (-)pinene on Silica Surface. **Radiation Physics and Chemistry**. Vol. 77, Issue 5, pp. 561-570. DOI: 10.1016/j.radphyschem.2007.09.003
- [9] Hayakawa, K., Kawase, K., and Matsuda, T. (1965). Gamma-Ray-Induced Polymerization of Some Vinyltin Compounds. **Nature**. Vol. 206, pp. 1038-1039. DOI: 10.1038/2061038b0
- [10] Yaodong, L., Guozhong, W., Dewu, L., Mingying, Q., and Zhiyong, Z. (2005). ^{60}Co γ -Irradiation Initiated Polymerization in Ionic Liquids the Effect of Carbon Chain Length of Monomer. **Nuclear Instruments and Methods in Physics Research Section B**. Vol. 236, Issue 1-4, pp. 443-448. DOI: 10.1016/j.nimb.2005.04.017
- [11] Pongprayoon, T., Yooprasert, N., Suwanmala, P., and Hemvichian, K. (2012). Rubber Products Prepared from Silica Modified by Radiation Induced Admicellar Polymerization. **Radiation Physics and Chemistry Journal**. Vol. 81, pp. 541-546. DOI: 10.1016/j.radphyschem.2012.01.034
- [12] Yooprasert, N., Pongprayoon, T., Suwanmala, P., Hemvichian, K., and Tumcharern, G. (2010). Radiation Induced Admicellar Polymerization of Isoprene on Silica: Effects of Surfactant's Chain Length. **Chemical Engineering Journal**. Vol. 156, Issue 1, pp. 193-199. DOI: 10.1016/j.cej.2009.10.022
- [13] Faklek, A. (2016). **Development of Commercial Bicycle and Motorcycle Inner Tube Using Surface-Modified Silica**. Thesis Master Degree of Engineering. Chemical Engineering. Faculty of Engineering. King Mongkut's University of Technology North Bangkok.

การศึกษาเชิงทดลองของการถ่ายเทความร้อนในเครื่องแลกเปลี่ยนความร้อนแบบท่อกลมที่มีแผ่นบางรูปตัวไข่น์

Experimental Study of Enhanced Heat Transfer in a Circular Tube Heat Exchanger with Sinusoidal Baffles

สุภัทรชัย สุวรรณพันธุ์^{1*} เอกวุฒิ แสนคำวงศ์¹ และชาญวิทย์ ชัยอมฤต¹

Supattarachai Suwannapan^{1*} Eakkawut Saenkhamvong¹ and Chanwit Chaiamarit¹

Received: March 19, 2019; Revised: May 14, 2019; Accepted: May 15, 2019

บทคัดย่อ

งานวิจัยนี้ได้นำเสนอเกี่ยวกับการศึกษาเชิงทดลองของการเพิ่มการถ่ายเทความร้อนภายในท่อกลมที่มีการสอดใส่ตัวสร้างการหมุนคงแบบแผ่นบางรูปตัวไข่น์ที่สภาวะฟลักซ์ความร้อนที่ผิวคงที่ โดยในการทดลองจะมีการปรับเปลี่ยนพารามิเตอร์ของแผ่นบางรูปตัวไข่น์ คือ อัตราส่วนระยะพิเศษ ($p/D = PR = 2.3$ และ 4) และอัตราส่วนการปิดกั้นการไหล ($e/D = AR = 0.1, 0.2, 0.3$ และ 0.4) ที่มีผลต่อพฤติกรรมการถ่ายเทความร้อนและการสูญเสียความดัน ในการศึกษาจะมีการปรับเปลี่ยนอัตราการไหลของอากาศที่ให้ผลผ่านท่อทดสอบซึ่งจะแสดงในรูปของตัวเลขเรียโนลด์ (Re) อยู่ในช่วงระหว่าง $4,500 - 29,200$ ค่าการถ่ายเทความร้อนและการสูญเสียความดันจะแสดงในเทอมของตัวเลขนัสเซลท์ (Nu) และตัวประกอบเสียดทาน (f) ตามลำดับ จากการทดลองพบว่าการสอดใส่แผ่นบางรูปตัวไข่น์ทุกรูปนี้จะให้ค่าการถ่ายเทความร้อนและค่าตัวประกอบเสียดทานเพิ่มสูงขึ้นจากท่อเปล่าผนังเรียบอยู่ในช่วงระหว่าง $52 - 84\%$ และ $81 - 99\%$ ตามลำดับ ในการนีการสอดใส่แผ่นบางรูปตัวไข่น์ที่ค่า $PR = 2$ และ $AR = 0.4$ จะให้ค่าการถ่ายเทความร้อนและการสูญเสียความดันสูงที่สุดซึ่งจะให้ค่า Nu/Nu_0 และ f/f_0 มีค่าเท่ากัน $6.0 - 6.5$ เท่า และ $82.7 - 95.1$ เท่า ตามลำดับ ส่วนในกรณีที่มีการสอดใส่แผ่นบางรูปตัวไข่น์ที่ค่า $PR = 2$ และ $AR = 0.2$ จะให้ค่าตัวประกอบการเพิ่มการถ่ายเทความร้อนสูงที่สุด จะให้ค่า η มีค่าเท่ากัน 1.71 ที่ $Re = 4,500$

คำสำคัญ : แผ่นบางรูปตัวไข่น์; อุปกรณ์แลกเปลี่ยนความร้อน; การถ่ายเทความร้อน; ตัวประกอบเสียดทาน; ตัวสร้างการหมุนคง

¹ คณะวิศวกรรมศาสตร์ มหาวิทยาลัยเทคโนโลยีราชมงคลอีสาน วิทยาเขตหนองแก่น

¹ Faculty of Engineering, Rajamangala University of Technology Isan, Khonkaen Campus

* Corresponding Author E - mail Address: oak_su@hotmail.com

Abstract

This research presents experimental study on heat transfer enhancement in a constant heat fluxed tube inserted with sinusoidal baffle vortex generator. Several sinusoidal baffle parameters were introduced such as pitch ratio ($p/D = PR = 2, 3, \text{ and } 4$) and blockage ratio ($e/D = AR = 0.1, 0.2, 0.3, \text{ and } 0.4$). Various relative baffle heights and pitches were tested to investigate the effect of the sinusoidal baffles at on heat transfer and pressure loss. The study was conducted by varying the airflow rate through the tested tube for Reynolds number (Re) from 4,500 - 29,200. Heat transfer and pressure loss were presented in terms of Nusselt number (Nu) and friction factor (f) respectively. The results have shown that the tube with sinusoidal baffle provides a considerable increase in heat transfer and pressure loss in comparison with the smooth tube in the range of 52 - 84 % and 81 - 99 % respectively. The highest Nu/Nu_0 and f/f_0 were observed at $PR = 0.2$ and $AR = 0.4$ in the range of 6.0 - 6.5 times and 82.7 - 95.1 times respectively, whereas the maximum thermal enhancement factor (η) was at $PR = 0.2$ and $AR = 0.2$ of about 1.71 at $Re = 4,500$.

Keywords: Sinusoidal Baffle; Heat Exchanger; Heat Transfer; Friction Factor; Vortex Generator

บทนำ

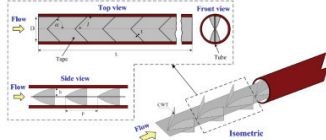
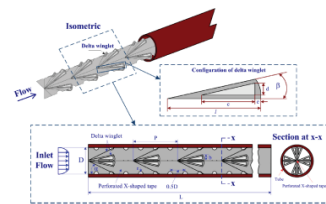
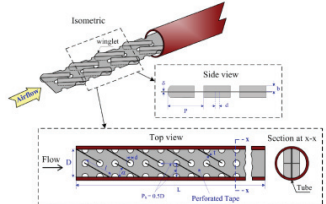
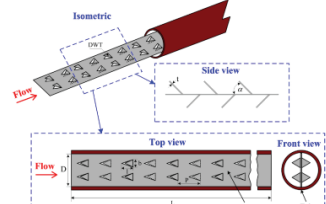
ปัจจุบันอุปกรณ์แลกเปลี่ยนความร้อนถูกใช้อย่างกว้างขวางทั้งในอุตสาหกรรมขนาดเล็กและขนาดใหญ่ รวมกระทั้งใช้ตามบ้านเรือนทั่วไป เพราะจะนับว่าอุปกรณ์แลกเปลี่ยนความร้อนจึงได้รับการปรับปรุงและพัฒนาให้มีสมรรถนะในการแลกเปลี่ยนความร้อนให้สูงขึ้นเรื่อยมา สำหรับในทางวิศวกรรมแล้วการออกแบบ และพัฒนาอุปกรณ์แลกเปลี่ยนความร้อนให้ได้ส่วนตัวสูงสุดตามที่ต้องการยังเป็นเรื่องที่ท้าทาย หนึ่งในเทคนิคที่ใช้การเพิ่มการถ่ายเทความร้อนที่ได้รับความนิยมอย่างมาก คือ เทคนิคนี้เรียกว่า passive วิธีการของเทคนิคนี้จะเป็นการออกแบบลักษณะพื้นผิวของท่อแบบพิเศษต่างไปจากผิวเรียบเพื่อให้มีการเพิ่มการถ่ายเทความร้อนได้ดีมากขึ้นโดยไม่ใช้พลังงานภายนอกเข้ามาเกี่ยวข้อง ยกตัวอย่างเช่น การเคลือบผิว การทำให้ผิวขรุขระ การยึดผิว การใส่อุปกรณ์ต่าง ๆ เป็นต้น วิธีการใส่อุปกรณ์เข้าไปภายในท่อแลกเปลี่ยนความร้อนเป็นอีกหนึ่งวิธีของเทคนิค passive ที่ได้รับความสนใจอย่างกว้างขวางสำหรับนักวิจัยต่าง ๆ วัตถุประสงค์ของการใส่อุปกรณ์เพื่อให้ทำหน้าที่เป็นตัวสร้างความปั่นป่วนหรือตัวสร้างการหมุนคง (Turbulator/Vortex Generator) ขึ้นภายในท่อเพื่อไปชัดข่าว่างการพัฒนาชั้นขอบเขตความร้อน (Thermal Boundary Layer) ที่บริเวณผนังท่อของเครื่องแลกเปลี่ยนความร้อน ผลให้ของเหลว อุณหภูมิสูงที่บริเวณผนังท่อสามารถถ่ายเทมาผสมกับอุณหภูมิของเหลวที่เย็นกว่าภายในท่อได้ดีขึ้น ซึ่งจะทำให้ช่วยเพิ่มอัตราการถ่ายเทความร้อนภายในท่อให้ดีขึ้นตามไปด้วย อุปกรณ์ที่นิยมใส่เข้าไปภายในท่อ มีอยู่หลายชนิด ยกตัวอย่างเช่น ครีบ แผ่นบาง ปีก (Fin, Rib, Baffle, Winglet) ใบบิด (Twisted Tape) ชุดลวด (Wire Coil) เป็นต้น แนวคิดในการนำเอาตัวสร้างความปั่นป่วนหรือตัวสร้างการหมุนคง

มาติดตั้งภายในท่อแลกเปลี่ยนความร้อน ถึงแม้ว่าจะมีข้อดีคือช่วยในการเพิ่มอัตราการถ่ายเทขายในแต่ก็มีข้อพิจารณาอยู่ เช่นเดียวกันคือทำให้เกิดการสูญเสียความดันและความเสียดทานเพิ่มมากขึ้น เพราะฉะนั้นในการออกแบบตัวสร้างความปั่นป่วนหรือตัวสร้างการหมุนคงที่จะใส่เข้าไปภายในท่อจึงต้องพิจารณาพารามิเตอร์ต่าง ๆ หลายตัว เช่น รูปร่าง ขนาด ความสูง มุม และระยะห่าง เป็นต้น เพราะว่าพารามิเตอร์ต่าง ๆ ที่ได้กล่าวมาข้างต้นล้วนแต่มีผลต่อการถ่ายเทความร้อนและการสูญเสียความดันทั้งสิ้น

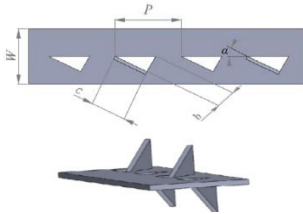
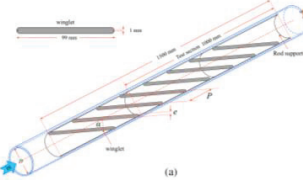
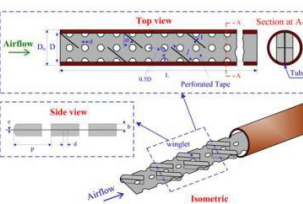
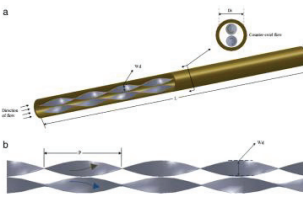
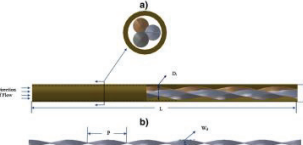
หลายปีที่ผ่านมาในมีนักวิจัยจำนวนมากที่ได้นำเสนอผลงานวิจัยเกี่ยวกับการเพิ่มการถ่ายเทความร้อนภายในท่อด้วยวิธีการใส่อุปกรณ์เข้าไปภายในท่อแลกเปลี่ยนความร้อนและมีการปรับเปลี่ยนพารามิเตอร์ต่าง ๆ กล่าวคือ [1] - [4] ได้ทำการศึกษาทดลองเกี่ยวกับพฤติกรรมของการถ่ายเทความร้อนและการสูญเสียความดันภายในท่อแลกเปลี่ยนความร้อนด้วยการใส่ปีก (Winglet) ลักษณะรูปร่างต่าง ๆ คือ Curved-Winglet Tape, Quadruple Perforated-Delta-Winglet Pairs, Staggered-Winglet Perforated-Tape และ Delta-Wing Tape เข้าไปภายในท่อเพื่อช่วยสร้างการหมุนคงตามแนวยาวโดยมีการปรับเปลี่ยนพารามิเตอร์ต่าง ๆ เช่น มุมประทับการไหล ระยะพิทซ์ และความสูง เป็นต้น จากการศึกษาพบว่าท่อแลกเปลี่ยนความร้อนที่มีการใส่ปีกแบบต่าง ๆ สามารถช่วยให้การถ่ายเทความร้อนเพิ่มมากขึ้นกว่าท่อเปล่าผังเรียน [5] ได้นำเสนอผลจากการศึกษาสมรรถนะความร้อนและพฤติกรรมของการไหลภายในท่อที่มีการใส่ตัวสร้างการหมุนคงแบบ Delta Winglet โดยมีการปรับเปลี่ยนพารามิเตอร์ต่าง ๆ เช่น มุมประทับการไหล ระยะพิทซ์ ความสูง และจำนวนแฉว เป็นต้น และรายงานว่าการถ่ายเทความร้อนเพิ่มสูงขึ้นเมื่อมุมประทับการไหลและความสูงของปีกเพิ่มขึ้นในขณะที่ระยะพิทซ์มีค่าลดลง [6] ได้ทำการศึกษาเชิงทดลองและการจำลองเชิงตัวเลขเกี่ยวกับคุณลักษณะของการถ่ายเทความร้อนภายในท่อที่มีการใส่ตัวสร้างการหมุนคงแบบ Rectangular Winglet และพบว่าการใส่ตัวสร้างการหมุนคงจะช่วยทำให้ของไหลอุณหภูมิต่ำที่แกนกลางของท่อผสมได้ดีกับของไหลอุณหภูมิสูงที่ผนังของท่อส่งผลให้เกิดการถ่ายเทความร้อนภายในท่อได้ดีขึ้น [7] ได้นำเสนอผลการศึกษาการเพิ่มการถ่ายเทความร้อนและการปรับเปลี่ยนมุมประทับ [8] ได้ศึกษาพุทธิกรรมการถ่ายเทความร้อนด้วยการใส่ตัวสร้างการหมุนคงแบบปีก และพบว่าท่อที่มีการใส่ปีกจะให้ค่าการถ่ายเทความร้อนได้ดีกว่าท่อที่มีการใส่ใบบิดและคลัวด [9] ได้นำเสนอผลของการถ่ายเทความร้อนภายในท่อที่มีการใส่ตัวสร้างการหมุนคงแบบ Zigzag-Winglet Perforated-Tape และได้รายงานว่าค่าการถ่ายเทความร้อนจะเปลี่ยนแปลงไปตามค่าความสูงและระยะพิทซ์ของตัวสร้างการหมุนคง [10] - [11] ได้ศึกษาคุณลักษณะทางความร้อนภายในท่อที่มีการใส่ใบบิดแบบ Double Counter Twisted Tape และ Triple Twisted Tape โดยมีการปรับเปลี่ยนอัตราส่วนการบิดและได้รายงานว่าท่อที่มีการใส่ใบบิดสามารถเพิ่มค่าการถ่ายเทความร้อนได้กว่าท่อเปล่าผังเรียนและค่าการถ่ายเทความร้อนจะเพิ่มขึ้นเมื่ออัตราส่วนการบิดมีค่าลดลง [12] ได้ทำการศึกษาการเพิ่มสมรรถนะความร้อนภายในท่อด้วยการใส่ใบบิดหลากหลายรูปแบบและได้รายงานว่าการใส่ใบบิดแบบ Multiple Twisted-Tape จะให้ค่าการถ่ายเทความร้อนดีกว่าแบบ Single Twisted-Tape [13] - [14] ได้นำเสนอการเพิ่มการถ่ายเทความร้อนภายในท่อที่มีการใส่ใบบิด โดยใบบิดที่ใส่เข้าไปจะถูกประยุกต์เป็นแบบ Perforated Helical Twisted-Tapes และ Helically Twisted Tapes จากการศึกษาพบว่าใบบิดที่ได้รับการประยุกต์ทั้งสองแบบสามารถช่วยเพิ่มการถ่ายเทความร้อนให้สูงขึ้นได้มีอิทธิพลกับท่อเปล่าผังเรียน นอกจากนี้ [15] ได้นำเสนอศึกษาผลของการถ่ายเทความร้อนภายในท่อโดยการใส่คลัวดที่ได้รับการ

ปรับปรุงใหม่ รวมไปถึง [16] - [18] ที่ได้นำเสนอเกี่ยวกับพฤติกรรมของการถ่ายเทความร้อนและการสูญเสียความดันภายในท่อโดยการใช้ตัวสร้างการหมุนคงແบບ Inclined Vortex Ring, Circular-Rings and Twisted Tapes และ Twisted-Ring ตามลำดับ [19] ได้ทำการจำลองเชิงตัวเลขเพื่อศึกษารูปแบบการไหลและหาค่าการถ่ายเทความร้อนภายในท่อที่มีการใช้แผ่นบางรูปตัวไข่น์ จากการศึกษาพบว่าแผ่นบางรูปตัวไข่น์จะสามารถเปลี่ยนแปลงรูปแบบการไหลของของไหลภายในท่อทำให้สามารถเพิ่มค่าการถ่ายเทความร้อนได้ผลจากการศึกษาของนักวิจัยที่ได้กล่าวมาข้างต้นสามารถสรุปได้ดังตารางที่ 1

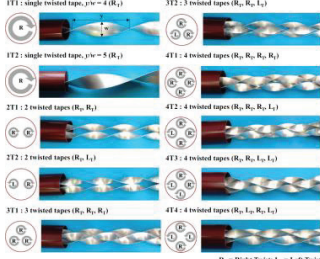
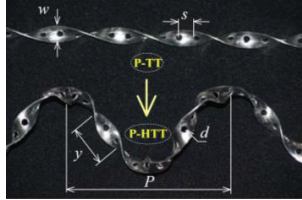
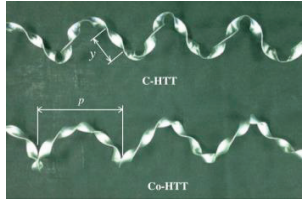
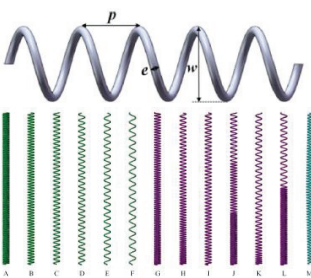
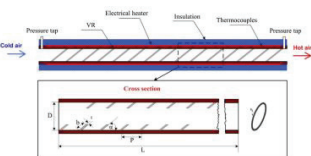
ตารางที่ 1 สรุปผลงานวิจัยในอดีตที่ผ่านมา

ชื่อนักวิจัย	ลักษณะรูปทรง	พารามิเตอร์	ผลที่ได้
Skullong, S. et al. [1]		Re = 4,150 - 25,400 PR = 0.5, 1.0, 2.0 BR = 0.1, 0.2, 0.3 $\alpha = 45^\circ$	Nu/Nu ₀ = 3.4 - 4.8 $f/f_0 = 2.06 - 35.68$ $\eta = 1.22 - 1.75$
Skullong, S. et al. [2]		Re = 4,180 - 26,000 PR = 0.5, 1.0, 1.5, 2.0 BR = 0.1, 0.15, 0.2, 0.25 $A_p/A_w = 0.359$ $\alpha = 30^\circ$	Nu/Nu ₀ = 2.0 - 5.06 $f/f_0 = 2.06 - 35.68$ $\eta = 1.42 - 1.91$
Skullong, S. et al. [3]		Re = 4,180 - 26,000 PR = 0.5, 1.0, 1.5 BR = 0.1, 0.15, 0.2, 0.25, 0.3 $\alpha = 30^\circ$	Nu/Nu ₀ = 2.4 - 4.77 $f/f_0 = 5.0 - 42.9$ $\eta = 1.34 - 1.71$
Skullong, S. et al. [4]		Re = 4,200 - 25,500 P/D = 0.5, 1.0, 1.5, 2.0, 2.5 b/D = 2 l/D = 0.4 $\alpha = 30^\circ, 45^\circ, 60^\circ$	Nu/Nu ₀ = 2.4 - 5.1 $f/f_0 = 7.5 - 79.1$ $\eta = 1.04 - 1.49$
Xu, Y. et al. [5]	(a) Front view: A circular cross-section with a central hole. (b) Side view-cutaway: A side view showing the internal structure of the tube. (c) 3D printed VG: A 3D printed version of the tube.	Re = 6,000 - 33,000 B = 0.1, 0.2, 0.3 PR = 4.8, 2.4, 1.6 N = 4, 8, 12 $\beta = 0^\circ, 15^\circ, 30^\circ, 45^\circ$	Nu/Nu _{0,max} = 2 $f/f_{0,max} = 4.8$ $\eta_{max} = 1.45$

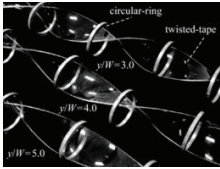
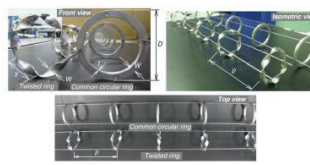
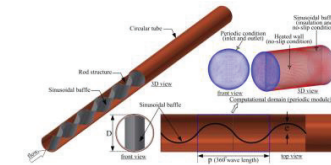
ตารางที่ 1 สรุปผลงานวิจัยในอดีตที่ผ่านมา (ต่อ)

ชื่อนักวิจัย	ลักษณะรูปทรง	พารามิเตอร์	ผลที่ได้
Liu, H. L. et al. [6]	(a) the picture of RWVG inserts  (b) left view  (c) top view 	$Re = 5,000 - 17,000$ $H1/D = 0.5$ $H2/D = 0.2, 0.3, 0.4, 0.5$ $\beta = 10^\circ, 20^\circ, 30^\circ, 35^\circ$	$Nu/Nu_0 = 1.16 - 2.49$ $f/f_0 = 2.09 - 12.32$ $\eta = 0.82 - 1.18$
Wijayanta, A. T. et al. [7]		$Re = 5,500 - 14,500$ $R_p = 1.05$ $R_B = 0.42$ $\alpha = 30^\circ, 50^\circ, 70^\circ$	$Nu = 40 - 330$ $f = 0.1 - 0.51$ $\eta = 0.88 - 1.22$
Chokphoemphun, S. et al. [8]		$Re = 5,300 - 24,000$ $P/D = 0.5, 1, 1.5, 2$ $e/D = 0.1, 0.15, 0.2$ $\alpha = 30^\circ$	$Nu/Nu_0 = 2.03 - 2.34$ $f/f_0 = 2.07 - 5.63$ $\eta = 1.35 - 1.59$
Suwannapan, S. et al. [9]		$Re = 4,200 - 26,000$ $b/D = 0.1, 0.15, 0.2, 0.25$ $P/D = 1.0, 1.5$ $\alpha = 45^\circ$	$Nu/Nu_0 = 3.1 - 5.1$ $f/f_0 = 12.5 - 53.6$ $\eta_{max} = 1.59$
Bhuiya, M. M. K. et al. [10]		$Re = 6,950 - 50,050$ $y = 1.95, 3.85, 5.92, 7.75$	$Nu_p/Nu_s = 1.55 - 3.45$ $f_p/f_s = 1.8 - 3.9$ $\eta_{max} = 1.34$
Bhuiya, M. M. K. et al. [11]		$Re = 7,200 - 50,200$ $y = 1.92, 2.88, 4.81, 6.79$	$Nu_p/Nu_s = 1.75-3.85$ $f_p/f_s = 1.8-4.2$ $\eta_{max} = 144$

ตารางที่ 1 สรุปผลงานวิจัยในอดีตที่ผ่านมา (ต่อ)

ชื่อนักวิจัย	ลักษณะรูปทรง	พารามิเตอร์	ผลที่ได้
Chokphoemphun, S. et al. [12]		Re = 5,300 - 24,000 y/w = 4, 5	Nu/Nu ₀ = 1.15 - 2.12 f/f ₀ = 1.98 - 4.06 η = 0.92 - 1.33
Nanan, K. et al. [13]		Re = 6,000 - 20,000 d/w = 0.2, 0.4, 0.6 s/w = 1.0, 1.5, 2.0 P/D = 2 y/w = 3	P-TT: Nu ₀ /Nu _p = 1.6 - 2.07 f _p /f _s = 4.1 - 4.35 P-HTT: Nu _p /Nu _s = 1.5 - 2.04 f _p /f _s = 3.4 - 4.2 η_{max} = 1.28
Nanan, K. et al. [14]		Re = 6,000 - 20,000 w/D = 0.2 p/D = 1, 1.5, 2 y/w = 3	C-HTT: Nu ₀ /Nu _p = 2.5 - 3.3 f _p /f _s = 12 - 37 Co-HTT: Nu _p /Nu _s = 1.7 - 2.3 f _p /f _s = 4 - 12 η_{max} = 1.29
Hong, Y. et al. [15]		Re = 6,000 - 20,000 WCs-UP: p/d = 0.172 - 1.034 WCs-VP: p/d = 0.172 - 0.690 WCs-GVW: w/d = 0.552 - 0.897 - 0.552	Nu/Nu ₀ : WCs-UP = 1.46 - 2.49 WCs-VP = 1.75 - 2.30 WCs-GVW = 2.2 - 2.3 f/f ₀ : WCs-UP = 8.36 - 17.8 WCs-VP = 0.49 - 18.3 WCs-GVW = 16 - 18.6 η = 0.69-1.14
Promvonge, P. et al. [16]		Re = 5,000 - 26,000 b/D = 0.1, 0.15, 0.2 P/D = 0.5, 1, 1.5, 2 α = 30°	Nu/Nu ₀ = 1.91 - 4.35 f/f ₀ = 4.9 - 36.5 η_{max} = 1.4

ตารางที่ 1 สรุปผลงานวิจัยในอดีตที่ผ่านมา (ต่อ)

ชื่อนักวิจัย	ลักษณะรูปทรง	พารามิเตอร์	ผลที่ได้
Eiamsa-ard, S. et al. [17]		$Re = 6,000 - 20,000$ $1/D = 1, 1.5, 2$ $y/w = 3, 4, 5$	$Nu/Nu_p = 2.4 - 4.5$ $f_p/f_s = 5 - 36$ $\eta_{max} = 1.42$
Thianpong, C. et al. [18]		$Re = 6,000 - 20,000$ $w/D = 0.05, 0.1, 0.15$ $p/D = 1, 1.5, 2$	$Nu/Nu_p = 1.6 - 3.4$ $f_p/f_s = 3 - 50$ $\eta_{max} = 1.24$
Promthaisong, P. and Suwannapan, S. [19]		$Re = 5,000 - 20,000$ $PR = 1, 2, 3$ $AR = 0.05, 0.1, 0.15, 0.2, 0.25$	$Nu/Nu_0 = 1.4 - 7.7$ $f/f_0 = 3.6 - 117$ $\eta = 1.12 - 1.90$

จากการศึกษาที่ผ่านมาในอดีตเห็นได้ชัดเจนว่า การใช้อุปกรณ์ที่เรียกว่า ตัวสร้างการไหลแบบปั่นป่วน หรือที่มุ่งความ สามารถช่วยเพิ่มค่าการถ่ายเทความร้อนและสมรรถนะความร้อนให้แก่อุปกรณ์แลกเปลี่ยน ความร้อนได้เป็นอย่างดีโดยเฉพาะการติดตั้งตัวสร้างการไหลแบบปั่นป่วนหรือที่มุ่งความ แบบครึ่ง ปีก หรือแผ่นบาง ภายในห้องแลกเปลี่ยนความร้อน โดยตัวสร้างการไหลแบบปั่นป่วนหรือที่มุ่งความจะเห็นได้ชัดเจนว่า การไหลแบบที่มุ่งความ ชี้มีระดับการไหลที่แข็งแรงกว่าการไหลในลักษณะอื่น ล่งผลให้สามารถลด หรือทำลายขั้นของเขตความร้อนที่ผิวท่อได้เป็นอย่างดี ดังนั้นวัตถุประสงค์ของงานวิจัยนี้คือ นำแผ่นบาง มาประยุกต์ใช้ในห้องเครื่องแลกเปลี่ยนความร้อนชนิดห้องกลม โดยการลดได้แผ่นบางรูปตัวไข่ที่มีอัตราล่วน ระหว่างระยะพิเศษต่อขนาดเส้นผ่านศูนย์กลางห้องท่อหรืออัตราส่วนระยะพิเศษ ($p/D = PR = 2, 3$ และ 4) อัตราส่วนระหว่างความสูงของคลื่นต่อขนาดเส้นผ่านศูนย์กลางห้องท่อหรืออัตราส่วนการปิดกั้นการไหล ($e/D = AR = 0.1, 0.2, 0.3$ และ 0.4) ในช่วงค่าตัวเลขเรย์โนลด์ $Re = 4,500 - 29,200$ เพื่อเพิ่มสมรรถนะ ของการถ่ายเทความร้อนให้แก่อุปกรณ์แลกเปลี่ยนความร้อน

ทฤษฎีและการคำนวณ

วัตถุประสงค์ของงานวิจัยนี้เพื่อศึกษาพฤติกรรมการถ่ายเทความร้อน การสูญเสียความดัน และสมรรถนะ เข้า ความร้อนของอุปกรณ์แลกเปลี่ยนความร้อนแบบห้องกลม โดยใช้อากาศเป็น流体ที่ทดสอบซึ่งแสดง ในเทอมของเลขเรย์โนลด์และสามารถเขียนให้อยู่ในรูปของสมการที่ (1) ดังนี้

$$Re = UD / \nu \quad (1)$$

โดยที่

U คือ ความเร็วเฉลี่ย

v คือ ความหนึ่งเดียวจันของอากาศ

สมดุลความร้อนระหว่างความร้อนที่อากาศได้รับ (Q_{air}) และการพาความร้อน (Q_{conv})

(สมการที่ (2))

$$Q_{air} = Q_{conv}; \quad \dot{m}C_p(T_o - T_i) = hA(\tilde{T}_s - T_b) \quad (2)$$

ดังนั้นสมมูลพิธีการพาความร้อน (h) หาค่าได้จากสมการที่ (3)

$$h = \frac{\dot{m}C_p(T_o - T_i)}{A(\tilde{T}_s - T_b)} \quad (3)$$

เมื่อ $T_b = (T_o + T_i)/2$ และ $\tilde{T}_s = \sum T_s / 30$

โดยที่

A คือ พื้นที่การถ่ายเทความร้อนโดยการพา

C_p คือ ค่าความร้อนจำเพาะของอากาศ

T_o คือ อุณหภูมิทางออก

T_i คือ อุณหภูมิทางเข้า

\tilde{T}_s คือ อุณหภูมิผิวเฉลี่ย

\dot{m} คือ อัตราการไหลเชิงมวลของอากาศ

เลขนัสเซิลท์เฉลี่ย (Nu) และตัวประกอบเสียค่าน (f) หาค่าได้ดังนี้

$$Nu = hD / k \quad (4)$$

$$f = \frac{2}{(L/D)} \frac{\Delta P}{\rho U^2} \quad (5)$$

โดยที่

D คือ เส้นผ่านศูนย์กลางภายในของท่อทดสอบ

ΔP คือ ค่าความดันต่อกครรภ์ของชุดทดสอบ

L คือ ความยาวท่อทดสอบ

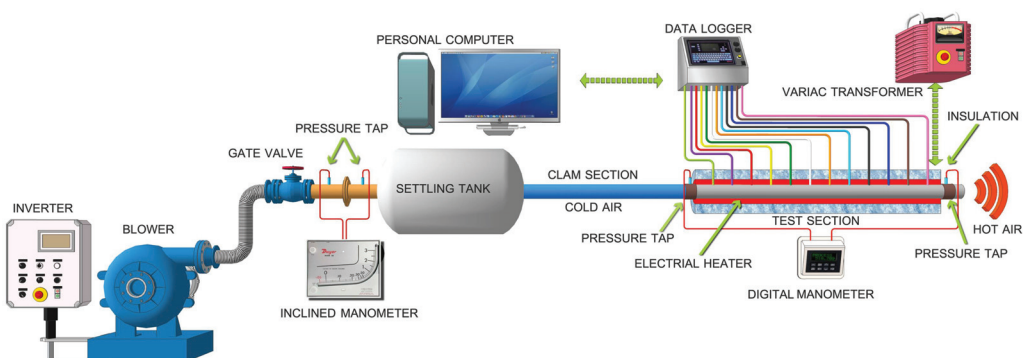
ρ คือ ความหนาแน่นของไหล

การประเมินสมรรถนะของอุปกรณ์แลกเปลี่ยนความร้อนจะแสดงในเทอมของตัวประกอบการเพิ่มการถ่ายเทความร้อนความร้อน (Thermal Enhancement Factor, η) ที่นิยามโดยอัตราส่วนระหว่างสัมประสิทธิ์การพาความร้อนของห้องที่มีการไส้แผ่นบางรูปตัวไขช์ h กับห้องผิวเรียบ h_0 ที่สภาวะกำลังของพัดลมที่คงที่ (Constant Blowing Power, bp) [20] โดยสามารถแสดงได้ดังสมการที่ (6)

$$\eta = \frac{h}{h_0} \Big|_{bp} = \frac{Nu}{Nu_0} \Big|_{bp} = \left(\frac{Nu}{Nu_0} \right) \Big/ \left(\frac{f}{f_0} \right)^{1/3} \quad (6)$$

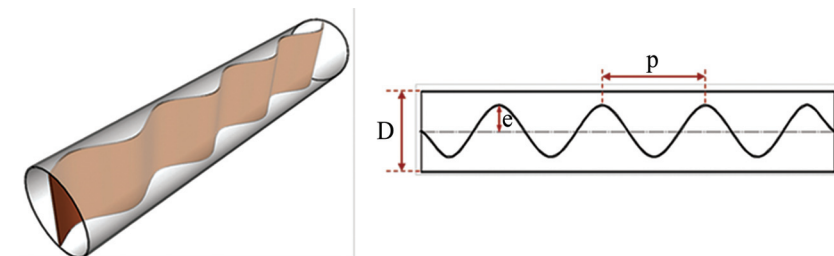
อุปกรณ์และวิธีการทดลอง

อุปกรณ์ชุดทดลองเครื่องแลกเปลี่ยนความร้อนแสดงดังรูปที่ 1 โดยมีส่วนประกอบดังนี้ พัดลม (Blower) ใช้เป็นแหล่งจ่ายอากาศซึ่งเป็นของไฟลท์ดูด Sob อินเวอร์เตอร์ (Inverter) เป็นตัวควบคุมความเร็วของพัดลมแผ่นออริฟิติก (Orifice Plate) ใช้สำหรับวัดอัตราการไหลของอากาศที่ทางเข้าชุดทดสอบมานมิเตอร์ระนาเบอ Ying (Inclined Manometer) ใช้วัดค่าความดันความดันแตกต่างดังพักลม (Settling Tank) ทำหน้าที่ปรับสภาพการไหลของอากาศให้มีความเสถียรก่อนเข้าชุดทดสอบ สภาพการไหลของอากาศให้มีลักษณะการไหลแบบพัฒนาเต็มที่ (Fully Developed Flow) ก่อนเข้าสู่ส่วนทดสอบ ส่วนทดสอบ (Test Section) ในส่วนนี้มีจะมีการให้ความร้อนแก่ห้องและมีการสอดใส่ชั้นงานทดสอบโดยจะมีเทอร์โมคัปเปิล (Thermocouple) ชนิด K จำนวน 30 ตัว ถูกติดตั้งที่ผิวด้านนอกของห้องทดสอบ เพื่อวัดอุณหภูมิผิว ในขณะที่อีกจำนวน 2 ตัว ใช้สำหรับวัดอุณหภูมิทางเข้าและทางออกส่วนทดสอบ ท่อทดสอบมีขนาดเล็กกว่าคุณย์กลางภายใน 50 mm หนา 3 mm ถูกทำให้ร้อนด้วยฮีตเตอร์ (Heater) แบบฟลักซ์ความร้อนคงที่ และทำการหุ้มฉนวนอย่างดีเพื่อป้องกันการสูญเสียความร้อน манอยมิเตอร์ แบบดิจิทัล (Digital Manometer) ใช้วัดค่าความดันต่อกันร่วมระหว่างตำแหน่งทางเข้าและทางออกของส่วนทดสอบ เครื่องบันทึกข้อมูลอุณหภูมิ (Data Logger) และคอมพิวเตอร์ใช้เป็นตัวอ่านค่าอุณหภูมิผิวอุณหภูมิทางเข้า-ออกส่วนทดสอบ และบันทึกค่าอุณหภูมิหม้อแปลงปรับแรงดันไฟฟ้า (Variac Transformer) ใช้เป็นอุปกรณ์ควบคุมความร้อนที่จ่ายให้กับระบบเครื่องแลกเปลี่ยนความร้อน

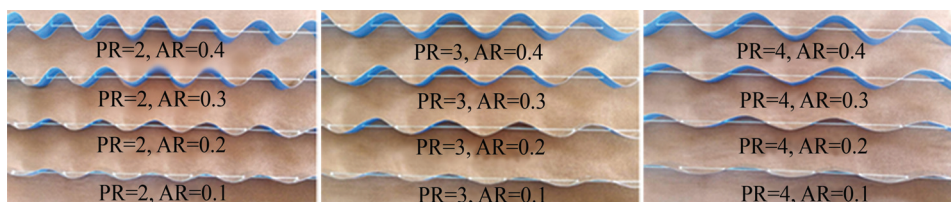


รูปที่ 1 ชุดทดลองเครื่องแลกเปลี่ยนความร้อน

ลักษณะการสอดใส่แผ่นบางรูปตัวไข่น์ที่ใช้เป็นตัวสร้างการไหลแบบบีบปุนปวนหรือตัวสร้างการหมุนคงภายในท่อแลกเปลี่ยนความร้อนแสดงดังรูปที่ 2(ก) แผ่นบางที่ใช้สำหรับสอดใส่ในท่อทดสอบที่จากแผ่นอะลูมิเนียมที่มีความหนาเท่ากับ 0.5 mm มีขนาดความกว้างเท่ากับเส้นผ่านศูนย์กลางท่อเท่ากับ $D = 50 \text{ mm}$ และยาวเท่ากับ 1,200 mm จากนั้นแผ่นบางดังที่เป็นคลื่นรูปตัวไข่น์ดังแสดงในรูปที่ 2(ข) ที่มีค่าอัตราส่วนระยะพิเศษที่นิยามโดยอัตราส่วนระหว่างระยะพิเศษต่อขนาดเส้นผ่านศูนย์กลางท่อ ($p/D = PR = 2, 3$ และ 4) และที่มีค่าอัตราส่วนการปิดกั้นการไหลที่นิยามโดยอัตราส่วนระหว่างความสูงของคลื่นต่อขนาดเส้นผ่านศูนย์กลางท่อ ($e/D = AR = 0.1, 0.2, 0.3$ และ 0.4) เพื่อศึกษาพฤติกรรมการถ่ายเทความร้อน การสูญเสียความดัน และสมรรถนะของอุปกรณ์แลกเปลี่ยนความร้อน



(ก) ลักษณะการติดตั้งแผ่นบางรูปตัวไข่น์ภายในท่อ



(ข) แผ่นบางรูปตัวไข่น์ที่มีการปรับเปลี่ยนค่า PR และ AR

รูปที่ 2 แผ่นบางรูปตัวไข่น์ที่ใช้ในการทดสอบ

ผลการทดลอง

การทดสอบท่อเปล่าผนังเรียบ

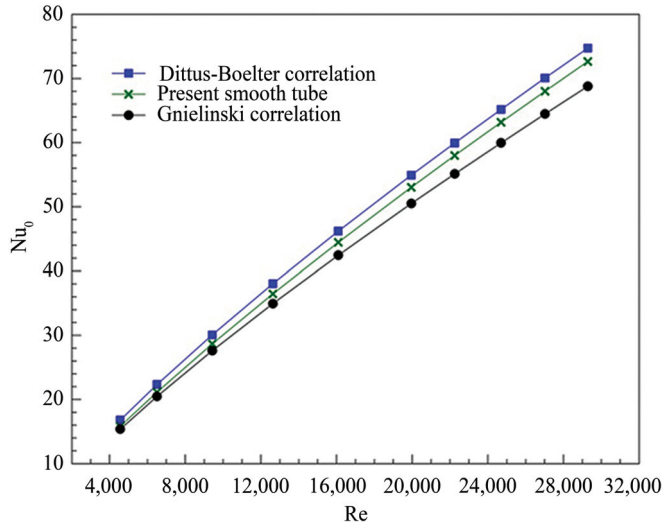
เพื่อความถูกต้องแม่นยำและน่าเชื่อถือของการทดสอบจึงได้ทำการทดสอบท่อเปล่าผนังเรียบเพื่อหาค่าการถ่ายเทความร้อนที่แสดงในเทอมของตัวเลขนัสเซลท์ (Nu) และการสูญเสียความดันที่แสดงในเทอมของตัวประกอนเลี้ยดทาน (f) เพื่อนำไปเปรียบเทียบกับสหล้มพันธ์ในอดีต [21] โดยผลของ Nu ที่ได้จากการทดลองจะนำไปทำการเปรียบเทียบกับสหล้มพันธ์ของ Dittus-Boelter และ Gnielinski ดังแสดงในสมการที่ (7) และ (8) ตามลำดับ ในขณะที่ผลของ f จะนำไปทำการเปรียบเทียบกับสหล้มพันธ์ของ Blasius และ Petukhov ดังแสดงในสมการที่ (9) และ (10) ตามลำดับ

$$Nu = 0.023 Re^{0.8} Pr^{0.4} \quad (7)$$

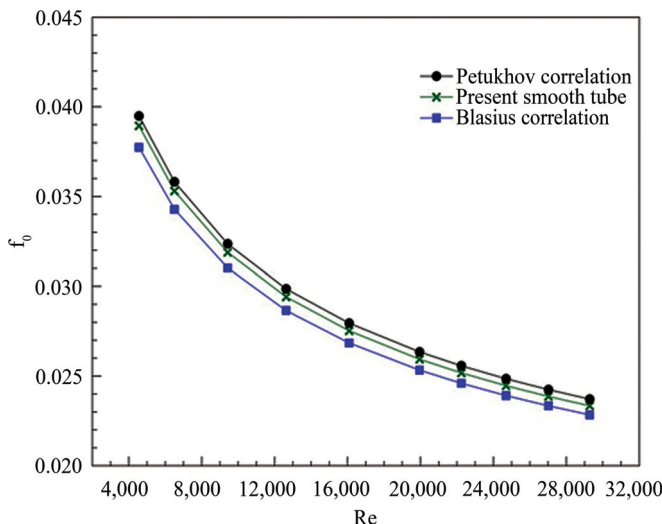
$$Nu = \frac{(f/8)(Re-1000)Pr}{1+12.7(f/8)^{1/2}(Pr^{2/3}-1)} \quad (8)$$

$$f = 0.316 Re^{-0.25} \quad (9)$$

$$f = (0.79 \ln Re - 1.64)^{-2} \quad (10)$$



รูปที่ 3 ความสัมพันธ์ระหว่าง Nu_0 กับ Re กรณีท่อเปล่าผนังเรียบ

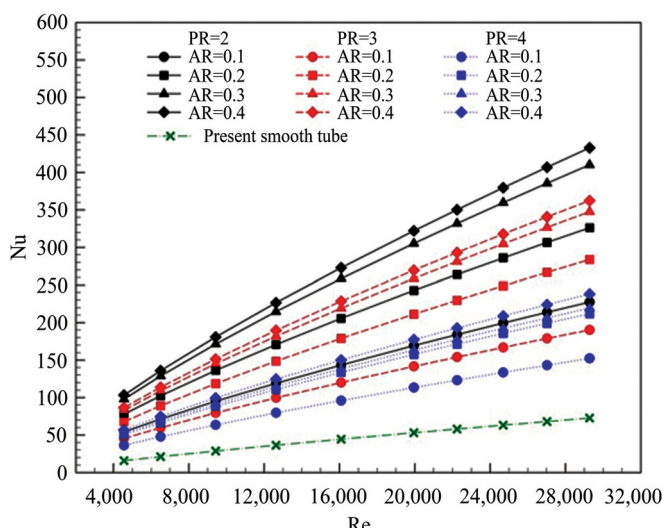


รูปที่ 4 ความสัมพันธ์ระหว่าง f_0 กับ Re กรณีท่อเปล่าผนังเรียบ

การเปรียบเทียบค่า Nu และ f แสดงดังรูปที่ 3 และ 4 ตามลำดับ รูปที่ 3 แสดงการเปรียบเทียบระหว่างค่า Nu ที่ได้จากการทดลองเทียบกับสหสมัยพันธ์ของ Dittus-Boelter และ Gnielinski และรูปที่ 4 แสดงการเปรียบเทียบระหว่างค่า f ที่ได้จากการทดลองกับสหสมัยพันธ์ของ Blasius และ Petukhov ผลจากการเปรียบเทียบพบว่าทั้งค่า Nu และ f มีค่าความผิดพลาดไม่เกิน 5 % จากผลของการเปรียบเทียบดังที่กล่าวมาจึงสามารถยืนยันได้ว่าชุดอุปกรณ์แลกเปลี่ยนความร้อนที่สร้างขึ้นมาเพื่อใช้ในการทดสอบ มีความน่าเชื่อถือของผลการทดลองได้เป็นอย่างดี

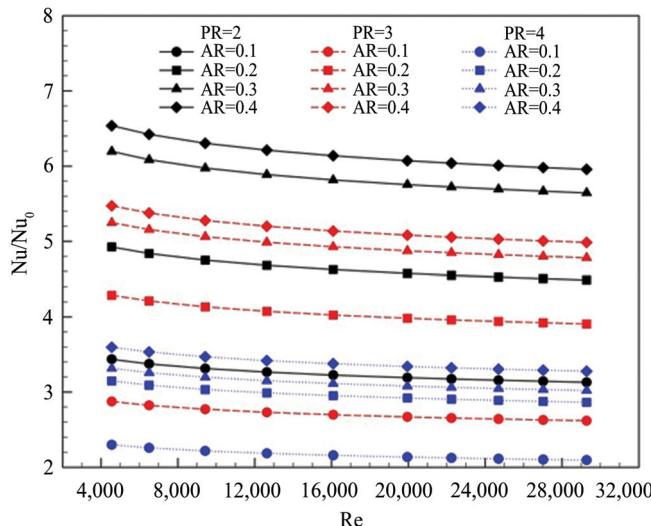
อิทธิพลของ PR และ AR ต่อการถ่ายเทความร้อน

ค่าการถ่ายเทความร้อนของอุปกรณ์แลกเปลี่ยนความร้อนที่มีการสอดใส่ตัวสร้างการไหลหมุนคง แบบแผ่นบางรูปตัวไข่ แสดงดังรูปที่ 5 และ 6 ตามลำดับ รูปที่ 5 แสดงความสัมพันธ์ระหว่างค่าการถ่ายเทความร้อนในเทอมของตัวเลขนัสเซิลท์ (Nu) ซึ่งเป็นตัวแปรไร้มิติกับค่า Re จากการทดลองพบว่า ค่า Nu จะเพิ่มขึ้นเมื่อค่า Re และ AR เพิ่มขึ้นในขณะที่ค่า PR ลดลงที่เป็นเช่นนี้ก็เพราะว่าการสอดใส่ แผ่นบางรูปตัวไข่ที่ค่า AR ที่มีค่ามากจะทำให้กระแสการไหลของอากาศเกิดการกระแทกกับแผ่นบางรูปตัวไข่มากขึ้นและสามารถเห็นได้ว่าน้ำที่เกิดการไหลแบบหมุนคงที่มีระดับการไหลที่แข็งแรงกว่าเมื่อเปรียบเทียบกับการสอดใส่แผ่นบางรูปตัวไข่ที่ค่า AR ที่มีค่าน้อย และค่า PR ที่มีค่ามาก [19] กระแสของการหมุนคงที่เกิดขึ้นจะไปทำลายขั้นตอนเขตความร้อนที่ริเวณผนังท่อทำให้ของไหล อุณหภูมิต่างๆ บริเวณกลางท่อและของไหลอุณหภูมิสูงบริเวณผิวท่อเกิดการผสมผสานกันได้อย่างรวดเร็ว จึงทำให้เกิดการถ่ายเทความร้อนที่เพิ่มขึ้น การสอดใส่แผ่นบางรูปตัวไข่ทุกกรณีจะให้ค่า Nu สูงกว่า ท่อเปล่าผนังเรียบอยู่ในช่วง 52 - 84 % โดยกรณีการสอดใส่แผ่นบางรูปตัวไข่ที่ค่า $AR = 0.4$ และ $PR = 2$ จะให้ค่า Nu สูงกว่ากรณีอื่น ๆ



รูปที่ 5 ความสัมพันธ์ระหว่าง Nu กับ Re

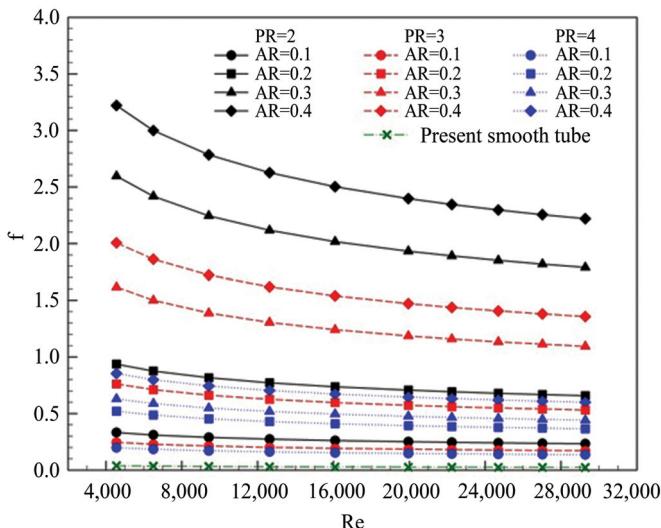
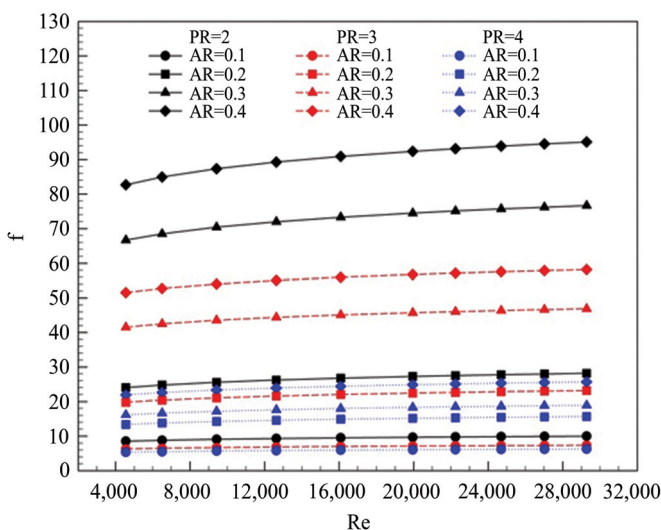
รูปที่ 6 แสดงความสัมพันธ์ระหว่างอัตราส่วนตัวเลขนัสเซลท์กรณีสอดไล่แผ่นบางรูปตัวไข่น์ต่อตัวเลขนัสเซลท์ของท่อเปล่าผนังเรียบ (Nu / Nu_0) กับ Re จากการทดลองพบว่าเมื่อค่า Re เพิ่มขึ้น จะส่งผลทำให้ค่า Nu / Nu_0 มีแนวโน้มลดลง โดยการสอดไล่แผ่นบางรูปตัวไข่น์ที่ค่า $PR = 2 AR = 0.1$ 0.2 0.3 และ 0.4; $PR = 3 AR = 0.1$ 0.2 0.3 และ 0.4; $PR = 4 AR = 0.1$ 0.2 0.3 และ 0.4 จะให้ค่า Nu / Nu_0 เท่ากับ 3.1 - 6.5 2.6 - 5.5 และ 2.1 - 3.6 เท่า ตามลำดับ



รูปที่ 6 ความสัมพันธ์ระหว่าง Nu / Nu_0 กับ Re

อิทธิพลของ PR และ AR ต่อการสูญเสียความดัน

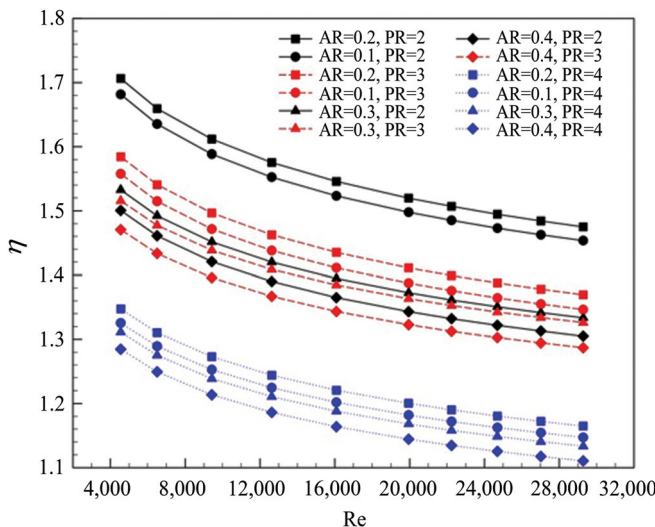
ค่าการสูญเสียความดันเนื่องจากการผลักดันของไหลผ่านท่อของอุปกรณ์แลกเปลี่ยนความร้อนที่มีการสอดไล่แผ่นบางรูปตัวไข่น์แสดงในเทอมของตัวประกอบเสียดทาน (f) และอัตราส่วนตัวประกอบเสียดทานกรณีสอดไล่แผ่นบางรูปตัวไข่น์ต่อตัวประกอบความเสียดทานของท่อผนังเรียบ (f / f_0) แสดงดังรูปที่ 7 และ 8 ตามลำดับ รูปที่ 7 แสดงความสัมพันธ์ระหว่าง f กับ Re จากการทดลองพบว่าค่า f จะลดลงเมื่อค่า Re และ AR ลดลงในขณะที่ค่า PR เพิ่มขึ้น ที่เป็นเช่นนี้ก็ เพราะว่าการสอดไล่แผ่นบางรูปตัวไข่น์ที่ค่า AR ที่มีค่ามาก และค่า PR ที่มีค่าน้อย จะทำให้เกิดการปิดกั้นการไหลของอากาศภายในท่อที่สูงกว่าเมื่อเปรียบเทียบกับการสอดไล่แผ่นบางรูปตัวไข่น์ที่ค่า AR ที่มีค่าน้อย และค่า PR ที่มีค่ามาก จึงทำให้เกิดการสูญเสียความดันที่สูงขึ้น การสอดไล่แผ่นบางรูปตัวไข่น์ทุกกรณีจะให้ค่า f สูงกว่าท่อเปล่าผนังเรียบอยู่ในช่วง 81 - 99 % โดยกรณีการสอดไล่แผ่นบางรูปตัวไข่น์ที่ค่า $AR = 0.4$ และ $PR = 2$ จะให้ค่า f สูงกว่ากรณีอื่น ๆ รูปที่ 8 แสดงความสัมพันธ์ระหว่างอัตราส่วนตัวประกอบเสียดทานกรณีสอดไล่แผ่นบางรูปตัวไข่น์ต่อตัวประกอบเสียดทานของท่อเปล่าผนังเรียบ (f / f_0) กับ Re จากการทดลองพบว่าเมื่อค่า Re เพิ่มขึ้นจะส่งผลทำให้ค่า f / f_0 เพิ่มขึ้น โดยการสอดไล่แผ่นบางรูปตัวไข่น์ที่ค่า $PR = 2 AR = 0.1$ 0.2 0.3 และ 0.4; $PR = 3 AR = 0.1$ 0.2 0.3 และ 0.4; $PR = 4 AR = 0.1$ 0.2 0.3 และ 0.4 จะให้ค่า f / f_0 เท่ากับ 8.5 - 95.1 6.3 - 58.2 และ 5.3 - 25.7 เท่า ตามลำดับ

รูปที่ 7 ความล้มพันธ์ระหว่าง f กับ Re รูปที่ 8 ความล้มพันธ์ระหว่าง f / f_0 กับ Re

ตัวประกอบการเพิ่มการถ่ายเทความร้อน

จากการทดลองแสดงให้เห็นอย่างชัดเจนว่าการลดไส้แผ่นบางรูปตัวไข่ภายในท่อแลกเปลี่ยนความร้อนสามารถช่วยให้ค่าการถ่ายเทความร้อนเพิ่มสูงขึ้นแต่ลิ่งที่ตามมาก็คือ ค่าการสูญเสียความดันที่เพิ่มสูงขึ้นตามมาด้วยเข่นกัน จึงเป็นการยากที่จะบอกการลดไส้แผ่นบางรูปตัวไข่เข้าไปภายในท่อได้ว่า ดีหรือไม่ดี ดังนั้นจึงได้มีการกำหนดตัวแปรที่ใช้ในการประเมินถึงสมรรถนะของอุปกรณ์แลกเปลี่ยนความร้อน ที่มีการลดไส้ตัวล้วงความปานผวนหรือตัวล้วงการให้หลุมนูบวง ที่เรียกว่า ตัวประกอบการเพิ่มการถ่ายเทความร้อน (Thermal Enhancement Factor, η) โดยมีนิยาม คือ อัตราส่วนของการเพิ่มขึ้นของค่าการสูญเสียความดัน ซึ่งพิจารณาภายในตัวสภาวะ

ที่กำลังขับพัดลมเดียวกัน ดังแสดงในสมการที่ (6) รูปที่ 9 และความสัมพันธ์ระหว่าง η กับ Re จากการทดลองพบว่า ค่า η มีแนวโน้มลดลงเมื่อค่า Re เพิ่มสูงขึ้น จากการทดลองพบว่า การสอดไส่แผ่นบางรูปตัวไข่นทุกกรณีจะให้ค่า η สูงกว่ากรณีของห่อเปล่าผนังเรียบ และมีค่าอยู่ระหว่าง 1.11 - 1.71 ในกรณีการสอดไส่แผ่นบางรูปตัวไข่นที่ค่า PR = 4 สำหรับทุก ๆ ค่า AR จะให้ค่า η ค่อนข้างต่ำเมื่อเปรียบเทียบกับที่ค่า PR = 2 และ 3 ในกรณีการสอดไส่แผ่นบางรูปตัวไข่นที่ค่า PR = 2 และ AR = 0.2 จะให้ค่า η สูงที่สุด โดยมีค่าเท่ากับ 1.71 ที่ Re = 4,500



รูปที่ 9 ความล้มเหลวระหว่าง η กับ Re

สรุปผลการทดลอง

จากการศึกษาเชิงทดลองเพื่อเพิ่มสมรรถนะของการถ่ายเทความร้อนภายในเครื่องเล็กเปลี่ยนความร้อนแบบห้องกลมด้วยการสอดไส่แผ่นบางรูปตัวไข่นที่มีอาณาเขตเป็นของเหลวทดสอบในช่วงระหว่าง $Re = 4,500 - 29,200$ โดยมีการปรับเปลี่ยนพารามิเตอร์ คือ อัตราส่วนระยะพิพิธ ($p/D = PR = 2, 3$ และ 4) และอัตราส่วนการปิดกั้นการไหล ($e/D = AR = 0.1, 0.2, 0.3$ และ 0.4) สามารถสรุปได้ดังนี้ การสอดไส่แผ่นบางรูปตัวไข่นทุกกรณีสามารถช่วยให้ค่าการถ่ายเทความร้อนเพิ่มสูงขึ้นจากห่อเปล่าผนังเรียบอยู่ในช่วงระหว่าง $52 - 84\%$ ในขณะที่ตัวประกอบเสียงดักทางเพิ่มน้อยในช่วงระหว่าง $81 - 99\%$ ในกรณีการสอดไส่แผ่นบางรูปตัวไข่นที่ค่า $PR = 2$ และ $AR = 0.4$ จะให้ค่าการถ่ายเทความร้อนและประสิทธิภาพความดันสูงกว่าเมื่อเปรียบเทียบกับกรณีอื่น ๆ ซึ่งจะให้ค่า Nu/Nu_0 และ f/f_0 มีค่าเท่ากับ $6.0 - 6.5$ เท่า และ $82.7 - 95.1$ เท่า ตามลำดับ ส่วนในกรณีที่มีการสอดไส่แผ่นบางรูปตัวไข่นที่ค่า $PR = 2$ และ $AR = 0.2$ จะให้ค่าตัวประกอบการเพิ่มการถ่ายเทความร้อนสูงที่สุดเมื่อเปรียบเทียบกับกรณีอื่น ๆ ให้ค่า η มีค่าเท่ากับ 1.71 ที่ $Re = 4,500$ และในกรณีการสอดไส่แผ่นบางรูปตัวไข่นที่ค่า $PR = 4$ สำหรับทุก ๆ ค่า AR จะให้ค่า η ที่ต่ำกว่าเมื่อเปรียบเทียบกับที่ค่า $PR = 2$ และ 3 จึงไม่แนะนำให้ทำการออกแบบแผ่นบางรูปตัวไข่นที่มีค่า PR มากกว่า 3

กิตติกรรมประกาศ

ขอขอบคุณ สาขาวิชาศวกรรบเครื่องกล คณะศวกรรบศาสตร์ มหาวิทยาลัยเทคโนโลยีราชมงคลล้านนา ที่ได้ให้การสนับสนุนในการทำงานวิจัยนี้

References

- [1] Skullong, S., Promvonge, P., Thianpong, C., and Pimsarn, M. (2018). Thermal Performance of Heat Exchanger Tube Inserted with Curved-Winglet Tapes. **Applied Thermal Engineering.** Vol. 129, pp. 1197-1211. DOI: 10.1016/j.applthermaleng.2017.10.110
- [2] Skullong, S., Promvonge, P., Thianpong, C., and Jayranaiwachira, N. (2017). Thermal Behaviors in a Round Tube Equipped with Quadruple Perforated-Delta-Winglet Pairs. **Applied Thermal Engineering.** Vol. 115, pp. 229-243. DOI: 10.1016/j.applthermaleng.2016.12.082
- [3] Skullong, S., Promvonge, P., Thianpong, C., and Pimsarn, M. (2016). Heat Transfer and Turbulent Flow Friction in a Round Tube with Staggered-Winglet Perforated-Tapes. **International Journal of Heat and Mass Transfer.** Vol. 95, pp. 230-242. DOI: 10.1016/j.ijheatmasstransfer.2015.12.007
- [4] Skullong, S., Promvonge, P., Jayranaiwachira, N., and Thianpong, C. (2016). Experimental and Numerical Heat Transfer Investigation in a Tubular Heat Exchanger with Delta-Wing Tape Inserts. **Chemical Engineering and Processing: Process Intensification.** Vol. 109, pp. 164-177. DOI: 10.1016/j.cep.2016.09.005
- [5] Xu, Y., Islam, M. D., and Kharoua, N. (2018). Experimental Study of Thermal Performance and Flow Behaviour with Winglet Vortex Generators in a Circular Tube. **Applied Thermal Engineering.** Vol. 135, pp. 257-268. DOI: 10.1016/j.applthermaleng.2018.01.112
- [6] Liu, H. L., Li, H., He, Y. L., and Chen, Z. T. (2018). Heat Transfer and Flow Characteristics in a Circular Tube Fitted with Rectangular Winglet Vortex Generators. **International Journal of Heat and Mass Transfer.** Vol. 126, Part A, pp. 989-1006. DOI: 10.1016/j.ijheatmasstransfer.2018.05.038
- [7] Wijayanta, A. T., Istanto, T., Kariya, K., and Miyara, A. (2017). Heat Transfer Enhancement of Internal Flow by Inserting Punched Delta Winglet Vortex Generators with Various Attack Angles. **Experimental Thermal and Fluid Science.** Vol. 87, pp. 141-148. DOI: 10.1016/j.expthermflusci.2017.05.002
- [8] Chokphoemphun, S., Pimsarn, M., Thianpong, C., and Promvonge, P. (2015). Heat Transfer Augmentation in a Circular Tube with Winglet Vortex Generators. **Chinese Journal of Chemical Engineering.** Vol. 23, Issue 4, pp. 605-614. DOI: 10.1016/j.cjche.2014.04.002
- [9] Suwannapan, S., Skullong, S., and Promvonge, P. (2015). Thermal Characteristics in a Heat Exchanger Tube Fitted with Zigzag-Winglet Perforated-Tapes. **Journal of Research and Applications in Mechanical Engineering.** Vol. 3, No. 1, pp. 29-36. DOI: 10.14456/jrame.2015.3

- [10] Bhuiya, M. M. K., Sayema, A. S. M., Islam, M., Chowdhur, M. S. U., and Shahabuddin, M. (2014). Performance Assessment in a Heat Exchanger Tube Fitted with Double Counter Twisted Tape Inserts. **International Communications in Heat and Mass Transfer**. Vol. 50, pp. 25-33. DOI: 10.1016/j.icheatmasstransfer.2013.11.005
- [11] Bhuiya, M. M. K., Chowdhur, M. S. U., Shahabuddin, M., Saha, M., and Memon, L. A. (2013). Thermal Characteristics in a Heat Exchanger Tube Fitted with Triple Twisted Tape Inserts. **International Communications in Heat and Mass Transfer**. Vol. 48, pp. 124-132. DOI: 10.1016/j.icheatmasstransfer.2013.08.024
- [12] Chokphoemphun, S., Pimsarn, M., Thianpong, C., and Promvonge, P. (2015). Thermal Performance of Tubular Heat Exchanger with Multiple Twisted-Tape Inserts. **Chinese Journal of Chemical Engineering**. Vol. 23, Issue 5, pp. 755-762. DOI: 10.1016/j.cjche.2015.01.003
- [13] Nanan, K., Thianpong, C., Promvonge, P., and Eiamsa-ard, S. (2014). Investigation of Heat Transfer Enhancement by Perforated Helical Twisted-Tapes. **International Communications in Heat and Mass Transfer**. Vol. 52, pp. 106-112. DOI: 10.1016/j.icheatmasstransfer.2014.01.018
- [14] Nanan, K., Yongsiri, K., Wongcharee, K., Thianpong, C., and Eiamsa-ard, S. (2013). Heat Transfer Enhancement by Helically Twisted Tapes Inducing Co- and Counter-Swirl Flows. **International Communications in Heat and Mass Transfer**. Vol. 46, pp. 67-73. DOI: 10.1016/j.icheatmasstransfer.2013.05.015
- [15] Hong, Y., Dua, J., Wang, S., Huang, S. M., and Ye, W. B. (2018). Heat Transfer and Fluid Flow Behaviors in a Tube with Modified Wire Coils. **International Communications in Heat and Mass Transfer**. Vol. 124, pp. 1347-1360.
- [16] Promvonge, P., Koolnapadol, N., Pimsarn, M., and Thianpong, C. (2014). Thermal Performance Enhancement in a Heat Exchanger Tube Fitted with Inclined Vortex Rings. **Applied Thermal Engineering**. Vol. 62, Issue 1, pp. 285-292. DOI: 10.1016/j.aplthermaleng.2013.09.031
- [17] Eiamsa-ard, S., Kongkaitpaiboon, V., and Nanan, K. (2013). Thermohydraulics of Turbulent Flow Through Heat Exchanger Tubes Fitted with Circular-Rings and Twisted Tapes. **Chinese Journal of Chemical Engineering**. Vol. 21, Issue 6, pp. 585-593. DOI: 10.1016/S1004-9541(13)60504-2
- [18] Thianpong, C., Yongsiri, K., Nanan, K., and Eiamsa-ard, S. (2012). Thermal Performance Evaluation of Heat Exchangers Fitted with Twisted-Ring Turbulators. **International Communications in Heat and Mass Transfer**. Vol. 39, Issue 6, pp. 861-868. DOI: 10.1016/j.icheatmasstransfer.2012.04.004
- [19] Promthaisong, P. and Suwannapan, S. (2018). Turbulent Flow Behaviors on Thermal Enhancement in a Circular Tube Heat Exchanger Equipped with Sinusoidal Baffles. **Journal of Research and Applications in Mechanical Engineering**. Vol. 6, No. 2, pp. 95-112. DOI: 10.14456/jrame.2018.10
- [20] Webb, R. L. (1992). **Principles of Enhanced Heat Transfer**. New York. John-Wiley & Sons.
- [21] Incropera, F. P., DeWitt, P. D., Bergman, T. L. and Lavine, A. S. (2006). **Fundamentals of Heat and Mass Transfer**. John-Wiley & Sons.

การออกแบบและสร้างกระเทเบอร์โมอิเล็กทริกสำหรับทำความร้อนและความเย็น Design and Development of a Thermoelectric Pan for Heating and Chilling Application

เจนศักดิ์ เอกบูรณ์วัฒนา^{*}

Jensak Ekburanawat^{1*}

Received: March 11, 2019; Revised: June 6, 2019; Accepted: June 6, 2019

บทคัดย่อ

งานวิจัยนี้เป็นการพัฒนากระเทเบอร์โมอิเล็กทริกซึ่งเป็นกระเทเบอร์ที่สามารถทำได้ทั้งความร้อนและความเย็น ในเครื่องเดียว กะเทเบอร์โมอิเล็กทริกที่สร้างขึ้น ประกอบด้วยเทอร์โมอิเล็กทริกโมดูล 6 โมดูล ทำหน้าที่สร้างความร้อนและความเย็น ด้านหนึ่งของเทอร์โมอิเล็กทริกติดตั้งอยู่กับเครื่องแลกเปลี่ยน ความร้อน และอีกด้านหนึ่งติดตั้งอยู่กับแผ่นกระเทเบอร์ที่ใช้ทำความร้อนและความเย็น แผ่นกระเทเบอร์มีขนาด $30 \times 40 \times 0.8$ เซนติเมตร เครื่องแลกเปลี่ยนความร้อนทำหน้าที่รับความร้อนจากเทอร์โมอิเล็กทริกโมดูล แล้วส่งถ่ายความร้อนให้กับน้ำที่ในระบบน้ำจะหมุนเวียนผ่านหม้อน้ำแล้วส่งผ่านความร้อนสู่บรรยายการ ภายนอก โดยมีพัดลมช่วยเพิ่มประสิทธิภาพในการระบายความร้อน ระบบควบคุมการทำงานหลักของ กระเทเบอร์โมอิเล็กทริกใช้ไมโครคอนโทรลเลอร์เป็นตัวควบคุม ล็อจิกเรียลเพื่อทำการตัด - ต่อ หรือ สลับขั้วแหล่งจ่ายไฟที่จ่ายไฟ กระเทเบอร์โมอิเล็กทริกแบ่งการทำงานออกเป็น 3 โหมด 1) โหมดร้อน สามารถทำอุณหภูมิได้สูงสุด 107 องศาเซลเซียส กินกำลังไฟฟ้าสูงสุด 360 วัตต์ 2) โหมดอุ่น สามารถทำ อุณหภูมิได้ที่ 79 องศาเซลเซียส กินกำลังไฟฟ้าสูงสุด 250 วัตต์ และ 3) โหมดเย็น สามารถทำอุณหภูมิ ได้ต่ำสุด 14 องศาเซลเซียส กินกำลังไฟฟ้าสูงสุด 300 วัตต์

คำสำคัญ : เทอร์โมอิเล็กทริก; เครื่องแลกเปลี่ยนความร้อน; หม้อน้ำ; ไมโครคอนโทรลเลอร์

¹ คณะวิศวกรรมศาสตร์ มหาวิทยาลัยเทคโนโลยีราชมงคลรัตนโกสินทร์ นครปฐม

¹ Faculty of Engineering, Rajamangala University of Technology Rattanakosin, Nakhon Pathom

* Corresponding Author E - mail Address: jensak.eak@rmutr.ac.th

Abstract

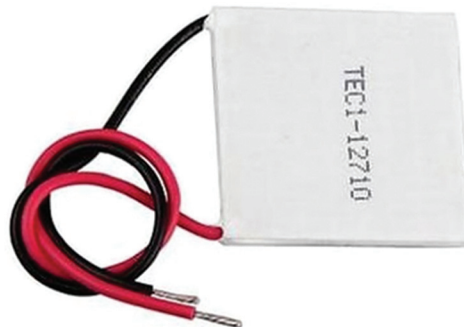
This research is a development of the thermoelectric pan which is capable of both heating and chilling on a single pan. This thermoelectric pan is composed of six thermoelectric modules as a source of hot and cold temperature. A heat exchanger is installed on one side of each thermoelectric module, whereas a steel plate attaches to the other side working as a heat/cold pan. The dimension of the pan is 30 x 40 x 0.8 cm approximately. The heat exchanger receives heat from thermoelectric modules and transfers it to water in the system, then the water circulates through a radiator passing heat to surroundings with a fan in order to increase its efficiency. The main control system consists of microcontroller circuits to manage relays to turn on/off or to switch the terminals of power supplies. The thermoelectric pan have three modes of operation; 1) Hot mode, the thermoelectric pan can reach maximum temperature at 107 °C by consuming 360 W maximum power, 2) Warm mode, the thermoelectric pan can generate temperature at 79 °C for 250 W power consumption and 3) Cold mode, the thermoelectric pan can lower temperature to minimum at 14 °C taking 300 W operating power.

Keywords: Thermoelectric; Heat Exchanger; Radiator; Microcontroller

บทนำ

ปัจจุบันอัตราการใช้พลังงานเพิ่มมากขึ้นตามจำนวนประชากรที่เพิ่มขึ้นเนื่องจากพลังงานมีความจำเป็นต่อมนุษย์ ดังแต่ก่อให้เกิดภัยในครัวเรือนจนถึงระดับอุตสาหกรรม เมื่อมีการใช้พลังงานจำนวนมากทำให้ส่งผลกระทบต่อ ธรรมชาติและลึกล้ำ ทำให้มนุษย์ตระหนักรู้ผลกระทบที่จะตามมากขึ้น ซึ่งเห็นได้จากมีการรณรงค์ต่าง ๆ เกี่ยวกับการใช้พลังงานให้คุ้มค่าที่สุด เช่น การสร้างเทคโนโลยีหรือวัสดุใหม่ที่นำพลังงานสูญเสียมาใช้ให้ เกิดประโยชน์ หรือแม้กระทั่งการประยุกต์พลังงานก็สามารถลดปัญหาพลังงานได้ในชีวิตประจำวันมนุษย์ใช้ พลังงานส่วนหนึ่งไปกับการปรุงอาหารและถนอมอาหาร ในรูปแบบของพลังงานไฟฟ้า แก๊สหุงต้ม ถ่านไม้ หรือชีมวล ซึ่งทั้งหมดนี้อาจเป็นการใช้พลังงานที่มากเกินความจำเป็นสำหรับการประกอบอาหาร

เทอร์โมอิเล็กตริกเป็นอุปกรณ์ที่ใช้เปลี่ยนรูปพลังงานที่ทำจากสารกึ่งตัวนำ สามารถสร้างความเย็น และความร้อนได้จาก原理การณ์เพลทียร์ (รูปที่ 1) หลักการทำงานของเทอร์โมอิเล็กตริก คือ เมื่อจ่ายไฟฟ้ากระแสตรงให้ไหลผ่านสารกึ่งตัวนำสองชนิด (ชนิด P และ N) ที่อยู่ภายใต้เทอร์โมอิเล็กตริกโมดูล ด้านหนึ่งของโมดูลจะเย็น (Cold Side) และอีกด้านหนึ่งของโมดูลจะร้อน (Hot Side) ถ้าเปลี่ยนทิศทาง การไหลของกระแสไฟฟ้า ด้านเย็นของเทอร์โมอิเล็กตริกโมดูลจะกลายเป็นด้านร้อนส่วนด้านร้อนจะกลายเป็น ด้านเย็น ความสามารถในการทำความเย็นของอุปกรณ์เทอร์โมอิเล็กตริกนั้นจะมีค่าน้อยกว่าเมื่อเทียบกับ การทำความร้อน เนื่องจากความเย็นที่ผลิตได้ถูกลดทอนจากความร้อนที่ไหลย้อนกลับที่เกิดจากความแตกต่าง ของอุณหภูมิระหว่างด้านร้อนและด้านเย็น และความร้อนที่เกิดจากความต้านทานทางไฟฟ้า

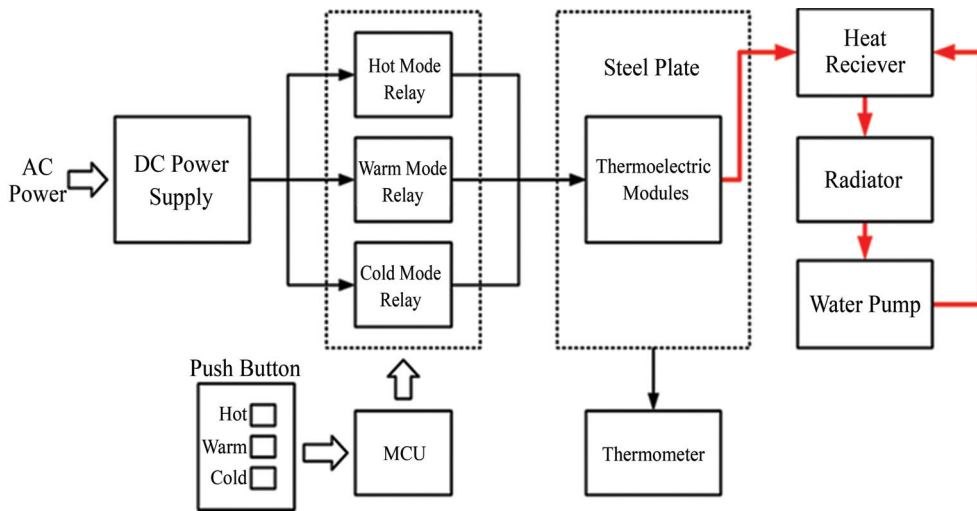


รูปที่ 1 เทอร์โมอิเล็กตริกโมดูล

จากที่กล่าวมาข้างต้นจึงมีแนวคิดในการนำเทอร์โมอิเล็กตริกมาประยุกต์ใช้งาน โดยการสร้างกระทะที่สามารถทำความร้อนและความเย็นได้ในเครื่องเดียว กัน เพื่อเพิ่มคุณสมบัติของกระทะให้สามารถทำอาหารได้หลากหลายชั้นและประหยัดพลังงานกว่ากระทะไฟฟ้าทั่วไป มีความปลอดภัยสูงเมื่อเทียบกับการใช้พลังงานจากก๊าซหุงต้ม จึงเหมาะสมสำหรับใช้งานภายในอาคารบ้านพักอาศัยหรือการประกอบอาหารในที่ชุมชน เช่น ห้างสรรพสินค้า นอกจากนี้ยังสามารถปรับเป็นโหมดอุ่นเพื่อใช้ละลายอาหาร เช่น เช็งจำพวกเนื้อสัตว์ต่าง ๆ และปรับเป็นโหมดทำความเย็นเพื่อกันความอาหารไม่ให้เน่าเสียได้อีกด้วย จากคุณสมบัติของเทอร์โมอิเล็กตริกที่ได้กล่าวมาข้างต้น ขณะที่ผลิตความเย็นนั้นอีกด้านของเทอร์โมอิเล็กตริกจะเกิดความร้อนสูงจึงจำเป็นต้องมีการระบายความร้อนโดยใช้ระบบระบายความร้อนด้วยน้ำ การระบายความร้อนที่ดีจะทำให้ประสิทธิภาพในการทำความเย็นเพิ่มมากขึ้น ข้อดีของเทอร์โมอิเล็กตริกนั้นคือ มีน้ำหนักเบา ขนาดเล็ก ใช้พลังงานน้อย ไม่มีส่วนที่เคลื่อนไหวจึงไม่เกิดการลึกหรอ [1] งานวิจัยนี้จึงได้ออกแบบโครงสร้างของกระทะเทอร์โมอิเล็กตริกให้มีรูปร่างที่เหมาะสมสมกับการใช้งานในชีวิตประจำวันอีกด้วย

วิธีดำเนินการวิจัย

งานวิจัยนี้ได้ออกแบบสร้างและทดสอบกระทะเทอร์โมอิเล็กตริกที่ประกอบไปด้วยอุปกรณ์หลัก ๆ คือ เทอร์โมอิเล็กตริกโมดูล รุ่น TEC1-12710 จำนวน 6 โมดูล ใช้เป็นอุปกรณ์สำหรับสร้างความร้อนและความเย็น แผ่นเหล็กที่ใช้ทำเป็นกระทะ ขนาด $30 \times 40 \times 0.8$ เซนติเมตร เครื่องแอลกอไรด์เปลี่ยนความร้อนสำหรับรับความร้อนจากเทอร์โมอิเล็กตริกโมดูล ปั๊มน้ำสำหรับหมุนเวียนน้ำในระบบระบายความร้อน หม้อน้ำแบบบังผึ้งสำหรับใช้ระบายความร้อนจากน้ำสู่บรรยายการ ระบบไมโครคอนโทรลเลอร์สำหรับควบคุมการทำงานของกระทะ ชุดวงจรรีเลย์สำหรับตัด - ต่อ และลับขั้วของแหล่งจ่ายไฟฟ้ากระแสตรง และเทอร์โมมิเตอร์แบบดิจิทัลสำหรับแสดงอุณหภูมิของแผ่นกระทะ โดยอุปกรณ์ที่กล่าวมานี้การเชื่อมโยงเพื่อทำงานร่วมกันดังแสดงในแผนภาพระบบการทำงานของกระทะเทอร์โมอิเล็กตริกรูปที่ 2



รูปที่ 2 แผนภาพระบบการทำงานของกระหงเทอร์โมอิเล็กตริก

เทอร์โมอิเล็กตริกและการถ่ายเทความร้อน

ในปี ค.ศ. 1834 ผลงาน ชี. เอ. เพลเตียร์ (Jean C. A. Peltier) [2] นักวิทยาศาสตร์ชาวฝรั่งเศส พบว่าเมื่อผ่านไฟฟ้ากระแสตรงให้กับบรรจุต่อสารกึ่งตัวนำ สารกึ่งตัวนำสองด้านจะกลایเป็นผิวร้อน (Hot Surface) และผิวเย็น (Cold Surface) ขึ้นกับทิศทางการไหลของกระแสไฟฟ้า ปรากฏการณ์นี้เรียกว่า ปรากฏการณ์เพลเตียร์ (Peltier Effect) ในทางกลับกัน ถ้าถ่ายเทความร้อนให้กับผิวด้านหนึ่งจะเกิด แรงดันไฟฟ้าขึ้นเรียกว่า ซีเบ็คโวලเตจ (Seebeck Voltage) สารกึ่งตัวนำดังกล่าวเรียกว่า p-n junctions โดยที่การผลิตกระแสไฟฟ้าจะต้องแบบอนุกรม การทำความเย็นจะต้องแบบขนานเป็นแบบแซนวิช ระหว่าง แผ่นฉนวนเซรามิก อุปกรณ์อิเล็กทรอนิกส์ที่อาศัยหลักการของปรากฏการณ์เพลเตียร์ซึ่งจัดเป็นปั๊มความร้อน (Heat Pump) เรียกว่า “เทอร์โมอิเล็กตริก” [3] ได้เสนอสมการอนุพันธ์แสดงการกระจายอุณหภูมิที่มีดิจิต สำหรับเทอร์โมอิเล็กตริกตามแนวแกน x ตามสมการที่ (1) และ (2) สามารถพิสูจน์ได้ว่า

$$e_{T_{MAX}} = \frac{E}{2} + \frac{\Delta T}{E} \cdot \frac{\lambda}{\rho I^2} \quad (1)$$

อุณหภูมิสูงสุดที่ผิวร้อน คือ

$$T_{MAX} = T_c + \left(\frac{E}{2} + \frac{\Delta T}{E} \cdot \frac{\lambda}{\rho I^2} \right) \cdot \left(\frac{\Delta T}{2E} + \frac{\rho I^2}{2\lambda} \cdot E \right) \quad (2)$$

เมื่อ

I เป็นกระแสไฟฟ้า

T_c เป็นอุณหภูมิที่ผิวเย็น

ΔT เป็นผลต่างของอุณหภูมิ

ρ, λ และ E เป็นค่าคงที่ขึ้นกับชนิดของวัสดุ

Gao, M., Rowe, D. M. [4] ได้เสนอสมการสำหรับการคำนวณสัมประสิทธิ์ของสมรรถนะ (Coefficient Of Performance; COP) ของเทอร์โมอิเล็กตริกโมดูล ซึ่งพิจารณาถึงความต้านทานไฟฟ้า และสภาพนำความร้อนเนื่องจากจุดสัมผัสตามสมการที่ (3) - (5) คือ

$$\eta = \frac{l}{1+2rl_c} \cdot \left(\frac{T_c}{T_h - T_c} \cdot \frac{\beta - T_h / T_c}{1+\beta} - \frac{2l_c}{l} \right) \quad (3)$$

เมื่อ

$$\beta = \left(1 + \frac{l z T_M}{n+1} \right)^{\frac{1}{2}} \quad (4)$$

โดยที่

$r = \lambda / \lambda_c$ เป็นอัตราส่วนของสภาพนำความร้อนที่ผิวสัมผัส

l เป็นความยาวของเทอร์โมอิลิเมนต์ $n = 2\rho_c / \rho$

เมื่อ

ρ_c เป็นสภาพต้านทานไฟฟ้าที่ผิวสัมผัสระหว่างเทอร์โมอิลิเมนต์และ Copper Strips โดยที่

$$z = \frac{\alpha^2}{\rho \lambda} \quad (5)$$

เมื่อ

α เป็นลัมป์ประสิทธิ์บีบค (Seebeck Coefficient) สำหรับ Thermoelectric Material

ρ และ λ เป็นสภาพต้านทานไฟฟ้าและสภาพนำความร้อนของสารเทอร์โมอิลิเมนต์

$T_M = (T_h + T_c) / 2$ เป็นอุณหภูมิเฉลี่ยของเทอร์โมอิลิเมนต์

l_c เป็นความหนาของ Contact Layers

การเลือกวัสดุที่ใช้ทำแผ่นกระ化

ถ้าความร้อนสามารถเคลื่อนที่ผ่านเนื้อวัสดุชนิดใดได้อย่างรวดเร็วแสดงว่าวัสดุชนิดนั้นมีคุณสมบัติในการนำความร้อน (Thermal Conductivity) ที่ดี วัสดุที่มีระดับในการนำความร้อนที่สูงความร้อนจะเคลื่อนที่ผ่านตัวมันอย่างรวดเร็ว ซึ่งมีข้อดีก็คือ วัสดุชนิดนี้สามารถนำไปใช้ในการระบายความร้อนได้ดี แต่ถ้าหากต้องการกักเก็บความร้อนเอาไว้ในวัสดุก็ให้เลือกวัสดุที่มีการนำความร้อนที่น้อยค่าการนำความร้อนของโลหะชนิดต่าง ๆ ดูได้จากตารางที่ 1

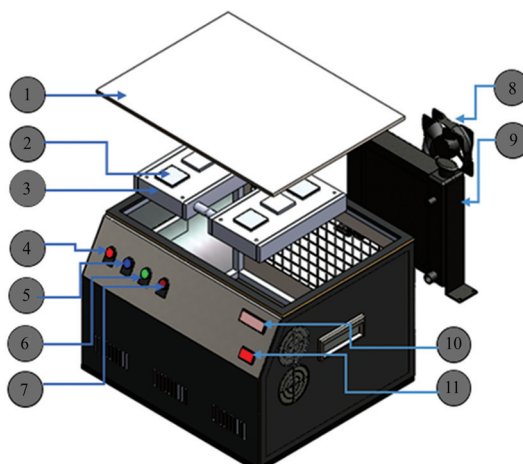
ตารางที่ 1 ค่าการนำความร้อนของโลหะชนิดต่าง ๆ

วัสดุ	การนำความร้อน W/(m.K)
เงิน (Silver)	427
ทอง (Gold)	315
ทองแดง (Copper)	398
สังกะสี (Zinc)	121
เหล็ก (Iron)	80.3
อลูมิเนียม (Aluminum)	237

หากเราเลือกโลหะที่มีค่าการนำความร้อนมากมาทำแผ่นกระทะ กระทะจะร้อนเร็วแต่ในทางกลับกัน หากเราเลือกโลหะที่มีค่าการนำความร้อนน้อยมาทำแผ่นกระทะ กระทะจะร้อนช้ากว่าแต่จะสามารถกักเก็บความร้อนเอาไว้ได้นานกว่า แต่เมื่อพิจารณาถึงความปลอดภัยในการใช้งานแล้ว จึงเลือกวัสดุที่ใช้ทำแผ่นกระทะเป็นเหล็ก เนื่องจากมีความเสี่ยงในการปนเปื้อนลงสู่อาหารน้อยกว่าโลหะอื่น และเป็นวัสดุที่มีความแข็งแรงคงทนและมีราคาถูก [5]

ส่วนประกอบของกระทะเทอร์โมอิเล็กตริก

การออกแบบกระทะเทอร์โมอิเล็กตริกนั้นต้องการออกแบบให้เป็นเครื่องใช้ไฟฟ้าที่มีขนาดไม่ใหญ่มาก สามารถเคลื่อนย้ายได้สะดวกและมีลักษณะคล้ายกับกระทะที่ใช้งานโดยทั่วไป โดยออกแบบให้มีหน้ากระทะเป็นแผ่นเหล็กขนาดกว้าง 30 เซนติเมตร ยาว 40 เซนติเมตร และหนา 0.8 เซนติเมตร ติดตั้งเทอร์โมอิเล็กตริก ไม่ดูดจำนวน 6 โมดูล ใต้แผ่นกระทะ อีกด้านหนึ่งของเทอร์โมอิเล็กตริกติดตั้งเครื่องแปลงเป็นความร้อน เพื่อใช้ระบายความร้อนออกจากเทอร์โมอิเล็กตริก ผ่านทางระบบระบายความร้อนแบบลมอันดับที่ 3

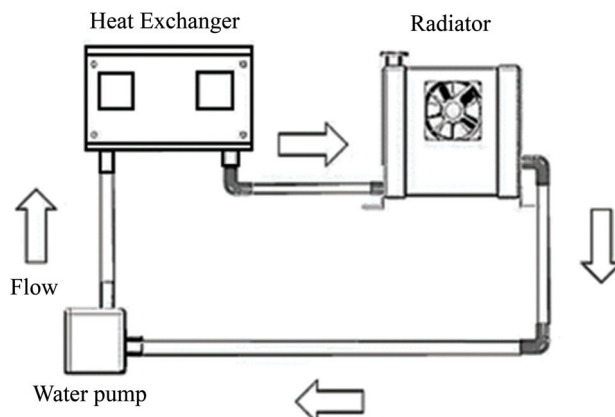


รูปที่ 3 ส่วนประกอบของกระทะเทอร์โมอิเล็กตริก

จากรูปที่ 3 ส่วนประกอบของกระเทศาโนมอิเล็กทริก มีดังต่อไปนี้ 1) แผ่นกระแทกจากเหล็ก 2) เทอร์โมอิเล็กทริกโมดูล จำนวน 6 แผ่น 3) เครื่องแลกเปลี่ยนความร้อน จำนวน 2 ชุด 4) สวิตซ์โหมดร้อน 5) สวิตซ์โหมดอุ่น 6) สวิตซ์โหมดเย็น 7) สวิตซ์รีเซ็ตเครื่อง 8) พัดลมระบายความร้อนจากหม้อน้ำ 9) หม้อน้ำ 10) จอยแสดงผลอุณหภูมิ และ 11) สวิตซ์ปิด-เปิด เครื่อง

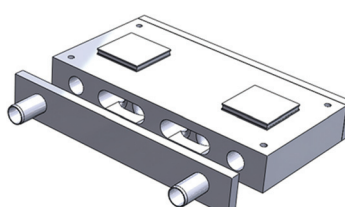
ระบบระบายความร้อน

ระบบระบายความร้อนของกระแทกที่สร้างขึ้นนี้ใช้สำหรับระบายความร้อนออกจากเทอร์โมอิเล็กทริกโมดูลในกรณีที่กระแทกทำงานในโหมดทำความเย็น และในทางกลับกันจะใช้ระบายความเย็นออกจากเทอร์โมอิเล็กทริกโมดูลในกรณีที่กระแทกทำงานในโหมดทำความร้อน และจะต้องออกแบบให้ระบบมีประสิทธิภาพสูงที่สุดเพื่อให้เทอร์โมอิเล็กทริกทำงานได้อย่างเต็มประสิทธิภาพ โดยชุดระบบจะประกอบด้วยอุปกรณ์ต่าง ๆ คือ เครื่องแลกเปลี่ยนความร้อน ปั๊มน้ำ หม้อน้ำ และพัดลมระบายอากาศ การต่อวงจรของอุปกรณ์ในระบบระบายความร้อน และทิศทางการไหลของน้ำในระบบแสดงดังรูปที่ 4



รูปที่ 4 ทิศทางการไหลของน้ำในระบบระบายความร้อน

เครื่องแลกเปลี่ยนความร้อนทำหน้าที่แลกเปลี่ยนความร้อนหรือความเย็นระหว่างเทอร์โมอิเล็กทริกโมดูลกับสารทำงานที่อยู่ในระบบสารทำงานที่ใช้ในระบบนี้คือ น้ำผลักดันน้ำระบายความร้อนหม้อน้ำร้อนที่สารทำงานจะทำหน้าที่พากความร้อนจากเทอร์โมอิเล็กทริกโมดูลไประบายสู่บรรยายอากาศผ่านทางหม้อน้ำ เครื่องแลกเปลี่ยนความร้อนที่ใช้ทำจากอลูมิเนียมซึ่งมีคุณสมบัตินในการถ่ายเทความร้อนได้ดี มีน้ำหนักเบา ออกแบบทิศทางการไหลของสารทำงานภายในให้มีลักษณะลับไปมา เพื่อให้น้ำสารทำงานสามารถพาความร้อนไปได้มากที่สุด ลักษณะของเครื่องแลกเปลี่ยนความร้อนแสดงดังรูปที่ 5



รูปที่ 5 เครื่องแลกเปลี่ยนความร้อน

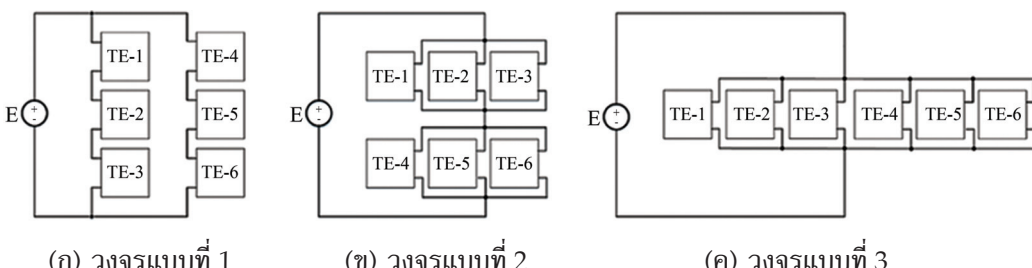
การต่อวงจรเทอร์โมอิเล็กตริกโมดูล

ระบบทำความเย็นด้วยเทอร์โมอิเล็กตริกโมดูลนั้นจะทำงานที่ประสิทธิภาพสูงสุดหรือทำอุณหภูมิต่ำสุดได้หรือไม่นั้น ขึ้นอยู่กับระดับความร้อน เพราะหากไม่สามารถระดับความร้อนที่เกิดขึ้นออกจากตัวเทอร์โมอิเล็กตริกได้ทัน ความร้อนที่เกิดขึ้นทางด้านร้อนของโมดูลจะละท้อนกลับมาทางด้านเย็นของโมดูลทำให้โมดูลไม่สามารถทำความเย็นต่ำสุดได้ เนื่องจากปัญหาที่เกิดขึ้นนี้ในทางปฏิบัติจึงต้องทำการทดสอบหารูปแบบการต่อวงจรของโมดูลและหาค่าแรงดันไฟฟ้าที่เหมาะสมที่จะจ่ายให้กับโมดูล ทั้งนี้เพื่อจะหาจุดที่ระบบทำงานเข้ากันได้อย่างเหมาะสมและเกิดประสิทธิภาพสูงสุด กระหะเทอร์โมอิเล็กตริกออกแบบให้เลือกการทำงานได้ 3 โหมด ได้แก่ โหมดร้อน โหมดอุ่น และโหมดเย็น การทดลองหารูปแบบการต่อวงจรและหาค่าแรงดันไฟฟ้าที่เหมาะสมสำหรับจ่ายให้กับเทอร์โมอิเล็กตริกในแต่ละโหมดการทำงานสามารถทำได้ดังนี้

1. การทดลองหาค่าแรงดันที่เหมาะสมสำหรับโหมดการทำงานเย็น

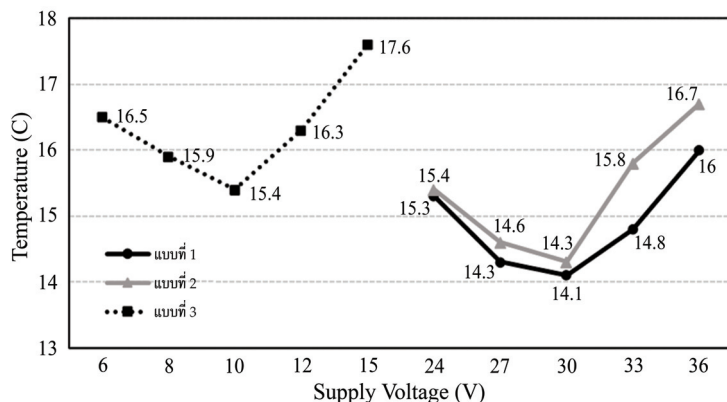
กระหะเทอร์โมอิเล็กตริกที่สร้างขึ้นใช้เทอร์โมอิเล็กตริกจำนวน 6 โมดูล ติดตั้งในตำแหน่งกระจายทั้งแผ่นกระหะเพื่อสามารถให้ความร้อน/ความเย็น ครอบคลุมพื้นที่ของกระหะได้ การทดลองหาค่าระดับแรงดันไฟฟ้าที่เหมาะสมสำหรับการทำงานในโหมดทำความเย็นของกระหะนั้น ทำการทดลอง 3 รูปแบบ ดังนี้

- แบบที่ 1 ต่อโมดูลบนกรอบกัน 3 โมดูล/ชุด แล้วนำมาต่อขนานกันดังรูปที่ 6(ก)
- แบบที่ 2 ต่อโมดูลนานากรอบกัน 3 โมดูล/ชุด แล้วนำมาต่ออนุกรมกันดังรูปที่ 6(ข)
- แบบที่ 3 ต่อขนานกันทั้ง 6 โมดูล ดังรูปที่ 6(ค)



รูปที่ 6 รูปแบบการต่อวงจรทดลองหาค่าระดับแรงดันไฟฟ้าที่เหมาะสมกับเทอร์โมอิเล็กตริกโมดูล

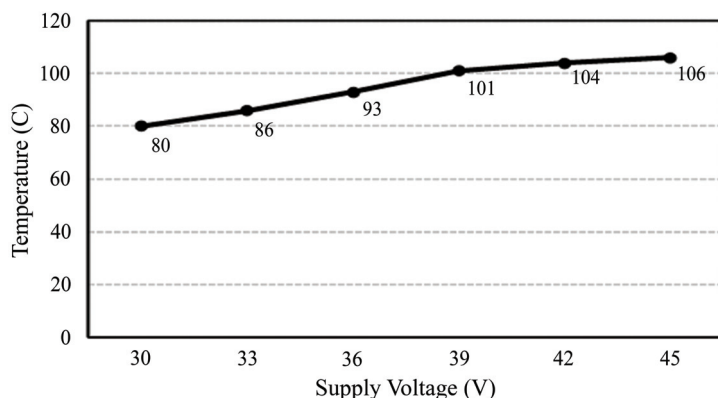
การทดลองหาระดับแรงดันที่เหมาะสมในโหมดทำความเย็น จะทำการต่อวงจรตามรูปแบบที่กำหนดไว้ (รูปที่ 6) และปรับแรงดันไฟฟ้าที่จ่ายให้กับวงจรเป็นลำดับขั้นจากน้อยไปมาก ทำการอ่านค่าอุณหภูมิที่กระหะสามารถทำได้ที่ระดับแรงดันค่าต่าง ๆ ทำซ้ำให้จนครบทุกรูปแบบวงจร และนำค่าอุณหภูมิที่ได้จากการทดลองทั้ง 3 รูปแบบ มาเขียนเป็นกราฟเบรียบเทียบกัน จากรูปที่ 7 เห็นได้ว่าการต่อวงจรแบบที่ 1 จะสามารถทำอุณหภูมิได้ต่ำสุดที่ 14.1 องศาเซลเซียส ที่ระดับแรงดัน 30 โวลต์คงที่



รูปที่ 7 ผลการทดลองหาค่าแรงดันไฟฟ้าที่เหมาะสมสำหรับจ่ายให้เทอร์โมอิเล็กทริกโมดูลใหม่ด้วยการทำความเย็น

2. การทดลองหาค่าแรงดันที่เหมาะสมสำหรับใหม่ด้วยการทำความร้อน

ในส่วนของใหม่ด้วยการทำความร้อนนั้นเลือกใช้วิธีการต่อแบบเดียวกับใหม่ด้วยการทำความเย็น โดยหาระดับแรงดันที่เหมาะสมเพื่อให้ได้อุณหภูมิที่สูงที่สุด จากการทดลองสรุปได้ว่าเมื่อเพิ่มแรงดันให้สูงขึ้น อุณหภูมิก็จะสูงขึ้นตามไปด้วย เป็นลักษณะกราฟแบบเส้นตรงดังรูปที่ 8 ดังนั้นจึงเลือกใช้แรงดันที่ 45 โวลต์ เพื่อให้แรงดันที่ต่อกครอตต่ำโมดูลเท่ากับ 15 โวลต์ ซึ่งได้อุณหภูมิที่สูงที่สุด 107 องศาเซลเซียส



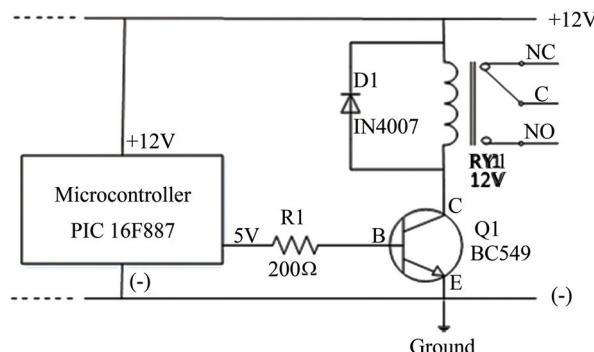
รูปที่ 8 ผลการทดลองหาค่าแรงดันไฟฟ้าที่เหมาะสมสำหรับจ่ายให้เทอร์โมอิเล็กทริกโมดูลใหม่ด้วยการทำความร้อน

ตารางที่ 2 สรุประดับแรงดันไฟฟ้าที่ใช้งานแต่ละใหม่ด้วยการทำความเย็น

ใหม่ด้วยการทำความเย็น	ระดับแรงดัน (โวลต์)
ใหม่ด้วยการทำความเย็น	30
ใหม่ด้วยการทำความเย็น	30
ใหม่ด้วยการทำความร้อน	45

วงจรจ่ายไฟและวงจรควบคุม

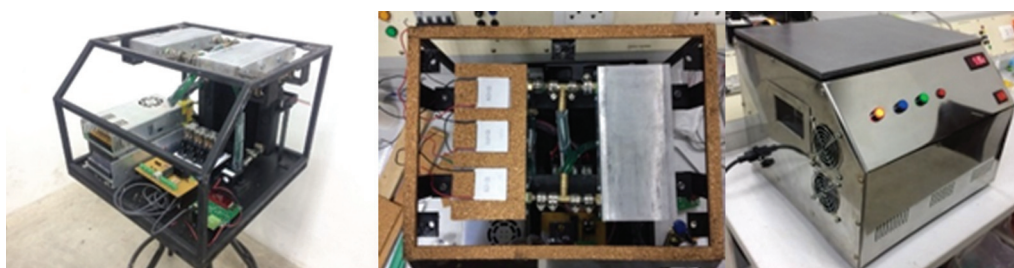
จากตารางที่ 2 ระดับแรงดันไฟฟ้าที่จะจ่ายให้เทอร์โมอิเล็กทริกไมคูลมีอยู่ 2 ระดับ คือ 30 โวลต์ และ 45 โวลต์ อีกทั้งการทำงานในโหมดทำความเย็นจำเป็นต้องสับขั้วของเทอร์โมอิเล็กทริกอีกด้วย เพื่อควบคุมการจ่ายไฟให้เทอร์โมอิเล็กทริกไมคูลและการใช้งานที่คล่องตัว จึงใช้ไมโครคอนโทรลเลอร์ PIC16F887 มาควบคุมการทำงาน (รูปที่ 2) โดยทำหน้าที่รับคำสั่งจากปุ่มกดที่หน้าเครื่องเพื่อควบคุมให้รีเลย์จ่ายไฟให้กับเทอร์โมอิเล็กทริกตามโหมดการทำงานของกระทะ แต่เนื่องจากไมโครคอนโทรลเลอร์ไม่สามารถขับชุดลวดรีเลย์ให้ทำงานได้โดยตรง จึงต้องเพิ่มวงจรทรานซิสสเตอร์เพื่อช่วยขยายกระแสให้สูงขึ้น โดยต่อทรานซิสสเตอร์ Q1 เข้ากับพอร์ตของไมโครคอนโทรลเลอร์และมีตัวต้านทาน R1 ทำหน้าที่จำกัดกระแสไฟฟ้าที่ไหลเข้าขาเบลของทรานซิสสเตอร์ Q1 ซึ่งจะทำงานก็ต่อเมื่อพอร์ตของไมโครคอนโทรลเลอร์ มีสถานะเป็น “1” เมื่อ Q1 ทำงาน กระแสไฟฟ้าจะไหลผ่านชุดลวดของรีเลย์ซึ่งต่ออยู่กับขาคอลเลกเตอร์ ของทรานซิสสเตอร์ลงกราวด์ (รูปที่ 9) รีเลย์ก็จะสามารถเปลี่ยนสภาวะการทำงานได้ และจะกลับสู่สภาวะเดิม เมื่อพอร์ตของไมโครคอนโทรลเลอร์ มีสถานะเป็น “0”



รูปที่ 9 วงจรขับรีเลย์

โครงสร้างของกระทะเทอร์โมอิเล็กทริก

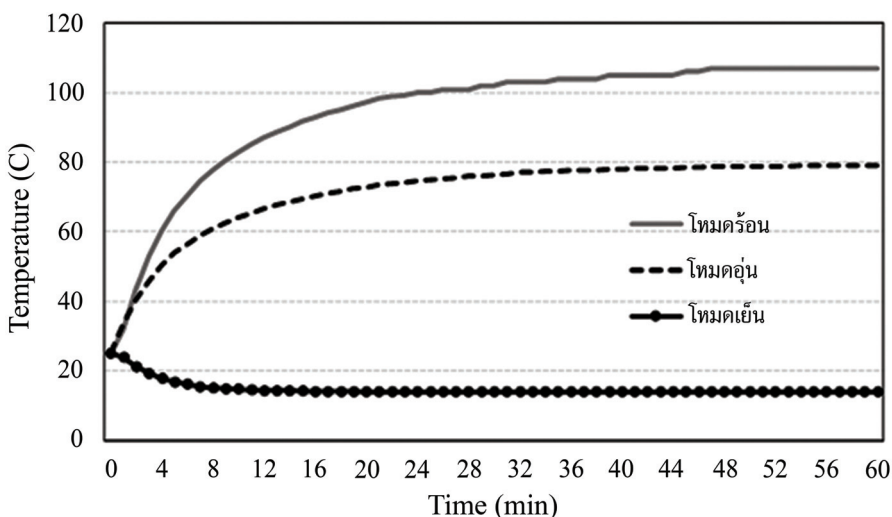
หลังจากหาค่าแรงดันที่เหมาะสมในแต่ละโหมดการทำงานพร้อมออกแบบวงจรควบคุมและจ่ายไฟฟ้าได้ตามที่ต้องการแล้ว จึงเริ่มประกอบงานจริง โดยใช้เหล็กทำเป็นโครงสร้างของเครื่องและใช้แผ่นสแตนเลสทำเป็นเปลือกด้านนอก รูปที่ 10 แสดงขั้นตอนการประกอบกระทะเทอร์โมอิเล็กทริกและขั้นงานที่เสร็จสมบูรณ์แล้ว



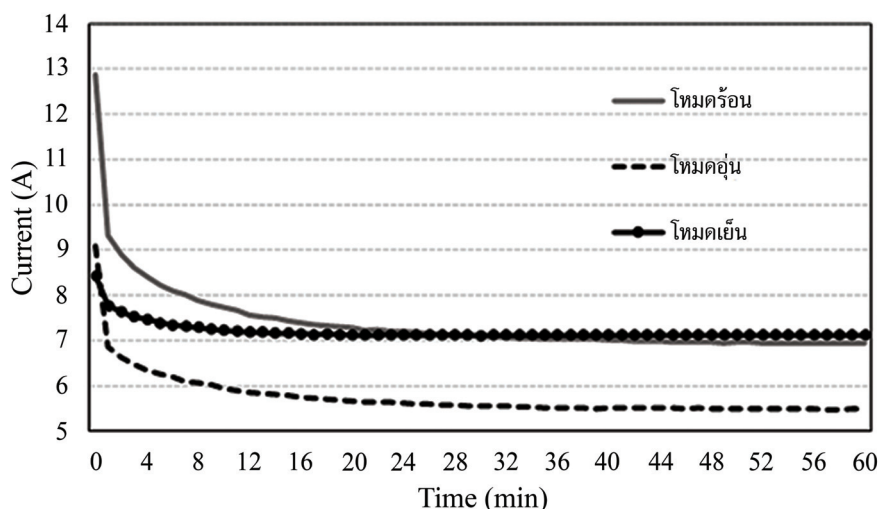
รูปที่ 10 ขั้นตอนการประกอบกระทะเทอร์โมอิเล็กทริกและกระทะที่ประกอบเสร็จสมบูรณ์แล้ว

ผลการวิจัย

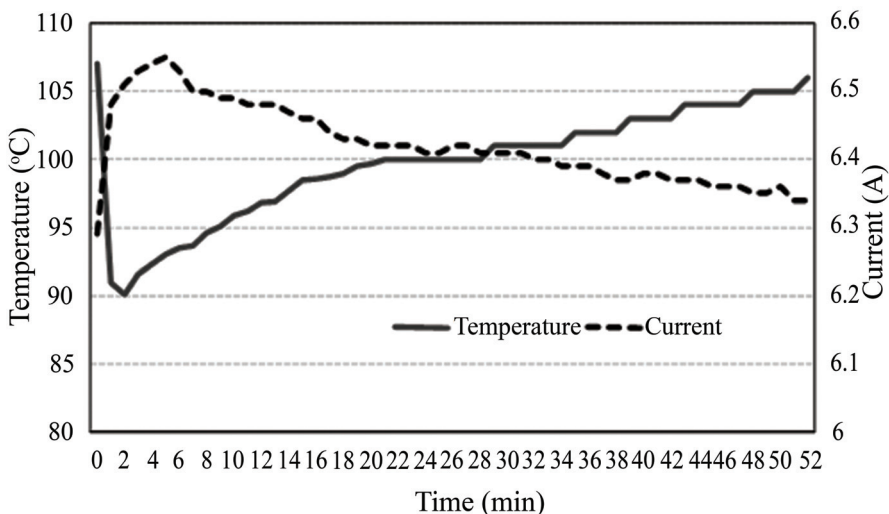
ทำการทดลองวัดค่าอุณหภูมิที่กระแทกทำได้ในแต่ละโหมดการทำงานเทียบกับเวลาโดยใช้กระแทกเริ่มต้นทำงานที่อุณหภูมิท้อง วัดและบันทึกผลอุณหภูมิที่หน้ากระแทก และกระแสไฟฟ้าที่กระแทกใช้ในทุก ๆ 1 นาที ผลการทดลองที่ได้แสดงดังรูปที่ 11 และรูปที่ 12 หลังจากนั้นจึงทำการทดลองใช้กระแทกเริ่มต้นของกระแทกชั้นนอกอาหารจริง เช่น ห่อคิ่วดาว หอดแพนเค้ก และลักษณะอาหารแข็ง เชิง โดยกระแสและอุณหภูมิขณะห่อคิ่วดาว 2 ฟอง แสดงดังรูปที่ 13



รูปที่ 11 อุณหภูมิที่กระแทกเริ่มต้นทำได้ในแต่ละโหมดเทียบกับเวลาในการทำงาน



รูปที่ 12 กระแสไฟฟ้าที่กระแทกเริ่มต้นใช้ในแต่ละโหมดเทียบกับเวลาในการทำงาน



รูปที่ 13 อุณหภูมิและกระแสไฟฟ้าที่กระแทกเทอร์โมอิเล็กตริกใช้ในโถมคร้อนขณะมีโอลด์เป็นไข่ดาว 2 พอง

อภิปรายผลการวิจัย

การทดลองใช้งานกระแทกเทอร์โมอิเล็กตริกที่ลรังชื่น ผลการทดลองที่ได้สามารถสรุปได้เป็นข้อ ๆ ดังต่อไปนี้

- ขณะไม่มีโอลด์ในโถมดทำความร้อน กระแทกทำอุณหภูมิสูงสุดได้ที่ 107 องศาเซลเซียล ใช้เวลาประมาณ 50 นาที โดยเริ่มต้นจากอุณหภูมิทึ้ง ในโถมค่อน กระแทกทำอุณหภูมิสูงสุดได้ที่ 79 องศาเซลเซียล ใช้เวลาประมาณ 50 นาที โดยเริ่มต้นจากอุณหภูมิทึ้ง และในโถมเดียวกับกระแทกทำอุณหภูมิได้ต่ำสุดที่ 14 องศาเซลเซียล ใช้เวลาประมาณ 30 นาที โดยเริ่มต้นจากอุณหภูมิทึ้งเช่นกัน

- ขณะมีโอลด์ ในโถมดทำความร้อน กระแทกสามารถทำให้ไข่ไก่สุกที่เวลาประมาณ 7 นาที และแบ่งแพนเค้กสุกที่เวลาประมาณ 10 นาที ในโถมค่อน กระแทกสามารถละลายน่องไก่ เช้๊แข็ง 2 กิโลกรัม ได้ที่เวลาประมาณ 25 นาที และในโถมเดียวกับ สามารถทำให้ไข่สอดอุณหภูมิทึ้งเมื่ออุณหภูมิลดลงเหลือ 15.3 องศาเซลเซียลได้ (รูปที่ 14)



รูปที่ 14 การใช้งานกระแทกเทอร์โมอิเล็กตริกทดสอบไข่ดาวและละลายน่องไก่ เช้๊แข็ง

ตารางที่ 3 การเปรียบเทียบการใช้พลังงานระหว่างกระเบื้องโมอิเล็กตริกกับกระเบื้องไฟฟ้าแบบอื่นในการต้มน้ำ 300 มิลลิลิตร ให้ได้อุณหภูมิ 80 องศาเซลเซียส

ประเภทของกระเบื้อง	เวลา (นาที)	พลังงาน (วัตต์)	ค่าไฟฟ้า (บาท)
กระเบื้องโมอิเล็กตริก	12	375	0.3316
กระเบื้องแบบดัดลดความร้อน	4	1,000	0.2948
เตาแม่เหล็กไฟฟ้า	8	1,500	0.8843

หมายเหตุ อัตราค่าไฟฟ้าที่ใช้ในการคำนวณ ลึบคันเมื่อวันที่ 29 มีนาคม 2562

จากการทดลองพบว่า โหมดทำความร้อนของกระเบื้องโมอิเล็กตริกเหมาะสมที่จะใช้ประกอบอาหารชนิดที่ไม่ต้องการความร้อนสูงมาก เช่น การหยอดไข่ดาว ไส้กรอก เบคอน หรือแพนเค้ก ในเมนูอาหารเช้า โหมดอุ่นเหมาะสมสำหรับใช้ในการละลายเนื้อลัตต์วัยชี้แจ้ง และโหมดทำความเย็น เหมาะสำหรับการเตรียมเนื้อลัตต์วัยก่อนการปูรุ่งสุก เช่น การหมักเนื้อลัตต์วัยกับเครื่องเทศต่าง ๆ ปริมาณการใช้พลังงานไฟฟ้าของกระเบื้องโมอิเล็กตริกที่สร้างขึ้นเปรียบเทียบกับการใช้พลังงานของเครื่องไฟฟ้าชนิดใกล้เคียงกันในการต้มน้ำที่อุณหภูมิห้องให้มีความร้อน 80 องศาเซลเซียส แสดงดังตารางที่ 3

บทสรุป

กระเบื้องโมอิเล็กตริกที่สร้างขึ้นนี้สามารถนำไปใช้ประกอบอาหารได้จริง จากการทดลองพบว่าในโหมดทำความเย็น ระบบระบายความร้อนที่สร้างขึ้นยังไม่สามารถระบายความร้อนได้ดีเท่าที่ควร จึงทำให้เทอร์โมอิเล็กตริกทำงานในโหมดทำความเย็นได้ไม่เต็มประสิทธิภาพ จึงควรจัดวางให้การระบายอากาศสามารถระบายความร้อนออกจากหม้อน้ำได้มากขึ้น เช่น การเจาะช่องด้านข้างทั้ง 2 ข้าง เพื่อให้อากาศไหลเวียนได้ดีขึ้น การติดตั้งเทอร์โมอิเล็กตริกไม่ดูดกับเครื่องแลกเปลี่ยนความร้อนนั้นต้องคิดตั้งให้พื้นผิวของขั้นงานทั้งสองแบบสนิทกันและต้องทำชาชิลิโคนะระบายความร้อนเพื่อช่วยเพิ่มประสิทธิภาพการนำความร้อน ความสามารถในการทำความเย็นจะเพิ่มมากขึ้นเมื่อสามารถระบายความร้อนออกจากด้านร้อนของโมดูลได้มากยิ่งขึ้น แนวทางการพัฒนากระเบื้องโมอิเล็กตริกก็คือ การเพิ่มจำนวนโมดูลกระเบื้องโมอิเล็กตริกเพื่อให้ทำความร้อนและความเย็นได้มากยิ่งขึ้น จากงานวิจัยนี้เราสามารถนำผลการวิจัยที่ได้ไปประยุกต์ใช้ในการสร้างขึ้นงานแบบอื่น ๆ ที่ต้องการสร้างความร้อนหรือความเย็นด้วยเทอร์โมอิเล็กตริกโมดูลได้

กิตติกรรมประกาศ

ผู้วิจัยขอขอบคุณ สาขาวิชาวิศวกรรมไฟฟ้า คณะวิศวกรรมศาสตร์ มหาวิทยาลัยเทคโนโลยีราชมงคลรัตนโกสินทร์ ที่ให้การสนับสนุนด้านสถานที่และเครื่องมือในการทำวิจัย และขอขอบคุณ มหาวิทยาลัยเทคโนโลยีราชมงคลรัตนโกสินทร์ ที่ได้ให้การสนับสนุนงบประมาณในการทำวิจัยเรื่องนี้จากงบประมาณเงินรายได้ ประจำปี พ.ศ. 2562 ทำให้งานวิจัยนี้ดำเนินการสำเร็จลุล่วงไปได้ด้วยดี

References

- [1] Jensak, E. and Smit, I. (2005). Thermoelectric Water Cooler. **The 1st Conference On Energy Network of Thailand, Pattaya, Chonburi**. Thailand, Pages AE02-1 - AE02-4 (in Thai)
- [2] Rowe D. M. (1995). **CRC Handbook of Thermoelectrics**. CRC Press, USA, pp. 489-501
- [3] Arenas A, Vázquez J., Palacios R., (2002), Performance Analysis of Thermoelectric Pellets with Non-Constant Cross Sections. In **7th European Workshop on Thermoelectrics**. Pamplona, Spain.
- [4] Gao, M., Rowe, D. M. (1999). Cooling Performance of Integrated Thermoelectric Microcooler. **Solid-State Electronics**. Vol. 43, Issue 5, pp. 923-929. DOI: 10.1016/S0038-1101(99)00045-3
- [5] Office of the Consumer Protection Board. (2016). **Silent Harm from Aluminum Containers**. Access (13 December 2018). Available (http://www.ocpb.go.th/download/article/article_20171215140715.pdf) (in Thai)

การศึกษาอิทธิพลของสัดส่วนอากาศร้อนในลมเวียนกลับที่ส่งผลต่อพฤติกรรมการอบแห้งเนื้อปลา niloticusด้วยเครื่องอบแห้งลมร้อนที่ติดตั้งวัสดุพรุนชนิดตาข่ายสแตนเลส

A Study Effect of Hot Air Recirculating Ratio on Drying Behavior of Tilapia by Using a Hot Air Dryer Installed with Stainless Wire Mesh Porous Material

รตินันท์ เหลือมพล^{1*} สังวาลย์ บุญจันทร์¹ คุมเพ็ชร อินลา² และบัณฑิต กฤตากม¹

Ratinun Luampon^{1*} Sungwan Bunchan¹ Kompet Inla² Bundit Krittakom¹

Received: February 28, 2019; Revised: June 10, 2019; Accepted: June 11, 2019

บทคัดย่อ

งานวิจัยนี้มีวัตถุประสงค์เพื่อศึกษาอิทธิพลของสัดส่วนอากาศร้อนในลมเวียนกลับที่ส่งผลต่อพฤติกรรมการอบแห้งเนื้อปลา niloticusด้วยเครื่องอบแห้งที่ติดตั้งวัสดุพรุนชนิดตาข่ายสแตนเลส เครื่องอบแห้งนี้จะเป็นการพัฒนาการอบแห้งโดยการทำกันร่วมกันระหว่างลมร้อนในลมเวียนกลับและวัสดุพรุนก่อนเข้าห้องอบแห้ง เพื่อนำไปในการอบแห้ง คือ อุณหภูมิ และความเร็วลมร้อนคงที่ 70 °C และ 2 m/s ตามลำดับ สัดส่วนของอากาศที่ให้ลมเวียนกลับ (C_{air}) เข้ามายังห้องอบแห้งเท่ากับ 0 40 60 และ 80 % ใช้เนื้อปลา nil เป็นวัสดุอบแห้ง และทำการเก็บข้อมูลระหว่างการทำทดลองทุก ๆ 20 นาที จนกว่ามวลของเนื้อปลา nil คงที่ในการศึกษาพฤติกรรมการอบแห้งจะพิจารณาตัวแปรดังนี้ คือ ปริมาณความชื้นมาตรฐานแห้ง (M_d) อัตราส่วนความชื้น (MR) อัตราการอบแห้ง (DR) และความลึกลงของพลาสติกงานจำเพาะ (SEC) และสมการอบแห้งแบบขั้นบางได้ถูกนำเสนอเพื่อทำนายพฤติกรรมการอบแห้ง จากการทำทดลองพบว่า DR และ M_d จะลดลงเมื่อระยะเวลาการอบแห้งเพิ่มขึ้น และ DR จะมีค่าสูงขึ้นเมื่อค่า C_{air} เพิ่มขึ้นและค่า M_d สูงโดยเวลาที่ใช้ในการอบแห้งจะอยู่ระหว่าง 420 – 440 นาที และมีค่า DR สูงที่สุดเท่ากับ 0.22 kg_{water}/min

¹ คณะวิศวกรรมศาสตร์และสถาปัตยกรรมศาสตร์ มหาวิทยาลัยเทคโนโลยีราชมงคลอีสาน นครราชสีมา

² คณะเกษตรศาสตร์และเทคโนโลยี มหาวิทยาลัยเทคโนโลยีราชมงคลอีสาน วิทยาเขตสุรินทร์

¹ Faculty of Engineering and Architecture, Rajamangala University of Technology Isan, Nakhon Ratchasima

² Faculty of Agriculture and Technology, Rajamangala University of Technology Isan, Surin Campus

* Corresponding Author E - mail Address: ratinun.lu@rmuti.ac.th

ค่า SEC จะลดลงเมื่อ C_{air} เพิ่มขึ้น ซึ่งค่า C_{air} เท่ากับ 80 % จะสามารถลดค่า SEC ได้มากที่สุดถึง 49.60 % โดยมีค่า SEC ต่ำที่สุดคือ 3.14 MJ/kg_{water evaporated} ที่ $C_{air} = 80\%$ สำหรับการศึกษาสมการอบแห้งแบบชั้นบางที่สามารถอธิบายพฤติกรรมการอบแห้งได้สอดคล้องกับผลการทดลองมากที่สุดคือ สมการ Modified Midilli ซึ่งมีค่า R^2 มากกว่า 0.9964

คำสำคัญ : พฤติกรรมการอบแห้ง; อากาศไหห่าวีyanกลับ; สมการอบแห้งแบบชั้นบาง; วัสดุพูนชนิดตาข่ายสแตนเลส;
ความลินเปลืองพลังงานจำเพาะ

Abstract

This research aimed to study the effect of hot air recirculating ratio on behavior of tilapia drying by using a hot air dryer by installed with stainless wire mesh porous material. A present dryer was modified by co-operation of recirculating hot air and porous material at the inlet of drying chamber. In experiment, hot air temperature and velocity were maintained at 70 °C and 2 m/s respectively. Hot air recirculating ratio (C_{air}) was varied by 0, 40, 60, and 80 %. Tilapia sliced was used as a drying product and mass of tilapia was recorded at interval 20 min during drying process until saturated mass condition. In this study, parameters considered of investigate the drying behavior were: dry basis moisture content (M_d), moisture ratio (MR), drying rate (DR) and specific energy consumption (SEC). Thin layer drying models were also discussed in order to predict the drying behavior. From experimental result it was found that DR and M_d were decreased as increasing drying time. DR was increased with C_{air} and M_d . Drying time was varied between 420 - 440 min and the highest DR become 0.22 kg_{water}/min. SEC was decreased as C_{air} increased. The maximum reduction of SEC being 49.60 % was obtained at $C_{air} = 80\%$. The minimum SEC gave 3.14 MJ/kg_{water evaporated} at $C_{air} = 80\%$. For a study on thin layer drying models, the Modified Midilli model was most agreement with experimental result which R^2 was more than 0.9964.

Keywords: Drying Behavior; Hot Air Recirculating; Thin Layer Drying Model; Stainless Wire Mesh Porous Material; Specific Energy Consumption;

บทนำ

ปลา尼ลเป็นปลาที่อาศัยอยู่ในน้ำจืดพื้นมากในภาคตะวันออกเฉียงเหนือของประเทศไทย อาศัยอยู่ตามแม่น้ำ ลำคลอง ทะเลสาบ อ่างเก็บน้ำ หนองและบึงทั่วทุกภาคของประเทศไทย นอกจากนี้ปลา尼ลยังพบในประเทศจีน อินเดีย ศรีลังกา อินโดนีเซีย และพิลีปปินส์อีกด้วย ปลา尼ลมีลักษณะเด่นที่ตัวแบนมีเกล็ดตามแนวเส้นข้างตัว ปลา尼ลถือเป็นปลาเศรษฐกิจที่ทำง่ายในท้องถิ่นและคนไทยนิยมบริโภค 1 ใน 5 อันดับแรก คือ ปลา尼ล

ปลาช่อน ปลาดุก ปลาทับทิม และปลาสวาย [1] ปลานิลนั้นมีลักษณะเด่นคือ สามารถเพาะเลี้ยงได้ในเกือบทุกภูมิภาคของโลก เจริญเติบโตเร็วและมีปัญหาเรื่องโรคหน้อย ปัจจุบันความต้องการบริโภคปลานิลในตลาดโลกโดยเฉพาะในประเทศไทยที่พัฒนาแล้วมีแนวโน้มเพิ่มสูงขึ้น ส่วนหนึ่งนั้นเนื่องมาจากปลานิลเป็นปลาเนื้อขาว จึงเป็นที่ต้องการในกลุ่มของผู้บริโภคที่ใส่ใจในสุขภาพ ประกอบกับเนื้อปลา尼ลมีรสชาตี สามารถดัดแปลงไปเป็นวัตถุดิบที่ใช้ประกอบอาหารของหลาย ๆ ชาติ มีราคาถูกเมื่อเทียบกับปลาเนื้อขาวชนิดอื่น ๆ จึงเหมาะสมต่อการนำมาเป็นวัตถุดิบและนำมาแปรรูปเพื่อสร้างมูลค่าเพิ่ม ด้วยเหตุนี้จึงมีการแปรรูปปลานิลในรูปแบบต่าง ๆ เพื่อการเก็บรักษาที่ยาวนานขึ้น สะดวกต่อการบริโภค โดยการทำแห้งปลา尼ลเป็นอีกวิธีการหนึ่งที่นิยมใช้ในการแปรรูปปลา尼ล เช่น กัน สำหรับการทำแห้งผลิตผลทางการเกษตรนั้น วิธีที่ประชาชนส่วนใหญ่นิยมใช้คือการทำแห้งโดยใช้แสงแดด เพิร์เวลงทุนน้อยแต่ต้องใช้ระยะเวลาในการตากแห้งนานเนื่องจากมีอัตราการทำแห้งช้า พลิตภัณฑ์ตากแห้งไม่สะอาด มีสัตว์หรือแมลงมารบกวน เมื่อสภาพอากาศไม่เอื้ออำนวย จะไม่สามารถทำการตากแห้งได้ และในปัจจุบันนี้ได้มีการใช้ห้องอบแห้งแบบลมร้อนมากขึ้น เพื่อให้มีอัตราการอบแห้งคงที่ สามารถอบแห้งได้ตลอดเวลา และยังสามารถป้องกันการปนเปื้อนได้ โดยในปี ค.ศ. 2012 Toomthong, P. et al. [2] ได้ศึกษาการอบแห้งปลา尼ลด้วยลมร้อนและทดสอบการการอบแห้งขั้นบางที่เหมาะสมสำหรับทำนายจำนวนพลศาสตร์การอบแห้งปลา尼ล โดยการทดลองอบแห้งภายใต้เงื่อนไขที่ความเร็วลมร้อน 1.0 1.5 และ 2.0 m/s และอุณหภูมิอบแห้ง 50 60 และ 70 °C พบว่า อัตราการอบแห้งและความลื้นเปลือยพลังงานจำเพาะจะเพิ่มขึ้น เมื่อเพิ่มความเร็วลมหรืออุณหภูมิอบแห้ง โดยอัตราการอบแห้งจะสูงที่สุดที่อุณหภูมิ 70 °C และความเร็วลมร้อน 2.0 m/s

สำหรับประเทศไทยในระดับอุตสาหกรรมการอบแห้งส่วนใหญ่จะใช้เครื่องอบแห้งแบบลมร้อนที่ใช้เชื้อเพลิงพาณิชย์เป็นแหล่งให้ความร้อนกับชุด漉ดความร้อนและการเผาไหม้จากเชื้อเพลิงแก๊สหรือชีวมวลเป็นหลัก ซึ่งมีการลื้นเปลือยพลังงานอย่างมาก โดยงานวิจัยของ Kesai, S. et al. [3] ได้ทำการอบแห้งมันฝรั่งแผ่นด้วยการใช้เตาแก๊สแบบอินฟราเรด สามารถอบแห้งมันฝรั่งแผ่นได้ครั้งละ 50 kg มีเงื่อนไขความชื้นเริ่มต้น 650 %dry basis อบแห้งจนมีความชื้นสุดท้าย 12.7 %dry basis ความเร็วลมภายในห้องอบแห้ง 0.5 m/s ผลการทดลองพบว่าที่อุณหภูมิ 50 60 และ 70 °C ใช้เวลาในการอบแห้ง 5 4.5 และ 4 ชั่วโมง อัตราการอบแห้งเฉลี่ย 7.75 8.50 และ 9.47 kg_{water/hr} และการลื้นเปลือยพลังงานจำเพาะเฉลี่ยจะมีค่าลูงขึ้นเมื่ออุณหภูมิในการอบแห้งเพิ่มขึ้น คือ 3.46 3.81 และ 6.67 MJ/kg_{water,evap} ตามลำดับ โดยปัจจุบันการลดการลื้นเปลือยพลังงานในกระบวนการการอบแห้งกำลังเป็นที่นิยมศึกษาเพื่อให้เกิดการใช้พลังงานให้คุ้มค่ามากที่สุด เช่นในงานวิจัยของ Duangjun, W. et al. [4] และ Luampon, R. and Krittacom, B. [5] ได้ศึกษาการอบแห้ง ปลานิลด้วยการใช้วัสดุพูนชนิดตาข่ายสแตนเลสสามารถวางแผนของวิธีการให้ลมของลมร้อนเพื่อลดการลื้นเปลือยพลังงานพบว่า วัสดุพูนที่ใช้สามารถลดการลื้นเปลือยพลังงานลงได้มีค่าความลื้นเปลือยพลังงานจำเพาะ (Specific Energy Consumption, SEC) น้อยกว่าการอบแห้งที่ไม่ติดตั้งวัสดุพูน เนื่องจากวัสดุพูนชนิดตาข่ายสแตนเลสสามารถกันเก็บพลังงานความร้อนและช่วยล่งเสริมการแพร่รังสีความร้อนไปในสองทิศทาง [6] ซึ่งสามารถอธิบายได้ว่า ทิศทางแรกเป็นการแพร่รังสีความร้อนกลับไปทำการอุ่นอากาศที่ใกล้เข้ามาให้มีอุณหภูมิสูงขึ้น และอีกทิศทางหนึ่งวัสดุพูนจะมีการแพร่รังสีความร้อนไปยังห้องอบแห้งจึงล่งผลให้กลไกการอบแห้งจะไม่มีพียงแต่การพากความร้อนเท่านั้น [5] แต่เครื่องอบแห้งแบบนี้ยังมีประสิทธิภาพการใช้พลังงานต่ำ เนื่องจากไม่มีการนำความร้อนของอากาศที่ออกจากเครื่องอบแห้งกลับมาใช้ใหม่ (Heat Recovery) จึงทำให้เกิดการลื้นเปลือยพลังงานเป็นอย่างมาก [7]

การศึกษางานวิจัยที่เกี่ยวข้องกับการนำความร้อนเหลือทิ้งจากการอบแห้งกลับมาใช้ใหม่ Tippayawong, N. et al. [8] พบว่า การปรับปรุงประสิทธิภาพการใช้พลังงานและการลดค่าใช้จ่ายในการอบแห้งแบบลมร้อนด้วยการพาราความร้อนแบบบังคับที่มีการใช้อากาศร้อนไหลเวียนกลับ ประสิทธิภาพในการใช้พลังงานจะมีค่าเพิ่มขึ้น 29 % สามารถลดการล้นเปลือยเชื้อเพลิงและค่าใช้จ่ายได้ 45 % และ 27 % ตามลำดับ แต่งานวิจัยดังกล่าว [8] ยังไม่มีการนำวัสดุพรุนมาใช้งานร่วมกับการอบแห้ง ด้วยเหตุนี้คณาจารย์ที่มีแนวคิดที่จะศึกษาและพัฒนาเครื่องอบแห้งแบบลมร้อนให้มีประสิทธิภาพเพิ่มขึ้น โดยการติดตั้งท่อลมร้อนให้มีการใช้อากาศร้อนไหลเวียนกลับเพื่อให้เกิดการใช้พลังงานความร้อน อย่างมีประสิทธิภาพดังงานวิจัยของ Tippayawong, N. et al. มาร่วมกับการใช้ข้อดีของวัสดุพรุนชนิด ตาข่ายสเตนเลสที่ได้มีการศึกษาในงานวิจัยของ Luampon, R. and Krittacom, B. นอกจากนี้ การศึกษาล้มการอบแห้งแบบชั้นบางจะถูกนำมาเสนอเพื่อใช้ในการอธิบายพฤติกรรมการอบแห้งด้วย เครื่องอบแห้งลมร้อนที่ติดตั้งวัสดุพรุนชนิดตาข่ายสเตนเลสจะถูกศึกษาเพิ่มเติมจากงานวิจัยก่อนหน้า ซึ่งเป็นของคณาจารย์ประพันธ์เอง [5] โดยในบทความนี้จะมุ่งเน้นไปที่การศึกษาอิทธิพลของสัดส่วนลมร้อน ไหลเวียนกลับที่ไหลผ่านวัสดุพรุนชนิดตาข่ายสเตนเลสต่อพฤติกรรมการอบแห้งเนื้อปลาสติกเป็นหลัก

ทฤษฎีที่เกี่ยวข้อง

1. การวิเคราะห์การอบแห้ง

ในงานวิจัยนี้การวิเคราะห์พฤติกรรมการอบแห้งใช้ปริมาณความชื้นมาตรฐานแห้ง (Dry Basis Moisture Content, M_d) อัตราส่วนความชื้น (Moisture Ratio, MR) และอัตราการอบแห้ง (Drying Rate, DR) ซึ่งมีสมการในการคำนวณดังแสดงในสมการที่ (1) - (3) [9]

$$M_d = \frac{w_t - d}{d} \quad (1)$$

$$MR = \frac{M_d - M_e}{M_0 - M_e} \quad (2)$$

$$DR = \frac{\partial w}{\partial t} = \frac{w_t - w_{t-1}}{\Delta t} \quad (3)$$

โดยที่

M_d = ปริมาณความชื้นมาตรฐานแห้ง ($\text{kg}/\text{kg}_{\text{dry basis}}$)

M_o = ความชื้นเริ่มต้น ($\text{kg}/\text{kg}_{\text{dry basis}}$)

M_e = ความชื้นสมดุล ($\text{kg}/\text{kg}_{\text{dry basis}}$)

MR = อัตราส่วนความชื้น

DR = อัตราการอบแห้ง ($\text{kg}_{\text{water}}/\text{min}$)

w_t = มวลของผลิตภัณฑ์อบแห้งที่เวลา t ได้ η (kg)

d = มวลแห้งของผลิตภัณฑ์อบแห้ง (kg)

Δt = ช่วงเวลาในการเก็บข้อมูล (min)

2. ค่าความสิ้นเปลืองพลังงานจำเพาะ (Specific Energy Consumption, SEC)

ค่าความสิ้นเปลืองพลังงานจำเพาะ (Specific Energy Consumption, SEC) คำนวณได้ดังสมการที่ (4) และ (5) [10]

$$SEC = \frac{E_{fan} + E_{gas}}{m_{water, evap}} \quad (4)$$

$$E_{gas} = (LHV)(m_{gas}^*)(t) \quad (5)$$

โดยที่

SEC	= ความสิ้นเปลืองพลังงานจำเพาะ (MJ/kg _{water evaporated})
$m_{water, evap}$	= ปริมาณน้ำที่ออกจากผลิตภัณฑ์อบแห้ง (kg _{water evaporated})
E_{fan}	= ความสิ้นเปลืองพลังงานของพัดลม (MJ)
E_{gas}	= ความสิ้นเปลืองพลังงานแก๊ส (MJ)
LHV	= ค่าความร้อนด้านต่ำของแก๊ส = 46.607 MJ/kg
m_{gas}^*	= อัตราการไหลของแก๊ส (kg/s)
t	= เวลาอบแห้ง (s)

3. สมการอบแห้งแบบขั้นบันได

ในการอบแห้งแบบขั้นบันไดมีการประยุกต์ใช้แบบจำลองทางคณิตศาสตร์เพื่ออธิบายปรากฏการณ์ของความล้มพันธ์ระหว่างอัตราส่วนความชื้นของผลิตภัณฑ์กับระยะเวลาการอบแห้งในหลายรูปด้วยกัน เช่น สมการ Two-Term Model สมการของ Henderson และ Pabis model หรือ สมการของ Lewis Model เป็นต้น โดยอัตราส่วนความชื้นของผลิตภัณฑ์สามารถหาได้จากการที่ (2) ดังนั้นกราฟแสดงอัตราส่วนความชื้นของผลิตภัณฑ์อบแห้งจะมีลักษณะแตกต่างกันออกไปขึ้นอยู่กับรูปแบบของสมการดังแสดงในตารางที่ 1

ตารางที่ 1 รูปแบบสมการการอบแห้งแบบขั้นบันได

Name	Models	References
1. Lewis	$MR = \exp(-kt)$	Bruce, D. M. [11]
2. Page	$MR = \exp(-kt^n)$	Page, G. E. [12]
3. Modified Page	$MR = \exp(-kt)^n$	White, G. M. et al. [13]
4. Henderson and Pabis	$MR = a \exp(-kt)$	Henderson, S. M. and Pabis, S. [14]
5. Logarithmic	$MR = a \exp(-kt) + c$	Togrul, I. T. and Pehlivan, D. [15]

ตารางที่ 1 รูปแบบสมการการอบแห้งแบบชั้นบาง (ต่อ)

Name	Models	References
6. Two-Term Model	$MR = a \exp(-k_0 t) + b \exp(-k_1 t)$	Henderson, S. M. [16]
7. Approximation of Diffusion	$MR = a \exp(-kt) + (1-a)\exp(-k a t)$	Yaldiz, O. et al. [17]
8. Wang and Singh	$MR = 1 + at + bt^2$	Wang, C. Y. and Singh, R. P. [18]
9. Simplified Fick's Diffusion	$MR = a \exp(-c(t/L^2))$	Diamante, L. M. and Munro, P. A. [19]
10. Modified Page Equation-II	$MR = \exp(-c(t/L^2)^n)$	Diamante, L. M. and Munro, P. A. [19]
11. Midilli	$MR = a \exp(-kt^n) + bt$	Midilli, A. et al. [20]
12. Modified Midilli	$MR = a \exp(-kt) + bt + c$	Charmongkolpradit, S. and Luampon, R. [21]

สำหรับการหาสมการอบแห้งแบบชั้นบางนั้น ในขั้นตอนการทดลองจะทำการอบแห้งจนกว่ามวลของสัดส่วนแห้งคงที่ ดังนั้นจึงกำหนดให้ค่าความชื้นสมดุลเมื่อเท่ากับศูนย์ [22] การวิเคราะห์ข้อมูลเพื่อหาสมการการอบแห้งแบบชั้นบางจะใช้วิธีการวิเคราะห์แบบ Non-linear Regression และนำค่าอัตราส่วนความชื้นที่ทำนายได้ของแต่ละลักษณะไปเปรียบกับผลการทดลอง โดยใช้ค่าความล้มเหลวทางสถิติเป็นเกณฑ์ในการเลือกสมการที่เหมาะสมสำหรับการทำนายการอบแห้ง สมการที่มีค่า Correlation Coefficient (R^2) มากที่สุด ค่า Reduced chi-square (χ^2) และ Root Mean Square Error (RMSE) น้อยที่สุด ดังสมการที่ (6) – (8) จะเป็นสมการที่เหมาะสมสำหรับนำไปทำนายการอบแห้งนี้ ค่าความล้มเหลวทางสถิติที่ใช้ในงานวิจัยนี้ประกอบไปด้วย

1. Correlation Coefficient (R^2)

$$R^2 = \frac{\left[\sum_{i=1}^N [(MR_{\text{exp},i} - MR_{\text{avg,exp}})(MR_{\text{pre},i} - MR_{\text{avg,pre}})] \right]^2}{\sum_{i=1}^N (MR_{\text{exp},i} - MR_{\text{avg,exp}})^2 \sum_{i=1}^N (MR_{\text{pre},i} - MR_{\text{avg,pre}})^2} \quad (6)$$

2. Reduced Chi-Square (χ^2)

$$\chi^2 = \frac{\sum_{i=1}^N (MR_{\text{exp},i} - MR_{\text{pre},i})^2}{N - z} \quad (7)$$

3. Root Mean Square Error (RMSE)

$$RMSE = \sqrt{\frac{1}{N} \sum_{i=1}^N (MR_{exp,i} - MR_{pre,i})^2} \quad (8)$$

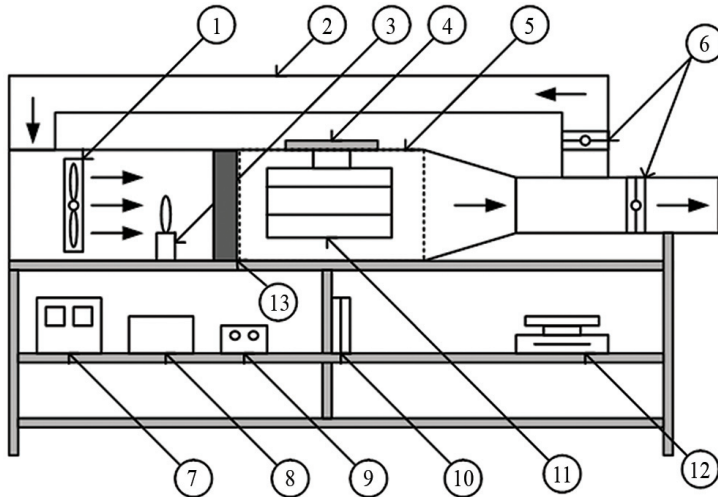
โดยที่

- i = ลำดับของค่า MR ที่พิจารณา
- N = จำนวนข้อมูลที่ใช้ในการคำนวณ
- z = จำนวนของค่าคงที่ของแต่ละสมการ
- MR_{exp} = อัตราส่วนความชื้นจากผลการทดลอง
- MR_{pre} = อัตราส่วนความชื้นจากผลการทำนาย
- $MR_{avg,exp}$ = อัตราส่วนความชื้นเฉลี่ยจากผลการทดลอง
- $MR_{avg,pre}$ = อัตราส่วนความชื้นเฉลี่ยจากผลการทำนาย

อุปกรณ์และวิธีการทดลอง

1. อุปกรณ์การทดลอง

ในการทดลองได้สร้างเครื่องอบแห้งที่ทำมาจากแผ่นสังกะสีทึมด้วยฉนวนกันความร้อน มีขนาดกว้าง 25 cm ยาว 150 cm และสูง 25 cm ความร้อนที่ได้มาจากการเผาไฟมีเชื้อเพลิงแก๊สหุงต้ม ด้วยหัวพ่นไฟและใช้พัดลมเป็นอุปกรณ์ในการเป่าอากาศร้อนให้ไฟลพ่านวัสดุพูนชนิดตาข่ายสแตนเลส เกรด 304 ที่มีขนาดความพรุน 8 PPI (Pore Per Inch) จำนวน 6 แผ่น (รูปที่ 1 หมายเหตุ 13) เพื่อให้เกิด การคุ้งชักความร้อนและเปล่งรังสีก่อนที่จะไฟลเข้าไปยังห้องอบแห้งที่ทางออกของเครื่องอบแห้งมีท่อลมร้อน ให้อากาศไฟลเวียนกลับไปยังทางเข้า (รูปที่ 1 หมายเหตุ 2) เพื่อให้เกิดการแลกเปลี่ยนความร้อนกับอากาศที่ไฟลเข้ามาใหม่ โดยใช้พัดลมช่วยในการคุ้งชักอากาศกลับและใช้วาล์วปีกผีเสือควบคุมปริมาณการไฟลของอากาศ (รูปที่ 1 หมายเหตุ 6) สำหรับการทำหมุดล็อกส่วนอากาศไฟลเวียนกลับจะใช้การติดจากอุปกรณ์วัดความเร็วลมชนิด Hot Wire และทำการคำนวณอัตราการไฟลเข้มมวลเพื่อนำไปใช้แบ่งสัดส่วนอากาศไฟลเวียนกลับระหว่าง ตำแหน่งท่อลมร้อนไฟลเวียนกลับเทียบกับตำแหน่งทางออกของเครื่องอบแห้ง ซึ่งจะควบคุมสัดส่วน การไฟลกลับโดยการเปิดปิดวาล์วปีกผีเสือให้ได้สัดส่วนตามที่คำนวณไว้ ภายในห้องอบแห้งจะประกอบไปด้วย ถ้วยตวงแห้งที่ทำมาจากตาข่ายสแตนเลส และต่อเข้ากับโหลดเซลล์ (Load Cell) เพื่อทำการวัดมวลของ พลิตภัณฑ์ระหว่างกระบวนการอบแห้ง โดยจะทำการบันทึกมวลที่วัดได้ทุก 20 นาทีเข้าไปยัง Data Logger และนำข้อมูลที่ได้ไปเคราะห์ผลการทดลองต่อไป อุปกรณ์ในการทดลองแสดงได้ดังรูปที่ 1 ซึ่งประกอบไปด้วย 1) พัดลม 2) ท่อลมร้อนไฟลกลับ 3) หัวพ่นไฟ 4) โหลดเซลล์ 5) ห้องอบแห้งที่เหลี่ยมพื้นผ้าขนาด กว้าง 25 cm ยาว 150 cm สูง 25 cm 6) วาล์วเปิดปิดอากาศ 7) Data Logger 8) ตัวแปลงแรงดันไฟฟ้า 9) ชุดปรับความเร็วลม 10) ชุดปรับอัตราการไฟลของแก๊ส 11) ถ้วยตวงพลิตภัณฑ์ 12) เครื่องซั่นน้ำหนัก และ 13) วัสดุพูนชนิดตาข่ายสแตนเลสเกรด 304



รูปที่ 1 อุปกรณ์การทดลอง

2. วิธีการทดลอง

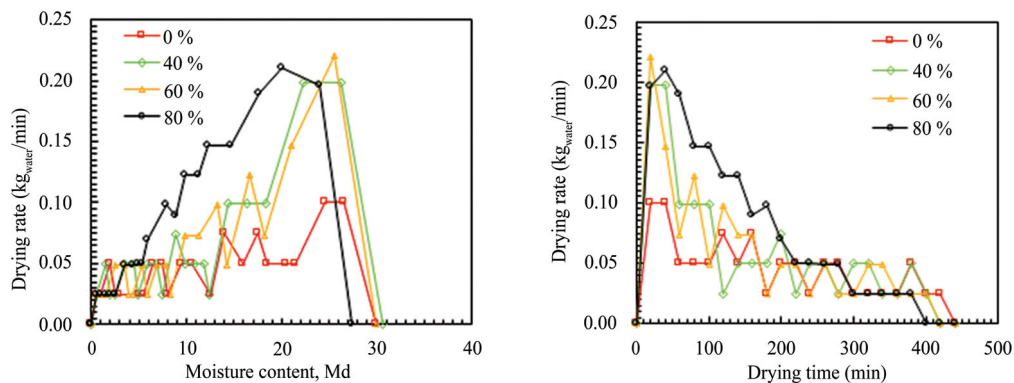
การทดลองนี้จะควบคุมอุณหภูมิอากาศร้อนและความเร็วลมให้คงที่ก่อนที่จะไฟลเข้าสู่ห้องอบแห้ง คือ อุณหภูมิ 70°C และความเร็ว 2 m/s [2] สัดส่วนของอากาศที่ไฟลเวียนกลับ (C_{air}) เข้ามายังห้องอบแห้งท่านท่อหมายเลข 2 ควบคุมปริมาณการไฟลอากาศด้วยวัล์วควบคุมหมายเลข 6 ในสัดส่วน 0% (ไม่มีอากาศไฟลเวียนกลับ) $40\ 60$ และ 80% ผลิตภัณฑ์ที่ใช้ในการอบแห้งคือ เนื้อปลา尼ล โดยนำเนื้อปลา尼ลมาหั่นให้ได้ขนาดกว้าง 3 cm ยาว 3 cm และหนา 1 cm เมื่ออุณหภูมิและความเร็วลมร้อนได้ตามสภาวะที่ต้องการจะนำเนื้อปลา尼ลที่หั่นเตรียมไว้วางบนถาดอบแห้ง โดยไม่ไฟลเนื้อปลา尼ลช้อนทับกัน เมื่อเสร็จกระบวนการกรองแห้งมวลของเนื้อปลา尼ลจะถูกบันทึกเข้าไปใน Data Logger ในช่วงเวลาทุก 20 นาที จนกว่ามวลจะคงที่จึงลิ้นสุดกระบวนการกรองแห้ง ข้อมูลที่บันทึกได้จะนำไปวิเคราะห์ผลการทดลองต่อไป

ผลการทดลอง

1. อิทธิพลของสัดส่วนอากาศไฟลเวียนกลับที่ส่งผลต่อพฤติกรรมการอบแห้ง

ผลการทดลองจะเป็นการเปรียบเทียบระหว่างการอบแห้งที่ไม่มีอากาศไฟลเวียนกลับ ($C_{\text{air}} = 0\%$) และมีอากาศไฟลเวียนกลับ (C_{air}) ที่สัดส่วน $40\ 60$ และ 80% อุณหภูมิลมร้อนคงที่ 70°C ความเร็วลมร้อนคงที่ 2 m/s จากการทดลองพบว่า การอบแห้งโดยมีอากาศไฟลเวียนกลับอัตราส่วนความชื้นจะลดลงเร็วกว่าไม่มีอากาศไฟลเวียนกลับ โดยค่า C_{air} เพิ่มมากขึ้นจะทำให้อัตราการอบแห้ง (Drying Rate, DR) สูงขึ้นและอัตราส่วนความชื้น (Moisture Ratio, MR) จะลดลง DR อัตราการอบแห้งจะสูงที่สุดเมื่อ C_{air} เท่ากับ 80% และ DR จะสูงเมื่อปริมาณความชื้น (M_d) ภายในผลิตภัณฑ์อบแห้งสูง เนื่องจากน้ำสามารถระเหยออกมากได้ปริมาณที่มากและรวดเร็วกว่า และอากาศที่ไฟลเวียนกลับมาได้สูญเสียความร้อนส่วนหนึ่งไประหว่างการอบแห้งแต่ยังมีปริมาณความร้อนเหลืออยู่ และเมื่อไฟลเวียนกลับมายังห้องอบแห้ง ผลิตภัณฑ์อบแห้งจะได้รับความร้อนเพิ่มมากขึ้น ปริมาณน้ำที่อยู่ในผลิตภัณฑ์อบแห้งจะระเหยออกมากได้มากขึ้นอัตรา

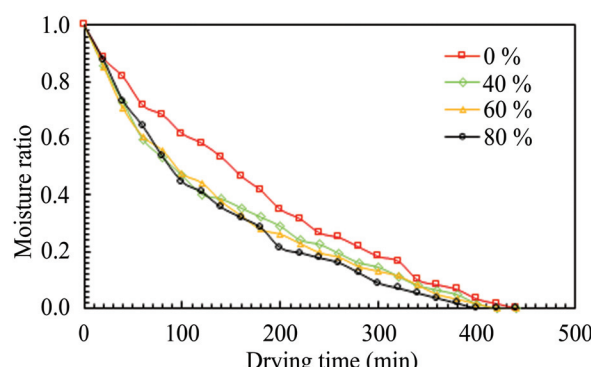
การอบแห้งจึงสูงขึ้น ทำให้ปริมาณความชื้นในผลิตภัณฑ์สามารถลดลงได้อย่างรวดเร็ว โดยจะเห็นได้ชัดในช่วง 150 นาทีแรกของการอบแห้งแสดงได้ดังรูปที่ 2 และอากาศที่ไฟลเวียนกลับมายังพาปริมาณความชื้นกลับมาด้วย ส่วนหนึ่งแต่ไม่ส่งผลต่อระยะเวลาการอบแห้งเนื่องจากความเร็วอากาศที่ใช้ในการอบแห้งสูงและเป็นการอบแห้งแบบระบบเปิดที่มีอากาศจากภายนอกมาผสมก่อนที่จะไฟลเข้าสู่ห้องอบแห้ง จึงทำให้ปริมาณความชื้นสามารถถ่ายเทออกจากห้องอบแห้งได้สะดวก



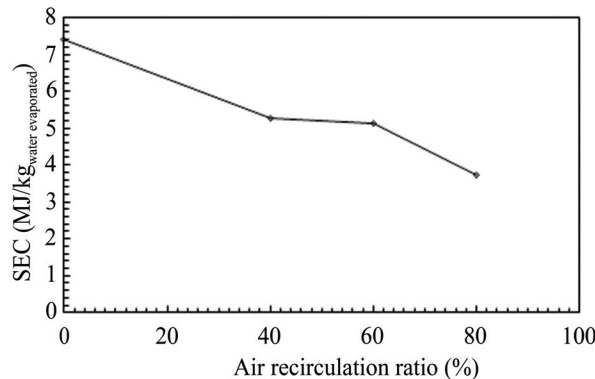
(ก) ความสัมพันธ์ระหว่างอัตราการอบแห้งกับ
ปริมาณความชื้น
รูปที่ 2 อิทธิพลของสัดส่วนอากาศไฟลเวียนกลับที่ส่งผลต่ออัตราการอบแห้ง ปริมาณความชื้น และเวลาอบแห้ง

(ข) ความสัมพันธ์ระหว่างอัตราการอบแห้งกับ
เวลาอบแห้ง

จากการทดลองในรูปที่ 3 แสดงอัตราส่วนความชื้นกับเวลาการอบแห้ง พบร่วมสัดส่วนของอากาศไฟลเวียนกลับ C_{air} เท่ากับ 0 % ใช้เวลาอบแห้ง 440 นาที และ C_{air} เท่ากับ 80 % ใช้เวลาอบแห้ง 420 นาที ซึ่งจากข้อมูลนั้นแห้งแล้วระยะเวลาจะแตกต่างกันเล็กน้อย เนื่องจากปัจจัยที่ส่งผลต่อระยะเวลาการอบแห้งมากที่สุดคือ อุณหภูมิและความเร็วอากาศ ซึ่งในการทดลองนี้ได้กำหนดให้อุณหภูมิและความเร็วอากาศคงที่เท่ากันทุกการทดลอง ดังนั้นจึงสามารถสรุปได้ว่าในการทดลองนี้สัดส่วนอากาศไฟลเวียนกลับ จะส่งผลต่ออัตราการอบแห้งมากกว่าระยะเวลาการอบแห้ง (Drying Time)



รูปที่ 3 ความสัมพันธ์ระหว่างอัตราส่วนความชื้นกับเวลาการอบแห้งของเนื้อปลาโนล



รูปที่ 4 ค่าความลินเปลี่ยนพลังงานจำเพาะของการอบแห้ง

การศึกษาค่า SEC ผลการทดลองจะเป็นการเปรียบเทียบระหว่างการอบแห้งที่ไม่มีอากาศในเวียนกลับและมีอากาศในเวียนกลับ จากผลการทดลองพบว่าการอบแห้งแบบมีอากาศในเวียนกลับ มีค่า SEC ต่ำกว่าแบบไม่มีอากาศในเวียนกลับ โดยสัดส่วนของอากาศในเวียนกลับเพิ่มขึ้นทำให้ค่า SEC ลดต่ำลง มีผลการทดลองดังนี้ การอบแห้งที่ C_{air} เท่ากับ 0 40 60 และ 80 % มีค่า SEC เท่ากับ 7.42 5.26 5.12 และ 3.14 MJ/kg_{water evaporated} ตามลำดับ แสดงได้ดังรูปที่ 4 ซึ่งจะเห็นได้ว่าเมื่อทำการอบแห้งโดยใช้อากาศในเวียนกลับ C_{air} เท่ากับ 80 % จะสามารถประหยัดพลังงานลงได้สูงถึง 49.60 % เนื่องจากเมื่ออากาศร้อนไหลเข้ามายังห้องอบแห้งอีกรั้ง อากาศยังคงเหลือพลังงานความร้อนอยู่ จึงเกิดการแลกเปลี่ยนพลังงานความร้อนกับอากาศที่ไหลเข้ามาใหม่ทำให้อากาศใหม่มีอุณหภูมิสูงขึ้น (Pre-Heat) จึงทำให้การลินเปลี่ยนพลังงานลดลงได้

2. การวิเคราะห์สมการการอบแห้งแบบขั้นบาง

เมื่อนำผลที่ได้จากการทดลองไปหาสมการการอบแห้งแบบขั้นบาง โดยใช้สมการในตารางที่ 1 มาวิเคราะห์ระหว่างอัตราล่วงความชื้น (MR) กับเวลาการอบแห้ง (t) โดยใช้วิธี Non-Linear Regression และนำค่าอัตราล่วงความชื้นที่คำนวณได้ของแต่ละสมการไปเปรียบกับผลการทดลอง โดยใช้ค่าความลับพันธ์ทางสถิติเป็นเกณฑ์ในการเลือกสมการที่เหมาะสมสำหรับการทำนายการอบแห้งนี้ จากนั้นนำผลที่ได้ไปเชิงกราฟ เพื่อเปรียบเทียบกับการทดลองจริง โดยสมการที่มีค่า Correlation Coefficient (R^2) มากที่สุด ค่า Reduced Chi-Square (χ^2) และ Root Mean Square Error (RMSE) น้อยที่สุดจะเป็นสมการที่เหมาะสมสำหรับนำไปทำนายพฤติกรรมการอบแห้งนี้ [6] ผลที่ได้แสดงในตารางที่ 2 พบว่าสมการ Modified Midilli เป็นสมการที่เหมาะสมสำหรับนำไปใช้ทำนายพฤติกรรมการอบแห้งมากที่สุด เนื่องจากมีค่า R^2 χ^2 และ RMSE ต่ำที่สุด โดยมีค่า R^2 เท่ากับ 0.99780 - 0.99860 χ^2 เท่ากับ 0.00002 - 0.00014 และ RMSE เท่ากับ 0.00370 - 0.01075

ตารางที่ 2 ค่าความสัมพันธ์ทางสถิติของสมการอบแห้งแบบชั้นบาง

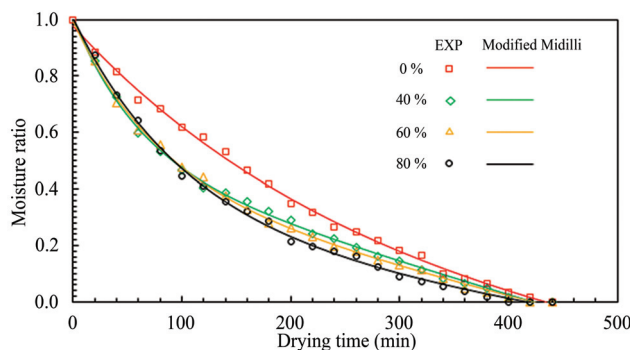
Models	Correlations	Air Recirculation Ratios (C_{air})			
		0 %	40 %	60 %	80 %
Lewis	R^2	0.98240	0.98640	0.99160	0.99480
	χ^2	0.00219	0.00111	0.00070	0.00055
	RMSE	0.04577	0.03252	0.02581	0.02288
Page	R^2	0.98800	0.98760	0.99190	0.99460
	χ^2	0.00112	0.00012	0.00003	0.00005
	RMSE	0.03204	0.01036	0.00482	0.00685
Modified Page	R^2	0.98240	0.98640	0.99160	0.99480
	χ^2	0.00112	0.00012	0.00003	0.00005
	RMSE	0.03204	0.01036	0.00482	0.00685
Henderson and Pabis	R^2	0.97990	0.98730	0.99230	0.99450
	χ^2	0.00015	0.00011	0.00005	0.00001
	RMSE	0.01182	0.00996	0.00681	0.00298
Logarithmic	R^2	0.99780	0.98900	0.99430	0.99700
	χ^2	0.00204	0.00019	0.00023	0.00033
	RMSE	0.04208	0.01286	0.01425	0.01682
Two-term model	R^2	0.99020	0.98920	0.99300	0.99450
	χ^2	0.00073	0.00051	0.00040	0.00031
	RMSE	0.02455	0.02059	0.01815	0.01600
Approximation of diffusion	R^2	0.98240	0.98910	0.99300	0.99480
	χ^2	0.00102	0.00001	0.00000	0.00002
	RMSE	0.03048	0.00296	0.00108	0.00403
Wang and Singh	R^2	0.99640	0.97050	0.97820	0.98360
	χ^2	0.00251	0.00280	0.00242	0.00219
	RMSE	0.04784	0.05059	0.04697	0.04471
Simplified Fick's diffusion	R^2	0.97990	0.98730	0.99230	0.99450
	χ^2	0.00213	0.00227	0.00222	0.00216
	RMSE	0.04307	0.04443	0.04393	0.04338
Modified Page equation-II	R^2	0.98800	0.98760	0.99190	0.99460
	χ^2	0.00075	0.00048	0.00013	0.00033
	RMSE	0.02554	0.03820	0.00908	0.00541
Midilli	R^2	0.99790	0.99640	0.99840	0.99810
	χ^2	0.00114	0.00079	0.00063	0.00037
	RMSE	0.03066	0.02549	0.02274	0.01759
Modified Midilli	R^2	0.99780	0.99830	0.99860	0.99830
	χ^2	0.00002	0.00014	0.00007	0.00002
	RMSE	0.00370	0.01075	0.00782	0.00434

เมื่อนำค่าอัตราส่วนความชื้นที่ได้จากการทำนายของสมการ Modified Midilli ไปเขียนเลี้นโค้ง การอบแห้งเพื่อเปรียบเทียบค่าระหว่างอัตราส่วนความชื้นที่ได้จากการทดลอง ($MR_{experiment}$) กับค่าที่ทำนายได้จากสมการของ Modified Midilli ($MR_{Modified Midilli}$) สามารถแสดงได้ดังรูปที่ 5 จากรูปจะนำรูปแบบของสมการ Modified Midilli ซึ่งประกอบด้วยค่าสัมประสิทธิ์ a b c และ k ดังแสดงในตารางที่ 3 มาสร้าง

สมการเพื่อใช้ในการคำนวณค่าอัตราส่วนความชื้นที่อยู่ในรูปของตัวแปร C_{air} และ t โดยใช้วิธีการคำนวณแบบถดถอยพหุ (Multiple Regression) ผลที่ได้จากการคำนวณจะเป็นสมการอบแห้งแบบขั้นบางสำหรับใช้คำนวณหาค่าอัตราส่วนความชื้นในการอบแห้งเนื้อปลา尼ลที่อุณหภูมิ 70 °C ความเร็วอากาศ 2 m/s และค่า C_{air} เท่ากับ 0 – 80 % โดยรูปแบบของสมการและค่าสามประสิทธิ์ที่ได้สร้างขึ้นแสดงไปดังสมการที่ (9) – (13)

ตารางที่ 3 ค่าสามประสิทธิ์การอบแห้งของสมการ Modified Midilli

C_{air} (%)	a	k	b	c
0	0.96140	0.00415	-0.00044	0.01809
40	0.52540	0.01571	-0.00113	0.46736
60	0.54740	0.01549	-0.00102	0.43613
80	0.72940	0.01127	-0.00061	0.23432



รูปที่ 5 การเปรียบเทียบค่าระหว่างอัตราส่วนความชื้นที่ได้จากการทดลอง ($MR_{experiment}$) กับค่าที่คำนวณได้จากสมการของ Modified Midilli ($MR_{Modified Midilli}$)

$$MR = a \exp(-kt) + bt + c \quad (9)$$

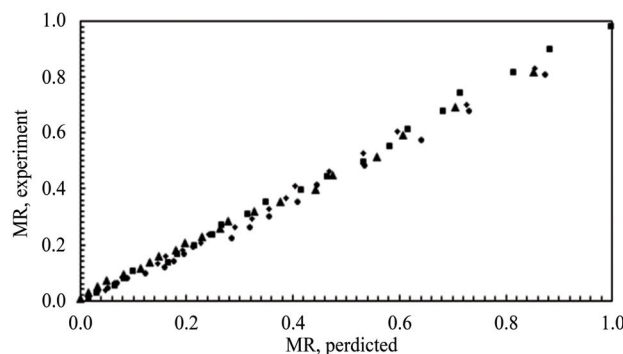
$$a = 2 \times 10^{-3} C_{air}^2 - 1.89 \times 10^{-2} C_{air} + 0.9614 \quad (10)$$

$$b = 3.77 \times 10^{-7} C_{air}^2 - 3.22 \times 10^{-5} C_{air} - 4.42 \times 10^{-4} \quad (11)$$

$$c = 2.13 \times 10^{-4} C_{air}^2 - 1.97 \times 10^{-2} C_{air} - 1.81 \times 10^{-2} \quad (12)$$

$$k = 5 \times 10^{-6} C_{air}^2 - 4.89 \times 10^{-4} C_{air} - 1.46 \times 10^{-3} \quad (13)$$

เมื่อนำสมการ Modified Midilli ที่อยู่ในรูปของ C_{air} และ t จากสมการที่ (9) - (13) มาแทนด้วยค่า C_{air} ที่ใช้ในการทดลองจริง คือ C_{air} เท่ากับ 0 40 60 และ 80 % เพื่อแสดงความแม่นยำในการทำนายค่าอัตราส่วนความชื้นที่สมการสามารถคำนวณได้ โดยนำไปเปรียบเทียบกับผลการทดลองจริงและแสดงค่าความลับพันธ์ระหว่างผลการทำนายและผลการทดลองจะสามารถแสดงความลับพันธ์ได้ดังรูปที่ 6 โดยรูปแบบของสมการ Modified Midilli ที่สร้างขึ้นมีค่า R^2 มากกว่า 0.9964 เมื่อเทียบกับผลการทดลอง



รูปที่ 6 การเปรียบเทียบค่าอัตราส่วนความชื้นที่ได้จากสมการ Modified Midilli (สมการที่ (9) - (13)) และผลการทดลอง

สรุปผลการทดลอง

การศึกษาอิทธิพลของสัดส่วนอากาศในหลังคาที่ส่งผลต่อพฤติกรรมการอบแห้งเนื้อปลาสติกด้วยเครื่องอบแห้งลมร้อนที่ติดตั้งวัสดุพูนชนิดตาข่ายสเตนเลสพบว่า การอบแห้งแบบมีอากาศในหลังคาที่ให้อัตราส่วนความชื้น (MR) จะลดลงเร็วกว่าแบบไม่มีอากาศในหลังคาที่ให้อัตราส่วนความชื้น (C_{air}) เพิ่มมากขึ้นจะทำให้อัตราการอบแห้ง (DR) สูงขึ้นและ MR จะลดลง และ DR จะสูงที่สุดเมื่อใช้ C_{air} เท่ากับ 80 % โดยเวลาที่ใช้ในการอบแห้งจะอยู่ระหว่าง 420 - 440 นาที และเมื่อ DR สูงที่สุดเท่ากับ 0.22 kg_{water}/min ในการวิเคราะห์ค่านการสูญเปลี่ยนพลังงานพบว่า การอบแห้งแบบใช้อากาศในหลังคาจะมีค่าความลับพลังงานจำเพาะ (SEC) ต่ำกว่าแบบไม่ใช้อากาศในหลังคา และเมื่อค่า C_{air} เพิ่มขึ้นทำให้ค่า SEC มีค่าต่ำลง โดยมีผลการทดลองดังนี้ C_{air} เท่ากับ 0 40 60 และ 80 % มีค่า SEC เท่ากับ 7.42 5.26 5.12 และ 3.14 MJ/kg_{water evaporated} ตามลำดับ ซึ่งพบว่า C_{air} เท่ากับ 80 % จะสามารถประยุกต์พลังงานได้สูงที่สุดเท่ากับ 49.60 % เมื่อเทียบกับไม่ใช้อากาศในหลังคา ($C_{air} = 0 \%$) สำหรับการวิเคราะห์สมการการอบแห้งแบบขั้นบาง พบว่าสมการ Modified Midilli เป็นสมการที่เหมาะสมสำหรับนำไปใช้ทำนายพฤติกรรมการอบแห้งเนื้อกลางที่สูด โดยรูปแบบของสมการ Modified Midilli ที่สร้างขึ้นมีค่า R^2 มากกว่า 0.9964 เมื่อเทียบกับผลการทดลอง

กิตติกรรมประกาศ

คณะผู้เขียนบทความขอขอบพระคุณสถาบันวิจัยและพัฒนา

Ratinun Luampon, Sungwan Bunchan, Kompet Inla, and Bundit Krittakom

ISSN 2672-9369 (Online)

มหาวิทยาลัยเทคโนโลยีราชมงคลอีสาน

ที่ให้เงินทุนสนับสนุนโครงการวิจัย ประจำปีงบประมาณ 2562 โดยโครงการวิจัยนี้ได้รับทุนอุดหนุนการวิจัย จาก มหาวิทยาลัยเทคโนโลยีราชมงคลล้านนา ตามสัญญาเลขที่ NKR2562REV006 และขอขอบพระคุณ สาขาวิศวกรรมเครื่องกล คณะวิศวกรรมศาสตร์และสถาปัตยกรรมศาสตร์ มหาวิทยาลัยเทคโนโลยี ราชมงคลล้านนา นครราชสีมา ที่ช่วยสนับสนุนและเอื้อเพื่อสถานที่สำหรับการวิจัยในครั้งนี้

References

- [1] Thaloengrach, N., Anupong, E., Supawan, T., and Yutthana, T. (2012). Drying of Air Dried Sheet Rubber Using Hot Air Dryer and Solar Dryer for Small Entrepreneurs and Small Rubber Cooperatives. **Burapha Science Journal**. Vol. 17, No. 2, pp. 50-59 (in Thai)
- [2] Toomthong, P., Teeboonma, U., Somsila, P., and Homchampa, T. (2012). Study on Drying Behavior of *Tilapia nilotica* Using Hot Air. **Agricultural Science Journal**. Vol. 43, 3 (Suppl.) pp. 115-118 (in Thai)
- [3] Kesai, S., Kumwan, R., and Chotivisarut, N. (2012). **A Potato Chips Dryer Using Infrared Gas Stove**. A Thesis for The Degree of Master. Mechanical Engineering. Rajamangala University of Technology Lanna (in Thai)
- [4] Duangjun, W., Tunme, S., Cheangsanoi, J., Krittacom, B., and Pongkun, J. (2012). A Study on Tilapia Drying with Hot Air Combine Porous Media. In **7th Engineering Science Technology and Architecture Conference 2012**. Dusit Princess Korat, Nakhon Ratchasima, Thailand. pp. 475-479 (in Thai)
- [5] Luampon, R. and Krittacom, B. (2016). Study Drying Kinetic of Tilapia using Hot Air Flowing through the Porous Media. In **13th Eco-Energy and Materials Science and Engineering Symposium**. Udonthani, Thailand. pp. 325-327.
- [6] Jugjai, S. and Polmart, N. (2003). Enhancement of Evaporation and Combustion of Liquid Fuels Through Porous Media. **Experimental Thermal and Fluid Science**. Vol. 27, pp. 901-909. DOI: 10.1016/S0894-1777(03)00062-1
- [7] Luampon, R. (2018). Thin Layer Drying Model of Carrot Using a Heat Pump Vacuum Dryer. **The Journal of King Mongkut's University of Technology North Bangkok**. Vol. 28, No. 1, pp. 147-155 (in Thai)
- [8] Tippayawong, N., Tantakitti, C., Thavornnun, S., and Peerawanitkul, V. (2009). Energy Conservation in Drying of Peeled Longan by Forced Convection and Hot Air Recirculation. **Biosystems Engineering**. Vol. 104, Issue 2, pp. 199-204. DOI: DOI: 10.1016/j.biosystemseng.2009.06.018
- [9] Paengkanya, S., Soponronnarit, S. and Nathakaranakule, A. (2015). Application of Microwaves for Drying of Durian Chips. **Food and Bioproducts Processing**. Vol. 96, pp. 1-11. DOI: 10.1016/j.fbp.2015.06.001
- [10] Baker, C. G. J. (2005). Energy Efficient Dryer Operation-an Update on Developments. **Drying Technology**. Vol. 23, Issue 9-11, pp. 2071-2087. DOI: 10.1080/07373930500210556

- [11] Bruce, D. M. (1985). Exposed-Layer Barley Drying, Three Models Fitted to New Data Up to 150 C. **Journal of Agricultural Engineering Research**. Vol. 32, pp. 337-347
- [12] Page, G. E. (1949). **Factors Influencing the Maximum Rate of Air Drying Shelled Corn in Thin Layers**. M.S. thesis. Department of Mechanical Engineering. Purdue University, Purdue, USA
- [13] White, G. M., Ross, I. J., and Ponelert, R. (1981). Fully Exposed Drying of Popcorn. **Transactions of the ASAE**. Vol. 24, pp. 466-468
- [14] Henderson, S. M. and Pabis, S. (1961). Grain Drying Theory II Temperature Effects on Drying Coefficients. **Journal of Agricultural Engineering Research**. Vol. 6, pp. 169-174
- [15] Togrul, I. T. and Pehlivan, D. (2002). Mathematical Modeling of Solar Drying of Apricots in thin Layers. **Journal of Food Engineering**. Vol. 55, pp. 209-216. DOI: 10.1016/S0260-8774(02)00065-1
- [16] Henderson, S. M. (1974). Progress in Developing the Thin Layer Drying Equation. **Transactions of ASAC**. Vol. 17, pp. 1167-1172
- [17] Yaldiz, O., Ertekin, C., and Uzun, H. I. (2001). Mathematical Modeling of Thin Layer Solar Drying of Sultana Grapes. **Energy**. Vol. 26, Issue 5, pp. 457-465. DOI: 10.1016/S0360-5442(01)00018-4
- [18] Wang, C. Y. and Singh, R. P. (1978). Use of Variable Equilibrium Moisture Content in Modeling Rice Drying. **Transactions of American Society of Agricultural Engineers**. Vol. 11, pp. 668-672
- [19] Diamante, L. M. and Munro, P. A. (1991). Mathematical Modeling of Hot Air Drying of Sweet Potato Slices. **International Journal of Food Science and Technology**. Vol. 26, Issue 1, pp. 99-108. DOI: 10.1111/j.1365-2621.1991.tb01145.x
- [20] Midilli, A., Kucuk, H., and Yapar, Z. (2002). A New Model for Single Layer Drying. **Drying Technology**. Vol. 20, Issue 7, pp. 1503-1513. DOI: 10.1081/DRT-120005864
- [21] Charmongkolpradit, S. and Luampon, R. (2017). Study of Thin Layer Drying Model for Cassava Pulp. **Energy Procedia**. Vol. 138, pp. 354-359. DOI: 10.1016/j.egypro.2017.10.138
- [22] Akgun, N. A. and Doymaz, I. (2005). Modeling of Olive Cake Thin-Layer Drying Process. **Journal of Food Engineering**. Vol. 68, Issue 4, pp. 455-461. DOI: 10.1016/j.jfoodeng.2004.06.023

การเปรียบเทียบกำลังรับน้ำหนักบรรทุกจากสูตรการทดสอบเสาเข็มกับการทดสอบด้วยวิธีพลศาสตร์

A Comparision of Bearing Capacity of Pile from Pile Driving Formulas and Dynamic Load Test

วรวิทย์ พอยจันทร์^{1*} อనุชาติ ล้อนันต์ศักดิ์ศิริ¹ และธิตินันท์ ป้องนาม²

Worawit Phojan^{1*} Anuchat Leeansaksiri¹ and Thitinun Pongnam²

Received: June 6, 2019; Revised: August 20, 2019; Accepted: August 26, 2019

บทคัดย่อ

บทความนี้มีจุดประสงค์เพื่อประเมินกำลังรับน้ำหนักบรรทุก โดยใช้สูตรการทดสอบเสาเข็ม 4 สูตร ได้แก่ Hiley's Formula, Engineering News Formula, Danish Formula และ Janbu's Formula มาเปรียบเทียบและสร้างความล้มพั�ธ์กับผลการทดสอบกำลังรับน้ำหนักบรรทุกของเสาเข็ม รวมถึงพิจารณาอัตราส่วนปลดภัยที่เหมาะสมโดยวิธีพลศาสตร์ ซึ่งวิเคราะห์ผลโดยกระบวนการ Case Pile Wave Analysis Program (CAPWAP) ผลการคีกษาพบว่าสูตรการทดสอบเสาเข็มที่หัวเหล็กได้แก่ Hiley's Formula, Engineering News Formula, Danish Formula และ Janbu's Formula ตามลำดับ โดยที่ Hiley's Formula ให้ผลทดสอบไกล์เคียงและน่าเชื่อถือมากที่สุด ($R^2 = 0.831$) ส่วน Danish Formula และ Janbu's Formula มีโอกาสшибติดหากนำไปใช้งาน

การใช้อัตราส่วนปลดภัยที่แนะนำโดย ว.ส.ท. เพื่อลดกำลังรับน้ำหนักบรรทุกของเสาเข็มที่คำนวนได้แต่ละสูตรพบว่าทุกสูตรมีความปลดภัย สูตรของ Hiley's Formula, Engineering News Formula ให้ค่าที่ต่ำ ทำให้ปลดภัยมากแต่ค่าใช้จ่ายในการก่อสร้างจะเพิ่มสูงขึ้น และผู้วิจัยได้หาอัตราส่วนปลดภัยที่เหมาะสมของแต่ละสูตรซึ่งได้ผลดังนี้ Hiley's Formula, Engineering News Formula, Danish Formula และ Janbu's Formula มีค่าเท่ากับ 2.5499 2.2555 3.7095 และ 4.2525 ตามลำดับ

คำสำคัญ : วิธีพลศาสตร์; อัตราส่วนปลดภัย; เสาเข็ม

¹ คณะวิศวกรรมศาสตร์ มหาวิทยาลัยภาคตะวันออกเฉียงเหนือ ขอนแก่น

² คณะครุศาสตร์อุตสาหกรรม มหาวิทยาลัยเทคโนโลยีราชมงคลอีสาน วิทยาเขตขอนแก่น

¹ Faculty of Engineering, North Eastern University, Khonkaen

² Faculty of Technical Education, Rajamangala University of Technology Isan, Khon Kaen Campus

* Corresponding Author E - mail Address: Worawit.Pho@neu.ac.th

Abstract

The objective of this research in to evaluate the bearing capacity of pile by using pile driving formulas such as Hiley's Formula, Engineering News Formula, Danish Formula, and Janbu's Formula to compare, relationship between and the optimum factor of safety with Dynamic Load Test results. The ultimate load of a pile was calculated process by Case Pile Wave Analysis Program (CAPWAP). The Results showed that the pile driving formulas that was similar of ultimate bearing capacity by Dynamic Load Test was Hiley's Formula, Engineering News Formula, Danish Formula and Janbu's Formula, respectively. Whereas the Hiley's Formula provides the most reliable and close test results ($R^2 = 0.831$), Danish Formula and Janbu's Formula have a chance to fail if used.

Furthermore, by using the factor of safety recommended by E.I.T. to reduce load carrying capacity from each all of pile driving formulas are safe, Hiley's Formula and Engineering New Formula is lower load, making it very safe but the construction costs will increase. The researcher found the appropriate safety factor of each formulas as follows Hiley's Formula, Engineering News Formula, Danish Formula, and Janbu's Formula are equal to 2.5499, 2.2555, 3.7095, and 4.2525 respectively.

Keywords: Dynamic Load Test; Factor of Safety; Pile

บทนำ

ฐานรากนับเป็นองค์ประกอบที่สำคัญของลิ่งปลูกสร้าง เพื่อใช้รับน้ำหนักขององค์อาคาร ซึ่งในปัจจุบัน อาคารมีความสูงและน้ำหนักโครงสร้างที่มากขึ้นเนื่องจากข้อจำกัดด้านพื้นที่ ราคาที่ดิน และความแออัด ของชุมชนเมือง กำลังรับน้ำหนักบนบรรทุกของฐานรากดีนั้นจึงไม่เพียงพอสำหรับการก่อสร้าง ฐานรากลึก หรือฐานรากเสาเข็มจึงจำเป็นสำหรับใช้ในการถ่ายน้ำหนักของตัวอาคารลงสู่ชั้นดินลึก

ในปัจจุบันวิศวกรผู้ควบคุมงานนิยมใช้สมการการทดสอบเสาเข็มเพื่อควบคุมคุณภาพและประเมิน กำลังรับน้ำหนักบนบรรทุกของเสาเข็มในเบื้องต้น เนื่องจากสามารถลั่นเกตเเพติกรรมของเสาเข็มที่เกิดขึ้น ในระหว่างการทดสอบได้ อย่างไรก็ตามกำลังรับน้ำหนักที่ได้จากการทดสอบเสาเข็มมีความน่าเชื่อถือต่ำ เพราะมีปัจจัยหลายประการที่เกี่ยวข้องในการประเมินกำลังรับน้ำหนัก เช่น พลังงานที่ใช้ในการทดสอบ ชนิด และขนาดของเสาเข็ม คุณสมบัติของวัสดุรองหัวเสาเข็ม จึงต้องมีการทดสอบกำลังรับน้ำหนักโดยวิธีอื่น เพื่อตรวจสอบกำลังรับน้ำหนักที่เสาเข็มรับได้จริงประกอบด้วย

โดยทั่วไปการทดสอบเสาเข็มในสนามวิธีที่ให้ผลที่แม่นยำที่สุดในการยืนยันกำลังของเสาเข็มคือ การทำ Static Pile Load Test แต่วิธีนี้มีค่าใช้จ่ายค่อนข้างสูงและต้องใช้เวลาทดสอบนาน ซึ่งในปัจจุบัน มีการใช้การทดสอบแบบ Dynamic Pile Load Test เป็นทางเลือกที่ประหยัด รวดเร็ว และใช้พื้นที่น้อยกว่า [1] และผลการทดสอบเปรียบเทียบของวิธีทดสอบกำลังรับน้ำหนักบนบรรทุกของเสาเข็มโดยวิธีพลศาสตร์ (Dynamic

Load Test) เป็นวิธีหนึ่งที่นิยมใช้ทดสอบนกหินจากวิธีสถิติศาสตร์ (Static Load Test) เนื่องจากใช้อุปกรณ์ขนาดเล็ก เคลื่อนย้ายได้สะดวก ทดสอบได้รวดเร็ว ราคาไม่แพง และทดสอบได้ทั้งกันเสาร์เข้มตอกเสาเข็มเจาะ ซึ่งการทดสอบโดยวิธีพลศาสตร์นี้ได้มีการทดสอบเปรียบเทียบกับการทดสอบโดยวิธีสถิติศาสตร์พบว่ามีผลใกล้เคียงกันมาก [2] การทดสอบการรับน้ำหนักของเสาเข็มด้วยวิธีแบบพลศาสตร์ เป็นวิธีประเมินผลการรับน้ำหนักของเสาเข็มที่ดีวิธีหนึ่ง โดยความสัมพันธ์ระหว่างผลการทดสอบการรับน้ำหนักของเสาเข็มแบบพลศาสตร์กับวิธีทดสอบแบบสถิติศาสตร์ในดินกรุงเทพมีความน่าเชื่อถือ [3] และวิธีพลศาสตร์สามารถตรวจสอบหากความสมมูลรูปของเสาเข็มเบื้องต้น ทำกำลังรับน้ำหนักบรรทุกของเสาเข็ม การกระจายหน่วยแรงเลี้ยดทานของเสาเข็ม กำลังรับน้ำหนักบรรทุกที่ปลายเข็ม ความสัมพันธ์ระหว่างการรับน้ำหนักบรรทุกและการทรุดตัว ค่าหน่วยแรงเกินอัตราและแรงเกินดึงที่เกิดขึ้นระหว่างการทดสอบ และทราบถึงประสิทธิภาพของปั้นจั่นตอกเสาเข็ม

งานวิจัยล้วนใหญ่จะศึกษาเปรียบเทียบสูตรการตอกเสาเข็มกับวิธีสถิติศาสตร์ [4] - [7] และเปรียบเทียบผลการทดสอบแบบสถิติศาสตร์กับพลศาสตร์ [2] - [3] ดังนั้นในการศึกษาครั้นนี้จึงนำผลการคำนวณที่ได้จากการทดสอบตอกเสาเข็มไปใช้เปรียบเทียบกับการทดสอบด้วยวิธีพลศาสตร์ โดยจะทดสอบแบบ Restrike Drive Test (RDT) เป็นการทดสอบหลังการติดตั้งเสาเข็มไปแล้ว 7 - 10 วัน เพื่อให้ดินรอบ ๆ เสาเข็มเกิดการอัดด้วยน้ำท่าให้กำลังของเสาเข็มมีค่าเพิ่มขึ้น [8] - [9] สามารถนำไปประเมินความแม่นยำของสมการการตอกเสาเข็มทั้ง 4 สมการ ได้แก่ Hiley's Formula, Engineering News Formula, Danish Formula และ Janbu's Formula เพื่อประเมินหาอัตราล้วนปลดภัยที่เหมาะสม และสามารถนำไปประยุกต์เพื่อปรับปรุงสมการการตอกเสาเข็มได้ในอนาคต

ทฤษฎีที่ใช้ในการศึกษา

1. สูตรการตอกเสาเข็ม (Pile Driving Formulas)

สูตรการตอกเสาเข็ม (Pile Driving Formulas) ได้จำกัดการพื้นฐานของกฎการเคลื่อนที่ของนิวตัน หลักงาน (Work) และพลังงาน (Energy) มาประยุกต์ใช้เป็นการประมาณกำลังรับน้ำหนักของเสาเข็มในขณะที่ทำการตอก โดยใช้ข้อมูลจากการตอกเสาเข็ม ได้แก่ น้ำหนักของตู้ม ความสูงที่ยก และระยะที่เสาเข็มจมลงเมื่อตอก วัสดุรองทัวเสาเข็ม ในการทำงานจะวัดระยะที่เสาเข็มจมลงเมื่อตอกลิบครั้ง แล้วนำค่ามาเฉลี่ยเพื่อหาค่าที่จำตัวต่อการตอกหนึ่งครั้ง การใช้สมการการตอกเสาเข็มจะใช้ในการควบคุมการตอกเสาเข็ม เพื่อใช้เป็นเกณฑ์ในการควบคุมการตอกเสาเข็ม และใช้ควบคุมการตอกไม่ให้หน่วยแรงในเสาเข็มสูงจนกระทั่งเสาเข็มชำรุด [4]

ตัวแปรทั่วไปของสูตรการตอกเสาเข็ม

Q_u = น้ำหนักบรรทุกประลัยของเสาเข็ม (Ultimate Bearing Capacity) (ตัน)

W = น้ำหนักของลูกตู้ม (ตัน)

h = ระยะยกลูกตู้มสูงจากทัวเสาเข็ม (เซนติเมตร)

P = น้ำหนักของเสาเข็ม (ตัน)

e = ประสิทธิภาพการตอก = $(W+Pr^2)/W+P$

S = ระยะที่เสาเข็มจม โดยคิดเฉลี่ยจากการตอก 10 ครั้งสุดท้าย (เซนติเมตร)

$$L = \text{ความยาวเสาเข็ม (เมตร)}$$

$$A = \text{พื้นที่หน้าตัดของเสาเข็ม (ตารางเซนติเมตร)}$$

$$E = \text{โมดูลัสยึดหยุ่นของเสาเข็ม} = 282.84 \text{ ตันต่อตารางเซนติเมตร}$$

1) Engineering News Formula (ว.ส.ท. [10] แนะนำให้ใช้ F.S. = 4) ดังสมการที่ (1)

$$Q_u = \frac{Wh.Y}{s + 2.54C} \quad (1)$$

โดยที่

$$C = 0.9 \text{ สำหรับลูกศุกต้มปล่อย (Drop Hammer)}$$

$$C = 1.0 \text{ สำหรับลูกศุกต้มแบบอื่น}$$

2) Hiley's Formula (ว.ส.ท. [10] แนะนำให้ใช้ F.S. = 4) ดังสมการที่ (2)

$$Q_u = \frac{eWh.Z}{s + \frac{C}{2}} \quad (2)$$

$$\text{โดยที่ } C = C_1 + C_2 + C_3$$

$$C_1 = \frac{1.8Q_u L_2}{A}$$

$$C_2 = \frac{0.72Q_u L}{A}$$

$$C_3 = \frac{3.6Q_u}{A}$$

$$L_2 = \text{ความหนาของกระสอบหัวเสาเข็ม (เมตร)}$$

r = Coefficient of Restitution = 0.25 ในกรณีที่เสาเข็มคอนกรีตถูกตอกด้วยลูกศุกต้มปล่อยรองด้วยกระสอบ

3) Janbu's Formula (ว.ส.ท. [10] แนะนำให้ใช้ F.S. = 4) ดังสมการที่ (3)

$$Q_u = \frac{Wh.}{K_u S} \quad (3)$$

$$\text{โดยที่ } \lambda = \frac{Wh.L}{AES^2}$$

$$C_d = 0.75 + 0.15 \frac{P}{W}$$

$$K_u = C_d \left(1 + \sqrt{1 + \frac{\lambda}{C_d}} \right)$$

- 4) Danish Formula (ว.ส.ท. [10] แนะนำให้ใช้ F.S. = 3 - 6) ดังสมการที่ (4)

$$Q_u = \frac{eWh}{S + \sqrt{\frac{eWhL}{2AE}}} \quad (4)$$

โดยที่

$$e = \text{ประสิทธิภาพของปั้นจั่น} = 0.7$$

2. การทดสอบน้ำหนักบรรทุกของเสาเข็มโดยวิธีพลศาสตร์ (Dynamic Pile Load Test)

Seubsai, S. [11] กล่าวว่า การทดสอบเสาเข็มโดยวิธีพลศาสตร์ (High-Strain Dynamic Load Test: DLT) เป็นวิธีการทดสอบเสาเข็มอีกรูปแบบหนึ่ง ซึ่งสามารถทำการทดสอบได้กับเสาเข็มคอนกรีต (เสาเข็มตอกและเสาเข็มเจาะ) เสาเข็มเหล็ก และเสาเข็มไม้ เป็นการทดสอบเพื่อหากำลังบรรทุกของเสาเข็ม (Pile Bearing Capacity) ค่าการทรุดตัวของเสาเข็ม (Displacement) ค่าความเค้นอัด (Compressive Stress) และความเค้นดึง (Tensile Stress) ที่เกิดขึ้นในระหว่างทำการทดสอบ และทำให้ทราบถึงประสิทธิภาพของปั้นจั่น (Hammer Performance) ที่ใช้ในการตอกเสาเข็ม รวมทั้งตรวจสอบความสมบูรณ์ของเสาเข็ม (Pile Integrity) ที่ทดสอบว่ามีความเสียหายหรือข้อบกพร่องหรือไม่ และใช้ข้อมูลในการกำหนดมาตรฐานสำหรับการตอกเสาเข็ม (Driving Criteria) สำหรับโครงการได้ สำหรับการทดสอบเสาเข็มโดยวิธีพลศาสตร์ มี 2 ลักษณะ คือ

1) การทดสอบขณะทำการตอกเสาเข็ม Initial Driving Test (IDT) เป็นการทดสอบขณะทำการตอกเสาเข็ม โดยทั่วไปเป็นการทดสอบเพื่อหาความยาวของเสาเข็ม (Minimum Pile Tip Elevation) สำหรับโครงการและตรวจสอบประสิทธิภาพของปั้นจั่นที่ใช้ในการตอก (Hammer Efficiency) รวมทั้งการกำหนดมาตรฐานการตอกเสาเข็ม (Driving Criteria) สำหรับโครงการนั้น ๆ

2) การทดสอบหลังการติดตั้งเสาเข็ม Restrike Drive Test (RDT) เป็นการทดสอบหลังการติดตั้งเสาเข็มไปแล้วในระยะเวลาหนึ่ง โดยทั่วไปเป็นการทดสอบเพื่อยืนยันความสามารถในการรับน้ำหนักบรรทุกเสาเข็ม (Pile Bearing Capacity) ว่าเป็นไปตามข้อกำหนดที่ออกแบบหรือไม่ รวมทั้งสภาพความสมบูรณ์ของเสาเข็ม โดยสามารถทำการทดสอบได้ทั้งเสาเข็มตอกและเสาเข็มเจาะ

ลักษณะการทดสอบเข็มโดยวิธีพลศาสตร์ จะใช้ลูกศุกตุ้มน้ำหนักกล่องระแทกที่หัวเสาเข็ม เพื่อทำให้เสาเข็มมีการเคลื่อนตัว จากแรงกระแทกของลูกศุกตุ้มน้ำหนักทั่วเสาเข็มนั้นจะทำให้เกิดคลื่นความเค้น (Stress Wave) ลงไปตลอดความยาวของตัวเสาเข็ม และคลื่นความเค้นดังกล่าวจะสะท้อนกลับขึ้นมาทำให้ทราบถึงแรงต้านทานที่ปลายเสาเข็มและด้านข้างของเสาเข็ม คุณสมบัติทางกายภาพของเสาเข็ม รวมทั้งทราบข้อมูลการเปลี่ยนแปลงที่ผิดปกติของพื้นที่หน้าตัดเสาเข็มที่ทดสอบ ซึ่งคลื่นความเค้นดังกล่าวจะถูกบันทึกโดยใช้ตัวแปรสัญญาณ (Transducers) ซึ่งประกอบด้วยมาตราครัวเรียด (Strain Gauge) และมาตราความเร่ง (Accelerometers) ที่ติดตั้งบริเวณใกล้กับหัวเสาเข็ม ลัญญาณที่ได้จะ拿来ใช้ในการทดสอบ

จะถูกแปลงให้อยู่ในรูปของท่านวayerแรง (Force) และความเร็ว (Velocity) ซึ่งสามารถนำไปวิเคราะห์หากำลังบรรทุกของเสาเข็มขณะทดสอบต่อไป ซึ่งข้อมูลต่าง ๆ จะแสดงในเครื่องวิเคราะห์การทดสอบเสาเข็ม (Pile Driving Analyzer: PDA) [11] ดังรูปที่ 1



รูปที่ 1 เครื่องวิเคราะห์และการติดตั้งมาตรฐานความเครียดกับมาตรฐานความเร่ง

การทดสอบเสาเข็มโดยวิธีพลศาสตร์ และการติดตั้งมาตรฐานความเร่งและมาตรฐานความเครียดที่เสาเข็มทดสอบตามลำดับ ใน การทดสอบทุกครั้งที่ปั้นจั่นตอกลงบนหัวเสาเข็ม เครื่องทดสอบเสาเข็ม จะเปลี่ยนสัญญาณอนาล็อก (Analog) จากมาตรฐานความเร่งและมาตรฐานความเครียด ไปเป็นแรงและความเร็วในระบบดิจิทัล (Digital) เพื่อยกับคลื่นเวลา และประกูณของเครื่องวิเคราะห์การทดสอบเสาเข็ม ขณะที่กำลังทดสอบเสาเข็มหรือทดสอบเสาเข็ม ทำให้วิศวกรทราบข้อมูลการทดสอบตลอดเวลา สามารถใช้ในการทำงานน้ำหนักบรรทุกของเสาเข็ม ควบคุมประสิทธิภาพของปั้นจั่น (Hammer Performance) ในการส่งถ่ายพลังงาน (Energy Transfer) และสามารถวัดแรงดันที่เกิดจากการทดสอบเสาเข็ม (Driving Stress) และวิเคราะห์ประเมินความเสียหายของเสาเข็ม (Pile Integrity) รวมทั้งเป็นข้อมูลสำหรับการคำนวณสมการทางคลื่นสำหรับการทดสอบเสาเข็ม [11]

การวิเคราะห์ด้วย CAPWAP (Case Pile Wave Analysis Program) เป็นวิธีการวิเคราะห์ที่รวมเอาข้อมูลทางพลศาสตร์ที่วัดได้ในการทดสอบทำการเปรียบเทียบกับแรงหรือความเร็วที่ได้จากการวิเคราะห์โดยใช้สมการทางคลื่นในการทำงานกำลังบรรทุกทางสถิติศาสตร์ของเสาเข็ม (Pile Static Bearing Capacity) วิธีการของ CAPWAP ทำให้วิศวกรสามารถตรวจสอบหลักการของ Case Method ได้ซึ่งกำลังบรรทุกประลัยของเสาเข็ม (Ultimate Pile Bearing Capacity) ที่ได้จาก CAPWAP จะมีความใกล้เคียงกับกำลังบรรทุกสูงสุดของเสาเข็มทางสถิติศาสตร์ (Static Failure Load) [11]

การทดสอบด้วยวิธีพลศาสตร์โดยการใช้เครื่องวิเคราะห์การทดสอบเสาเข็ม และ CAPWAP มีความสะดวกและคล่องตัวทำให้วิศวกรสามารถนำไปใช้ในโครงการก่อสร้างต่าง ๆ โดยประโยชน์จากการใช้การทดสอบด้วยวิธีพลศาสตร์ คือ ทำให้วิศวกรผู้ออกแบบทราบข้อมูลต่าง ๆ ได้มากยิ่งขึ้น ช่วยในการออกแบบและควบคุมการทดสอบเสาเข็ม เมื่อนำข้อมูลที่ได้มาพิจารณาประกอบกับค่าอัตราส่วนความปลดออกภัยและน้ำหนักบรรทุกออกแบบ ทำให้ลดปัญหาในการก่อสร้างและค่าก่อสร้างฐานราก ทำให้ประสิทธิภาพการทำงานดีขึ้น ลดเวลาและประหยัดค่าใช้จ่าย [11]

วิธีดำเนินการศึกษา

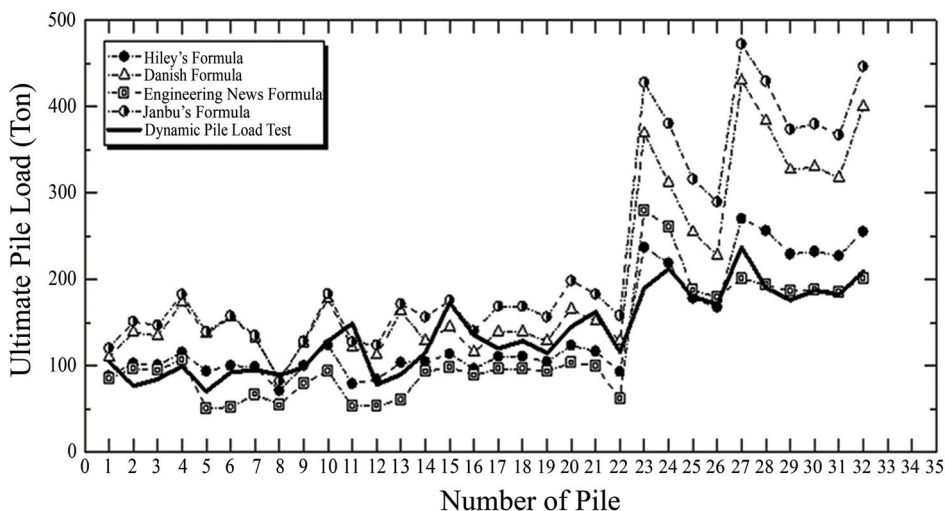
งานวิจัยนี้มุ่งเน้นที่จะศึกษา อธิบายเปรียบเทียบ หาอัตราส่วนปลดล็อกภัยที่เหมาะสม และสมการความสัมพันธ์ จากผลของการรับน้ำหนักบรรทุกของเสาเข็มที่ทำนายโดยสูตรการทดสอบเสาเข็ม 4 สูตรคือ Hiley's Formula, Engineering News Formula, Danish Formula และ Janbu's Formula เปรียบเทียบกับผลทดสอบ Dynamic Load Test ที่ประมวลผลการทดสอบโดยโปรแกรม Case Pile Wave Analysis Program (CAPWAP) โดยทำการทดสอบเปรียบเทียบกับเสาเข็มตอกในพื้นที่ภาคตะวันออกเฉียงเหนือ ประเทศไทย เสาเข็มที่ทดสอบขนาดหน้าตัดคือเหลี่ยมจัตุรัสตั้งแต่ 0.26 0.30 0.35 และ 0.40 m. ความยาวเสาเข็ม 6 - 14 m. จำนวน 32 ตัน การทดสอบ Dynamic Pile Load Test เป็นการทดสอบหลังการติดตั้งเสาเข็ม Restrike Drive Test (RDT) ที่ระยะเวลา 7 - 10 วัน หลังจากตอกเสาเข็มเสร็จเพื่อให้พฤติกรรมด้านกำลังของเสาเข็มเพิ่มขึ้น

ผลการศึกษา

จากข้อมูลเสาเข็ม 32 ตัน ได้นำมาทำการวิเคราะห์ข้อมูล คำนวนทำกำลังรับน้ำหนักบรรทุกประลัยของเสาเข็มจากสูตรการตอกต่าง ๆ โดยใช้ผลของค่าทรุดตัวเฉลี่ยจากการทดสอบ 10 ครั้งสุดท้าย (Last 10 Blows) เปรียบเทียบกับค่าน้ำหนักบรรทุกประลัยจากการทดสอบโดยวิธีพลศาสตร์ที่ประมวลผลโดยโปรแกรม CAPWAP

1. ผลการทดสอบกำลังรับน้ำหนักบรรทุกประลัยจากสูตรการตอกเสาเข็มกับผลการทดสอบโดยวิธีพลศาสตร์

รูปที่ 2 พบร่วมกับผลการทดสอบโดยวิธีพลศาสตร์มากที่สุด ล้วนผลการคำนวนโดย Engineering News Formula จะมีค่ากำลังรับน้ำหนักบรรทุกประลัยน้อยกว่าที่ทดสอบโดยวิธีพลศาสตร์เกือบทั้งหมด ล้วน Janbu's Formula และ Danish Formula จะให้ผลการคำนวนกำลังรับน้ำหนักบรรทุกสูงกว่าผลที่ได้จากการทดสอบ CAPWAP ซึ่งจากผลการทดสอบค่ากำลังจาก Hiley's Formula และ Engineering News Formula มีค่าความปลอดภัย ส่วนค่าที่ได้จาก Janbu's Formula และ Danish Formula มีโอกาสเกิดการวินาศีมากที่สุด ค่าน้ำหนักบรรทุกประลัยของเสาเข็มตันที่ 23 - 32 ที่ได้จากสูตรการตอกเสาเข็มให้ค่าที่สูงมาก เนื่องจากเป็นเสาเข็มขนาดหน้าตัด 0.40×0.40 m. ผู้ออกแบบได้กำหนดค่ากำลังน้ำหนักบรรทุกปลดล็อกไว้ที่ 60 - 80 ตันต่อตัน ทำให้ผู้ควบคุมงานพยายามควบคุมการตอกเสาเข็มให้ได้ระดับ Last 10 Blows โดยกำหนดระยะเวลาของตุ้มตอกขนาด 5.0 - 5.5 ตัน ที่ระยะ 100 - 130 cm. เป็นผลให้ค่ากำลังรับน้ำหนักบรรทุกประลัยมีค่าสูง



รูปที่ 2 ค่ากำลังรับน้ำหนักบรรทุกประลัยจากสูตรการตอกเสาเข็มกับผลการทดสอบโดยวิธีพลศาสตร์

รูปที่ 3 แสดงผลของกราฟความล้มพังอัตราที่ได้ เมื่อนำผลการคำนวณมาวิเคราะห์การลดถอยเชิงเส้น เพื่อหาความล้มพังของน้ำหนักบรรทุกสูงสุดของเสาเข็มจากการทดสอบโดยวิธีพลศาสตร์ โดยใช้วิธีกำลังสองน้อยที่สุด (Least Square Method) ทั้งนี้ได้กำหนดให้เส้นกราฟผ่านจุด $(0, 0)$

ถ้าให้ $Qu_{Predict}$ คือ กำลังรับน้ำหนักบรรทุกสูงสุดที่คำนวณได้จากสูตรการตอกเสาเข็มต่าง ๆ และ Qu_{DLT} คือ กำลังรับน้ำหนักบรรทุกสูงสุดที่คำนวณโดยวิธี CAPWAP จะได้ความล้มพังของแต่ละสมการดังสมการที่ (5) - (8)

Hiley's Formula :

$$Qu_{Predict} = 1.0377 Qu_{DLT}; \quad R^2 = 0.831 \quad (5)$$

Engineering News Formula :

$$Qu_{Predict} = 0.90222 Qu_{DLT}; \quad R^2 = 0.751 \quad (6)$$

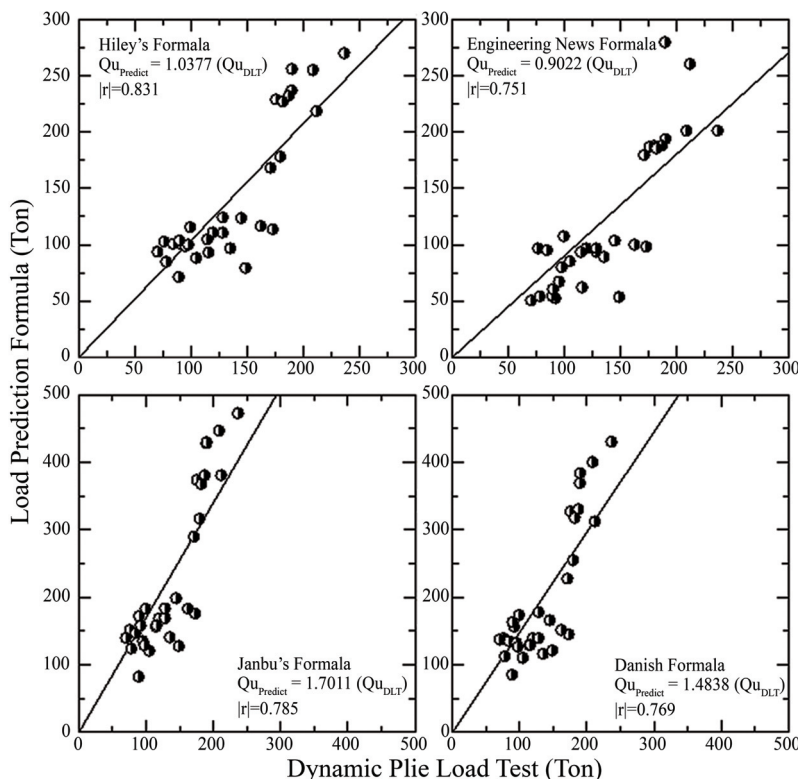
Janbu's Formula :

$$Qu_{Predict} = 1.7011 Qu_{DLT}; \quad R^2 = 0.785 \quad (7)$$

Danish Formula :

$$Qu_{Predict} = 1.4838 Qu_{DLT}; \quad R^2 = 0.769 \quad (8)$$

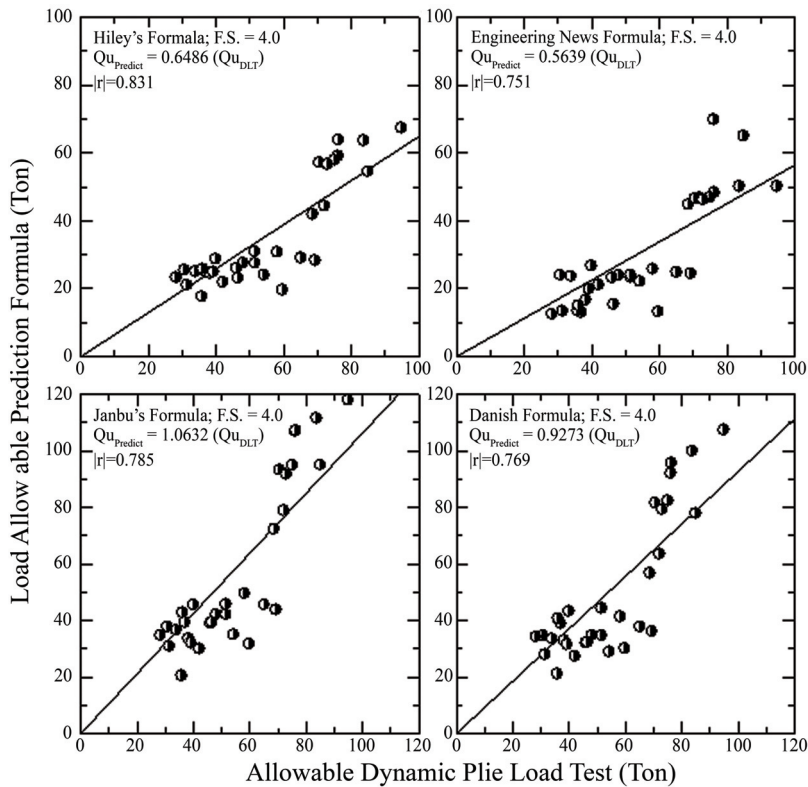
จากผลความล้มพันธ์ที่ได้นี้พบว่า Hiley's Formula และ Engineering News Formula ให้แนวโน้มไปในทางเดียวกัน คือ ค่าความชันของเส้นกราฟมีค่าประมาณเข้าใกล้หนึ่ง นั่นหมายความว่า ค่าที่ได้มีความปลดปล่อยในการนำไปใช้ ส่วน Janbu's Formula กับ Danish Formula ค่าความชันของเส้นกราฟมีค่ามากกว่าหนึ่ง ซึ่งเป็นผลให้การคำนวณที่ได้จากการดังกล่าวมีโอกาสจะเกิดการวินาศัยมากกว่า สมการอื่น และพบว่าสมการที่ให้ค่าความล้มพันธ์ใกล้เคียงกับผลที่ได้จากการวินาศัยมากที่สุด และให้ความล้มพันธ์ของเส้นกราฟที่ดีที่สุด คือ Hiley's Formula ($R^2 = 0.831$) อย่างไรก็ตีทุกสมการถือว่า ให้ค่าความล้มพันธ์ที่อยู่ในเกณฑ์ที่ดี ($R^2 = 0.751 - 0.831$)



รูปที่ 3 ความล้มพันธ์ระหว่างกำลังรับน้ำหนักประดับที่ได้จากสูตรการตอกเสาเข็มและการทดสอบโดยวิธีพลศาสตร์

2. ผลการเปรียบเทียบกำลังรับน้ำหนักบรรทุกปลดภัยจากสูตรการตอกเสาเข็มกับผลการทดสอบโดยวิธีพลศาสตร์

รูปที่ 4 เมื่อนำอัตราส่วนปลดภัยที่ ว.ส.ท. แนะนำให้เข้ามาทำการคำนวณมาวิเคราะห์การทดสอบโดยใช้เส้น โดยได้กำหนดให้เส้นกราฟผ่านจุด $(0, 0)$ ถ้าให้ $Q_{a_{Predict}}$ คือ กำลังรับน้ำหนักบรรทุกปลดภัยที่คำนวณได้จากสูตรการตอกเสาเข็มต่าง ๆ และ $Q_{a_{DLT}}$ คือ กำลังรับน้ำหนักบรรทุกปลดภัยที่คำนวณโดยโปรแกรม CAPWAP ที่กำหนดอัตราส่วนปลดภัยเท่ากับ 2.5 จะได้ความล้มพันธ์ของแต่ละสมการ ดังสมการที่ (9) - (12)



รูปที่ 4 ความล้มเหลวของกำลังรับน้ำหนักบรรทุกปลดภัยที่ได้จากสูตรการทดสอบเสาร์และทดสอบด้วยวิธีพลศาสตร์

Hiley's Formula (ว.ส.ท. แนะนำให้ใช้ F.S. = 4.0)

$$Qa_{Predict} = 0.6486 Qa_{DLT}; \quad R^2 = 0.831 \quad (9)$$

Engineering News Formula (ว.ส.ท. แนะนำให้ใช้ F.S. = 4.0)

$$Qa_{Predict} = 0.5639 Qa_{DLT}; \quad R^2 = 0.751 \quad (10)$$

Janbu's Formula (ว.ส.ท. แนะนำให้ใช้ F.S. = 4.0)

$$Qa_{Predict} = 1.0632 Qa_{DLT}; \quad R^2 = 0.785 \quad (11)$$

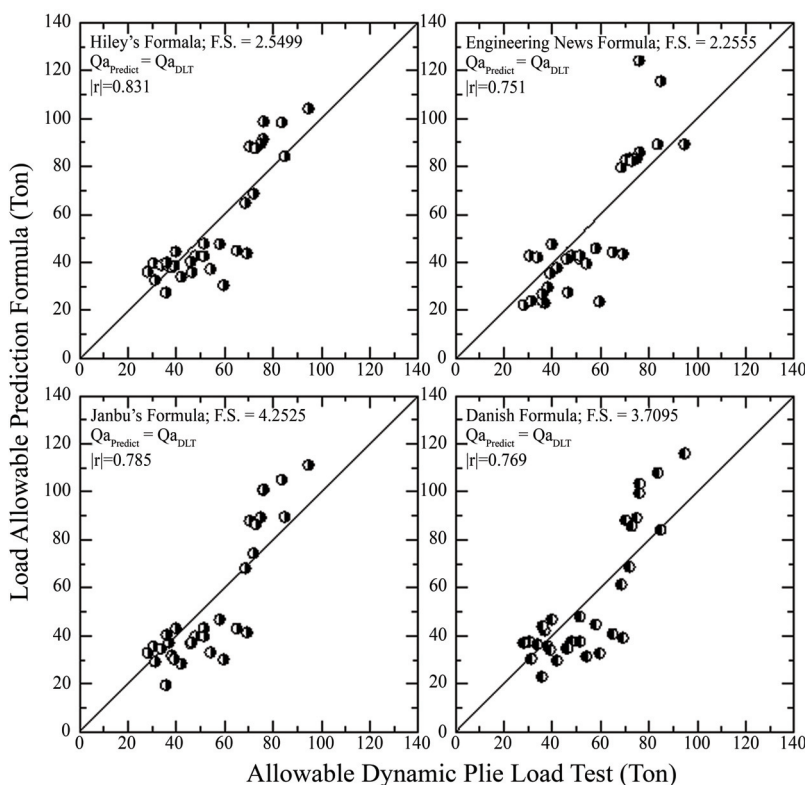
Danish Formula (ว.ส.ท. แนะนำให้ใช้ F.S. = 3 - 6 เลือกใช้ที่ 4)

$$Qa_{Predict} = 0.9273 Qa_{DLT}; \quad R^2 = 0.769 \quad (12)$$

จากผลความสัมพันธ์ที่ได้นี้ พบว่าอัตราส่วนปลดล็อกภัยที่แต่ละสูตรถูกแนะนำให้ใช้นั้นพบว่า Janbu's Formula และ Danish Formula มีค่าใกล้เคียงกับผลการรับน้ำหนักบรรทุกปลดล็อกภัยโดยวิธีพลศาสตร์มากที่สุด ให้แนวโน้มไปในทางเดียวกัน คือ ค่าความชันของเส้นกราฟมีค่าเข้าใกล้หนึ่งมากที่สุด แสดงว่าค่าที่ได้จากการคำนวณโดย 2 สมการนี้แม่นยำที่สุดสำหรับการคำนวณโดยใช้กำลังรับน้ำหนักบรรทุกปลดล็อกภัย

ส่วน Hiley's Formula กับ Engineering News Formula ค่าความชันของเส้นกราฟ มีค่าน้อยกว่าหนึ่งมาก ซึ่งเป็นผลให้การคำนวณที่ได้จากสมการดังกล่าวมีความปลดล็อกภัยมากกว่าสมการอื่น แต่จะลื้นเปลี่ยนค่าใช้จ่ายในการก่อสร้างเพิ่มขึ้น

3. อัตราส่วนปลดล็อกภัยที่เหมาะสมสมจากสูตรการทดสอบเสาเข็มแต่ละสูตรกับผลการทดสอบโดยวิธีพลศาสตร์



รูปที่ 5 ความสัมพันธ์ระหว่างกำลังรับน้ำหนักบรรทุกปลดล็อกภัยที่อัตราส่วนปลดล็อกภัยที่เหมาะสมกับผลการทดสอบโดยวิธีพลศาสตร์

รูปที่ 5 เมื่อนำผลการทดสอบมาทำการคำนวณมาปรับค่าหาอัตราส่วนปลดล็อกภัยที่เหมาะสมโดยให้ผลการวิเคราะห์ทดสอบอย่างเชิงเส้น โดยให้กำลังรับน้ำหนักบรรทุกปลดล็อกภัยที่คำนวณได้จากสูตรการทดสอบเข็มต่าง ๆ และที่คำนวณโดยโปรแกรม CAPWAP มีค่าเท่ากัน ($Q_{a_{\text{Predict}}} = Q_{a_{\text{DLT}}}$) จะได้อัตราส่วนปลดล็อกภัยที่เหมาะสมของแต่ละสูตรดังนี้

Hiley's Formula

$$F.S. = 2.5499 ; \quad R^2 = 0.831$$

Engineering News Formula

$$F.S. = 2.2555 ; \quad R^2 = 0.751$$

Janbu's Formula

$$F.S. = 4.2525 ; \quad R^2 = 0.785$$

Danish Formula

$$F.S. = 3.7095 ; \quad R^2 = 0.769$$

จากผลความล้มพันธ์ที่ได้นี้ พบว่าอัตราส่วนปลดภัยที่เหมาะสมนั้นมีค่าแตกต่างจากที่ ว.ส.ท. แนะนำโดยที่สูตรของ Hiley's Formula, Engineering News Formula และ Danish Formula มีค่าต่ำกว่า ที่ ว.ส.ท. แนะนำอยู่ที่ 36.3 43.6 และ 7.3 % ตามลำดับ ส่วนของ Janbu's Formula มีค่าแตกต่างอยู่ 6.3 %

สรุปผลการศึกษา

สรุปผลการเปรียบเทียบกำลังรับน้ำหนักบรรทุกที่อัตราส่วนปลดภัยต่าง ๆ ของแต่ละสูตรการทดสอบเสาเข็ม และการทดสอบโดยวิธีพลศาสตร์ ซึ่งวิเคราะห์ผลโดยกระบวนการ Case Pile Wave Analysis Program (CAPWAP) สูตรการทดสอบเสาเข็ม 4 สูตร ได้แก่ Hiley's Formula, Engineering News Formula, Danish Formula และ Janbu's Formula มาเปรียบเทียบและสร้างความล้มพันธ์กับผลการทดสอบ กำลังรับน้ำหนักบรรทุกของเสาเข็ม รวมถึงพิจารณาอีกอัตราส่วนปลดภัยที่เหมาะสม พบว่าสูตรการทดสอบเสาเข็มที่ให้ผลใกล้เคียงกับผลการทดสอบหน้าหัวนักบรรทุกประยุกต์โดยวิธีพลศาสตร์มากที่สุด ได้แก่ Hiley's Formula, Engineering News Formula, Danish Formula และ Janbu's Formula ตามลำดับ โดยที่ Hiley's Formula ให้ผลทดสอบใกล้เคียงและน่าเชื่อถือมากที่สุด ($R^2 = 0.831$) ส่วน Danish Formula และ Janbu's Formula มีโอกาสшибบิติกานนำไปใช้งาน

การใช้อัตราส่วนปลดภัย (Factor of Safety) ที่แนะนำโดย ว.ส.ท. เพื่อลดกำลังรับน้ำหนักบรรทุกของเสาเข็มที่คำนวณได้แต่ละสูตรพบว่าทุกสูตรมีความปลดภัย สูตรของ Hiley's Formula และ Engineering News Formula ให้ค่าต่ำ ทำให้ปลดภัยมากแต่ค่าใช้จ่ายในการก่อสร้างจะเพิ่มสูงขึ้น และผู้วิจัยได้ทำการอัตราส่วนปลดภัยที่เหมาะสมของแต่ละสูตรซึ่งได้ผลดังนี้ Hiley's Formula, Engineering News Formula, Danish Formula และ Janbu's Formula มีค่าเท่ากับ 2.5499 2.2555 3.7095 และ 4.2525 ตามลำดับ ซึ่งมีความแตกต่างจากอัตราส่วนปลดภัยที่ ว.ส.ท. แนะนำ โดยที่สูตรของ Hiley's Formula, Engineering News Formula, Danish Formula และ Janbu's Formula มีค่าต่ำกว่า ที่ ว.ส.ท. แนะนำอยู่ที่ 36.3 43.6 และ 7.3 % ตามลำดับ ส่วนของ Janbu's Formula มีค่าแตกต่างอยู่ 6.3 %

กิตติกรรมประกาศ

ผู้วิจัยขอขอบคุณ คุณประชญा มาก้า คุณไกรวิทย์ วงศ์บุตร และ คุณวรารณ์ มีตา บริษัท ขอนแก่น ชอยล์ เอ็นจิเนียริ่ง จำกัด ที่อนุเคราะห์ข้อมูลและรวมผลทดสอบกำลังรับน้ำหนักบรรทุกเส้าเข็มในพื้นที่ภาคตะวันออกเฉียงเหนือ

References

- [1] Kibria, S., Ahmad, J., Masud-, A., and Ali, M. (2017). Dynamic Pile Test and Its Correlation with Static Load Test. In **Proceeding of the 19th International Society for Soil Mechanics and Geotechnical Engineering, (ISSMGE)**. Republic of Korea, Seoul 2017.
- [2] Thasnanipan, N., Submaneepong, C., and Chanchad, C. (2007). A Comparision Between Static and Dynamic Pile Load Tests for Bored Pile Capacity Prediction. In **12th National Convention on Civil Engineering**. Phitsanulok. Vol. 3, (GTE). pp. 253-258.
- [3] Thaveelert, P. (1996). **Evluation of Dynamic Pile Load Test Performance in Bangkok and Rayong Subsoils**. Master Thesis. Department of Civil Engineering. Chulalongkorn University. Bangkok
- [4] Patanasakpinyo, T. (2015) Quality Control of Pile Driving by Danish Formula in Valaya Alongkorn Rajabhat University Under The Royal Patronage. **VRU Research and Development Journal Science and Technology**. Vol. 10, No. 2, May - August 2018, pp. 43-53 (in Thai)
- [5] Yuyongwattana, W. (2016). A Comparision of Pile Driving Formulas. **Rangsit University Journal of Engineering and Technology, RSUJET**. Rangsit University. Bangkok, Vol. 19, No. 2, pp. 21-31
- [6] Fragaszy, J. R., Argo, D., and Higgins, J. D. (1988). Comparison of Formula Predictions with Pile Load Tests. **Transportation Research Record 1219**. pp. 1-12
- [7] Rajagopal, C., Solanki, C. H., and Tandel, Y. K. (2012). Comparison of Static and Dynamic Load Test of Pile. **Electronic Journal of Geotechnical Engineering (EJGE)**. Vol. 17, pp. 1905-1914
- [8] Kuntiwattanakul, P. (2017). Pile Set-up in Bangkok Subsoil. The **2nd National RMUTR Conference**. Building Innovation 2017 : Sustainable Smart Building. pp. 32-39
- [9] Komurka, V. E., Wagner, A. B., and Edil, T. B. (2003). **Estimating Soil/Pile Set-Up**. Final Report Submitted to the Wisconsin Department of Transportation, September, Wisconsin Highway Research Program#0092-00-14, pp. 55
- [10] Engineering Institute of Thailand. (1978). **Pile Bearing Capacity**. The Engineering Institute of Thailand Under H.M. The King's Patronage. Bangkok
- [11] Seubsai, S. (2006). **Geographic Information System Application for Database of Pile Dynamic Load Test in Bangkok and its Vicinity Areas**. Master Thesis. Faculty of Engineering. Thammasat University. Bangkok

การออกแบบและสร้างรหัสรักษาความปลอดภัยสำหรับกระบวนการตรวจสอบและยืนยันตัวตนของระบบเก็บค่าผ่านทางพิเศษอัตโนมัติ

Design and Implementation of Security Code for the Identification and Authentication Process of Electronic Toll Collection System

ประชญ์ อศวนรากรkul¹ และอำนวย เรืองwaree^{1*}

Prach Asavanarakul¹ and Amnoiy Ruengwaree^{1*}

Received: June 20, 2019; Revised: August 26, 2019; Accepted: September 3, 2019

บทคัดย่อ

การขับเคลื่อนนวัตกรรมที่ศูนย์ประเทศไทย 4.0 ด้านอุตสาหกรรมการบินและโลจิสติกส์ไปสู่ความสำเร็จจำเป็นต้องใช้เทคโนโลยีที่รวดเร็ว ปลอดภัย และน่าเชื่อถือสูง อาร์เอฟไอเดียมีเทคโนโลยีสำคัญที่นำมาประยุกต์ใช้ในระบบคมนาคมขนส่งเพื่อตรวจสอบและยืนยันตัวตนของผู้โดยสาร ยานพาหนะ และสินค้า อย่างไรก็ตาม การนำอาร์เอฟไอเดียมีประยุกต์ใช้ยังพบปัญหาด้านการรักษาความลับหรือความปลอดภัยของข้อมูลรหัสที่ใช้ตรวจสอบและยืนยันตัวตน บทความวิจัยนี้นำเสนอวิธีการเพิ่มความปลอดภัยในการนำอาร์เอฟไอเดียมีประยุกต์ใช้ในระบบเก็บค่าผ่านทางพิเศษอัตโนมัติ โดยการออกแบบและสร้างรหัสรักษาความปลอดภัยที่เรียกว่า Meta_ID และโพร์โทคอลยืนยันตัวตนของเครื่องอ่านและป้ายอาร์เอฟไอเดียมี จำลองสถานการณ์ระบบเก็บค่าผ่านทางพิเศษอัตโนมัติที่ใช้รหัส Meta_ID และโพร์โทคอลที่นำเสนอด้วยระบบดึงเดิมที่โปรแกรมรหัสลงบนป้ายของผู้ใช้งานแบบรายตัว กรณีเมื่อจำนวนผู้ใช้ป้ายในระบบ 10,000 100,000 และ 1,000,000 ป้าย ผลการจำลองพบว่าระบบที่นำเสนอมีค่าความน่าจะเป็นของความสำเร็จในการล้วงรหัสต่ำกว่าระบบดึงเดิมทั้ง 3 กรณี จึงสรุปได้ว่าระบบที่นำเสนอมีสมรรถนะด้านการรักษาความลับหรือความปลอดภัยดีกว่าระบบดึงเดิม

คำสำคัญ : อาร์เอฟไอเดียมี; เลขลุ่มเที่ยม; ระบบเก็บค่าผ่านทางพิเศษอัตโนมัติ; อีทีซี; โลจิสติกส์

¹ คณะวิศวกรรมศาสตร์ มหาวิทยาลัยเทคโนโลยีราชมงคลธัญบุรี

¹ Faculty of Engineering, Rajamangala University of Technology Thunyaburi

* Corresponding Author E - mail Address: amnoiy.r@en.rmutt.ac.th

Abstract

To drive aviation and logistics in Thailand 4.0, it is necessary to use a fast, safe and reliable technology. Radio Frequency Identification (RFID) has adopted into the transportation system in order to identify and authenticate the passengers, vehicles and goods. However, The RFID in transport application still has some problem about the security of ID data. This article presents a method for increasing security in applying RFID to be used in electronic toll collection system. By design and create a security code called Meta_ID and authentication protocol of the RFID reader and tag. Simulate an electronic toll collection system that uses the Meta_ID code and proposed protocol, compared with the original system that uses the fix security code, in the case of 10,000, 100,000 and 1,000,000 user's tags. The simulation results show that the proposed system has a lower probability of hacking success than the original system in all 3 cases. Therefore, concluded that the proposed system has the security performance better than original system.

Keywords: RFID; Pseudo Random Number; Electronic Toll Collection System: ETC; Logistics

บทนำ

ในปี พ.ศ. 2558 รัฐบาลไทยได้กำหนดดิจิทัลนิยมนโยบายที่เรียกว่า ประเทศไทย 4.0 (Thailand 4.0) เพื่อพัฒนาเศรษฐกิจของประเทศไทยไปสู่ความมั่นคง มั่งคั่ง และยั่งยืน ด้วยการพัฒนาอุตสาหกรรม 10 กลุ่ม หนึ่งในนั้นซึ่งถือว่ามีความสำคัญคืออุตสาหกรรมการบินและโลจิสติกส์ (Aviation and Logistics) กลไกสำคัญในการขับเคลื่อนอุตสาหกรรมกลุ่มนี้คือ การขนส่งและบริการด้านโลจิสติกส์ที่ต้องการความรวดเร็ว ปลอดภัย และมีความน่าเชื่อถือสูง ทั้งการคมนาคมทางอากาศ และภาคพื้นดิน การนำพาเทคโนโลยีเข้ามาพัฒนา ปรับใช้ในกระบวนการตรวจสอบและยืนยันตัวตนในการผ่านทาง การผ่านด่าน และการขนส่งสินค้า จึงถือว่าจำเป็นอย่างยิ่ง ปัจจุบันประเทศไทยพัฒนาการคมนาคมขนส่งไปสู่ระบบอัตโนมัติ เพื่อรองรับ ปริมาณประชากร ยานพาหนะ และการขนส่งสินค้าที่เพิ่มขึ้น การบ่งชี้หรือระบุเอกสารลักษณ์ตัวถุกด้วยคลื่น ความถี่วิทยุ (Radio Frequency Identification) เรียกว่า อาร์เอฟไอเดีย (RFID) เป็นเทคโนโลยี สำหรับการบ่งชี้เอกสารลักษณ์ตัวถุกหรือลิงของด้วยคลื่นความถี่วิทยุเพื่อการยืนยันตัวตนของตัวถุกหรือลิงของนั้น (Identification and Authentication) ปัจจุบันได้ถูกนำไปประยุกต์ใช้อย่างกว้างขวางในกิจการคมนาคม ขนส่งและโลจิสติกส์ [1] - [2]

การประยุกต์ใช้อาร์เอฟไอเดียในกิจการคมนาคมขนส่งและโลจิสติกส์ อย่างเช่น ระบบผ่านทางและ ตัวโดยสารอิเล็กทรอนิกส์ (E-ticket) ยังมีปัญหาด้านการชนกันของข้อมูล (Collision) รวมถึงการรักษา ความปลอดภัยของข้อมูล (Security) ในกระบวนการยืนยันตัวตน เช่น การถอดแบบหรือโคลนนิ่งรหัส หรือบัตรถ่ายเพื่อใช้ซ้ำ (Cloning Problem) การดักจับรหัสและข้อมูลลับระหว่างการรับส่งในกระบวนการ ตรวจสอบรหัส (Tracking Problem) เป็นต้น มีบุคคลวิจัยพยายามได้เสนอการพัฒนาอาร์เอฟไอเดีย

ให้มีความปลอดภัยของข้อมูลเพื่อนำไปใช้งานด้านต่าง ๆ ยกตัวอย่างเช่น [3] ได้เสนอการวิเคราะห์โพรโทคอล (Protocol) บื้องต้นการชนกันของข้อมูลสำหรับการซีเจพะสินค้าด้วยคลื่นความถี่วิทยุในระบบการจัดการโลจิสติกส์ โดยสรุปไว้ว่า ระบบอาร์เอฟไอเดียที่ใช้โพรโทคอล ABS หรือ AQS มีความเหมาะสมที่จะนำไปประยุกต์ใช้ในการคมนาคมขนส่งและโลจิสติกส์ [4] ได้เสนอการออกแบบระบบเก็บค่าผ่านทางพิเศษอัตโนมัติที่ใช้งานร่วมระหว่างอาร์เอฟไอเดียกับการประมวลผลภาพ [5] ได้เสนอโพรโทคอลอาร์เอฟไอเดียที่ป้องกันการอดแบบ [6] ได้เสนอการสร้างกฎจราจรที่มีความปลอดภัยในการส่งผ่านข้อมูล [7] ได้เสนอการพัฒนาประสิทธิภาพของระบบอาร์เอฟไอเดียโดยใช้การลีส์ลาร์แบบ Frame ALOHA [8] ได้เสนอโพรโทคอลนำหน้าเก่าสำหรับการลีส์ลาร์ด้วยอาร์เอฟไอเดียที่มีคุณสมบัติการยืนยันตัวตนแบบสองทาง รวมถึงงานวิจัย [9]-[11] ที่เสนอโพรโทคอลที่มีความปลอดภัยในการตรวจสอบและยืนยันตัวตนของระบบอาร์เอฟไอเดีย

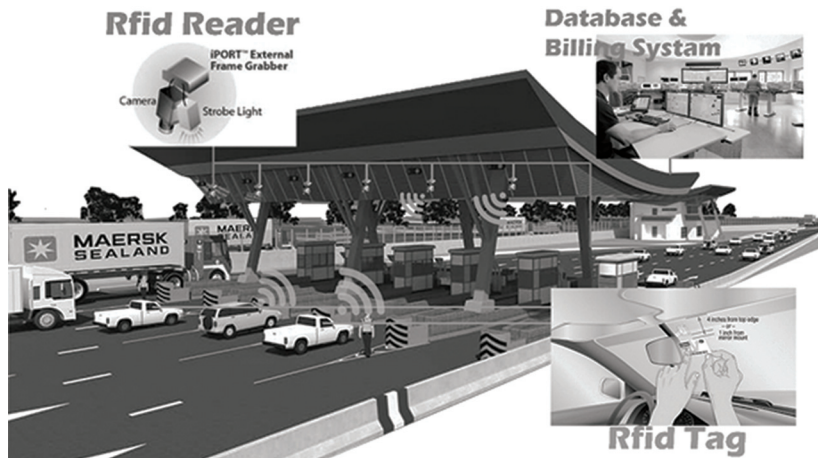
อย่างไรก็ตาม โพรโทคอลที่มีความปลอดภัยสูงย่อมมีความ слับซับซ้อนและต้องการทรัพยากรสูงตามไปด้วย อาทิเช่น ความสามารถประมวลผลของไมโครชิพ หน่วยความจำ และแหล่งพลังงานของอาร์เอฟไอเดีย ทำให้เกิดอุปสรรคในการนำไปใช้งานจริงในระบบเก็บค่าผ่านทางพิเศษอัตโนมัติ ด้วยสารและโลจิสติกส์ ซึ่งใช้อาร์เอฟไอเดียชนิดต้นทุนต่ำ (Low-Cost RFID) เป็นทรัพยากร浩ลัก ดังนั้นจึงเป็นที่มาของวัตถุประสงค์การวิจัยนี้คือ (1) ออกแบบและสร้างรหัส Meta_ID สำหรับการรักษาความปลอดภัยที่ยากต่อการลอกเลียนแบบหรือทำซ้ำ (2) ทดสอบใช้งานในสถานการณ์จำลองกระบวนการตรวจสอบรถลับและยืนยันตัวตนของเครื่องอ่านและป้ายอาร์เอฟไอเดียชนิดต้นทุนต่ำที่ใช้ในระบบเก็บค่าผ่านทางพิเศษอัตโนมัติ (3) ประเมินผลด้านการรักษาความปลอดภัยของระบบที่นำเสนอเปรียบเทียบกับระบบเดิม

วิธีดำเนินการวิจัย

1. ศึกษาการประยุกต์ใช้งานอาร์เอฟไอเดียในระบบเก็บค่าผ่านทางพิเศษอัตโนมัติ

การบ่งชี้หรือระบุเอกสารลักษณะวัตถุด้วยคลื่นความถี่วิทยุหรืออาร์เอฟไอเดียเป็นเทคโนโลยีที่พัฒนาต่อเนื่องมาจากการหัสดีแท็กบาร์โค้ด (Barcode) ที่ใช้อย่างแพร่หลายในระบบขนส่งสินค้า ระบบจัดเก็บและตรวจสอบลินค้าคงคลัง การตรวจสอบลินค้าในห้องส่วนพิเศษและร้านสะดวกซื้อ รวมถึงในระบบตัวโดยสาร เช่น ตัวรัตไฟ ตัวเครื่องบิน เป็นต้น ระบบบาร์โค้ดใช้วิธีประมวลผลภาพรหัสแท่งในการยืนยันตัวตน การใช้งานบาร์โค้ดจึงต้องระมัดระวังไม่ให้แผ่นป้ายรหัสแท่งเกิดความเสียหาย อีกทั้งยังต้องระมัดระวังเรื่องการลอกเลียนหรือทำซ้ำซึ่งสามารถทำได้โดยง่าย เช่น การถ่ายภาพรหัสแท่งด้วยโทรศัพท์มือถือและนำไปใช้ซ้ำ เป็นต้น ปัจจุบันได้มีการพัฒนาอาร์เอฟไอเดียมาใช้งานที่ต้องการความปลอดภัยสูงกว่าบาร์โค้ด เนื่องจากมีข้อดีกว่าหลายประการ เช่น (1) ประสิทธิภาพการระบุสินค้าหรือลิ๊งของที่ดีกว่าเดิมจากการร่วงหลุดล่อนคลื่นความถี่วิทยุโดยต้องกันของเครื่องอ่าน (Reader) กับป้าย (Tag) ที่บรรจุรหัสลับ (Code) ที่ใช้ในการตรวจสอบและยืนยันตัวตนของลินค้าหรือลิ๊งของ (2) ป้ายอาร์เอฟไอเดียฝังอยู่ในตัวลินค้าหรือทึบห้องไม่มีการสัมผัสถูกกับเครื่องอ่าน ไม่ต้องมองเห็น อาศัยการส่งสัญญาณคลื่นความถี่วิทยุระยะใกล้ พوبرามาน ทำให้มีความทนทานและคล่องตัวกว่าระบบเดิม สามารถอ่านรายการสินค้าในโกดังหรือตู้ชั้นล่งสินค้าได้โดยไม่จำเป็นต้องมองเห็นลิ๊งของหรือลินค้านั้น ๆ ด้วยเหตุนี้ อาร์เอฟไอเดียเป็นที่นิยมนำมาใช้ในกิจกรรมต่าง ๆ ที่ต้องการความมั่นคงปลอดภัย ซึ่งหนึ่งในนั้นคือ ระบบเก็บค่าผ่านทางพิเศษอัตโนมัติ (Electronic Toll Collection System: ETC) ดังแสดงในรูปที่ 1 ปัจจุบันการทางพิเศษแห่ง

ประเทศไทยได้นำระบบเก็บค่าผ่านทางพิเศษอัตโนมัติมาใช้ในหลายเส้นทางในพื้นที่กรุงเทพมหานครและปริมณฑล อาทิเช่น เส้นทางพิเศษฉลองรัช เส้นทางพิเศษบางพลี-สุขลวัสดี เส้นทางบูรพาภิเษก เส้นทางมอเตอร์เวย์บางนา-บางปะอิน และอื่น ๆ ทั้งนี้เพื่อเพิ่มประสิทธิภาพการจัดเก็บค่าผ่านทาง และลดเวลาในแถวหรือคิว (Queue) รอจ่ายค่าผ่านทาง



รูปที่ 1 ระบบเก็บค่าผ่านทางพิเศษอัตโนมัติ

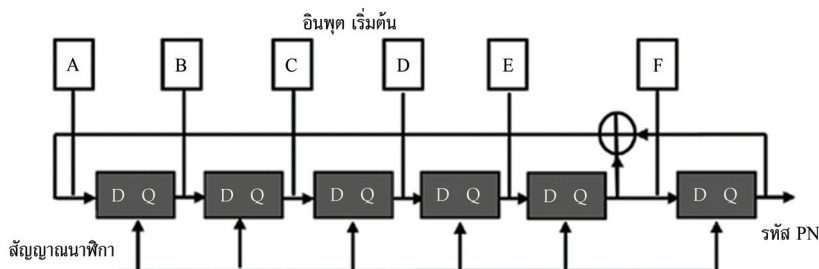
องค์ประกอบของอาร์เอฟไออีในระบบเก็บค่าผ่านทางพิเศษอัตโนมัติ มี 3 ส่วนที่สำคัญแสวงดังดังรูปที่ 1 คือ (1) ป้ายอาร์เอฟไออี (RFID Tag) เป็นตัวเก็บรหัสหรือหมายเลข ID ที่ใช้สำหรับการตรวจสอบและยืนยันตัวตน โดยทั่วไปแล้วป้ายอาร์เอฟไออีแบ่งออกเป็น 2 ประเภทคือ ป้ายพาลซีพ (Passive Tag) เป็นป้ายที่ไม่มีแบตเตอรี่ในตัวเอง ทำงานโดยอาศัยพลังงานจากการเหนี่ยวนำสำเนามagneเลลิกไฟฟ้าจากเครื่องอ่าน มีวิธีการรับส่งข้อมูลระยะสั้น ๆ ใช้กับช่องทางจ่ายเงินสด และป้ายแอคทีฟ (Active Tag) เป็นป้ายที่มีแบตเตอรี่ในตัวเอง ทำงานโดยอาศัยพลังงานแบตเตอรี่และพลังงานไฟฟ้าจากการเหนี่ยวนำสำเนามagneเลลิกไฟฟ้าจากเครื่องอ่านข้อมูล วิธีการรับส่งข้อมูลมีระยะไกล สามารถติดตั้งบริเวณกระจกหน้า yan พาหนะได้ (2) เครื่องอ่านข้อมูล (RFID Reader) ประกอบด้วย วงจรกำเนิดสำเนามagneเลลิกไฟฟ้า วงจรรับส่งข้อมูลและอ่านรหัสหรือหมายเลข ID จากป้ายที่เข้ามาในวิสัยทำการ เครื่องอ่านข้อมูลจะติดตั้งบริเวณทางเข้าช่องผ่านทางอัตโนมัติ และ (3) ระบบฐานข้อมูลและการเรียกเก็บเงิน (Database and Billing System) ทำหน้าที่เก็บข้อมูลของผู้ใช้งานทั้งเลขรหัสสำหรับการยืนยันตัวตน ยอดเงินในบัญชี การคำนวณค่าผ่านทางและการตัดยอดบัญชีอัตโนมัติ ระบบฐานข้อมูลจะติดตั้งในอาคารสำนักงานควบคุมด่านผ่านทาง และเชื่อมต่อผ่านโครงข่ายสื่อสารไปยังฐานข้อมูลกลางเพื่อให้บริการครอบคลุมได้ทั่วถึง

2. ออกแบบและสร้างรหัสรักษาความปลอดภัย

กุญแจรหัสเพื่อการรักษาความปลอดภัย คือ รหัสลับข้อมูลที่ใช้ในกระบวนการยืนยันตัวตนของอาร์เอฟไออี ซึ่งจะต้องมีหนึ่งเดียวในระบบ (Uniqueness) รหัสนี้จะถูกกำหนดขึ้นเพื่อบ่งบอกข้อมูลเฉพาะตัวในกระบวนการตรวจสอบเอกลักษณ์และการยืนยันตน (Identification and Authentication) เครื่องอ่านจะทำการติดต่อกับป้ายอาร์เอฟไออี เมื่อเครื่องอ่านสามารถอ่านข้อมูลรหัสจากป้ายและเปรียบเทียบ

ตรงกับฐานข้อมูลรหัสได้ เครื่องอ่านจะยืนยันตัวตนของบัตรหรืออิเก้นเดนท์คือยืนยันผู้ใช้นั้นเอง อย่างไรก็ตาม ข้อมูลรหัสนี้จะต้องเป็นความลับระหว่างเครื่องอ่านและบัตรนี้เท่านั้น ทั้งนี้เพื่อป้องกันการแทรกแซง หรือ การล้วงข้อมูล หรือการโจมตีเพื่อล้วงรหัส (Hacking) จากผู้ไม่ประสงค์ดี

บทความน่าสนใจวิธีการสร้างรหัสลับจากการจารอิเล็กทรอนิกส์ที่เรียกว่า Maximum Length Sequence Pseudo-Random Noise Generation เรียกสั้น ๆ ว่ารหัส PN [12] แสดงในรูปที่ 2



รูปที่ 2 วงจรสร้างรหัสเลขลุ่มเทียมแบบ Maximum Length Sequence Pseudorandom Noise [12]

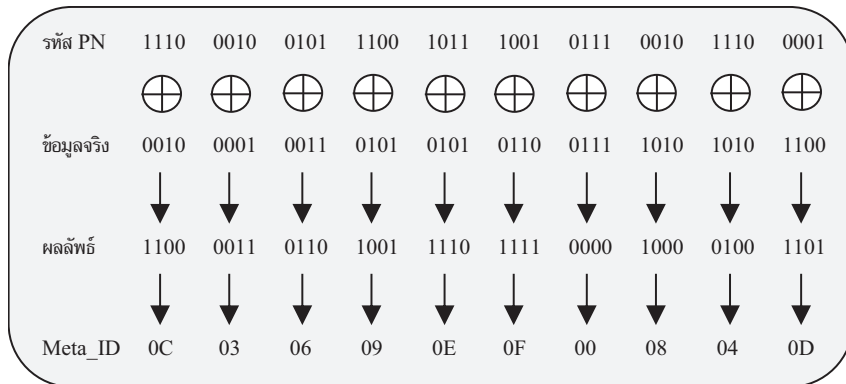
รหัส PN เป็นรหัสที่สร้างขึ้นจากการจารอิเล็กทรอนิกส์ที่ประกอบด้วย ชิพตรีจิสเตอร์ (Shift Register) จำนวนหนึ่งที่ต่อเข้ามกันแบบอนุกรมเพื่อทำหน้าที่เป็นองค์ประกอบในการประวิง (Delay Element) และมีการป้อนกลับของลัญญาณจากชิพตรีจิสเตอร์ (Feedback Loop) อย่างน้อย 2 ตำแหน่งกลับไปยังทางด้านขาเข้าของชิพตรีจิสเตอร์ตัวแรก ชุดวงจรนี้สามารถสร้างลำดับความยาวสูงสุด (Maximum-Sequence หรือ M-Sequence) ได้เท่ากับ $2^n - 1$ เมื่อ n คือ จำนวนของชิพตรีจิสเตอร์ที่ใช้หั้งหมด อย่างไรก็ตาม การให้ได้มาซึ่งรหัสที่มีความแตกต่างกันนั้นขึ้นอยู่กับค่าเริ่มต้นของ Delay Element และตำแหน่งแทป (Taps) ของ Feedback Loop ดังรูปที่ 2 ซึ่งเขียนอยู่ในรูปโพลีโนเมียลได้ดังสมการที่ (1)

$$X^n + \dots + X^4 + X^3 + X^2 + X + 1 \quad (1)$$

เมื่อ

X^n คือ ตำแหน่งของชิพตรีจิสเตอร์ที่ทำการแทปลัญญาณทางด้านขวาออก อย่างน้อย 2 ตำแหน่งที่นำมาร่วมกันตามกฎ模 2 (Modulo2) แทนด้วยเครื่องหมาย \oplus ในรูปที่ 2

เมื่อนำรหัส PN ที่ออกแบบและสร้างขึ้นไปรวมแบบมอดูล 2 กับข้อมูลจริง จะได้รหัสลับที่เรียกว่า Meta_ID ซึ่งเป็นรหัสที่จะนำไปเขียนลงหน่วยความจำในไมโครชิพของบัตรอาร์เอฟไอคี ความลับนั้นชัดเจนหรือความยากในการแก้รหัสจะขึ้นอยู่กับการออกแบบ Feedback Loop รวมถึงข้อมูลค่าเริ่มต้นใน Delay Element ที่กำหนดโดยผู้สร้าง ตัวอย่างเช่น ข้อมูลจริงที่ต้องการบันทึกในบัตรคือ 2135567AAC แปลงเป็นเลขฐานสองแล้วนำไปรวมกับรหัส PN ที่สร้างขึ้น จากนั้นแปลงผลลัพธ์เหล็กฐานสองเป็นฐานลิบวก จะได้รหัส Meta_ID ที่จะเขียนลงหน่วยความจำในไมโครชิพของบัตรดังรูปที่ 3



รูปที่ 3 ผลรวมแบบมอคุโล 2 ของรหัส PN กับข้อมูลจริง

3. ออกแบบโทรศัพท์เคลื่อนที่

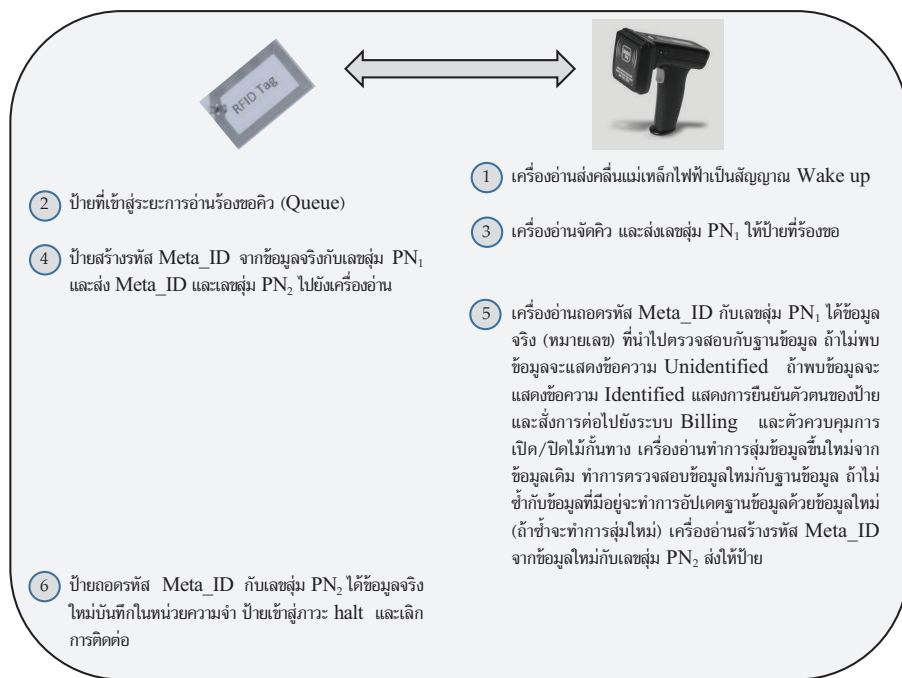
ลำดับขั้นตอนและข้อกำหนดในกระบวนการติดต่อสื่อสารกันระหว่างเครื่องอ่านข้อมูล (รวมทั้งฐานข้อมูล) กับบ้านเรียกว่า โทรศัพท์คอล (Protocol) มีกระบวนการโดยรวมคือ เมื่อบ้านเรียบมาในวิสัยทำการของเครื่องอ่าน เครื่องอ่านจะทำการจัดคิวอ่านบาร์โค้ดเพื่อป้องกันการชนกันของข้อมูล กรณีมีบ้านเรียบปริมาณมาก ๆ อยู่ในวิสัยทำการของเครื่องอ่าน ซึ่งจะส่งผลให้การยืนยันต้นเกิดความผิดพลาด โดยเฉพาะการยืนยันต้นของบาร์โค้ดหลายตัว หรือกรณีการประยุกต์ใช้กับลินค้าที่อยู่บนสายพานลำเรียงหรือลินค้าที่บรรจุในตู้คอนเทนเนอร์เคลื่อนที่ บทความวิจัยนี้ได้นำโทรศัพท์คอลป้องกันการชนกันของข้อมูลมาประยุกต์ใช้เพื่อทดสอบกับบาร์โค้ดชิ้นเดียว 13.56 MHz ISM Band Class 1 Radio Frequency Identification Tag Interface Standard [13] จากนั้นทำการออกแบบโทรศัพท์คอลการสื่อสารและการยืนยันตัวตนของบาร์โค้ดสำหรับระบบเก็บค่าผ่านทางพิเศษอัตโนมัติใช้รหัสรักษาความปลอดภัยที่นำเสนอด้วยตัวตนต่าง ๆ สามารถแสดงดังรูปที่ 4

จากรูปที่ 4 กระบวนการติดต่อสื่อสารระหว่างเครื่องอ่านและบาร์โค้ดจะผ่านการเข้ารหัสลับเพื่อรักษาความปลอดภัยสำหรับระบบเก็บค่าผ่านทางพิเศษอัตโนมัติทั้งขาไปและขากลับ รหัสลับที่ใช้ติดต่อสื่อสารจะสร้างจากเลขสุ่มด้วยวงจรอิเล็กทรอนิกส์ที่เรียกว่า Maximum Length Sequence Pseudo-Random Noise Generator ดังแสดงในทวีช้อ 2. รหัสลับดังกล่าวมีเฉพาะเครื่องอ่านกับบาร์โค้ยที่กำลังติดต่อสื่อสารเท่านั้นที่รู้จัก อีกทั้งรหัสลับที่ใช้ติดต่อสื่อสารในแต่ละครั้งถูกสร้างขึ้นเพื่อไข้เพียงครั้งเดียว จึงเป็นการยากที่จะติดตามและรอยข้อมูลจริงได้ในเวลาอันสั้น ซึ่งในการติดต่อสื่อสารแต่ละครั้งจะใช้เวลาเพียงไม่กี่มิลลิวินาทีเท่านั้น [3]

4. จำลองสถานการณ์

การจำลองสถานการณ์ระบบเก็บค่าผ่านทางพิเศษอัตโนมัติ ในล้วนของการออกแบบและสร้างรหัส Meta_ID ตั้งแต่การสร้างรหัส PN การรวมแบบมอคุโล 2 การแปลงเลขฐาน และการยืนยันตัวตนของบาร์โค้ด (การเข้ารหัส ถอดรหัส และตรวจสอบรหัสข้อมูล) จะดำเนินการอยู่บนเฟิร์มแวร์ (Firmware) ที่เขียนขึ้นด้วยโปรแกรม Microsoft Visual Studio ส่วนการติดต่อสื่อสารระหว่างเครื่องอ่าน/เขียนข้อมูล กับบาร์โค้ดจะทำการเชื่อมต่อผ่าน RFID 13.56 MHZ ISM Band Class 1 Radio Frequency Identification Tag ตามข้อกำหนดมาตรฐาน 13.56 MHz ISM Band Class 1 Radio Frequency Identification Tag

Interface Standard สำหรับการจำลองการทำงานของอาร์เอฟไอดีชนิดต้นทุนต่ำที่ใช้ในระบบเก็บค่าผ่านทางพิเศษอัตโนมัติสามารถแสดงดังรูปที่ 5 ซึ่งประกอบด้วย 3 ส่วนหลัก ได้แก่ ส่วนที่หนึ่งคือโปรแกรมที่ใช้สร้าง ตรวจสอบ และยืนยันตัวตนจะทำงานอยู่บนระบบคอมพิวเตอร์ ส่วนที่สองคือเครื่องอ่าน/เขียนรหัสเลือกใช้ตัวเทียบเท่ากับเครื่องอ่านบัตรผ่านเข้า/ออกของค่ายผ่านทางพิเศษ และส่วนสุดท้ายคือ บัตรอาร์เอฟไอดีเลือกใช้แบบเดียวกับบัตรผ่านทางพิเศษอัตโนมัติ พารามิเตอร์สำหรับการจำลองสถานการณ์กำหนดไว้ดังตารางที่ 1



รูปที่ 4 โปรแกรมการลื่อสารและยืนยันตัวตนระหว่างเครื่องอ่านข้อมูลกับบัตรอาร์เอฟไอดี

โปรแกรมสร้างและตรวจสอบรหัส → เครื่องอ่าน/เขียนรหัส ← ป้าย RFID



รูปที่ 5 การจำลองสถานการณ์รหัส Meta_ID สำหรับอาร์เอฟไอดีชนิดต้นทุนต่ำในระบบเก็บค่าผ่านทางพิเศษอัตโนมัติ

ตารางที่ 1 พารามิเตอร์สำหรับการจำลองสถานการณ์

พารามิเตอร์	รายละเอียด
Standard	ISO/IEC 14443 Type A
Device	RFID 13.56 MHz Read/Write Mifare Module
Meta_ID length (HEX)	10 บิต
Delay element	64
PN maximum length	18446744073709551615

ผลการวิจัยและการอภิปรายผล

ทำการทดสอบโปรแกรมรหัส (เลข ID) ตัวอย่าง 7D 74 DB 66 9A ลงในป้ายอาร์เอฟไอดีของผู้ใช้งาน ด้วยโปรแกรมที่ใช้สร้างรหัส Meta_ID และโทรศัพท์ที่นำเสนอด้วยสำเนาไปอ่านและยืนยันตัวตนตามสถานการณ์จำลองในรูปที่ 5 จำนวน 5 ครั้ง ได้ผลดังตารางที่ 2 พบว่าข้อมูลที่อ่านได้มีค่าตรงกับฐานข้อมูล แต่มีค่าเปลี่ยนไปทุกรอบการอ่าน เนื่องจากมีการอัปเดตรหัสใหม่ทุกครั้งที่ประสบผลลัพธ์ สถานะของการยืนยันตัวตนคือ Identified และถึงการยืนยันตัวตนสำเร็จ จำนวนนำป้ายอาร์เอฟไอดีเดียวกันนี้ มาโปรแกรมรหัสตัวอย่าง 7D 74 DB 66 9A อีกครั้ง แล้วนำไปอ่านด้วยเครื่องอ่านอาร์เอฟไอดีแบบดั้งเดิม ได้ผลดังตารางที่ 3 พบว่า เครื่องอ่านทำการอ่านข้อมูลช้าหลังครั้ง แต่ข้อมูลที่อ่านได้ไม่ตรงกับรหัส (หมายเลข) ในฐานข้อมูล สถานะของการยืนยันตัวตนคือ Unidentified และถึงการยืนยันตัวตนไม่สำเร็จ

ตารางที่ 2 ผลการยืนยันตัวตนของป้ายด้วยเครื่องอ่านอาร์เอฟไอดีที่ใช้โทรศัพท์ที่นำเสนอด

ครั้งที่	ข้อมูลรหัส (เลข ID) ที่ เขียนลงป้ายและฐานข้อมูล	ข้อมูลที่อ่านได้จากตัวอ่าน อาร์เอฟไอดีที่นำเสนอด	สถานะ (Status)
1	7D 74 DB 66 9A	7D 74 DB 66 9A	Identified
2	1A 26 12 C1 70	1A 26 12 C1 70	Identified
3	D8 40 E9 91 26	D8 40 E9 91 26	Identified
4	08 7A 52 64 f2	08 7A 52 64 f2	Identified
5	87 36 3C DA 60	87 36 3C DA 60	Identified

ผลการทดสอบในตารางที่ 2 แสดงให้เห็นว่า การเขียน/อ่านข้อมูลในป้ายอาร์เอฟไอดีด้วยเครื่องอ่านที่ใช้รหัส Meta_ID ตามโทรศัพท์ที่นำเสนอมีความสามารถยืนยันตัวตนของป้ายได้ร้อยละ 100 ส่วนตารางที่ 3 แสดงให้เห็นว่า เครื่องอ่านอาร์เอฟไอดีแบบดั้งเดิมไม่สามารถอ่านและยืนยันตัวตนป้ายอาร์เอฟไอดีที่ใช้รหัส Meta_ID ตามโทรศัพท์แบบใหม่ที่นำเสนอด้วย

ตารางที่ 3 ผลการยืนยันตัวตนของป้ายด้วยเครื่องอ่านอาร์เอฟไอดีแบบดังเดิม

ครั้งที่	ช้อมูลรหัส (เลข ID) ที่ เขียนลงป้ายและฐานข้อมูล	ข้อมูลที่อ่านได้โดยตัวอ่าน อาร์เอฟไอดีแบบดังเดิม	สถานะ (Status)
1	7D 74 DB 66 9A	FF FF E8 13 9E 26 AF C5 72 44 BC 6D 78 50 66 2F 66 8F 95 67 45 40 35 DF 54 56 7D 1D A0 10 8F BE 40 0B FF FF	Unidentified
2	7D 74 DB 66 9A	FF FF 8E 4F A0 34 03 7C 72 20 46 12 BD 7B 74 BE F7 38 F3 3B 7B 52 99 66 54 32 87 62 65 3B 9D 2F D1 BC FF FF	Unidentified
3	7D 74 DB 66 9A	FF FF 11 9D E6 03 8B 4F CC 42 16 A7 D0 8D 9B 7D 9E 10 6C E9 3D 65 11 55 EA 50 D7 D7 08 CD 72 EC B8 94 FF FF	Unidentified
4	7D 74 DB 66 9A	FF FF 36 9D 38 35 76 31 A3 23 54 74 1E C1 16 D3 18 59 4B E9 E3 53 EC 2B 85 31 95 04 C6 81 FF 42 3E DD FF FF	Unidentified
5	7D 74 DB 66 9A	FF FF FB DF 2A 7B E4 2B 0D D3 A0 B2 0F 9A E9 7E C8 0E 86 AB F1 1D 7E 31 2B C1 61 C2 D7 DA 00 EF EE	Unidentified

การวิเคราะห์ความปลอดภัยของระบบที่นำเสนอด้วยค่าพารามิเตอร์ที่กำหนดในตารางที่ 1 ป้ายอาร์เอฟไอดีที่ใช้เป็นแบบ Mifare Classic 1K สามารถบันทึกข้อมูลขึ้นได้ 100,000 ครั้ง บนมาตรฐาน ISO/IEC 14443 Type A เป็นป้ายอาร์เอฟไอดีที่มีต้นทุนต่ำมีความยาวของรหัสเท่ากับ 10 บิต (HEX) โดยในหนึ่งระบบสามารถกำหนดรหัส (เลข ID) ที่ไม่ซ้ำกันได้ทั้งหมด $16^{10} = 1,099,511,627,776$ หรือประมาณ 1 ล้านล้านรหัส ข้อแตกต่างของระบบที่นำเสนอกับระบบดังเดิมคือ ระบบดังเดิมเมื่อทำการโปรแกรมรหัส (เลข ID) ลงในป้ายของผู้ใช้งานได้ ๆ แล้วจะไม่สามารถนำมายังรหัส (เลข ID) ได้จากการลุ้นเลือกและเขียนลงในหน่วยความจำของป้ายเพื่อเปิดให้ใช้งาน ความน่าจะเป็นของความสำเร็จในการล้วงรหัส (Probability of Hacking Success: $p(N_A)$) จะขึ้นอยู่กับจำนวนผู้ใช้ในระบบ และจำนวนครั้งของความพยายามโจมตีเพื่อล้วงรหัส (Number of Attraction) ความน่าจะเป็นของความสำเร็จในการล้วงรหัสกำหนดดังสมการที่ (2)

$$p(N_A) = \frac{N_A \cdot N_L}{16^{10}} \quad (2)$$

โดยที่

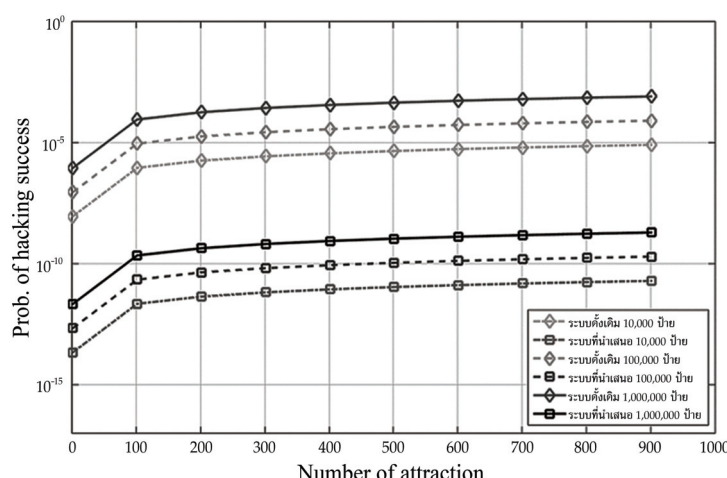
N_A คือ จำนวนครั้งที่พยายามโจมตี
 N_L คือ จำนวนผู้ใช้หรือป้าย

ในบทความนี้กำหนดคงค์ประกอบการประวิง (Delay Element) จำนวน 64 ตัว สามารถสร้างรหัสที่มีความยาวรอบเท่ากับ $2^{64} - 1 = 18,446,744,073,709,551,615$ หรือประมาณ 18×10^{18} ชิพ ระบบจะทำการสูญเสียรหัสครั้งละ 40 ชิพจากทั้งหมดเพื่อรวมกันข้อมูลจริง (เลข ID ของป้าย) 10 หลักแบบมอคูล 2 การรวมเป็นแบบบิตต่อบิต นอกจากนี้ระบบมีการดำเนินการอัปเดตรหัสใหม่ทุกครั้งที่มีการยืนยันตัวตนล้ำเร็ว รหัสลับที่ใช้คิดต่ออื่นๆ เป็นเลขสุ่มเข้ามา และเปลี่ยนทุกครั้งที่ทำการล็อคทั้งขาไปและขากลับตามໂพรໂทโคล ที่นำเสนอนี้ในหัวข้อ 3. ทำให้ความน่าจะเป็นของความสำเร็จในการล้วงรหัสยากขึ้นไปอีก ความน่าจะเป็นของความสำเร็จในการล้วงรหัสดังกล่าวสามารถกำหนดดังสมการที่ (3)

$$p(N_A) = \frac{N_A \cdot N_L}{(2^{64} - 1)/40} \quad (3)$$

ทำการวิเคราะห์เปรียบเทียบความน่าจะเป็นของความสำเร็จในการล้วงรหัสระหว่างระบบเก็บค่าผ่านทางพิเศษอัตโนมัติแบบดังเดิมที่ใช้อาร์เอฟไอเดิที่โปรแกรมรหัส (เลข ID) ลงในป้ายของผู้ใช้งานแบบตายตัวเมื่อเปิดใช้งานกับระบบเก็บค่าผ่านทางพิเศษอัตโนมัติที่ใช้รหัส Meta_ID และอัปเดตรหัสทุกครั้งที่ใช้งานและมีการยืนยันตัวตนสำเร็จตามໂพรໂทโคลที่นำเสนอดังรูปที่ 5 ผลการวิเคราะห์เปรียบเทียบแสดงดังรูปที่ 6

จากรูปที่ 6 ผลการจำลองสถานการณ์และวิเคราะห์ระบบเก็บค่าผ่านทางพิเศษอัตโนมัติที่ใช้ RFID แบบดังเดิมที่ใช้อาร์เอฟไอเดิที่โปรแกรมรหัสลงบนป้ายของผู้ใช้งานแบบตายตัว (แทนด้วยลัญลักษณ์ \diamond) เทียบกับแบบใหม่ที่ใช้รหัส Meta_ID และอัปเดตรหัสทุกครั้งที่ใช้งานและมีการยืนยันตัวตนสำเร็จตามໂพรໂทโคลที่นำเสนอด (แทนด้วยลัญลักษณ์ \square) ในสถานการณ์ที่มีจำนวนป้ายหรือผู้ใช้ป้ายในระบบ 3 กรณี คือ 10,000 100,000 และ 1,000,000 ป้าย/ผู้ใช้ และใช้ความพยายามโจมตีเพื่อล้วงรหัสจำนวน 1 100 200 300 400 500 600 700 800 900 ครั้ง จะพบว่า Graf ความน่าจะเป็นของความสำเร็จในการล้วงรหัสของแบบที่นำเสนอมีค่าต่ำกว่าแบบดังเดิมทุกกรณี



รูปที่ 6 ผลการเบรียบเทียบความน่าจะเป็นของความสำเร็จในการล้วงรหัสระหว่างระบบเก็บค่าผ่านทางพิเศษอัตโนมัติที่ใช้อาร์เอฟไอเดิมแบบดังเดิมกับแบบที่นำเสนอด

สรุป

บทความวิจัยนี้ได้เสนอวิธีการแก้ปัญหาการรักษาความปลอดภัยในการนำ้อาร์เอฟไอเด็มมาใช้ในระบบเก็บค่าผ่านทางพิเศษอัตโนมัติ โดยการออกแบบรหัสรักษาความปลอดภัยที่เรียกว่า Meta_ID เพื่อประยุกต์เข้ากับโทรศัพท์เคลื่อนยืนยันตัวตนของเครื่องอ่านและบ้ายาร์เอฟไอเด็มของระบบเก็บค่าผ่านทางพิเศษอัตโนมัติ การจำลองสถานการณ์ของระบบเก็บค่าผ่านทางพิเศษอัตโนมัติที่มีจำนวนบัญชีใช้บัญชีในระบบ 3 กรณีคือ 10,000 100,000 และ 1,000,000 บัญชี พบร่วมระบบเก็บค่าผ่านทางพิเศษอัตโนมัติที่ใช้รหัส Meta_ID และอัปเดตรหัสทุกครั้งที่ใช้งานตามโทรศัพท์เคลื่อนที่นำเสนอมีค่าความน่าจะเป็นของความสำเร็จในการล้วงรหัสต่ำกว่าระบบดังเดิมที่ใช้อาร์เอฟไอเด็มที่โปรแกรมรหัสลงบนบัญชีที่ใช้งานแบบตายตัวทั้ง 3 กรณี จากข้อมูลดังกล่าวสามารถยืนยันได้ว่าระบบที่นำเสนอมีสมรรถนะด้านการรักษาความลับหรือความปลอดภัยดีกว่าระบบดังเดิมรหัส Meta_ID ที่ออกแบบและสร้างขึ้นสามารถโปรแกรมลงในไมโครชิปของบ้ายาร์เอฟไอเด็มคันตันทุนต่อไปที่เป็นบัตรผ่านทางพิเศษได้ อย่างไรก็ตาม การนำไปใช้งานในสถานการณ์จริงต้องปรับปรุงเพิ่มเติมของเครื่องอ่านและเขียนข้อมูลของระบบเดิมเป็นระบบที่นำเสนอนอกเหนือความนี้

กิตติกรรมประกาศ

ขอขอบคุณผู้ทรงคุณวุฒิที่ให้คำวิจารณ์อันทรงคุณค่าสำหรับบทความวิจัยนี้ และขอบคุณคณะกรรมการศาสตราจารย์มหาวิทยาลัยเทคโนโลยีราชมงคลธัญบุรี ที่สนับสนุนการวิจัยให้สำเร็จลุล่วงด้วยดี

References

- [1] Syed Ahson and Mohammed Ilyas. (2008). **RFID Handbook: Applications, Technology, Security and Privacy**, N.Y.: CRC Press.
- [2] Kovinthaweewattana, P., Cheunta, W., Kuankid, S., Baongam, W., and Dinsakul, H. (2009). **Radio Frequency Identification (RFID) System**. National Science and Technology Development Agency (NSTDA.). (in Thai)
- [3] Vaodee, S., Dabbang, P., and Oncheanxit, J. (2010). Anti-Collision Protocol Analysis for Radio Frequency Identification in Logistics Management System. In **Proceedings of the Industrial Engineering Network 2010**. Ubonratchathani. (in Thai)
- [4] Tang Z. (2016). The Design of ETC System Based on RFID and Image Identification. In **Proceedings of the 2016 International Conference on Energy, Power and Electrical Engineering**. pp. 236-240. Shenzhen, China. DOI: 10.2991/epee-16.2016.53
- [5] Dimitriou, T. (2005). A lightweight RFID Protocol to Protect Against Traceability and Cloning Attacks. In **First International Conference on Security and Privacy for Emerging Areas in Communications Networks (SECURECOMM'05)**. Athens, Greece. pp.59-66. DOI: 10.1109/SECURECOMM.2005.4

- [6] Kungpisdan, S. and Metheekul, S. (2009). A Secure Offline Key Generation with Protection Against Key Compromise. In **WMSCI 2009: 13th World Multi-Conference on Systemics, Cybernetics and Informatics**. 10-13 July 2009, Orlando, Florida. pp. 63-67
- [7] Mungmee, S. and Sittichivapak, S. (2009). Development Efficiency of RFID System in Frame ALOHA Communication. **Ladkrabang Engineering Journal**. Vol. 26, No. 2, pp. 7-12 (in Thai)
- [8] Pechto, S. and Kungpisadan, S. (2010). Design and Development of a Lightweight RFID Security Protocol Offering Mutual Authentication. In **Proceedings of the 3rd National Conference on Information Technology (NCIT2010)**. Bangkok. (in Thai)
- [9] Lee, Y. K. and Verbauwhede, I. (2005). **Secure and Low-Cost RFID Authentication Protocols**. Access (4 June 2019). Available (https://www.researchgate.net/publication/250139714_Secure_and_Low-cost_RFID_Authentication_Protocols)
- [10] Khan, G. N. and Moessner, M. B. (2011). Secure Authentication Protocol for RFID Systems. In **Proceedings of the 20th International Conference on Computer Communications and Networks (ICCCN)**. Maui, Hawaii. pp. 379-384
- [11] Peng, P. and Zhao, Y. (2012). Anti-Cloning and Secure RFID Mutual Authentication Protocols. In **Proceedings of the 4th IEEE Conference on Broadband Network and Multimedia Technology**. Shenzhen, China. pp. 379-384
- [12] Dabbang, P. (2003). **Performance Analysis of Hybrid DS/SFH SSMA in Multi-user and Multi-rate Environment**. M. Eng. Dissertation King Mongkut's University of Technology Ladkrabang.
- [13] GS1 EPC global. (2011). **Specification for EPC HF RFID Air Interface**. Access (4 June 2019). Available (https://www.gs1.org/sites/default/files/docs/epc/epcglobal_hf_2_0_3-standard-20110905r3.pdf)

การสำรวจไอลเคนบริเวณป่าพรุในพื้นที่ปักปักพันธุกรรมพืชฯ มหาวิทยาลัยราชภัฏรำไพพรรณี

Survey of Lichen at Swamp Forest in Plant Genetic Protection Area, Rambhai Barni Rajabhat University

ชาวนรัตน์ สมนึก^{1*} และพิสูทธิ์ การบุญ²

Chawanrat Somnuek^{1*} and Phisut Kanboon²

Received: March 8, 2019; Revised: June 6, 2019; Accepted: June 6, 2019

บทคัดย่อ

การสำรวจไอลเคนบริเวณป่าพรุในพื้นที่ปักปักพันธุกรรมพืชฯ ของมหาวิทยาลัยราชภัฏรำไพพรรณีในช่วงเดือน มกราคม - ตุลาคม พ.ศ. 2561 ทำการเก็บตัวอย่างไอลเคนจากเปลือกต้นไม้ทุกต้นตลอดเส้นทางเดินสำรวจป่าพรุรวมระยะทาง 220 เมตร ร่วมกับการเก็บข้อมูลสภาพแวดล้อม พบตัวอย่างไอลเคนทั้งหมด 53 ตัวอย่าง ถูกนำมาวิเคราะห์ทางสัณฐานวิทยา อนุกรมวิธาน และทดสอบองค์ประกอบทางเคมีโดยวิธีทดสอบลีสในห้องปฏิบัติการ พบร่วมไอลเคนล้วนใหญ่มีรูปแบบการเจริญเติบโตเป็นแบบครัสโคลส์ไอลเคนคิดเป็นร้อยละ 96.23 มีเพียง 2 ตัวอย่าง ที่มีรูปแบบการเจริญเติบโตแบบแสความโล索 (Squamulose) คิดเป็นร้อยละ 3.77 โดยไอลเคนที่พบสามารถจำแนกได้ 10 วงศ์ 16 สกุล 27 ชนิด ซึ่งวงศ์ที่มีความหลากหลายมากที่สุด 3 อันดับแรก จำแนกตามจำนวนสกุลและชนิดที่ระบุได้ ได้แก่ วงศ์ Graphidaceae (7 สกุล 11 ชนิด และระบุชนิดไม่ได้ 1 ชนิด รวม 26 ตัวอย่าง) วงศ์ Pyrenulaceae (1 สกุล 3 ชนิด และระบุชนิดไม่ได้ 1 ชนิด รวม 8 ตัวอย่าง) และวงศ์ Malmideaceae (1 สกุล 1 ชนิด และระบุชนิดไม่ได้ 1 ชนิด รวม 6 ตัวอย่าง) คิดเป็นร้อยละ 49.06 15.09 และ 11.32 ตามลำดับ ซึ่งไอลเคนทั้ง 3 วงศ์นี้มักพบเจริญในสภาพแวดล้อมทั่วไปที่มีความชื้น และมีร่มเงา

คำสำคัญ : ไอลเคน; ป่าพรุ; มหาวิทยาลัยราชภัฏรำไพพรรณี

¹ คณะวิทยาศาสตร์และเทคโนโลยี มหาวิทยาลัยราชภัฏรำไพพรรณี จันทบุรี

² คณะมนุษยศาสตร์และสังคมศาสตร์ มหาวิทยาลัยราชภัฏรำไพพรรณี จันทบุรี

¹ Faculty of Science and Technology, Rambhai Barni Rajabhat University, Chanthaburi

² Faculty of Humanities and Social Science, Rambhai Barni Rajabhat University, Chanthaburi

* Corresponding Author E - mail Address: chawanrat.s@rbru.ac.th

Abstract

Lichen at swamp forest in Plant Genetic Conservation Project under the Royal Initiative of Her Royal Highness Maha Chakri Sirindhorn, Rambhai Barni Rajabhat University were surveyed in January - October 2018. The lichens were collected on both sides of the nature trail of swamp forest (about 220 meters), together with environmental data collection. Total of 53 samples were examined the morphology, taxonomy and chemical composition by spot test in laboratory. The predominance of taxa belonging to the crustose lichen (96.23 %) and only 2 samples were foliose lichen (3.77 %). The lichen samples were identified into 10 family, 16 genus and 27 species. The third largest family of lichen were Graphidaceae (7 genus, 11 species and non-identify 1 species, 26 samples), followed by Pyrenulaceae (1 genus, 3 species and non-identify 1 species, 8 samples) and Malmideaceae (1 genus, 1 species and non-identify 1 species, 6 samples), representing 49.06, 15.09 and 11.32, respectively. In which, these three lichens are usually grow in humid and shady environments.

Keywords: Lichen; Swamp Forest; Rambhai Barni Rajabhat University

บทนำ

ไลเคนเป็นสิ่งมีชีวิตที่เกิดจากการอยู่ร่วมกันแบบพึ่งพาอาศัยระหว่างราและสาหร่าย ซึ่งเป็นสิ่งมีชีวิตหนึ่งที่มีความหลากหลายทางพันธุกรรมค่อนข้างมาก เนื่องจากสาหร่ายชนิดหนึ่งสามารถเจริญคู่กับได้หลายชนิด และเกิดเป็นไลเคนชนิดใหม่ [1] ไลเคนมีรูปแบบการเจริญเติบโตที่แตกต่างจากราและสาหร่ายที่เจริญแบบเป็นอิสระ โดยการทำหน้าที่รักษาความชื้นและป้องกันอันตรายจากแสงอาทิตย์ให้กับสาหร่าย ส่วนสาหร่าย มีคลอโรฟิลล์สร้างอาหารจากการบวนการลังเคราะห์ด้วยแสงและแบ่งอาหารให้กับเชื้อรา [2]

ไลเคนมีประโยชน์ในหลายด้าน เช่น ใช้เป็นอาหาร น้ำหอม ยาภัณฑ์ ใช้ย้อมสี การตรวจสอบอายุของวัตถุโบราณ รวมถึงใช้เป็นตัวชี้วัดคุณภาพอากาศได้ เป็นต้น [3] การศึกษาความหลากหลายของไลเคนในประเทศไทยยังมีค่อนข้างน้อย โดยที่มีวิจัยของกันทรีย์และเวชศาสตร์ [1] มีการสำรวจแล้วประมาณ 1,700 ชนิด และยังมีการสำรวจอย่างต่อเนื่อง ซึ่งคาดว่าจะพบความหลากหลายของไลเคนเพิ่มขึ้น เนื่องจากสภาพแวดล้อมของประเทศไทยเหมาะสมต่อการเจริญเติบโตของไลเคน ซึ่งบทบาทของไลเคนสามารถนำมาใช้เป็นแหล่งเรียนรู้ทางทรัพยากรและนำไปใช้ประโยชน์ได้อย่างมีประสิทธิภาพมากขึ้น

ป้าปักปักพันธุกรรมพืชฯ ในมหาวิทยาลัยราชภัฏรำไพพรรณี เป็นป้าดังเดิมมีมาตั้งแต่ครั้งสมเด็จพระนางเจ้ารำไพพรรณีเสด็จมาซื้อที่ดินบริเวณบ้านเขaireย่า ตำบลท่าช้าง จังหวัดจันทบุรี ในปี พ.ศ. 2492 เพื่อสร้างพระตำหนักและทำการเกษตร รวมทั้งการพัฒนาอาชีพพอเลือดของชาวจันทบุรี ตั้งอยู่ทางทิศตะวันออกของมหาวิทยาลัยราชภัฏรำไพพรรณี มีพื้นที่ประมาณ 50 ไร่ สูงจากระดับน้ำทะเลประมาณ 20 เมตร ลักษณะพื้นที่เป็นแอ่งลุ่มกว่าพื้นที่โดยรอบ บริเวณตอนกลางเป็นที่ตอน พื้นที่

ດ້ານທີສະເໜີອຸ່ນຕຳເປັນດີນພຽມນີ້ນໍ້າຂັ້ນຕົດຕີປີ ໃນປ່າມີພື້ນຖຸໄມ້ທາກຫລາຍຂົນດີຂຶ້ນປົກຄຸມອ່າງໜາແນ່ນມີສັດວ່າ ທາກຫລາຍຂົນດີ ຮົມທັງເທົດ ຮາ ແລະຈຸລິນທີ່ຢູ່ຕ່າງ ຈຸ່າ ເທັມະສົມດ່າວກສົກຫາດ້ານອນຸກຮົມວິຖານ ຄຸນປະໂຍຸຂົນ ທາງສຸມໄພແລະອື່ນ ຈຸ່າ ຮົມຄົງສາມາຮັກໃໝ່ເປັນແຫ່ງເຮັດວຽກຮູ້ທີ່ສຳຄັນໃຫ້ກັນກົບເຮັດວຽກ ນັກສົກຫາແລະປະໜານທ່ານໄປ ໄດ້ເຂົ້າມາມີສ່ວນຮ່ວມໃນການເຮັດວຽກຮູ້ ສາມາຮັກໃໝ່ປະໂຍຸຂົນຈາກປ່າອນຸຮັກໝ່ອຍ່າງຄຸມຄ່າ ແລະສ້າງຈົດສຳນິກທີ່ດີ ຕ່າງການອນຸຮັກໝ່ອຍ່າງຄຸມຄ່າ ແລະສຳເນົາໄປ

ຈາກງານວິຈັກກ່ອນທັນນີ້ທ່າງການສ້າງຄວາມທາກຫລາຍຂອງໄລເຄນໃນພື້ນທີ່ປ່າທີ່ຕິດຕ່ອກັບເລັ້ນທາງ ຈາຈະແລ້ນທາງສົກຫາຮຽມພາດໃນພື້ນທີ່ປ່າປັກປັນຊຸກຮົມພຶ່ງ ພບວ່າຂົນດີແລະຈຳນວນຂອງໄລເຄນ ຮະຫວ່າງສອງພື້ນທີ່ມີຄວາມແຕກຕ່າງກັນ ໂດຍຄຸນກາພລື່ງແວດລ້ຳມທາງກາຍກາພໃນແຕ່ລະພື້ນທີ່ມີຄວາມແຕກຕ່າງກັນ ເປັນ ດັ່ງນັ້ນຂອງອຸ່ນທຸກົມ ຄວາມຂົນ ປົມມາລົມຄວາມເຂັ້ມແຂງ ເປັນຕົ້ນ ທີ່ປ່າຈັຍຕ່າງ ຈຸ່າ ເທົ່ານີ້ອ່ານຸ່າງລົ່ງຜົດຕ່ອກເຈົ້າ ຂອງໄລເຄນ ດັ່ງນັ້ນການສ້າງຈົດສຳນິກໃນພື້ນທີ່ການວິຈັກບົຣເວລນປ່າພຽງຮູ້ຈີ່ຈຶ່ງເປັນອົກບົຣເວລນທີ່ໃນພື້ນທີ່ປ່າປັກປັນຊຸກຮົມພຶ່ງ ມາຫວິທຍາລ້ຽງຮາກກັງຈຳໄພພຣຣນີທີ່ນ່າຈະມີພົບຂອງຄວາມຂົນ ອຸ່ນທຸກົມ ແລະປົມມາລົມແສງ ຂຶ້ງເປັນປ່າຈັຍຕ່ອກເຈົ້າຂອງໄລເຄນທີ່ແຕກຕ່າງກັນໄດ້ ແລະອ່ານຸ່າງໃຫ້ເປັນຂອ່ມງຸລໃນການສ້າງສະພາພື້ນທີ່ຕ່າງ ຈຸ່າ ຕ່າງການເຈົ້າຂອງໄລເຄນຕ່ອງໄປ

ວິທີດຳເນີນການວິຈັກ

ພື້ນທີ່ປ່າປັກປັນຊຸກຮົມພຶ່ງ ປະກອບດ້ວຍພື້ນທີ່ປ່າແລະມີເລັ້ນທາງເດີນສົກຫາຮຽມພາດທີ່ທັງທາງນັ້ນ (ຮູບທີ່ 1) ພື້ນທີ່ບົຣເວລນປ່າພຽງຮູ້ທີ່ລະດຸຈຸດ $12^{\circ}39'N$ ລອງດຸຈຸດ $102^{\circ}6'E$ ທີ່ຮະດັບຄວາມສູງທີ່ເກີດຂຶ້ນພື້ນທີ່ ທາງດີນ 2 ຮູ່ປະບົບ ຂຶ້ງການສ້າງຈົດສຳນິກໃນພື້ນທີ່ໄດ້ໂດຍສ້າງສູງຈາກພື້ນດີນປະມານ 1 - 1.5 ເມືດ ມີຮະຍາທາງ 100 ເມືດ ແລະເມື່ອລື້ນສຸດເລັ້ນທາງ ແພ່ນຄອນກົງປົກກົງທີ່ຈະເປັນເລັ້ນທາງເດີນພື້ນດີນທີ່ຕິດຕ່ອກັບແຫ່ງນ້ຳຮຽມພາດທີ່ອີກປະມານ 120 ເມືດ (ຮູບທີ່ 2) ຮັ້ນຮະຍາທາງປະມານ 220 ເມືດ



ຮູບທີ່ 1 ລັກຂະນະພື້ນທີ່ປ່າປັກປັນຊຸກຮົມພຶ່ງ ມາຫວິທຍາລ້ຽງຮາກກັງຈຳໄພພຣຣນີ



(ก) เส้นทางเดินแผ่นคอนกรีต

รูปที่ 2 ลักษณะเส้นทางศึกษาธรรมชาติ



(ข) เส้นทางพื้นดินติดแหล่งน้ำ

การเก็บตัวอย่างไอลเคนเก็บจากเปลือกไม้ทุกตันที่ขึ้นทั้งทางด้านซ้ายและขวาตลอดเส้นทางเดิน ในช่วงเดือนมกราคม - ตุลาคม 2561 โดยแบ่งการเก็บออกเป็น 3 ช่วง คือ เดือนมกราคม พฤศจิกายน และ ตุลาคม เดือนละ 1 ครั้ง เพื่อให้ครอบคลุมทุกช่วงฤดูกาล ซึ่งเก็บตัวอย่างจากพื้นทางเดินจนถึงความสูง ในระดับ 2 เมตร ตามรูปแบบของเส้นทางศึกษาธรรมชาติ ทำการวัดตำแหน่งทางภูมิศาสตร์ด้วยอุปกรณ์ ตรวจจับ GPS ยี่ห้อ Garmin รุ่น Etrex วัดสภาพแวดล้อมในพื้นที่ด้วยเครื่องวัดอุณหภูมิและความชื้น อากาศยี่ห้อ STANDARD รุ่น ST-8820 เครื่องวัดความชื้นแม่เหล็กไฟฟ้า Delta OHM รุ่น HD 9021 วัดเส้นรอบวงของต้นไม้ และเล่นผ่านคุณย์กลางของไอลเคน บันทึกภาพ พร้อมบันทึกจำนวน ตัวอย่างไอลเคน ถูกนำออกจากพื้นที่โดยใช้มีดเฉือนออกมาพร้อมกับเปลือกไม้ที่ไอลเคนเจริญติดอยู่ ห่อด้วยกระดาษทิชชู จากนั้นเก็บไปใช้ของการศึกษาลักษณะทางสัณฐานวิทยาภายในได้กล่องสแตเทอิโอลและกล่องจุลทรรศน์ เพื่อสังเกตลักษณะโครงสร้างของแทลลสภานยอก และตรวจสอบลักษณะทางกายวิภาควิทยา (Anatomy) โดยการตัดตามขวางของแทลลสและโครงสร้างสืบพันธุ์เพื่อศึกษาโครงสร้างภายใน และลักษณะของสปอร์ พร้อมกับการทดสอบหยดสี (Spot Test) บนแทลลส จากนั้นจำแนกชนิดของไอลเคนตามหลักอนุกรรมวิธาน

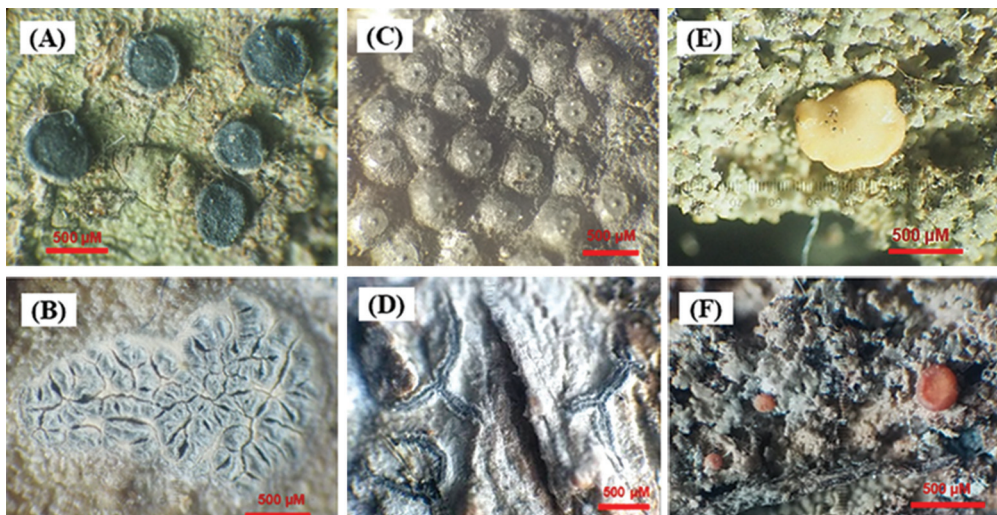
ผลการวิจัยและอภิปรายผลการวิจัย

จากการสำรวจไอลเคนในพื้นที่ป่าปักพันธุกรรมพืชอันเนื่องมาจากพระราชดำริฯ ของมหาวิทยาลัยราชภัฏ รำไพพรรณีบริเวณพื้นที่ป่าพรุดามเส้นทางเดินทั้งสองประเภทมีแสงส่องลงมาในพื้นที่ค่อนข้างน้อย ยกเว้นบริเวณที่มีรอยต่อ กับถนนด้านซ้ายของป่าที่มีแสงส่องล่องเต็มที่และอาจได้รับผลกระทบจากควันรถยนต์ และรถจักรยานยนต์ที่วิ่งผ่านมาได้ ต้นไม้ส่วนใหญ่เป็นไม้ขนาดเล็กถึงขนาดกลางและมีใบกว้างๆ ขึ้นปกคลุมโดยทั่วพื้นที่ (รูปที่ 2) มีเส้นรอบวงของต้นไม้ตั้งแต่ 2.9 - 22.8 นิ้ว ส่วนใหญ่ของไอลเคน มีความแตกต่างกันตามขนาดของต้นไม้ โดยมีเส้นผ่านศูนย์กลางตั้งแต่ 0.7 - 5.8 นิ้ว และมีข้อมูล การตรวจวัดสภาพแวดล้อมแสดงดังตารางที่ 1

ตารางที่ 1 ข้อมูลสภาพแวดล้อมในพื้นที่ปักปักพันธุกรรมพีชฯ

พารามิเตอร์	ช่วงการวัดที่ได้
ความชื้น	31.5 - 91.5 %RH
อุณหภูมิ	30.6 - 32.5 องศาเซลเซียล
ความชื้มแสง	235 - 5,701 ลักซ์

จากการสำรวจพื้นที่พบตัวอย่างไลเคนจำนวน 53 ตัวอย่าง ส่วนใหญ่มีรูปแบบการเจริญเติบโตเป็นแบบครัสโตส (Crustose) จำนวน 51 ตัวอย่าง และพันแบบสแควมูลส (Squamulose) จำนวนเพียง 2 ตัวอย่าง (รูปที่ 3) ซึ่งไลเคนที่สำรวจพบทั้งหมด สามารถจำแนกได้ 10 วงศ์ 16 สกุล 27 ชนิด แบ่งเป็นไลเคนที่ระบุสกุลและชนิดได้ 12 สกุล 17 ชนิด และไลเคนที่สามารถระบุสกุลแต่ไม่สามารถระบุชนิดได้ 10 ตัวอย่าง ดังตารางที่ 2



รูปที่ 3 ตัวอย่างครัสโตสไลเคน (A - D) และสแควมูลสไลเคน (E - F) ที่พบในพื้นที่ป่าพรุ

ไลเคนที่สำรวจในพื้นที่ป่าพรุมีจำนวนวงศ์เด่นของไลเคนที่พบ 3 อันดับแรก ได้แก่ วงศ์ Graphidaceae วงศ์ Pyrenulaceae และวงศ์ Malmideaceae เช่นเดียวกับการศึกษาในบริเวณเลี้นทางศึกษาธรรมชาติของพื้นที่ปักปักพันธุกรรมพีชฯ มหาวิทยาลัยราชภัฏรำไพพรรณี [4] ซึ่งจากรูปแบบการเจริญของไลเคนทั้ง 3 วงศ์ มักพบเจริญในพื้นที่ที่มีความชื้นและมีร่มเงา สามารถเจริญได้ทั้งเปลือกไม้ผิวเรียบและผิวขุรขระ รวมถึงมีความทนทานต่อมาลพิษ [5] - [6] แต่ววงศ์ Graphidaceae มีความสามารถในการเจริญในสภาพแวดล้อมที่หลากหลายในพื้นที่เขต้อนชื้น เจริญบนวัตถุอุ่นๆได้หลายรูปแบบ เช่นเปลือกไม้ ก้อนหิน ใบไม้ เป็นต้น จึงสามารถสำรวจพบไลเคนวงศ์นี้ได้มากกว่าวงศ์อื่น เช่นเดียวกับการศึกษาของ [7] ที่สำรวจไลเคนในพื้นที่ป่าชายเลนของภาคคุชชี จังหวัดตราด พบริเคนวงศ์ Graphidaceae เจริญมากที่สุด

ตารางที่ 2 ชนิดของໄລເຄນທີ່ພົບບຣິວເມເສັ້ນທາງສຶກຂາດຮຽມຫາຕີໃນພື້ນທີ່ປົກປັກພັນຊີກຣອມພື້ນ

วงศ์ (Family)	สกุล (Genus)	ชนิด (Species)	จำนวนตัวอย่าง
Arthopyreniaceae	<i>Arthopyrenia</i>	<i>alboatra</i> (Krempelh.) Mull. Arg.	3
Coenogoniaceae	<i>Coenogonium</i>	<i>luteum</i> (Dicks.) Kalb & Lücking	1
Graphidaceae	<i>Chapsa</i>	sp.	1
	<i>Glyphis</i>	<i>scyphulifera</i> (Ach.) Staiger	1
		<i>caesiocarpa</i> Redinger	1
	<i>Graphis</i>	<i>draceneae</i> Vain.	1
		sp.	3
	<i>Hemithecium</i>	<i>implicatum</i> (Fée) Staiger	4
	<i>Ocellularia</i>	<i>diacida</i> Hale.	2
		<i>papillata</i> (Leight.) Zahlbr.	4
		<i>brasiliensis</i> (A. Massal.) Kalb & Matthes-Leicht	3
	<i>Phaeographis</i>	<i>intricans</i> (Nyl.) Staiger	2
		sp.	1
	<i>Sarcographa</i>	<i>labyrinthica</i> (Ach.) Müll. Arg.	3
Malmideaceae	<i>Malmidea</i>	<i>inflata</i> Kalb.	2
		sp.	4
Monoblastiaceae	<i>Anthracothecium</i>	<i>polycarpum</i> (Müll. Arg.) R. C. Harris	1
Porinaceae	<i>Porina</i>	sp.1	1
		sp.2	1
		<i>anomala</i> (Ach.) A. Massal.	2
Pyrenulaceae	<i>Pyrenula</i>	<i>aspistea</i> (Afzel. ex Ach.) Ach	4
		<i>kurzii</i> A. Sing & Upreti	1
		sp.	1
Monoblastiaceae	<i>Anisomeridium</i>	<i>polycarpum</i> (Müll. Arg.) R. C. Harris	2
Ramalinaceae	<i>Phyllopsora</i>	sp.1	1
		sp.2	1
Xylariaceae	<i>Annulohypoxylon</i>	sp.	2
10 วงศ์	16 สกุล	27 ชนิด	53 ตัวอย่าง

หมายเหตุ sp. គີ່ລົບສັບອອງໄລເຄນທີ່ຍັງໄມ່ສາມາຮຽນບຸນຸ່ມືດໄດ້ແນ່ນອນ

บริเวณพื้นที่ป่าพรุที่ทำการสำรวจไลเคนนั้นเป็นพื้นที่ส่วนหนึ่งในป่าปักปักพันธุกรรมพืชฯ ที่อยู่ติดกับอาณาเขตของบริเวณเลี้นทางศึกษาธรรมชาติ มีความชื้น อุณหภูมิ และความเข้มแสงที่ตรวจวัดในพื้นที่ป่าพรุ (ตารางที่ 1) สูงกว่าค่าที่ตรวจวัดได้ในพื้นที่เลี้นทางศึกษาธรรมชาติ (ค่าความชื้นเฉลี่ยร้อยละ 53.3 อุณหภูมิเฉลี่ย 25 องศาเซลเซียส และความเข้มแสงเฉลี่ย 240.8 ลักซ์) แต่มีค่าไม่แตกต่างกันมากนัก จึงอาจล่วงผลให้ชนิดของไลเคนที่เจริญเติบโตได้มีลักษณะใกล้เคียงกัน อย่างไรก็ตามจำนวนและชนิดของไลเคนที่พบในพื้นที่ป่าพรุมีจำนวนน้อยกว่าที่พบในเลี้นทางศึกษาธรรมชาติอาจเนื่องมาจากขนาดของพื้นที่ และสภาพแวดล้อมในบางส่วนของพื้นที่มีความแตกต่างกัน เช่น พื้นที่ชั่นน้ำ หรือปริมาณดินไม่เท่ากัน เป็นต้น โดยพื้นที่ป่าพรุนั้นพื้นที่ส่วนใหญ่เป็นพื้นที่ชั่นน้ำซึ่งอาจล่วงผลถึงความชื้นในพื้นที่และปริมาณดินไม่เท่ากันขึ้น บนพื้นดินที่มีน้ำท่วมขัง ส่วนใหญ่เป็นเมี้ยนขาดเล็กและເຄາວລົງຈິງทำให้ขาดเหลลล์ของไลเคนที่พบมีขนาดเล็ก และมีเส้นผ่านศูนย์กลางไม่มากตามขนาดของต้นไม้ตามไปด้วย

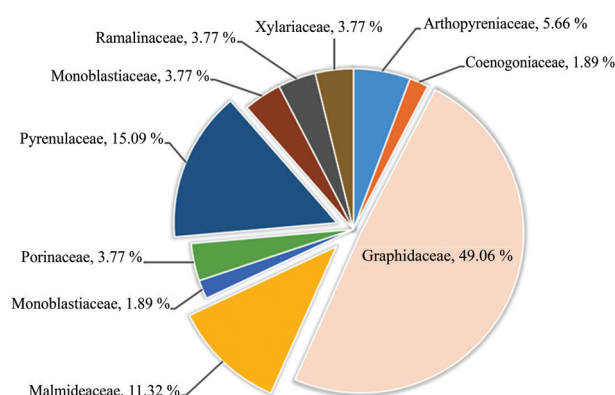
ปัจจัยสำคัญที่ทำให้ไลเคนมีความแตกต่างกันในแต่ละพื้นที่ [8] - [9] ได้แก่ แสง ความชื้น อุณหภูมิ ชนิดของเปลือกไม้ รวมถึงปริมาณมลพิษในพื้นที่ ซึ่งไลเคนแต่ละชนิดมีความทนทานต่อมลพิษ ในอากาศได้แตกต่างกัน และทนต่อชนิดของสารพิษในอากาศได้แตกต่างกันด้วย [10] โดยพื้นที่ป่าพรุ มีรอยต่อติดกับถนนที่มีไอลสัมผัสกับมลพิษ จึงอาจล่วงผลให้ไลเคนที่พบเป็นกลุ่มที่ทนทานต่อมลพิษได้ระดับหนึ่ง นอกจากนี้พื้นที่ป่าพรุยังมีพื้นที่โล่งที่เป็นจุดตัดระหว่างทางเดินคอนกรีตกับพื้นดินที่แสงล่องได้ทั่วบริเวณ โดยพบว่าไลเคน *Sarcographa labyrinthica* (Ach.) Müll. Arg. พぶเจริญได้ในพื้นที่ ลักษณะที่มีความเข้มแสงสูง (5,701 ลักซ์) อยู่ในกลุ่มของวงศ์ Graphidaceae ที่มีชนิดของไลเคนเจริญเติบโต ในช่วงแสงที่ค่อนข้างกว้าง (942 - 5,701 ลักซ์) รองลงมาเป็นไลเคนในวงศ์ Pyrenulaceae (235 - 1,441 ลักซ์) และวงศ์ Malmideaceae (316 - 802 ลักซ์) ตามลำดับ เช่นเดียวกับการศึกษาของ Lücking, R. et al. [11] พぶว่าไลเคนวงศ์ Graphidaceae เป็นวงศ์ที่ใหญ่ที่สุดของไลเคนในพื้นที่ป่าเขตร้อน รวมไปถึงป่าดิบเข้า กระจายไปถึงป่าดิบแล้งและป่าพุ่ม ส่วนใหญ่พนตามเปลือกไม้ที่มีร่องเรียบปานกลางพื้นที่ขนาดเล็กที่มี สภาพแวดล้อมแตกต่างกัน ซึ่งการศึกษาของ Lange, O. T. et al. [12] กล่าวว่าแสงมีอิทธิพลต่อการอยู่รอด และการเติบโตของไลเคนมาก โดยล่วงผลถึงอุณหภูมิ ความชื้นในบรรยากาศ และการระเหยของน้ำจากเหลลล์ ซึ่งล่วงผลต่อเนื่องถึงอัตราการสั้งเคราะห์ด้วยแสงและการหายใจ จึงทำให้พนไลเคนเจริญในพื้นที่มีแสง ได้แตกต่างกัน

การกระจายของไลเคนวงศ์ Pyrenulaceae ขึ้นอยู่กับสภาพป่า [13] พぶว่าสภาพป่าที่มีลักษณะ โปร่งหรือตามชายป่าที่มีแสงส่องถึงจะเป็นแหล่งอาศัยที่ดีของไลเคนกลุ่มนี้ โดยพนไลเคนชนิดเด่น *Pyrenula kurzii* มีการกระจายได้ทั้งบนเกาะในฝั่งอ่าวไทยและอันดามันเจริญได้ดีบนดินไม้ที่เปลือก มีผิวน้ำในป่าที่มียอดโปร่งจนถึงป่าดิบแล้ง แต่ไม่พนในป่าชายเลน และพนไลเคนชนิดเด่น *P. aspistae* และ *P. microcarpa* รองลงมา โดยพนตามเปลือกไม้ที่มีความแข็งและคงทนในป่าที่มีความเข้มแสงน้อย เช่น ป่าดิบชื้นและป่าดิบแล้ง เป็นต้น ซึ่งจากการวิจัยนี้พน *P. aspistae* มากกว่า *P. kurzii* อาจเป็นไปได้ว่า ลักษณะพื้นที่ของป่าพรุในป่าปักปักพันธุกรรมพืชฯ มีความเข้มแสงน้อยจึงมีลักษณะที่เอื้อต่อการเจริญของ *P. aspistae* มากกว่า ซึ่งสอดคล้องกับ [13] ที่พぶว่าไลเคนกลุ่มนี้เติบโตได้ดีบนผิวเปลือกไม้ที่เรียบ ไม่หลุดร่อน เนื่องจากไลเคนกลุ่มนี้เติบโตข้ามต้องอาศัยเปลือกไม้ที่มีความคงทนเป็นแหล่งอาศัย เช่น ต้น gereba มะกอก หรือເຄາວລົງบางชนิด เป็นต้น

ส่วนไลเคนวงศ์ Malmideaceae เป็นไลเคนอีกกลุ่มที่มีความหลากหลายของชนิดจำนวนมาก และมีการแพร่กระจายอย่างกว้างขวาง ซึ่งจากการศึกษา [14] พบว่าไลเคนแบบแผ่นบนพื้นได้เกือบทุกสภาพป่าที่ระดับความสูงตั้งแต่ 400 - 1,500 เมตรขึ้นไป จึงเป็นไปได้ว่าไลเคนในกลุ่มนี้สามารถเจริญเติบโต กระจายไปได้ในหลายพื้นที่ท่าให้พืชเป็นกลุ่มเด่นในบริเวณป่าพรุของป่าปักปันธุกรรมพืชฯ ได้ ส่วนไลเคนที่สำรวจพบในพื้นที่ป่าพรุบริเวณที่มีความชื้นสูงที่สุด ได้แก่ *Porina* sp.2 (วงศ์ Porinaceae) มีร้อยละความชื้นเท่ากับ 91.5 รองลงมาคือ *Malmidea inflata* Kalb. (วงศ์ Malmideaceae) มีความชื้นเท่ากับร้อยละ 84.2 *Malmidea* sp. (วงศ์ Malmideaceae) และ *Ocelluria* sp. (วงศ์ Graphidaceae) มีความชื้นเท่ากับร้อยละ 81.6 และ *Pyrenula* sp. (วงศ์ Pyrenulaceae) มีความชื้นเท่ากับร้อยละ 79.9 ตามลำดับ

สรุปผลการวิจัย

ไลเคนที่พบจำนวน 10 วงศ์ ได้แก่ วงศ์ Arthopyreniaceae, Coenogoniaceae, Graphidaceae, Malmideaceae, Monoblastiaceae, Porinaceae, Pyrenulaceae, Monoblastiaceae, Ramalinaceae และ Xylariaceae พบรความหลากหลายมากที่สุด 3 อันดับแรก โดยจำแนกตามจำนวนสกุลและชนิดได้แก่ วงศ์ Graphidaceae (7 สกุล 11 ชนิด และระบุชนิดไม่ได้ 1 ชนิด จำนวนรวม 26 ตัวอย่าง) วงศ์ Pyrenulaceae (1 สกุล 3 ชนิด และระบุชนิดไม่ได้ 1 ชนิด จำนวนรวม 8 ตัวอย่าง) และวงศ์ Malmideaceae (1 สกุล 1 ชนิด และระบุชนิดไม่ได้ 1 ชนิด จำนวนรวม 6 ตัวอย่าง) คิดเป็นร้อยละ 49.06 15.09 และ 11.32 ตามลำดับ (รูปที่ 4) ซึ่งความหลากหลายของไลเคนที่พบขึ้นอยู่กับปัจจัยทางสภาพแวดล้อมและสภาพของพื้นที่ป่าปักปันธุกรรมพืชฯ ที่มีลักษณะร้อนชื้น มีแสงส่องถึงบ้างเล็กน้อย ไม่ค่อยมีลมพัด มีความสูงจากระดับน้ำทะเลเพียงแค่ 20 เมตร ทำให้พืชไลเคนส่วนใหญ่เป็นแบบครัสโตร์สไลเคน และวงศ์ที่พบเป็นชนิดเด่น ได้แก่ วงศ์ Graphidaceae วงศ์ Pyrenulaceae และวงศ์ Malmideaceae ตามลำดับ ซึ่งถือว่ามีความหลากหลายของไลเ肯ค่อนข้างน้อย เมื่อเทียบกับพื้นที่ที่มีความสูงจากระดับน้ำทะเลที่มากกว่า 600 เมตร ที่จะพบโฟลิโอลไลเคนเด่นกว่ากลุ่มครัสโตร์ส [15] ทำให้มีความหลากหลายของรูปแบบการเจริญของไลเคนมากกว่าพื้นที่ป่าปักปันธุกรรมพืชที่มีความสูงกว่าระดับน้ำทะเลเพียงเล็กน้อย



รูปที่ 4 สัดส่วนไลเคนที่พบในพื้นที่ป่าปักปันธุกรรมพืชฯ บริเวณป่าพรุ

กิตติกรรมประกาศ

โครงการวิจัยนี้ได้รับทุนอุดหนุนการวิจัยภายใต้โครงการอนุรักษ์พันธุกรรมพืชขั้นเนื่องมาจากพระราชนัดริสมเด็จพระเทพรัตนราชสุดาฯ สยามบรมราชกุมารี

References

- [1] Boonpragob, K. and Polyiam, W. (2010). Lichen: Harmony that is the Model of Survival. (Lichen, Chapter 1). **Ramkhamhaeng News**. Vol. 40, No. 20, (August 30 - September 5, 2010). p. 7 (in Thai)
- [2] Ahmadjian, V. and Hale, M. E. (1993). **The Lichens**. Academic Press. New York
- [3] Gilbert, O. (2000). **Lichens**. London. HarperCollins
- [4] Somnuek, C., Poengsungnoen, V., KhamChatra, N., and Nongnutch, K. (2017). Lichens on Nature Trail in Plant Genetic Conservation Project, Rambhai Barni Rajabhat University, Chanthaburi Province. **KKU Science Journal**. Vol. 45, No. 1, pp. 193-199 (in Thai)
- [5] Upreti, D. K. (1998). **Diversity of Lichen in India**. In: Perspective in Environment (Eds.: S. K. Aggarwal; J. P. Kaushik; K. K. Kaul and A. K. Jain), New Delhi, A.P.H. Publishing Corporation. pp. 71-79
- [6] Tiwari, S. C. and Prajapati, A. (2015). Lichen as Indicator of Forest Health Status in Achanakmar Amarkantak Biosphere Reserve. **International Journal of Research Studies in Biosciences (IJRSB)**. Vol. 3, Issue 4, (April 2015). pp. 70-79
- [7] Sodamuk, M. and Mongkolsuk, P. (2014). Lichen in Mangrove Forest at Koh Ruea Sri, Trat Province in the Eastern, Thailand. In **Proceeding of the 40th Congress on Science and Technology of Thailand (STT40)**. pp. 826-830
- [8] Boonpragob, K. and Buaruang, K. (2007). **Lichen of Samaesan Island from hilltop to the Sea**. Bangkok: Ramkhamhaeng University Press. (in Thai)
- [9] Saipunkaew, W. (2008). **Lichen and Environmental Quality Inspection**. Workshop Document. Department of Biology, Faculty of Science, Changmai University. Changmai. (in Thai)
- [10] Zedda, L. (2009). **Report on Lichen Sensitivity to Air Pollution with Special Reference to Sulphur Dioxide (SO₂)**. Access (5 February 2019). Available (<https://www.researchgate.net/publication/242270865>)
- [11] Lücking, R., Plata, E. R., Parnmen, S., Kalb, K., Mangold, A., and Lumbsch, H. T. (2011). **Tropical Lichen Guides: Graphidaceae Lichens of the World**. Access (11 February 2019). Available (<https://fieldguides.fieldmuseum.org/guides/guide/355>)
- [12] Lange, O. T., Green, T. G. A., and Heber, U. (2001). Hydration-Dependent Photosynthetic Production of Lichen: What Do Laboratory Studies Tell us About Field Performance?. **Journal of Experimental Botany**. Vol. 52, Issue 363, pp. 2033-2042. DOI: 10.1093/jexbot/52.363.2033

- [13] Phokaeo, S., Polyiam, W., Buaruang, K., Vongshewarat, K., and Boonpragob, K. (2013). Preliminary Study on the Pyrenolichens from the Islands of Thailand. **Thai Journal of Botany**. Vol. 5, (Special Issue). pp. 62-73 (in Thai)
- [14] Sriprang, V. and Mongkolsuk, P. (2010). Discolichens at Phu Luang Wildlife Sanctuary, Loei province. **Thai Journal of Botany**. Vol. 2, (Special Issue). pp. 47-53 (in Thai)
- [15] Saipunkaew, W., Wolseley, P., and Chimonides, P. J. (2005). Epiphytic Lichens as Indicators of Environmental Health in the Vicinity of Chiang Mai City, Thailand. **Lichenologist**. Vol. 37, No. 4, pp. 345-365

การเตือนภัยจากระดับน้ำในทะเลสาบล่วงหน้าด้วยข้อมูลการตรวจวัดฝนทั่วโลก: กรณีศึกษาทะเลสาบทหนองหาร

Early Warning of Lake Level Fluctuations using Global Precipitation Measurement Data: A Case Study Nong Han Lake

ประวิทย์ อ่วงอารีย์^{1*} ชัยณรงค์ เพียรภัยลุน¹ และทรงพล ประโยชน์มี¹

Prawit Uang-aree^{1*} Chainarong Pianpailoo¹ and Songphon Prayochme¹

Received: April 30, 2019; Revised: July 12, 2019; Accepted: July 24, 2019

บทคัดย่อ

บทความวิจัยนี้มีวัตถุประสงค์ในการศึกษาความเป็นไปได้ของการใช้ข้อมูลการตรวจวัดฝนทั่วโลก (جيพีเอ็ม) ในการเตือนภัยล่วงหน้าจากการเปลี่ยนแปลงระดับน้ำในทะเลสาบทหนองหาร โดยทำการวิเคราะห์ความสัมพันธ์อย่างเชิงระหัวใจทั่วไปของข้อมูลที่ได้มา ให้แก่ ระดับน้ำในวันปัจจุบัน อัตราการระบายน้ำ อัตราการระเหย ปริมาณฝน และข้อมูลจีพีเอ็มกับตัวแปรเป้าหมาย คือ ต้นน้ำการเตือนภัยจากระดับน้ำทะเลสาบทหนองหารในวันรุ่งขึ้น อีกทั้งยังสร้างตัวแบบการทำนายด้วยการจัดการข้อมูลวิถีก่อสร้างแบบเครือข่ายประสาท (GMDH-Type Neural Networks) ผลการศึกษาพบว่าการเขียนลงของน้ำในทะเลสาบทหนองหารในวันรุ่งขึ้นมีความล้มเหลวในระดับสูง กับระดับน้ำในวันปัจจุบันและอัตราการระบายน้ำ มีความสัมพันธ์ในระดับปานกลางค่อนไปทางต่ำกว่าระดับสูง กับการระเหย ปริมาณฝนและข้อมูลจีพีเอ็ม นอกจากนี้การประเมินผลลัพธ์การทำนายของตัวแบบที่ได้ด้วย ข้อมูลที่ตัวแบบไม่เคยพบมาก่อน พบว่าตัวแบบนี้มีประสิทธิภาพในการทำนายค่อนข้างสูง โดยมีความเที่ยงตรง ของการทำนายเท่ากับร้อยละ 90.5 แสดงให้เห็นว่าการใช้ข้อมูลจีพีเอ็มมีศักยภาพในการนำมาใช้งานเตือนภัย จากการเปลี่ยนแปลงระดับน้ำในทะเลสาบ

คำสำคัญ : การสำรวจระยะไกล; ทรัพยากรธรรมชาติ; การเปลี่ยนแปลงโลกา; ภัยพิบัติ; จีเอ็มตีเอช

¹ คณะวิทยาศาสตร์และเทคโนโลยี มหาวิทยาลัยราชภัฏสกลนคร

¹ Faculty of Science and Technology, Sakon Nakhon Rajabhat University

* Corresponding Author E - mail Address: prawit@sru.ac.th

Abstract

This research investigated the possibility of using Global Precipitation Measurement Data (GPM) for early warning of Nong Han level fluctuations. The simple correlations between the input variables (such as the current lake level, the outflow rate, the evaporation rate, the daily precipitation, and the GPM data) and a target variable (the early-warning index of Nong Han lake level-fluctuations) were examined. Moreover, the early-warning model of level fluctuations hazard was developed, using GMDH-type neural networks. The results indicated that the correlations between of Nong Han level fluctuations with the current lake level and the outflow rate are high; and, the interrelationship between evaporation rate, the daily precipitation, and the GPM data is medium-low. The model evaluation, which uses blind data show the high ability of model with 90.5 % accuracy. The GPM data, thus, represents a helpful tool for early warning of lake level fluctuations.

Keywords: Remote Sensing; Natural Resources; Global Change; Disaster; GMDH

บทนำ

ภัยพิบัติทางธรรมชาติอย่างสุดขั้วเป็นสภาวะการณ์ที่ทุกภูมิภาคของโลกกำลังเผชิญหน้า ทุกประเทศในทุกทวีป ต่างได้รับหรือเคยได้รับผลกระทบจากภัยพิบัติทางธรรมชาติที่มีความรุนแรงทั้งทางตรงและทางอ้อม โดยมีความถี่และรุนแรงมากขึ้นกว่าครึ่งอดีต ภัยพิบัติทางธรรมชาติเหล่านี้ไม่ว่าจะเป็นอุทกภัย วาตภัย แผ่นดินไหว แผ่นดินถล่มหรือภัยแล้ง ต่างก็ส่งผลกระทบต่อมนุษย์อย่างรุนแรง โดยเฉพาะอย่างยิ่งภัยจากน้ำ ซึ่งสามารถทำลายทั้งชีวิต ทรัพย์สิน เศรษฐกิจและสังคมอย่างเป็นวงกว้าง เนื่องจากทุกอิทธิพลธรรมชาติที่มีน้ำเป็นปัจจัยสำคัญในการดำรงอยู่ทั้งสิ้น ยิ่งกว่านั้นประเทศไทยด้อยพัฒนาและกำลังพัฒนามีแนวโน้มที่ได้รับผลกระทบที่สูงกว่าประเทศพัฒนาแล้ว เนื่องจากไม่สามารถปรับตัวหรือจัดการบริหารความเสี่ยงเพื่อรับมือกับภัยเหล่านี้ได้อย่างมีประสิทธิภาพ [1]

การบริหารความเสี่ยงจากน้ำเป็นวิธีการหนึ่งที่สามารถลดผลกระทบจากภัยของน้ำที่มีต่อพื้นที่เลี้ยงแม้มนุษย์ไม่สามารถควบคุมปริมาณน้ำฝนที่ตกได้แต่สามารถบริหารจัดการความเสี่ยง โดยการเตรียมตัวรับมือกับภัยพิบัติเพื่อบรรเทาภัยจากหนักสูง เช่น ข้อมูลฝน ข้อมูลอัตราการไหล เป็นต้น และเครื่องมือในการบริหารจัดการ เช่น แบบจำลองการไหลของน้ำในพื้นที่รับน้ำ และการทำนายการเปลี่ยนแปลงของระดับน้ำ เป็นต้น ส่องลึกลงไปเป็นปัจจัยสำคัญยิ่งยวดที่ส่งผลต่อการตัดสินใจของผู้บริหารจัดการน้ำหรือผู้บริหารความเสี่ยงจากน้ำ ดังนั้นการบริหารความเสี่ยงจากน้ำจึงเป็นเครื่องมือที่สำคัญต่อการเตรียมรับมือจากภัยพิบัติต่าง ๆ จากน้ำ ซึ่งไม่อาจคาดเดาได้ว่าจะเกิดขึ้นเมื่อใด ความเสี่ยงนี้ทั้งความเสี่ยงด้านปริมาณ เช่น ภัยแล้ง หรืออุทกภัย และความเสี่ยงด้านคุณภาพ เช่น คุณภาพน้ำดื่ม หรือน้ำประปา เป็นต้น นอกจากนี้ยังถูกนำมายังในภัยพิบัติอันเนื่องจากน้ำ เช่น ภัยแผ่นดินถล่ม อีกด้วย การบริหารความเสี่ยง

จากน้ำได้ถูกนำไปใช้อย่างกว้างขวางในยุคแห่งการเปลี่ยนแปลงสภาพภูมิอากาศโลก เช่น การใช้รับมือผลกระทบของภัยแล้งและอุทกภัยในยุโรป [2] การบริหารความเสี่ยงน้ำท่วมในเนเธอร์แลนด์ [3] การประเมินความเสี่ยงของภัยแล้งในจีน [4] การจัดความเสี่ยงจากอุทกภัยในอังกฤษ [5] เป็นต้น สำหรับในประเทศไทย เริ่มนีการให้ความสำคัญกับการบริหารความเสี่ยงมากขึ้นจากน้ำทั้งเหตุการณ์น้ำท่วมใหญ่เมื่อปี พ.ศ. 2554 เนื่องจากพบว่าการบริหารความเสี่ยงจากน้ำของประเทศไทยไม่มีประสิทธิภาพและเป็นสาเหตุหนึ่งที่ส่งผลกระทบให้ความเสี่ยงหายรุนแรงและเป็นวงกว้าง [6]

การเปลี่ยนแปลงระดับน้ำในแหล่งน้ำเป็นข้อมูลสำคัญในการบริหารแหล่งน้ำและการบริหารความเสี่ยงจากน้ำ โดยการเปลี่ยนแปลงระดับน้ำเป็นปัจจัยสำคัญที่อาจก่อให้เกิดเหตุการณ์น้ำท่วม [7] เป็นสาเหตุของการพังทลายของดิน [8] ส่งผลริมให้การเลื่อมสภาพของดินโดยรอบแหล่งน้ำ [9] และยังอาจก่อให้เกิดการเปลี่ยนแปลงทางนิเวศทางน้ำ [10] เช่น เป็นปัจจัยของการเจริญเติบโตของแพลงก์ตอนพืชหรือพืชใต้น้ำ [11] - [12] หรือส่งผลต่อการเปลี่ยนแปลงคุณภาพน้ำในระบบนิเวศ [13] เป็นต้น นอกจากนี้ การเปลี่ยนแปลงระดับน้ำยังส่งผลต่อประสิทธิภาพในการทำประมงอีกด้วย [14] ดังนั้นข้อมูลและการทำนายการเปลี่ยนแปลงระดับน้ำในแหล่งน้ำจึงมีความจำเป็นต่อการบริหารความเสี่ยงจากน้ำอย่างยิ่งเนื่องจากมีความเกี่ยวโยงในหลายมิติที่เป็นปัจจัยเลี่ยงจากน้ำทั้งทางด้านภัยพิบัติ ลิ่งแวดล้อม และการเกษตร ปัจจุบันการประมาณค่าหรือการทำนายการเปลี่ยนแปลงระดับน้ำในแหล่งน้ำสามารถทำได้หลายวิธี เช่น การใช้แบบจำลองอุทกวิทยาหรือการใช้แบบจำลองทางเหมือนข้อมูลจากข้อมูลอุตุ-อุทกวิทยา [15]

การวัดฝนทั่วโลก (Global Precipitation Measurement) หรือจีพีเอ็ม (GPM) เป็นข้อมูลการตรวจดูฝนที่สำคัญ (Precipitation) ด้วยดาวเทียมจีพีเอ็มหลัก (GPM Core Satellite) ที่พัฒนาขึ้นจากความสำเร็จของโครงการตรวจวัดฝนในภูมิภาคเขตร้อน (Tropical Rainfall Measuring Mission) หรือท่อร์เรียมเอ็ม (TRMM) ดาวเทียมจีพีเอ็มหลักนี้ถูกกล่าวขึ้นสู่วงโคจรระดับต่ำเมื่อปี พ.ศ. 2557 ซึ่งดำเนินการและบริหารจัดการโดยร่วมมือระหว่างองค์การบริหารการบินและอวกาศแห่งชาติ (NASA) และองค์การวิจัยและพัฒนาการสำรวจอวกาศญี่ปุ่น (JAXA) ดาวเทียมนี้ได้ติดตั้งอุปกรณ์ตรวจจับฝน 2 ชนิด ได้แก่ เครื่องจับภาพด้วยไมโครเวฟจีพีเอ็ม (GPM Microwave Imager) และเครื่องตรวจจับฝนแบบสองความถี่ (Dual-Frequency Precipitation Radar) โดยทำการตรวจจับฝนที่ความละเอียดสูงสุด 0.1° ในช่วงละติจูด $60^\circ\text{N} - 60^\circ\text{S}$ นอกจากข้อมูลจากดาวเทียมจีพีเอ็มหลักแล้วโครงการจีพีเอ็มยังประสานข้อมูลจากดาวเทียมชาติพันธุ์อื่นๆ ได้แก่ ฝรั่งเศส อินเดีย และยุโรป เพื่อประมวลผลและหวานส่วนข้อมูลฝน (Precipitation Processing and Validation) ก่อนเผยแพร่เป็นข้อมูลฝนสำหรับการใช้งานเร็วที่สุดคือประมาณ 4 ชั่วโมง และจะเผยแพร่ข้อมูลฝนที่ผ่านการปรับแก้ด้วยการวิเคราะห์ข้อมูลจากมาตรวัดฝนภาคพื้นดินจากจีพีซีซี (Global Precipitation Climatology Center: GPCC) ภายในระยะเวลา 2 เดือน [16]

ข้อมูลจีพีเอ็มได้ถูกนำไปใช้งานทางด้านอุตุนิยมวิทยาและอุทกวิทยาอย่างกว้างขวาง เช่น การนำไปใช้ปรับแก้แบบจำลองสภาพภูมิอากาศ [17] การนำไปใช้ในแบบจำลองทางอุทกวิทยาเพื่อพยากรณ์น้ำท่วม [18] การตรวจจับปริมาณพิมพ์ตอก [19] การเพิ่มประสิทธิภาพการตรวจจับฝนตกหนักในอินเดีย [20] การนำไปใช้ในวิเคราะห์ปัจจัยน้ำท่วมในจาการ์ตา [21] และการนำไปใช้ในวิเคราะห์ปริมาณฝนจากพายุเออร์เคนที่ทำให้เกิดน้ำท่วมในรัฐเซาท์แคโรไลนา [22] เป็นต้น

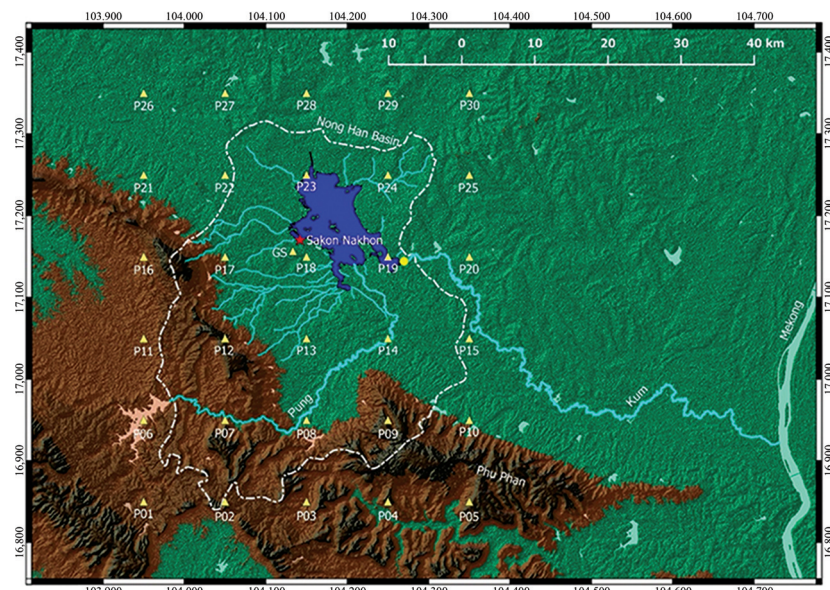
การบริหารความเสี่ยงจากน้ำเป็นเครื่องมือที่จำเป็นต่อการบรรเทาความเสี่ยงจากภัยพิบัติอันเกิดจากน้ำทั้งภัยแล้งและอุทกภัย โดยเฉพาะอย่างยิ่งในเขตพื้นที่ชุมชนที่ตั้งอยู่ใกล้กับทະเลสานบ

ขึ้นหากเกิดอุทกภัยหรือภัยแล้งก็อาจส่งผลกระทบรุนแรงได้ เนื่องจากทะเลสาบอาจเป็นหังเหล่รองรับน้ำหากและแหล่งน้ำอุปโภคบริโภคเดียวของชุมชน กรณีศึกษานี้จึงได้ศึกษาความเป็นไปได้ในการใช้ข้อมูลจีพีเอ็มในการเตือนภัยการเปลี่ยนแปลงระดับน้ำในทะเลสาบทหนองหารด้วยการจัดการข้อมูลวิธีกลุ่ม (Group Method of Data Handling) หรือจีเอ็มดีเอช (GMDH) โดยใช้ข้อมูลจีพีเอ็มรวมกับข้อมูลอุทก-อุตุวิทยาพื้นฐานเพื่อเตือนภัยการเปลี่ยนแปลงระดับน้ำในทะเลสาบซึ่งมีชุมชนขนาดใหญ่ตั้งอยู่ริมน้ำล่วงหน้าเป็นเวลา 24 ชั่วโมง

วิธีการดำเนินวิจัย

1. พื้นที่ศึกษา

กรณีศึกษานี้เป็นการทดสอบความเป็นไปได้ของการใช้ข้อมูลจีพีเอ็มเพื่อเตือนภัยการเปลี่ยนแปลงระดับน้ำของทะเลสาบทหนองหารซึ่งเป็นทะเลสาบน้ำจีดขนาดใหญ่เป็นอันดับ 2 ของประเทศไทย ตั้งอยู่จังหวัดสกลนคร ต่าแหน่งละติจูด 17.20°N ลองติจูด 104.18°E บนราบริ่างเทือกเขาภูพานและแม่น้ำโขงที่รัฐจักรกัณดีในข้อแองสกลนคร (Sakon Nakhon Basin) ทะเลสาบนี้มีความลึกเฉลี่ย 2 ม. โดยมีระดับท้องน้ำอยู่ที่ 151 - 153 ม. จากระดับน้ำทะเลสาบปานกลางและมีระดับน้ำเปลี่ยนแปลงชันลง 2 ม. โดยมีระดับน้ำที่ 157 ม. จากระดับน้ำทะเลสาบปานกลางเป็นระดับน้ำเก็บกักสูงสุด ทะเลสาบมีพื้นผิวน้ำที่ประมาณ 134×10^6 ตร.ม. และเก็บกักน้ำได้ 267×10^6 ลบ.ม. น้ำในทะเลสาบเป็นน้ำที่เกิดจากการไหลรวมตัวกันของลำน้ำขนาดน้อยใหญ่กว่า 21 สายที่หอดตัวรับน้ำจากพื้นที่รับน้ำบนเทือกเขาภูพานและพื้นรับน้ำรอบข้าง เช่น ลำน้ำพุ ห้วยเดียก ห้วยทราย ห้วยลอง และห้วยลาก เป็นต้น มีจุดระบายน้ำออกเพียงตัวเดียว บริเวณทิศตะวันออกผ่านประตูน้ำและทางน้ำลันฉุกเฉิน (จุดวงกลม •) ไหลลงสู่ลำน้ำกำก่อนจะไหลรวมตัวกับแม่น้ำโขง โดยมีพายุดีเปรสชันประจำฤดูกาลและลมรสมุตตะวันตกเฉียงใต้ช่วงกลางเดือนพฤษภาคม ถึงต้นเดือนตุลาคมเป็นปัจจัยหลักที่มีอิทธิพลต่อปริมาณน้ำไหลลงทะเลสาบดังรูปที่ 1



รูปที่ 1 พื้นที่ศึกษา ตำแหน่งข้อมูลจีพีเอ็ม (P01 - P30) และตำแหน่งสถานีอุตุนิยมวิทยาภาคพื้น (GS)

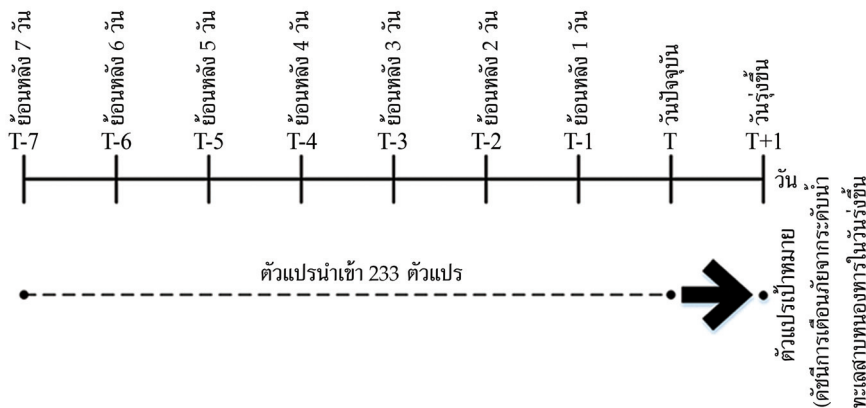
2. ขั้นตอนการศึกษา

การวิจัยนี้มีขอบเขตพื้นที่ในการดำเนินการวิจัยในพื้นที่ลุ่มน้ำพุง (ท้ายเขื่อนน้ำพุง) และลุ่มน้ำทอนองหารซึ่งเป็นพื้นที่รับน้ำของหนองหารซึ่งครอบคลุมอำเภอภูพาน อำเภอเต่างอย และอำเภอเมืองสกลนคร จังหวัดสกลนคร ตั้งแสดงในรูปที่ 1 มีขั้นตอนการศึกษา 4 ขั้นตอนคือ 1) การเตรียมข้อมูล 2) การวิเคราะห์ความลับพันธ์ของข้อมูล 3) การสร้างตัวแบบการประมาณค่าการเปลี่ยนแปลงระดับน้ำ และ 4) การทดสอบตัวแบบ ซึ่งมีรายละเอียดดังนี้

1) การเตรียมข้อมูล ขั้นตอนนี้เป็นขั้นตอนการเตรียมและจัดทำข้อมูลต่าง ๆ สำหรับการสร้างตัวแบบประกอบด้วย ตัวแปรนำเข้าจำนวน 233 ตัวแปร ได้แก่ ข้อมูลฝน季พื้นที่เริ่มรายวันทั้ง 30 สถานี (P01 - P30) ข้อมูลฝน季พื้นที่เริ่มเฉลี่ยรายวัน ข้อมูลระดับน้ำรายวัน ข้อมูลอัตราการระบายน้ำรายวัน ข้อมูลปริมาณฝนรายวันจากสถานีอุตุนิยมวิทยาภาคพื้น (GS) และข้อมูลการระเหยรายวันจากสถานีอุตุนิยมวิทยาภาคพื้น โดยข้อมูลเหล่านี้เป็นข้อมูลย้อนหลัง 1 - 7 วัน (T-1 ถึง T-7) ยกเว้นข้อมูลระดับน้ำรายวันและข้อมูลอัตราการระบายน้ำที่เป็นข้อมูลในวันปัจจุบัน (T) และเตรียมข้อมูลสำหรับใช้เป็นตัวแปรเป้าหมายจำนวน 1 ตัวแปร คือ ค่าดัชนีการเตือนภัยจากการดับน้ำหนองหารในวันรุ่งขึ้น (T+1) ดังตารางที่ 1 ซึ่งสามารถแสดงผลลัพธ์ที่ได้ดังรูปที่ 2 โดยข้อมูลทั้งหมดที่ใช้ในการวิจัยนี้ครอบคลุมระยะเวลาตั้งแต่วันที่ 1 มิถุนายน พ.ศ. 2558 ถึงวันที่ 31 พฤษภาคม พ.ศ. 2560 รวมทั้งสิ้น 1,365 ชุดข้อมูล ข้อมูลทุกชุดถูกตรวจสอบความครบถ้วนสมบูรณ์และลุ่มเลือกแบบไร้รูปแบบ (Uniformly) เพื่อบรรเทาความไม่แน่นอนของข้อมูล 2 กลุ่ม คือ กลุ่มแรกเป็นข้อมูลสำหรับตัวแบบเรียนรู้ (Model Learning) จำนวนร้อยละ 70 และกลุ่มที่ 2 เป็นข้อมูลสำหรับการทดสอบตัวแบบ (Model Test) จำนวนร้อยละ 30

ตารางที่ 1 ดัชนีการเตือนภัยจากการดับน้ำทະเลสานบนของหารในวันรุ่งขึ้น

ระดับน้ำ (ม. รถก.)	ดัชนีการเตือนภัย	คำอธิบาย
< 155.499	1	ในวันรุ่งขึ้นมีความเสี่ยงสูงสุดที่ส่งผลกระทบต่อการใช้น้ำ
155.500 - 155.999	2	ในวันรุ่งขึ้นมีความเสี่ยงสูงที่ส่งผลกระทบต่อการใช้น้ำ
156.000 - 156.499	3	ในวันรุ่งขึ้นมีความเสี่ยงที่ส่งผลกระทบต่อการใช้น้ำ
156.500 - 156.749	4	ในวันรุ่งขึ้นต้องเฝ้าระวังผลกระทบต่อการใช้น้ำ
156.750 - 156.999	5	ในวันรุ่งขึ้นมีระดับน้ำในสภาวะปกติ
157.000 - 157.499	6	ในวันรุ่งขึ้นต้องเฝ้าอันตรายระวังภัยน้ำท่วม
157.500 - 157.999	7	ในวันรุ่งขึ้นมีความเสี่ยงอันตรายต่อภัยน้ำท่วม
158.000 - 158.299	8	ในวันรุ่งขึ้นมีความเสี่ยงอันตรายสูงต่อภัยน้ำท่วม
> 158.300	9	ในวันรุ่งขึ้นมีความเสี่ยงอันตรายสูงสุดต่อภัยน้ำท่วม



รูปที่ 2 เส้นเวลาของตัวแปรนำเข้าและตัวแปรเป้าหมาย

2) การวิเคราะห์ความสัมพันธ์ของข้อมูล ขั้นตอนนี้จะทำการวิเคราะห์ความสัมพันธ์ของข้อมูลนำเข้า กับข้อมูลเป้าหมายด้วยการวิเคราะห์สัมพันธ์อย่างง่าย (Simple Correlation Analysis) เพื่อตรวจสอบ และแสดงความสัมพันธ์ของตัวแปรเบื้องต้น นอกจากนี้จะทำการวิเคราะห์ความสัมพันธ์ของข้อมูลฟันjiepii อีก รายวันกับข้อมูลฟันรายวัน ณ สถานีตรวจจับน้ำฝนที่มีตำแหน่งใกล้เคียงกับตำแหน่งของข้อมูลฟันjiepii เยอะมากที่สุด เพื่อแสดงค่าความสัมพันธ์ของข้อมูลฟันจากการสำรวจระยะใกล้และข้อมูลจากสถานีภาคพื้น

3) การสร้างตัวแบบการประมาณค่าการเปลี่ยนแปลงระดับน้ำ โดยข้อมูลนำเข้าจำนวนร้อยละ 70 ที่ลุ่มเลือกไว้จะถูกนำเข้าเพื่อสร้างตัวแบบสำหรับการพยากรณ์การเตือนภัยจากระดับน้ำท่า السابอนของหาร ในวันรุ่งขึ้น ด้วยวิธีการจัดการข้อมูลแบบบริการกลุ่ม (Group Method of Data Handling: GMDH) ด้วยโปรแกรม GMDH Shell DS เวอร์ชัน 3.8 โดยข้อมูลนำเข้าจะถูกเรียงลำดับใหม่แบบคู่ - คู่ และใช้ขั้นตอนวิธีหลัก (Core Algorithm) แบบเครือข่ายประสาท (GMDH-Type Neural Networks) ที่มีพึงก์ชันแบบcurve quadratic polynomial เป็นพึงก์ชันของเครือข่ายประสาท ขั้นตอนวิธีนี้เป็นที่นิยมและสามารถสร้างตัวแบบการคำนวนทางคณิตศาสตร์ได้มีประสิทธิภาพ แม้ว่าตัวแปรนำเข้าจะมีความสัมพันธ์เชิงสอดคล้อง

4) การทดสอบตัวแบบ ขั้นตอนนี้ข้อมูลที่เหลือจำนวนร้อยละ 30 ซึ่งเป็นข้อมูลที่ตัวแบบไม่เคยพบมาก่อนถูกใช้ทดสอบความเที่ยงตรงและความแม่นยำของตัวแบบที่ได้จากขั้นตอนที่แล้ว การทดสอบประสิทธิภาพจะทำการทดสอบประสิทธิภาพของตัวแบบด้วยค่าความคลาดเคลื่อน กำลังสองเฉลี่ย (RMSE) และร้อยละความถูกต้องของการพยากรณ์

ผลการวิจัย

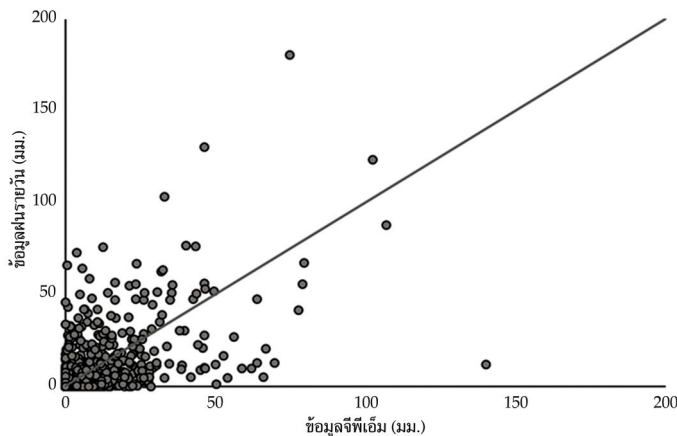
- ความสัมพันธ์ระหว่างดัชนีการเตือนภัยจากระดับน้ำท่า السابอนของหารในวันรุ่งขึ้นกับข้อมูลนำเข้า จากการวิเคราะห์ความสัมพันธ์อย่างง่าย (Simple Correlation) ระหว่างตัวแปรนำเข้าจำนวน 233 ตัวแปร ที่ใช้ในการสร้างตัวแบบกับตัวแปรเป้าหมายคือ ดัชนีการเตือนภัยจากระดับน้ำท่า السابอนของหาร ในวันรุ่งขึ้น พนว่าข้อมูลระดับน้ำรายวันและข้อมูลอัตราการระบายน้ำรายวันมีความสัมพันธ์กับดัชนี

การเตือนภัยจากการดับบัน้ำทะเลสาบทหนองหารในวันรุ่งขึ้นสูงที่สุดโดยมีค่าสัมประสิทธิ์สหสมพันธ์เท่ากับ 0.95 และ 0.67 สำหรับกลุ่มตัวแปรที่มีความล้มพันธ์ รองลงมาได้แก่ ข้อมูลการระเหยรายวันจากสถานีตรวจภาคพื้นย้อนหลัง 1 - 7 วัน โดยมีค่าล้มประสิทธิ์สหสมพันธ์อยู่ระหว่าง -0.30 ถึง -0.33 สำหรับตัวแปรข้อมูลจีพีเอ็มและข้อมูลปริมาณฝนรายวัน ณ สถานีต่าง ๆ ย้อนหลัง 1 - 7 วันนั้น มีความล้มพันธ์ กับดัชนีการเตือนภัยจากการดับบัน้ำทะเลสาบทหนองหารในวันรุ่งขึ้นค่อนข้างต่ำคือ มีค่าสัมประสิทธิ์สหสมพันธ์ อยู่ระหว่าง 0.17 ถึง 0.28 ดังนั้นข้อมูลจีพีเอ็มและข้อมูลปริมาณฝนรายวันในบางวันและบางสถานี อาจไม่ถูกเลือกโดยเครื่องข่ายประสาทเทียมเนื่องจากมีตัวแปรมีความล้มพันธ์กันต่ำ อย่างไรก็ตามในขั้นนี้ จะไม่ตัดตัวแปรนำเข้าที่ความล้มพันธ์ต่ำทึ่งเนื่องจากเครื่องข่ายประสาทจะทำการคัดเลือกตัวแปรที่มีค่ารันน้ำหนัก สูงสุดในแต่ละขั้นของชั้นซ่อนตัว (Hidden Layer) โดยอัตโนมัติ

นอกจากนี้หากพิจารณาค่าสัมประสิทธิ์สหสมพันธ์ของตัวแปรนำและตัวแปรเป้าหมาย จะสังเกตได้ว่าข้อมูลระดับน้ำรายวัน ข้อมูลอัตราการระบายน้ำรายวัน ข้อมูลปริมาณฝนและข้อมูลจีพีเอ็ม มีความล้มพันธ์ในทิศทางเดียวกันกับตัวแปรเป้าหมาย กล่าวคือเมื่อตัวแปรเหล่านี้เพิ่มขึ้นค่าดัชนีการเตือนภัย จากระดับน้ำทะเลสาบทหนองหารในวันรุ่งขึ้นจะสูงขึ้น (ระดับน้ำสูงขึ้น) ในทางตรงข้ามตัวแปรข้อมูลการระเหย รายวันที่มีทิศทางความล้มพันธ์ในลักษณะตรงข้ามกับตัวแปรเป้าหมาย แล้วดงให้เห็นว่าเมื่อการระเหยรายวัน สูงขึ้นดัชนีการเตือนภัยจากการดับบัน้ำทะเลสาบทหนองหารในวันรุ่งขึ้นจะลดลง (ระดับน้ำลดลง) ทั้งนี้การพบว่า ข้อมูลอัตราการระบายน้ำรายวันมีความล้มพันธ์ในทิศทางเดียวกันกับตัวเป้าหมาย ทั้งที่การระบายน้ำออก ควรจะล่งผลในระดับน้ำลดลงและให้ลักษณะความล้มพันธ์แบบตรงกันข้ามนั้น อาจเป็นผลเนื่องมาจาก เมื่อระดับน้ำในทะเลสาบทหนองหารสูงขึ้น ผู้ควบคุมการระบายน้ำจะเปิดประตูน้ำสูงขึ้นเพื่อเพิ่มปริมาณ การระบายน้ำออกในการพยายามควบคุมให้ระดับน้ำอยู่ในโถงของกฎการปฏิบัติการอ่างเก็บน้ำ (Rule Curve) หรืออาจเกิดการให้ลั่นออกทางระบายน้ำฉุกเฉิน ปริมาณน้ำที่ระบายน้ำออกจึงเป็นไปตามระดับความสูง ของน้ำในทะเลสาบทหนองหาร ตัวแปรทั้งสองจึงมีความล้มพันธ์ในทิศทางเดียวกัน

2. ความล้มพันธ์ระหว่างฝนรายวันและข้อมูลจีพีเอ็มรายวัน

ข้อมูลจีพีเอ็มเป็นข้อมูลฝนที่ได้จากการตรวจด้วยการสำรวจและไก่กล่ำดาวเทียม จึงเหมาะสมในการนำมาใช้งานเชิงพื้นที่ การวิเคราะห์ความล้มพันธ์ระหว่างฝนรายวันและข้อมูลจีพีเอ็มในทั่วข้อนี้ จึงเป็นการยืนยันระดับและทิศทางความล้มพันธ์ของข้อมูลที่ได้จากการสำรวจและไก่กล่ำข้อมูลฝนของ สถานีภาคพื้น โดยทำการวิเคราะห์ความล้มพันธ์ข้อมูลจีพีเอ็มสถานี P18 กับข้อมูลฝนสถานีอุตุนิยมวิทยา ศกลนคร (GS) ด้วยสหสมพันธ์เพียร์สันโปรดักส์โมเมนต์ พบร่วมข้อมูลทั้งสองมีความล้มพันธ์กันแบบมี ทิศทางเดียวกันในระดับปานกลางโดยมีค่าสัมประสิทธิ์สหสมพันธ์เท่ากับ 0.60 อย่างมีนัยสำคัญทางสถิติ ที่ระดับ 0.01 ดังรูปที่ 3 แม้สถานีอุตุนิยมวิทยาศกลนครจะเป็นสถานีภาคพื้นที่อยู่ใกล้เคียงกันตำแหน่ง ข้อมูลจีพีเอ็มสถานี P18 มาจากสุดแต่ก็มีระยะทางที่ห่างกันถึง 2 กิโลเมตร ดังนั้นด้วยระยะทางที่ห่างกันนี้ ข้อมูลฝนรายวันและข้อมูลจีพีเอ็มรายวันจึงอาจมีแตกต่างกัน อย่างไรก็ตามข้อมูลฝนสถานีอุตุนิยมวิทยา ศกลนครเป็นข้อมูลแบบจุดที่แสดงปริมาณฝน ณ ตำแหน่งการตรวจวัดเท่านั้น และไม่อาจบ่งบอกถึง ปริมาณฝนที่ตกทั่วทั้งพื้นที่รับน้ำได้ ดังนั้นการศึกษานี้จึงนำเสนอการใช้ข้อมูลจีพีเอ็มซึ่งเป็นข้อมูลฝนเชิงพื้นที่ ที่สามารถพิจารณาฟันได้ครอบคลุมพื้นที่รับน้ำมาใช้ในการสร้างตัวแบบการคำนایการเปลี่ยนแปลงของระดับน้ำ

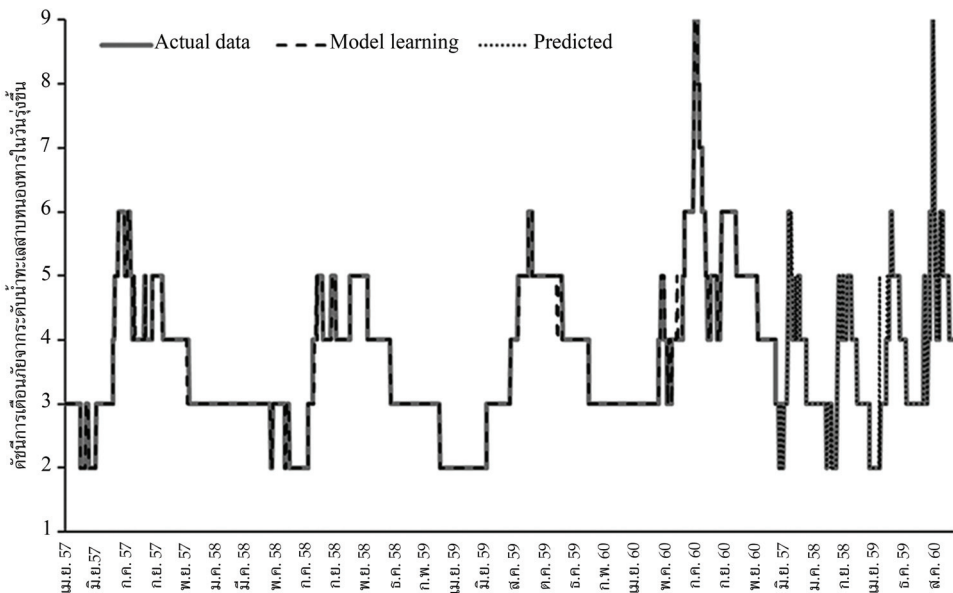


รูปที่ 3 ความล้มเหลวระหว่างข้อมูลฝนรายวันกับข้อมูลจีพีเอ็ม

3. ตัวแบบทำนายค่าข้อมูลตัวแปรนำเข้าทั้ง 233 ตัวเพื่อสร้างตัวแบบทำนายค่าข้อมูลการเตือนภัยจากระดับน้ำท่าและน้ำท่วมในวันรุ่งขึ้น

จากการนำเข้าข้อมูลตัวแปรนำเข้าทั้ง 233 ตัวเพื่อสร้างตัวแบบทำนายค่าข้อมูลการเตือนภัยจากระดับน้ำท่าและน้ำท่วมในวันรุ่งขึ้น พบว่าในขั้นตอนตัวแบบเรียนรู้ (Model Learning) มีการลุ่มชุดข้อมูลเพื่อใช้สร้างตัวแบบทั้งสิ้น 1,092 ชุดข้อมูลคิดเป็นร้อยละ 70 ของชุดข้อมูลทั้งหมด ตัวแบบเรียนรู้ที่ได้จากการจัดการข้อมูลแบบบริษัทกลุ่มน้ำท่าและน้ำท่วม ได้แก่ในรูปที่ 4 มีความเที่ยงตรงร้อยละ 97.3 ชั่งอยู่ในระดับที่สูงมาก โดยสามารถเรียนรู้ค่าดัชนีการเตือนภัยจากระดับน้ำท่าและน้ำท่วมในวันรุ่งขึ้นที่ระดับ 2 - 9 (เด่นที่สีเทาในรูปที่ 4) ได้แม่นยำร้อยละ 100 98.4 95.1 95.2 100 100 100 และ 100 ตามลำดับ แสดงให้เห็นว่าตัวแบบเรียนรู้ที่ได้จากข้อมูลนำเข้านี้มีความเที่ยงตรงและแม่นยำสูงหมายเหตุที่ระบุไว้ในกระบวนการทำนายค่าตัวแปรเป้าหมาย

นอกจากนี้เมื่อทำการทดสอบตัวแบบเรียนรู้ด้วยชุดข้อมูลที่ตัวแบบไม่เคยพบมาก่อน (จุดไข่ปลาในรูปที่ 4) พบว่าตัวแบบนี้มีความเที่ยงตรงในการทำนายค่าดัชนีการเตือนภัยจากระดับน้ำท่าและน้ำท่วมในวันรุ่งขึ้นสูงถึงร้อยละ 90.5 กล่าวคือสามารถทำนายค่าได้ถูกต้องเที่ยงตรงเป็นจำนวน 247 ครั้ง จาก 273 ครั้ง ชั่งอยู่ในระดับเที่ยงตรงที่สูงโดยมีความแม่นยำในการทำนายค่าดัชนีการเตือนภัยจากระดับน้ำท่าและน้ำท่วมในวันรุ่งขึ้นที่ระดับ 2 - 9 เท่ากับร้อยละ 96.7 95.5 92.1 81.1 78.6 - 0.0 และ 0.0 ตามลำดับ ดังตารางที่ 2 และสังเกตได้ว่าจำนวนครั้งที่ตัวแบบทำนายผิดไปจากค่าจริงเกินกว่า ± 1 ระดับ มีจำนวนเพียง 2 ครั้งหรือคิดเป็นร้อยละ 0.73 ของการทำนายทั้งหมด ผลการวิจัยนี้แสดงให้เห็นว่าการใช้ข้อมูลจีพีเอ็มร่วมกับข้อมูลอุดหนุนภูมิศาสตร์และข้อมูลระดับภาคสามารถสร้างตัวแบบในการทำนายค่าดัชนีการเตือนภัยจากระดับน้ำท่าและน้ำท่วมในวันรุ่งขึ้นได้อย่างมีประสิทธิภาพ จึงมีความเป็นไปได้ในการใช้เป็นระบบเตือนภัยจากระดับน้ำท่าและน้ำท่วมในประเทศไทยได้ล่วงหน้า 24 ชั่วโมง ด้วยความเที่ยงตรงและแม่นยำสูงอย่างไรก็ตามเพื่อให้ตัวแบบมีความเที่ยงตรงสูงขึ้นและลดความคลาดเคลื่อนในการทำนายให้ต่ำลง ควรมีการเก็บข้อมูลและปรับปรุงตัวแบบอย่างต่อเนื่องเพื่อให้ตัวแบบมีการปรับตัวต่อสถานการณ์ลิ่งแวดล้อมที่อาจเปลี่ยนไป อีกทั้งควรศึกษาความล้มเหลวของตัวแบบเพิ่มเติม เช่น อัตราการใช้น้ำอัตราการซึม และอัตราฝนที่เปลี่ยนไป ที่จะช่วยให้ตัวแบบมีความแม่นยำและเชื่อถือได้มากยิ่งขึ้น



รูปที่ 4 ตัวแบบเรียนรู้และการทดสอบตัวแบบ

ตารางที่ 2 การประเมินผลลัพธ์การทำนายจากตัวแบบ

	Predicted class									Total	Recall
	2	3	4	5	6	7	8	9			
Actual class	2	29	1	0	1	0	0	0	31	0.935	
	3	1	106	1	0	0	0	0	108	0.981	
	4	0	4	58	5	0	0	0	67	0.866	
	5	0	0	4	43	3	0	0	50	0.860	
	6	0	0	0	3	11	0	0	14	0.786	
	7	0	0	0	1	0	0	0	1	0.000	
	8	0	0	0	0	0	0	1	1	0.000	
	9	0	0	0	0	0	1	0	1	0.000	
Total	30	111	63	53	14	0	1	1	273		
Precision	0.967	0.955	0.921	0.811	0.786	-	0.000	0.000			
Accuracy	0.989	0.974	0.949	0.938	0.978	0.996	0.993	0.993	0.905		

นอกจากนี้เมื่อทำการเปรียบเทียบผลการทดสอบตัวแบบที่มีการใช้ข้อมูลจีพีเอ็มกับตัวแบบที่ไม่มีการใช้ข้อมูลจีพีเอ็มด้วยขั้นตอนแล้ววิธีการเดียวกัน พบร่วมกันที่ตัวแบบที่ไม่มีการใช้ข้อมูลจีพีเอ็ม มีความเที่ยงตรงในการทำนายค่าดัชนีการเตือนภัยจากระดับน้ำทะเลสาบทหนองหารในวันรุ่งขึ้นเท่ากับร้อยละ 76.9 หรือทำนายได้ถูกต้องเพียง 210 ครั้ง จาก 273 ครั้งเท่านั้น ซึ่งให้ผลที่แตกต่างกับตัวแบบที่มีการใช้ข้อมูลจีพีเอ็มที่ให้ผลความเที่ยงตรงของการทดสอบสูงถึงร้อยละ 90.5

ข้อมูลจีพีเอ็มจึงเป็นข้อมูลการสำรวจระยะไกลหนึ่งที่สามารถนำมาประยุกต์ใช้งานในการจัดการทรัพยากรธรรมชาติและลิงแวดล้อมอย่างมีประสิทธิภาพ อีกทั้งยังเป็นข้อมูลเปิดที่ผู้ใช้งานสามารถนำมาใช้งานได้โดยไม่มีค่าใช้จ่าย และยังมีความละเอียดของข้อมูลเชิงพื้นที่ถึง 0.1 องศา จึงเหมาะสมต่อการนำมาใช้งานทั้งในระดับภูมิภาคและในระดับท้องถิ่น

สรุป

ระดับน้ำทະเลสาบทหนองหารในวันรุ่งขึ้นมีการขึ้นลงตามระดับน้ำในวันปัจจุบัน ปริมาณน้ำฝน อัตราการระเหย และอัตราการระไยน้ำ โดยพบว่าการเปลี่ยนแปลงระดับน้ำในวันรุ่งขึ้นมีความสัมพันธ์กับระดับน้ำในวันปัจจุบัน อัตราการระไยน้ำ และปริมาณฝนในระดับสูง ปานกลางและต่ำในทิศทางเดียวกัน ตามลำดับ และ มีความสัมพันธ์กับอัตราการระเหยในระดับปานกลางในทิศทางตรงกันข้าม

ข้อมูลจีพีเอ็มรายวันมีความสัมพันธ์กับข้อมูลฝนรายวันที่ตรวจวัด ณ สถานีภาคพื้นในระดับปานกลาง โดยมีค่าสัมประสิทธิ์สหสัมพันธ์เท่ากับ 0.60 อย่างมีนัยสำคัญทางสถิติที่ระดับ 0.01 ทั้งนี้การที่ข้อมูลจีพีเอ็มรายวันมีความแตกต่างกับข้อมูลฝนรายวันที่ตรวจวัด ณ สถานีภาคพื้นนั้น เป็นผลอันเนื่องมาจากการสถานีภาคพื้นและตำแหน่งข้อมูลฝนจีพีเอ็มในพื้นที่คือภาษาที่ตั้งอยู่ในตำแหน่งใกล้เคียงกันมากที่สุดมีระยะทางห่างกันถึง 2 กิโลเมตร ดังนั้นจึงเป็นผลให้ข้อมูลฝนซึ่งเป็นข้อมูลแบบชุดมีความแตกต่างกันกับข้อมูลจีพีเอ็มซึ่งเป็นข้อมูลเชิงพื้นที่ อย่างไรก็ตามข้อมูลทั้งสองมีทิศทางความสัมพันธ์ในทางเดียวกัน

การใช้งานข้อมูลจีพีเอ็มซึ่งเป็นการสำรวจระยะไกลร่วมกับข้อมูลอุทก-อุตุนิยมวิทยาสามารถสร้างตัวแบบในการทำนายค่าต้นของการเตือนภัยจากระดับน้ำทະเลสาบทหนองหารในวันรุ่งขึ้นมีประสิทธิภาพสูง โดยตัวแบบที่ได้มีความเที่ยงตรงในขั้นการประเมินผลลัพธ์จากการทำนายสูงถึงร้อยละ 90.5 และมีการทำนายค่าผิดพลาดเกินกว่า ± 1 ระดับ เพียงร้อยละ 0.73 ของการทดสอบทั้งหมด อีกทั้งการใช้ข้อมูลจีพีเอ็มในการสร้างตัวแบบยังให้ผลความเที่ยงตรงของตัวแบบสูงกว่าการไม่ใช้ แสดงให้เห็นว่ามีความเป็นไปได้สูงในการใช้ข้อมูลจีพีเอ็มเพื่อเตือนภัยจากระดับน้ำทະเลสาบทหนองหาร อย่างไรก็ตามเพื่อให้ตัวแบบมีความเที่ยงตรงและแม่นยำสูงขึ้นควรเก็บข้อมูลอย่างต่อเนื่องเพื่อให้ตัวแบบเรียนรู้และปรับตัวเข้ากับการเปลี่ยนแปลงของลิงแวดล้อม นอกจากนี้ยังแสดงให้เห็นว่าข้อมูลจีพีเอ็มมีคักษภพในการนำมาใช้งานในการจัดการทรัพยากรธรรมชาติและลิงแวดล้อมในระดับท้องถิ่นได้

กิตติกรรมประกาศ

การวิจัยนี้ได้รับการสนับสนุนทุนวิจัยจากทุนสนับสนุนการวิจัยสำหรับบุคลากรมหาวิทยาลัยราชภัฏสกลนคร ประจำปีงบประมาณ พ.ศ. 2561 นอกจากนี้ได้รับการสนับสนุนข้อมูลทุกภูมิที่การตรวจวัด ณ สถานีภาคพื้น จากสถานีอุตุนิยมวิทยาสกลนคร กรมอุตุนิยมวิทยา และศูนย์วิจัยและพัฒนาประมงน้ำจืดสกลนคร กรมประมง

References

- [1] Mal, S., Singh, R.B., Huggel, C. and Grover, A. (2018). **Introducing Linkages Between Climate Change, Extreme Events, and Disaster Risk Reduction.** Climate Change, Extreme Events and Disaster Risk Reduction : Springer International Publishing
- [2] Lehner, B., Döll, P., Alcamo, J., Henrichs, T., and Kaspar, F. (2006). Estimating the Impact of Global Change on Flood and Drought Risks in Europe: A Continental, Integrated Analysis. **Climatic Change.** Vol. 75, Issue 3, pp. 273-299. DOI: 10.1007/s10584-006-6338-4
- [3] Wiering, M. and Winnubst, M. (2017). The Conception of Public Interest in Dutch Flood Risk Management: Untouchable or Transforming?. **Environmental Science & Policy.** Vol. 73, pp. 12-19. DOI: 10.1016/j.envsci.2017.03.002
- [4] Zhang, Q., Zhang, J., and Wang, C. (2017). Risk Assessment of Drought Disaster in Typical Area of Corn Cultivation in China. **Theoretical and Applied Climatology.** Vol. 128, Issue 3-4, pp. 533-540. DOI: 10.1007/s00704-015-1723-4
- [5] Reynard, N. S., Kay, A. L., Anderson, M., Donovan, B., and Duckworth, C. (2017). The Evolution of Climate Change Guidance for Fluvial Flood Risk Management in England. **Physical Geography.** Vol. 41, Issue 2, pp. 222-237. DOI: 10.1177/030913317702566
- [6] Singkran, N. (2017). Flood Risk Management in Thailand: Shifting from a Passive to a Progressive Paradigm. **International Journal of Disaster Risk Reduction.** Vol. 25, pp. 92-100. DOI: 10.1016/j.ijdrr.2017.08.003
- [7] Stratford, C., Brewin, P., Acreman, M., and Mountford, O. (2015). A Simple Model to Quantify the Potential Trade-Off Between Water Level Management for Ecological Benefit and Flood Risk. **Ecohydrology & Hydrobiology.** Vol. 15, Issue 3, pp. 150-159. DOI: 10.1016/j.ecohyd.2015.06.002
- [8] Sun, G., Zheng, H., Huang, Y., and Li, C. (2016). Parameter Inversion and Deformation Mechanism of Sanmendong Landslide in the Three Gorges Reservoir Region Under the Combined Effect of Reservoir Water Level Fluctuation and Rainfall. **Engineering Geology.** Vol. 205, pp. 133-145. DOI: 10.1016/j.enggeo.2015.10.014
- [9] Zhao, Q., Liu, S., Deng, L., Dong, S., and Wang, C. (2014). Soil Degradation Associated with Water-Level Fluctuations in the Manwan Reservoir, Lancang River Basin. **CATENA.** Vol. 113, pp. 226-235. DOI: 10.1016/j.catena.2013.08.007
- [10] Mettrop, I. S., Rutte, M. D., Kooijman, A. M., and Lamers, L. P. M. (2015). The Ecological Effects of Water Level Fluctuation and Phosphate Enrichment in Mesotrophic Peatlands are Strongly Mediated by Soil Chemistry. **Ecological Engineering.** Vol. 85, pp. 226-236. DOI: 10.1016/j.ecoleng.2015.09.077
- [11] Qian, K., Liu, X., and Chen, Y. (2016). Effects of Water Level Fluctuation on Phytoplankton Succession in Poyang Lake, China - A Five Year Study. **Ecohydrology & Hydrobiology.** Vol. 16, pp. 175-184. DOI: DOI: 10.1016/j.ecohyd.2016.08.001

- [12] Wang, P., Zhang, Q., Xu, Y.-S., and Yu, F. H. (2016). Effects of Water Level Fluctuation on the Growth of Submerged Macrophyte Communities. **Flora**. Vol. 223, pp. 83-89. DOI: 10.1016/j.flora.2016.05.005
- [13] Grabas, G. P. and Rokitnicki-Wojcik, D. (2015). Characterizing Daily Water-Level Fluctuation Intensity and Water Quality Relationships with Plant Communities in Lake Ontario Coastal wetlands. **Journal of Great Lakes Research**. Vol. 41, Issue 1, pp. 136-144. DOI: 10.1016/j.jglr.2014.12.019
- [14] Menouer, M. A. and Moussaoui, A. (2016). Effects of Consecutive Water Level Fluctuations and Harvesting on Predator-Prey Interactions. **Chaos, Solitons & Fractals**. Vol. 91, pp. 434-442. DOI: 10.1016/j.chaos.2016.07.001
- [15] Yadav, B. and Eliza, K. (2017). A Hybrid Wavelet-Support Vector Machine Model for Prediction of Lake Water Level Fluctuations Using Hydro-Meteorological Data. **Measurement**. Vol. 103, pp. 294-301. DOI: 10.1016/j.measurement.2017.03.003
- [16] Tapiador, F. J., Turk, F. J., Petersen, W., Hou, A. Y., García-Ortega, E., Machado, L. A. T., Angelis, C. F., Salio, P., Kidd, C., Huffman, G. J., and de Castro, M. (2012). Global Precipitation Measurement: Methods, Datasets and Applications. **Atmospheric Research**. Vol. 104, pp. 70-97
- [17] Tapiador, F. J., Navarro, A., Levizzani, V., García-Ortega, E., Huffman, G. J., Kidd, C., Kucera, P. A., Kummerow, C. D., Masunaga, H., Petersen, W.A., Roca, R., Sánchez, J.-L., Tao, W. -K., and Turk, F. J. (2017). Global Precipitation Measurements for Validating Climate Models. **Atmospheric Research**. Vol. 197, pp. 1-20. DOI: 10.1016/j.atmosres.2017.06.021
- [18] Wang, Z., Zhong, R., Lai, C., and Chen, J. (2017). Evaluation of the GPM IMERG Satellite-based Precipitation Products and the Hydrological Utility. **Atmospheric Research**. Vol. 196, pp. 151-163. DOI: 10.1016/j.atmosres.2017.06.018
- [19] Casella, D., Panegrossi, G., Sanò, P., Marra, A. C., Dietrich, S., Johnson, B. T., and Kulie, M. S. (2017). Evaluation of the GPM-DPR Snowfall Detection Capability: Comparison with CloudSat-CPR. **Atmospheric Research**. Vol. 197, pp. 64-75. DOI: 10.1016/j.atmosres.2017.06.018
- [20] Prakash, S., Mitra, A. K., Pai, D. S., and AghaKouchak, A. (2016). From TRMM to GPM: How well can heavy rainfall be detected from space?. **Advances in Water Resources**. Vol. 88, pp. 1-7. DOI: 10.1016/j.advwatres.2015.11.008
- [21] Siswanto, van der Schrier, G., Jan van Oldenborgh, G., van den Hurk, B., Aldrian, E., Swarinoto, Y., Sulistya, W., and Eka Sakya, A. (2017). A Very Unusual Precipitation Event Associated with the 2015 Floods in Jakarta: An Analysis of the Meteorological Factors. **Weather and Climate Extremes**. Vol. 16, pp. 23-28. DOI: 10.1016/j.wace.2017.03.003
- [22] Case, J. L. (2016). From Drought to Flooding in Less Than a Week Over South Carolina. **Results in Physics**. Vol. 6, pp. 1183-1184. DOI: 10.1016/j.rinp.2016.11.012

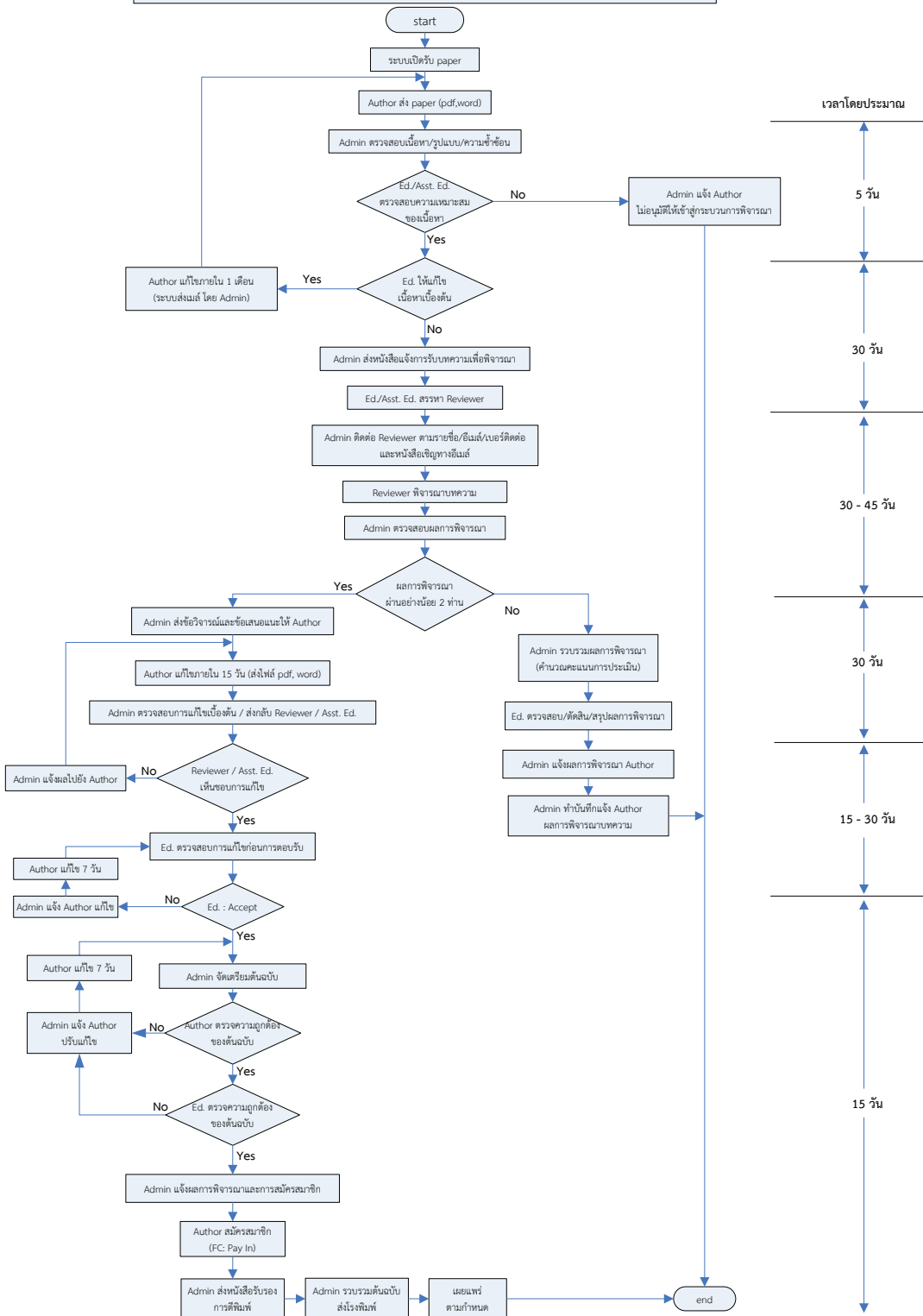


คำแนะนำสำหรับผู้เขียน



RMUTI
ราชมงคลอีสาน

ผังการดำเนินงานการสาร มหาวิทยาลัยและเทคโนโลยี



วารสาร มทร.อีสาน ฉบับวิทยาศาสตร์และเทคโนโลยี
RMUTI JOURNAL Science and Technology

1. ประเภทของบทความที่ตีพิมพ์

1.1 บทความวิจัย (Research article) เป็นบทความที่ได้จากการวิจัย

1.2 บทความวิชาการ (Academic article) เป็นบทความที่มีลักษณะดังนี้

1. เป็นบทความจากการทบทวนเอกสาร ซึ่งเป็นผลมาจากการวิจัยหลาย ๆ ครั้ง ถือเป็นบทความที่มีความสำคัญเป็นอย่างยิ่ง

2. เป็นบทความนำเสนอกระบวนการพัฒนาผลิตภัณฑ์ การทดสอบภาคสนาม รวมไปถึงเทคนิคการวิเคราะห์ใหม่ ๆ

3. เป็นบทความที่มาจากประสบการณ์ หรือความชำนาญของผู้เขียน

4. เป็นบทความเกี่ยวกับนโยบายด้านต่าง ๆ ของหน่วยงาน

2. รูปแบบการพิมพ์บทความ

การตั้งค่าหน้ากระดาษ

- ระยะขอบ

ขอบบน (Top Margin) 2.54 ซม. ขอบล่าง (Bottom Margin) 2.54 ซม.

ขอบขวา (Right Margin) 2.54 ซม. ขอบซ้าย (Left Margin) 3.17 ซม.

- ระยะห่างบรรทัด 1 เท่า

- รูปแบบตัวอักษร บทความภาษาไทยใช้ TH SarabunPSK

บทความภาษาอังกฤษใช้ Times New Roman

- การย่อหน้า 7 ตัวอักษร พิมพ์ตัวที่ 8

- จำนวนหน้า 12 หน้า แต่ไม่ควรเกิน 15 หน้า

- ชื่อบทความ ภาษาไทย ขนาดตัวอักษร 20 ตัวหนา

ภาษาอังกฤษ ขนาดตัวอักษร 18 ตัวหนา

- ชื่อผู้เขียน ภาษาไทย ขนาดตัวอักษร 16 และจัดชิดซ้าย

ภาษาอังกฤษ ขนาดตัวอักษร 14 และจัดชิดซ้าย

- ตัวเลขยก (ต่อท้ายนามสกุล) ขนาดตัวอักษร 14

- ที่อยู่ ภาษาไทย ขนาดตัวอักษร 13

ภาษาอังกฤษ และภาษาอังกฤษ 11

- ชื่อหัวเรื่องหลักในบทความ เช่น “บทคัดย่อ” “คำสำคัญ” “วิธีดำเนินการ” “ผลการวิจัย”

“สรุปผลการวิจัย” “กิตติกรรมประกาศ” “เอกสารอ้างอิง” จัดชิดซ้ายหน้ากระดาษ

กรณีบทความภาษาไทย ขนาดตัวอักษร 18 ตัวหนา

กรณีบทความภาษาอังกฤษ ขนาดตัวอักษร 16 ตัวหนา

- ชื่อหัวเรื่องรอง จัดชิดซ้ายหน้ากระดาษ

กรณีบทความภาษาไทย ขนาดตัวอักษร 14 ตัวหนา

กรณีบทความภาษาอังกฤษ ขนาดตัวอักษร 11 ตัวหนา

- เนื้อหาในส่วนต่าง ๆ และคำสำคัญ

กรณีบหความภาษาไทย ขนาดตัวอักษร 14

กรณีบหความภาษาอังกฤษ ขนาดตัวอักษร 11

- ข้อตาราง

กรณีบหความภาษาไทย ข้อความ “ตารางที่ x” ใช้ขนาดตัวอักษร 14 ตัวหนา วางด้านบน ชิดซ้ายหน้ากระดาษ ตามด้วยชื่อตารางที่เป็นตัวอักษรขนาด 14 ไม่หนา

กรณีบหความภาษาอังกฤษ ข้อความ “Table x” ใช้ขนาดตัวอักษร 11 ตัวหนา วางด้านบน ชิดซ้ายหน้ากระดาษ ตามด้วยชื่อตารางที่เป็นตัวอักษรขนาด 11 ไม่หนา

- ชื่อรูปภาพ

กรณีบหความภาษาไทย ข้อความ “รูปที่ x” ใช้ขนาดตัวอักษร 14 ตัวหนา วางด้านล่างจัดชิดซ้ายหน้ากระดาษ ตามด้วยคำชื่อรูปที่เป็นตัวอักษรขนาด 14 ไม่หนา

กรณีบหความภาษาอังกฤษ ข้อความ “Figure x” ใช้ขนาดตัวอักษร 11 ตัวหนา วางด้านล่างจัดชิดซ้ายหน้ากระดาษ ตามด้วยคำชื่อรูปที่เป็นตัวอักษรขนาด 11 ไม่หนา

3. ส่วนประกอบของบทความแต่ละประเภท

3.1 บทความวิจัย จะประกอบไปด้วย

ก. ส่วนปก

1. ชื่อบทความ (Title) ภาษาไทยและภาษาอังกฤษ ควรกระหัตดัด ไม่ยาวเกินไป บทความภาษาไทยชื่อเรื่องต้องมีทั้งภาษาไทยและภาษาอังกฤษ บทความภาษาอังกฤษชื่อเรื่องไม่ต้องมีภาษาไทย

2. ชื่อผู้เขียน (Authors) ชื่อเต็ม - นามสกุลเต็ม ของผู้เขียนทุกคน โดยให้รายละเอียด ต้นลั้งกัดของผู้เขียนไว้ที่บรรทัดล่างสุดของหน้าแรก พร้อมทั้งระบุชื่อผู้เขียนประสานงาน (Corresponding Author) ด้วยการระบุ E-mail address ที่สามารถติดต่อได้ และให้เครื่องหมายดอกจันทร์ตัวยก กำกับไว้ต่อท้ายนามสกุล และตัวเลขยก ให้เขียนไว้ต่อท้ายนามสกุล เพื่อระบุที่อยู่ของผู้เขียน

3. บทคัดย่อ (Abstract) ควรสั้น ตรงประเด็น ครอบคลุมสาระสำคัญของการศึกษา ประกอบไปด้วยเนื้อหา ได้แก่ วัตถุประสงค์ วิธีการ ผลการวิจัย และการอภิปรายผล เป็นต้น โดยเขียนลงใน 1 ย่อหน้า ถ้าบทความเป็นภาษาไทย จะต้องมีบทคัดย่อภาษาไทย 1 ย่อหน้า และภาษาอังกฤษ 1 ย่อหน้า โดยให้ภาษาไทยขึ้นก่อน เนื้อความในบทคัดย่อภาษาไทยและภาษาอังกฤษต้องมีความหมายเดียวกัน ความยาวของบทคัดย่อภาษาอังกฤษ กำหนดให้มีความยาวได้ไม่เกิน 300 คำ

4. คำสำคัญ (Key words) เป็นการกำหนดคำสำคัญที่สามารถนำไปใช้เป็นคำสืบค้น ในระบบฐานข้อมูล หากเป็นบทความภาษาไทยต้องมีคำสำคัญ 2 ภาษา คือภาษาไทยและภาษาอังกฤษที่มีความหมายตรงกัน ส่วนกรณีของบทความภาษาอังกฤษให้มีเพียงคำสำคัญในรูปแบบภาษาอังกฤษเท่านั้น จำนวนคำสำคัญที่กำหนดให้มีคำสำคัญได้อย่างน้อย 3 คำ แต่ไม่เกิน 5 คำ

**หมายเหตุ : เนื้อหาส่วนปกจะต้องเขียนให้อยู่ในกระดาษจำนวน 1 หน้า เท่านั้น

ข. ส่วนเนื้อหา

1. บทนำ (**Introduction**) เพื่ออธิบายถึงความสำคัญของปัญหา และวัตถุประสงค์ของการวิจัย รวมถึงการทบทวนวรรณกรรม และเอกสารที่เกี่ยวข้อง

2. วัสดุ อุปกรณ์ และวิธีการ (**Materials and Methods**) / วิธีดำเนินการวิจัย (**Research Methodology**) อธิบายเครื่องมือและวิธีการดำเนินการวิจัยให้ชัดเจน

3. ผลการวิจัย (**Results**) เสนอผลการทดลองอย่างชัดเจน ตรงประเด็น ควรมีรูปภาพ และ/หรือ ตารางประกอบการอธิบายผลในตารางและรูปภาพ ต้องไม่เข้าข้องกัน รูปภาพและตารางของบทความที่เป็นภาษาไทย ให้บรรยายเป็นภาษาไทย รูปภาพและตารางของบทความที่เป็นภาษาอังกฤษ ให้บรรยายเป็นภาษาอังกฤษ

4. การอภิปรายผล (**Discussion**) เป็นการอภิปรายผลการวิจัย เพื่อให้ผู้อ่านมีความเห็นคล้ายตาม เพื่อเปรียบเทียบกับผลการวิจัยของผู้อื่น พร้อมทั้งเสนอแนวทางที่จะนำไปใช้ประโยชน์ผลการวิจัย และการอภิปรายผล (**Results and Discussion**) อาจนำมาเขียนตอนเดียวกันได้

5. บทสรุป (**Conclusion**) สรุปประเด็น และสาระสำคัญของการวิจัย

6. กิตติกรรมประกาศ (**Acknowledgements**) เพื่อแสดงความขอบคุณแก่ผู้ให้ความช่วยเหลือในการวิจัย อาจมีหรือไม่มีก็ได้

7. เอกสารอ้างอิง (**References**) เป็นรายการเอกสารที่ถูกอ้างไว้ในส่วนของเนื้อเรื่อง เพื่อใช้เป็นหลักในการค้นคว้าวิจัย จำนวนเอกสารที่นำมาอ้างอิงตอนท้ายต้องมีจำนวนตรงกับที่ถูกอ้างอิงไว้ ในส่วนของเนื้อเรื่องที่ปรากฏในบทความเท่านั้น การจัดเรียงให้เรียงตามลำดับการอ้างอิงในเนื้อหาโดยใช้ย่อถือรูปแบบการเขียนเอกสารอ้างอิงตามที่ทางวารสาร มทร.อีสาน กำหนด และต้องเขียนในรูปแบบภาษาอังกฤษเท่านั้น

3.2 บทความวิชาการ จะประกอบไปด้วย

ก. ส่วนปก

มีส่วนประกอบเหมือนบทความวิจัย และเขียนให้อยู่ในกระดาษ จำนวน 1 หน้า เท่านั้น

ข. ส่วนเนื้อหา

1. บทนำ (**Introduction**) เป็นส่วนของที่มาของมูลเหตุของการเขียนบทความ

2. วิธีการศึกษา/วิธีดำเนินการ (**Method**) (ถ้ามี) เป็นการอธิบายวิธีการศึกษา หรือ การดำเนินการตามประเภทของบทความวิชาการ

3. ผลการศึกษา/ผลการดำเนินการ (**Results**) เป็นการเสนอผลอย่างชัดเจน ตามประเด็น โดยลำดับตามหัวข้อที่ศึกษาหรือดำเนินการ

4. สรุป (**Conclusion**) สรุปประเด็น และสาระสำคัญที่ได้จากการศึกษา

5. เอกสารอ้างอิง (**References**) ใช้รูปแบบที่วารสารกำหนด รายการการอ้างอิง ต้องเขียนในรูปแบบภาษาอังกฤษเท่านั้น

4. การอ้างอิงเอกสารในเนื้อเรื่องของบทความ (**In-text Citations**)

การอ้างอิงเอกสารในเนื้อเรื่องใช้รูปแบบ IEEE ระบบตัวเลข (**Numerical System**) เท่านั้น โดยรายการอ้างอิงเอกสารให้จัดขึ้นท้ายหน้ากระดาษ หมายเลขอลำดับของเอกสารอ้างอิงในเครื่องหมาย

วงเล็บกรอบลี่เทลี่ยม ตัวอย่างเช่น [1] เป็นต้น หากเป็นการอ้างอิงเอกสารหลายฉบับในเวลาเดียวกัน ให้ใส่ท้ายเลขอ้างอิงเรียงตามลำดับ จากน้อยไปมาก เช่น [1] - [3] หรือ [1], [2], [5] เป็นต้น

การเขียนรายการเอกสารอ้างอิง (Reference list)

1) หนังสือ

[X] ผู้แต่ง./.(ปีที่พิมพ์).//ชื่อหนังสือ./.ครั้งที่พิมพ์(ถ้ามี).//เมืองที่พิมพ์:/;สำนักพิมพ์.

ตัวอย่างเช่น

- [1] Herren, Ray V. (1994). **The Science of Animal Agriculture**. Albany, N.Y. : Delmar Publishers.

2) หนังสือแปล

[X] ผู้แต่ง./.(ปีที่พิมพ์).//ชื่อเรื่องของหนังสือแปล//แปลจาก(ชื่อเรื่องในภาษาเดิม).//โดย/
ชื่อผู้แปล./.ครั้งที่พิมพ์(ถ้ามี).//เมืองที่พิมพ์:/;สำนักพิมพ์

ตัวอย่างเช่น

- [2] Grmek, Mirko D. (1990). **History of AIDS : Emerging and Origin of a Modern Pandemic**.
Translated by Russell C. Maulitz, and Jacalyn Duffin. Princeton, N.J.: University Press

3) บทความในหนังสือรายงานประชุมทางวิชาการ/สัมมนาทางวิชาการ

[X] ผู้เขียนบทความ./.(ปีที่พิมพ์).//ชื่อบทความ./ชื่อบรรณาธิการหรือผู้บรรยาย(ถ้ามี).//
หน้า/เลขหน้า./.สถานที่พิมพ์:/;สำนักพิมพ์

ตัวอย่างเช่น

- [3] McTaggart, J. M. E. (1993). The Unreality of Time. **Philosophy of Time**. Robin Le Poidevin, and Murray MacBeath, eds. pp. 23-34. Oxford : Oxford University Press

4) บทความในหนังสือรายงานประชุมทางวิชาการ/สัมมนาทางวิชาการ

[X] ผู้เขียนบทความ./.(ปีที่พิมพ์).//ชื่อบทความ./ชื่อบรรณาธิการ(ถ้ามี).//ชื่อเรื่องรายงาน
การประชุม./.หน้า/เลขหน้า./.สถานที่พิมพ์:/;สำนักพิมพ์

ตัวอย่างเช่น

- [4] Beales, P. F. (1980). The Status of Malaria in Southeast Asia. **Proceedings of the Third Asian Congress of Pediatrics**. Aree Valyasevi, and Vidhaya Mekanandha, eds.
pp. 52-58. Bangkok : Bangkok Medical Publisher

5) วารสาร

[X] ผู้เขียนบทความ./.(ปีที่พิมพ์).//ชื่อบทความ./ชื่อวารสาร./.ปีที่./.ฉบับที่./.หน้า/เลขหน้า
ตัวอย่างเช่น

- [5] Vitsanusat, A. and Phachirarat, S. (2015). Measurement of Radon in Drinking Water at Amphur Meaung, Khonkhaen Province with Ionization chamber. **RMUTI Journal Science and Technology**. Vol. 8, No. 2, pp. 12-20

6) บทความในหนังสือพิมพ์

[X] ชื่อผู้เขียน // (ปี./วัน./เดือน).// ชื่อบทความ./ใน/ชื่อหนังสือพิมพ์./หน้า/เลขหน้า
ตัวอย่างเช่น

- [6] Vitit Muntarbhorn. (1994. 21. March). **The Sale of Children as a Global Dilemma.**
Bangkok Post. p. 4

7) บทความในสารานุกรม

[X] ชื่อผู้เขียนบทความ./// (ปีที่พิมพ์).// ชื่อบทความ./ใน./ชื่อสารานุกรม./// เล่มที่:/หน้า/เลขหน้า-เลขหน้า
ตัวอย่างเช่น

- [7] Morrow, Blaine Victor. (1993). Standards for CD-Rom Retrieval. **Encyclopedia of Library and Information Science.** Vol. 51, pp. 380-389

8) วิทยานิพนธ์

[X] ผู้เขียนวิทยานิพนธ์ // (ปีที่พิมพ์).// ชื่อวิทยานิพนธ์ // ระดับวิทยานิพนธ์ /ชื่อสาขา/คณะ/
มหาวิทยาลัย

ตัวอย่างเช่น

- [8] Phillips, O. C., Jr. (1962). **The Indfluence of Ovid on Lucan's Bellum Civil.** Ph.D.
Dissertation University of Chicago

9) สื่ออิเล็กทรอนิกส์ (สื่ออิเล็กทรอนิกส์) : www

[X] ผู้เขียน // ปี // ชื่อบทความ // ชื่อวารสารหรือนิตยสาร // ปีที่(เดือนหรือฉบับที่):/ เลขหน้า(ถ้ามี).//
เข้าถึงเมื่อ (วัน เดือน ปีที่ค้นข้อมูล)/เข้าถึงได้จาก (ที่อยู่ของบทความหรือสื่ออิเล็กทรอนิกส์ URL)
ตัวอย่างเช่น

- [9] Department of the Environment and Heritage. (1999). **Guide to Department and Agency Libraries.** Access (17 November 2000). Available (<http://www.erin.gov.au/library/guide.html>)

10) ผู้แต่งเป็นหน่วยงาน

[X] ชื่อหน่วยงาน // (ปีที่พิมพ์).// ชื่อหนังสือ /เล่มที่(ถ้ามี).// ครั้งที่พิมพ์(ถ้ามี).// เมืองที่พิมพ์:/
สำนักพิมพ์

ตัวอย่างเช่น

- [10] Prince of Songkla University. (2009). **Annual Report 2008.** Songkhla: Prince of Songkla University

11) มีเฉพาะชื่อบรรณาธิการเป็นผู้รวมรวม

[X] ชื่อบรรณาธิการ หรือผู้รวมรวม หรือผู้เรียบเรียง // (ปีที่พิมพ์).// ชื่อหนังสือ // เล่มที่ (ถ้ามี) //
ครั้งที่พิมพ์(ถ้ามี) // เมืองที่พิมพ์:/สำนักพิมพ์

ตัวอย่างเช่น

- [11] Rueangwit Limpanat. (2000). **Local - India.** Chonburi: Department of History
Faculty of Humanities And social science Burapa university

5. รูปแบบการใส่รูปภาพในเนื้อหาบทความ

- 1) ชื่อรูปภาพห้ามขึ้นต้นด้วยคำว่า “ແສດງ”
- 2) รูปภาพที่แสดงต้องมีคำอธิบายอยู่ในเนื้อหาบทความที่มีการระบุถึงรูปภาพนั้น ๆ
- 3) คำอธิบายรูปภาพ ให้เขียนไว้ใต้รูปภาพแต่ละรูปภาพ โดยจัดรูปภาพไว้กึ่งกลางหน้ากระดาษ และคำอธิบายจัดขึ้นด้วยหัวใจกระดาษ
- 4) ไฟล์ของรูปภาพต้องเป็นไฟล์ที่มีนามสกุล .jpg, .png, .tiff หรือ .eps เท่านั้น ความละเอียดไม่ต่ำกว่า 300 dpi
- 5) ลายเลันที่ปรากฏบนรูปภาพต้องมีความคมชัด กรณีที่เป็นรูปกราฟ ต้องระบุชื่อแกนต่าง ๆ ให้ครบถ้วน
- 6) กรณีที่มีรูปภาพย่ออย่าง ควรจัดให้รูปภาพย่ออยู่ทึ่งหมวดอยู่ในหน้าเดียวกัน สำหรับบทความภาษาไทย ให้เขียนคำบรรยายใต้ชื่อรูปย่ออย่างเต็มรูป และกำหนดลำดับของรูปภาพด้วยตัวอักษร ตัวอย่างเช่น



(ก) รูปย่ออย่างที่ 1



(ข) รูปย่ออย่างที่ 2

รูปที่ 1 ตัวอย่างการเขียนคำอธิบายรูปภาพ

สำหรับบทความภาษาอังกฤษ ให้ใช้อักษร (a), (b),... แทนการกำหนดรูปภาพย่ออย่าง

- 7) การเว้นระยะบรรทัด ก่อนรูปภาพ ให้เว้น 1 บรรทัด และหลังจากชื่อรูปภาพ ให้เว้น 1 บรรทัด
- 8) การใช้ภาพสี อาจทำให้เกิดความสับสน แต่ให้คำนึงถึงการลือความหมายกรณีที่มีการจัดพิมพ์เอกสารแบบขาวดำเพื่อให้ผู้อ่านสามารถเข้าใจได้ กรณีที่เป็นกราฟควรกำหนดลักษณะเส้นที่แตกต่างกันเพื่อให้สามารถเข้าใจได้ เมื่อมีการจัดพิมพ์แบบขาว - 黑
- 9) ขนาดของรูปต้องไม่ใหญ่เกินกว่าความกว้างของหน้ากระดาษที่กำหนดไว้
- 10) หากเป็นการคัดลอกรูปภาพมาจากที่อื่น ผู้เขียนควรมีการอ้างอิงแหล่งที่มาให้ถูกต้อง

6. รูปแบบการใส่ตารางในเนื้อหาบทความ

- 1) ชื่อตารางห้ามขึ้นต้นด้วยคำว่า “ແສດງ”
- 2) ตารางที่แสดงต้องมีคำอธิบายอยู่ในเนื้อหาบทความที่มีการระบุถึงตารางนั้น ๆ
- 3) คำอธิบายตาราง ให้เขียนไว้ด้านบนของตาราง โดยจัดคำอธิบายไว้ขึ้นด้านซ้ายของหน้ากระดาษ และตารางอยู่กึ่งกลางหน้ากระดาษ ควรจัดเนื้อหาตารางให้อยู่บนหน้าเดียวกัน กรณีที่ตารางมีความยาวเกินหน้ากระดาษ ให้ใส่ชื่อตาราง “ตารางที่ x” ไว้ที่ด้านบนของตารางในหน้าแรก และใส่ชื่อตาราง “ตารางที่ x (ต่อ)” ไว้ที่ด้านบนของตารางในหน้าลักษณะไป
- 4) ขนาดของตารางต้องไม่ใหญ่เกินกว่าความกว้างของหน้ากระดาษที่กำหนดไว้
- 5) การเว้นระยะบรรทัด ก่อนชื่อตาราง ให้เว้น 1 บรรทัด และหลังลิ้นสุดตาราง ให้เว้น 1 บรรทัด
- 6) การกำหนดเล้นขอบตาราง ให้กำหนดเฉพาะเล้นด้านบน และด้านล่างของบรรทัด ตั้งตัวอย่าง

ตารางที่ 1 ตัวอย่างการนำเสนอตาราง

Table Head	Table Column Head	
	Subhead (unit)	Subhead (unit)
xxx	123	456
xxx	321	654

7. รูปแบบการใส่สมการในเนื้อหาบทความ

- 1) จัดตำแหน่งของสมการไว้กึ่งกลางหน้ากระดาษ
- 2) พิมพ์สมการด้วยโปรแกรม MathType โดยใช้รูปแบบตัวอักษร Times New Roman ขนาด 11
- 3) ระบุเลขลำดับสมการโดยเขียนไว้ในวงเล็บ จัดตำแหน่งเลขสมการชิดขวาของหน้ากระดาษ เช่น
- 4) ทุกสมการต้องมีการอ้างถึงในเนื้อหา ให้ระบุเลขและเขียนไว้ในวงเล็บ เช่นเดียวกับที่ปรากฏในสมการ
- 5) การเว้นระยะบรรทัด ก่อนสมการ ให้เว้น 1 บรรทัด และหลังสมการ ให้เว้น 1 บรรทัด

$$y = ax + b \quad (1)$$

8. การดำเนินงานของกองบรรณาธิการ

- 1) ทุกบทความที่ล่งเข้าวารสาร ต้องลิ้งผ่านระบบออนไลน์ที่ <https://www.tci-thaijo.org/index.php/rmutijo/index> โดยดำเนินการสมัครสมาชิก และชำระค่าสมาชิกจำนวน 1,000 บาท ซึ่งจะมีอายุสมาชิก 1 ปี
- 2) บทความที่ถูกล่งเข้ามายังระบบ กองบรรณาธิการจะพิจารณาบทความเบื้องต้นเกี่ยวกับความถูกต้องของรูปแบบทั่วไป บทความที่ไม่ดำเนินการตามรูปแบบที่กำหนดจะไม่รับเข้าสู่กระบวนการพิจารณา โดยผู้ทรงคุณวุฒิ และจะส่งกลับเพื่อทำการแก้ไข ดังนั้น เพื่อให้เกิดความรวดเร็วในเข้าสู่กระบวนการพิจารณาผล ผู้เขียนควรดำเนินการจัดทำวารสารให้ถูกต้องตามรูปแบบที่กำหนดอย่างเคร่งครัด
- 3) เมื่อบทความผ่านการพิจารณาให้ดีพิมพ์ลงในวารสาร และผู้เขียนได้ดำเนินการจัดเตรียมเอกสารต่าง ๆ อย่างถูกต้อง ครบถ้วนตามข้อกำหนดของวารสารเป็นที่เรียบร้อยแล้ว ผู้เขียนจะได้รับหนังสือรับรองการตีพิมพ์บทความเพื่อเป็นการยืนยัน
- 4) หากทางวารสารตรวจสอบว่าบทความที่ถูกล่งเข้ามามีการคัดลอก หรือเผยแพร่ในที่อื่น ๆ ก่อนหน้า หรือมีการดำเนินการใด ๆ อันเป็นการกระทำที่ผิดจรรยาบรรณของนักวิจัย ทางวารสาร จะดำเนินการทำหนังสือแจ้งไปยังหน่วยงานด้านลังกัด และรับการพิจารณาและรับบทความจากผู้เขียน บทความนั้นเป็นระยะเวลาอย่างน้อย 5 ปี



หมายเลขอสมाचิก

.....

(สำหรับเจ้าหน้าที่)

แบบฟอร์มการสั่งบทความ
วารสาร มทร.อีสาน ฉบับวิทยาศาสตร์และเทคโนโลยี

วันที่.....

ข้าพเจ้า (นาย/นาง/นางสาว)

ระดับการศึกษาสูงสุด ตำแหน่งทางวิชาการ

หน่วยงาน

ที่อยู่ที่สามารถติดต่อได้ลักษณะ.....

โทรศัพท์..... โทรสาร..... โนมาย.....

e-mail.....

ขอส่ง บทความวิจัย บทความวิชาการ บทความจากวิทยานิพนธ์/สารนิพนธ์

ชื่อบทความ (ภาษาไทย)

.....
(ภาษาอังกฤษ)

ชื่อผู้เขียนร่วม

1.
2.
3.
4.

สาขาหลักของบทความ (กรุณาเลือก)

วิศวกรรมศาสตร์ ENG เกษตรศาสตร์ AGR สหวิทยาการวิทยาศาสตร์และเทคโนโลยีสิทธิ IG

สาขาวงของบทความ (สามารถเลือกได้มากกว่า 1 ช่อง)

- | | | |
|--|--|--|
| <input type="checkbox"/> ไฟฟ้า | <input type="checkbox"/> อิเล็กทรอนิกส์ | <input type="checkbox"/> คอมพิวเตอร์ |
| <input type="checkbox"/> สื่อสาร-โทรคมนาคม | <input type="checkbox"/> สัตวศาสตร์ | <input type="checkbox"/> ศิลปะและการออกแบบ |
| <input type="checkbox"/> วัสดุและโลหะ | <input type="checkbox"/> โยธา-สำรวจ | <input type="checkbox"/> ลิ้งแวดล้อม |
| <input type="checkbox"/> พลังงาน | <input type="checkbox"/> สถาปัตยกรรม | <input type="checkbox"/> พืชไร่ |
| <input type="checkbox"/> พิชสวน | <input type="checkbox"/> วิทยาศาสตร์การอาหาร | <input type="checkbox"/> ICT |
| <input type="checkbox"/> อุตสาหการ | <input type="checkbox"/> เคมี | <input type="checkbox"/> คณิตศาสตร์ |
| <input type="checkbox"/> สสติประยุกต์ | <input type="checkbox"/> เครื่องกล | <input type="checkbox"/> โภชนาศาสตร์ |
| <input type="checkbox"/> พลิกก์ | <input type="checkbox"/> อื่น ๆ | |

ขอเสนอชื่อผู้ทรงคุณวุฒิที่มีความเชี่ยวชาญในสาขาวิชาที่เกี่ยวข้อง

1. ชื่อ-สกุล ตำแหน่งทางวิชาการ.....

คุณวุฒิ..... สาขาวิชาที่เชี่ยวชาญ.....

หน่วยงานที่สังกัด.....

ที่อยู่สำหรับล่งเอกสาร.....

หมายเลขอรหัสพท..... Email.....

2. ชื่อ-สกุล ตำแหน่งทางวิชาการ.....

คุณวุฒิ..... สาขาวิชาที่เชี่ยวชาญ.....

หน่วยงานที่สังกัด.....

ที่อยู่สำหรับล่งเอกสาร.....

หมายเลขอรหัสพท..... Email.....

หมายเหตุ

1. ผู้ทรงคุณวุฒิต้องมีตำแหน่งทางวิชาการ ระดับ พศ. ขึ้นไป หรือจบการศึกษาระดับปริญญาเอก และต้องไม่สังกัดหน่วยงานเดียวกับผู้ประพันธ์

2. กองบรรณาธิการขอสงวนสิทธิ์ในการเป็นผู้พิจารณาคัดเลือกผู้ทรงคุณวุฒิเพื่อพิจารณาผลงานทางวิชาการ

3. เจ้าของบทความที่ผ่านการพิจารณาให้ตีพิมพ์ลงในวารสาร จะต้องสมัครสมาชิกวารสาร มทร.อีสาน อย่างน้อย 1 ปี เพื่อเป็นการยืนยันการตีพิมพ์บทความลงในวารสาร

ข้าพเจ้าได้รับทราบและยินดีปฏิบัติตามเงื่อนไขและข้อกำหนดดัง ฯ ในแบบฟอร์มแบบท้าย ซึ่งมีรายละเอียดอยู่ใน “คำแนะนำผู้เขียน” ที่ทางกองบรรณาธิการ วารสาร มทร.อีสาน ได้กำหนดขึ้น และยินดีให้กองบรรณาธิการมีสิทธิ์ที่จะไม่รับพิจารณา หากไม่ติดรูปแบบตามที่กำหนด ยินยอมให้มีสิทธิ์ในการเลือกสรรหาผู้กลั่นกรองโดยอิสระเพื่อพิจารณาต้นฉบับที่ข้าพเจ้า (และผู้แต่งร่วม) ล่งมา ยินยอมให้กองบรรณาธิการสามารถตรวจสอบแก้ไขต้นฉบับดังกล่าวได้ตามที่เห็นสมควร และข้าพเจ้า “ขอรับรองว่า บทความนี้ไม่เคยลงตีพิมพ์ในวารสารใดมาก่อน ไม่อุยร์ร่าห่วงการพิจารณาจากวารสารอื่น และยินยอมว่าบทความที่ตีพิมพ์ลงในวารสารวิชาการมหาวิทยาลัยเทคโนโลยีราชมงคลอีสาน ถือเป็นลิขสิทธิ์ของมหาวิทยาลัยเทคโนโลยีราชมงคลอีสาน”

หากข้าพเจ้ามีความประสงค์ในการขอยกเลิกการพิจารณาบทความหลังจากวันที่ได้รับหนังสือยืนยันการรับบทความ ข้าพเจ้ายินดีรับผิดชอบค่าใช้จ่ายในการดำเนินงานที่มหาวิทยาลัยฯ ดำเนินการตามกระบวนการของวารสาร มทร.อีสาน ตามที่จ่ายจริง

ลงชื่อ.....

(.....)



หนังสือรับรองการตีพิมพ์บрошีร์
วารสาร มทร.อีสาน ฉบับวิทยาศาสตร์และเทคโนโลยี
มหาวิทยาลัยเทคโนโลยีราชมงคลอีสาน

ขอรับรองว่าบрошีร์.....

เรื่อง
.....

โดย
.....

ได้ผ่านการประเมินจากคณะกรรมการผู้ทรงคุณวุฒิ
และตีพิมพ์ในวารสาร มทร.อีสาน
ปีที่ ฉบับที่(.....-..... พ.ศ.)

(.....)

บรรณาธิการ วารสาร มทร.อีสาน ฉบับวิทยาศาสตร์และเทคโนโลยี
มหาวิทยาลัยเทคโนโลยีราชมงคลอีสาน



ใบสมัครสมาชิก
วารสาร มทร.อีสาน ฉบับวิทยาศาสตร์และเทคโนโลยี
มหาวิทยาลัยเทคโนโลยีราชมงคลอีสาน

หมายเลขอسمายิก

.....
(สำหรับเจ้าหน้าที่)

วันที่ล้มคร.....

ข้าพเจ้า (นาย/นาง/นางสาว).....

ที่อยู่ (สำหรับส่งวารสาร).....

รหัสไปรษณีย์..... โทรศัพท์.....

โทรศัพท์.....

ออกใบเสร็จในนาม ชื่อ.....

ที่อยู่.....

มีความประสงค์เป็นสมาชิก

วารสารวิชาการ มหาวิทยาลัยเทคโนโลยีราชมงคลอีสาน (1 ปี 3 ฉบับ 1,000 บาท)

โดย สมัครเป็นสมาชิกใหม่ จำนวน ปี เริ่มตั้งแต่ปีที่ ฉบับที่

ต่ออายุสมาชิก จำนวน ปี เริ่มตั้งแต่ปีที่ ฉบับที่

พร้อมกันนี้ได้ส่งค่าสมาชิก จำนวน บาท

(ด้วยอักษร).....

ซึ่งได้โอนเงินผ่านทางบัญชี ธนาคารกรุงไทย สาขา.เทคโนโลยีราชมงคลอีสาน นครราชสีมา ชื่อบัญชี
“กองทุนสนับสนุนการวิจัย มทร.อีสาน” บัญชีออมทรัพย์ เลขที่ 980-9-74231-2

หมายเหตุ กรุณาล่งหลักฐานการจ่ายเงินและใบสมัครสมาชิก หมายเลขบันทึกวิจัยและพัฒนาที่ E-mail :
rmuti.journal@gmail.com พร้อมเขียนชื่อ-นามสกุล ให้ชัดเจน การสมัครสมาชิกจะมีผลสมบูรณ์
เมื่อทางวารสารได้มีการตรวจสอบเอกสารต่าง ๆ อย่างถูกต้องแล้วเท่านั้น

ลงชื่อ..... ผู้สมัคร
(.....)



หนังสือยืนยันการถอนบทความ
วารสาร มทร.อีสาน ฉบับวิทยาศาสตร์และเทคโนโลยี
มหาวิทยาลัยเทคโนโลยีราชมงคลอีสาน

ข้าพเจ้า (นาย/นาง/นางสาว).....

สังกัดหน่วยงาน

มีความประสงค์ขอถอนการพิจารณาบทความเรื่อง

ที่ได้ส่งเข้ามายังวารสาร มทร.อีสาน เมื่อวันที่ และยินยอม

รับผิดชอบค่าใช้จ่ายในการดำเนินการตามกระบวนการของวารสาร มทร.อีสาน เป็นจำนวนเงิน บาท

(.....) โดยชำระเงินผ่านทางบัญชีกองทุนสนับสนุนการวิจัย
ธนาคารกรุงไทย สาขาฯ.เทคโนโลยีราชมงคลอีสาน นครราชสีมา ชื่อบัญชี “กองทุนสนับสนุนการวิจัย
มทร.อีสาน” บัญชีออมทรัพย์ เลขที่ 980-9-74231-2

หมายเหตุ กรุณاسل่ำหลักฐานการชำระเงินและหนังสือยืนยันการถอนบทความ มายังสถาบันวิจัยและพัฒนาที่

E-mail : rmuti.journal@gmail.com พร้อมเชิญชื่อ-นามสกุล ให้ชัดเจน ข้อมูลการชำระเงิน
จะมีผลสมบูรณ์ เมื่อทางวารสารได้มีการตรวจสอบเอกสารต่าง ๆ อย่างถูกต้องแล้วเท่านั้น

ลงชื่อ.....ผู้ถอนบทความ
(.....)



RMUTI
ราชมงคลอีสาน



RMUTI JOURNAL

Science and Technology

Vol. 12 No. 3 September - December 2019



Institute of Research and Development

Rajamangala University of Technology Isan

744 Suranarai Road, Meuang, Nakhon Ratchasima 30000, Thailand

Tel. (66) 4423 3063 Fax. (66) 4423 3064

E-mail : rmuti.journal@gmail.com <http://ird.rmuti.ac.th/2015>